

Biblioteka Politechniki Krakowskiej



1000030888

Grundzüge

der

constructiven Anordnung und statischen Berechnung

der

Brücken- und Hochbau-Constructionen.

Zweiter Theil.

Die statische Berechnung der Brückenconstructionen.

Zweites Heft.

Die statische Berechnung der gestützten und aufgehängten Brücken.

Mit zahlreichen, durchgerechneten Beispielen und 11 lithographirten Tafeln.

Zum Gebrauche bei

Vorträgen und Privatstudien über Brückenbau, sowie bei statischen Berechnungen von Brücken

bearbeitet von

Dr. Friedrich Heinzerling,

Kgl. Baurath und Professor an der Kgl. rheinisch-westphälischen polytechnischen Schule zu Aachen,
vormals ordentlicher Professor der Bau- und Ingenieurwissenschaften an der Universität Gießen
und Sectionsingenieur der hessischen Ludwigseisenbahngesellschaft.

Leipzig.

Verlag von Arthur Felix.

1874.



~~III 14937~~

III-306385

BPK-B-300/2017

Vorwort.

Das vorliegende zweite Heft des zweiten Theiles der „Grundzüge“ ist zunächst dazu bestimmt, bei den Vorlesungen über Brückenbau an der diesseitigen polytechnischen Schule die Anwendung der theoretischen Mechanik auf die Berechnung und Construction der gestützten und aufgehängten Brücken zu zeigen und so den Uebergang von jener theoretischen zu dieser practischen Disciplin, welche sowohl in der Literatur als in den Vorträgen technischer Hochschulen im Ganzen noch etwas unvermittelt nebeneinander stehen, zu erleichtern. Um die zwischen der wissenschaftlichen Ableitung und correcten Anwendung einer Gleichung und dem durch Einführung zuverlässiger Erfahrungswerte zu erlangenden practisch brauchbaren Resultate liegende, von dem angehenden Ingenieur bekanntlich nicht ohne Schwierigkeit auszufüllende Kluft zu überbrücken, hat sich die vollständig durchgeführte, statisch=constructive Behandlung der wichtigeren Brücken=Programme, welche einen besonderen Theil jener Vorlesungen bildet, mittels der zuvor für die Praxis zugeschnittenen Gleichungen zweckmäßig erwiesen. Das vorliegende Heft soll jenen theoretisch=practischen Vortrag derart unterstützen, daß die Entwicklung dieser Gleichungen, welche nicht in extenso vorgetragen werden kann, wo nöthig, privatim studirt und deshalb mehr Zeit auf den constructiven Theil des Brückenbaues verwendet werden kann.

Was den Inhalt dieses zweiten Hefts betrifft, so ist darin zunächst die Schwedler'sche Theorie der Stützlinie in exacter Weise auf die Construction der Brückengewölbe, insbesondere auf die Bestimmung ihrer Stärke, Belastung und zulässige Materialpressung angewandt und hierbei die letztere, welche mit der Zunahme der Lagerflächen, also mit der Spannweite der Brückengewölbe wächst, unter Benutzung zahlreicher, ausgeführter und bewährter Brückengewölbe für die in praxi vorkommenden Fälle bestimmt und tabellarisch zusammengestellt worden.

Bei Ermittlung der günstigsten Gewölbeformen wurde die von Sivering für 5 bis 9 Mittelpunkte aufgestellte Theorie der Korblinien mit constanter Minimaldifferenz der aufeinanderfolgenden Halbmesser nunmehr allgemein, also für eine beliebige Anzahl von Mittelpunkten entwickelt.

Die Vertical= und Horizontalprojection, sowie die Abwicklung der schiefgewölbten Brücken mit variablem Fugenwinkel wurde sowohl auf graphischem als auch, um den Grad der Annäherung zu zeigen, auf analytischem Wege hergeleitet und bei den in der Praxis relativ häufigsten, schief und mit constantem Fugenwinkel gewölbten Brücken der, einem gegebenen Pfeilverhältniß entsprechende, größte zulässige Schrägungswinkel, sowie das, einem gegebenen Schrägungswinkel entsprechende, kleinste zulässige Pfeilverhältniß ermittelt und diese Untersuchung mit einer für die Disposition schiefgewölbter Brücken practisch anwendbaren Tabelle begleitet.

Unter den Pfeilerstärken gewölbter Brücken ist diejenige der Strompfeiler, welche bisher meist nach analogen Ausführungen oder mittelst einer empirischen Formel bestimmt wurde, durch Einführung des bei der größten einseitigen Belastung auf sie ausgeübten Seitendrucks wissenschaftlich bestimmt und hierbei gezeigt worden, daß die Ergebnisse jener empirischen Formel, welche zudem eine wenigstens annähernde Kenntniß der zu suchenden Pfeilerstärke voraussetzt, in gewissen Fällen als unzureichend anzusehen ist.

Von den hölzernen Sprengwerken ist nur deren rationellstes, aus graden Streben zusammengesetztes System einer statischen Berechnung, jedoch mit Berücksichtigung hinreichenden Widerstandes gegen Ausbiegung (Zerfnicken), unterzogen worden. Bei Ermittlung der Form und Stärke ihrer Pfeiler ist das Verfahren, von einer einfachen auf die hier erforderliche zusammengesetzte Querschnittsform überzugehen, sowie die Prüfung dieser letzteren auf ihre Stabilität gezeigt worden.

Unter den gestützten und aufgehängten Brücken in Eisen sind diejenigen mit je drei Charnieren ausführlich behandelt und hierzu die gleichnamigen, früher im Civilingenieur, Bd. XIII und XVII erschienenen Abhandlungen mit den erforderlichen Zusätzen und Kürzungen benutzt worden. Die Behandlung der gestützten Brücken mit nur zwei Charnieren an den Stützpunkten bleibt, um den in Aussicht genommenen Umfang dieses Hefts nicht allzusehr zu überschreiten, einer anderen Stelle vorbehalten, dagegen ist die statische Berechnung ihrer Land- und Strompfeiler mit Berücksichtigung ihrer größten einseitigen Belastung vervollständigt und auch diese mit einem durchgeführten, speciellen Beispiele begleitet worden.

Der in dem hiermit abgeschlossenen zweiten Theile dieses Werkes behandelten statischen Berechnung der Brücken wird nach dessen früher bekannt gegebenen Programme in dem darauf folgenden dritten Theile die constructive Anordnung der Brücken und in einem letzten Theile, dessen Erscheinen mit Rücksicht auf die diesseitigen Vorlesungen über Constructionen des höheren Bauwesens besonders zu beschleunigen ist, die statische Berechnung und constructive Anordnung der Hochbauten folgen.

Schließlich gereicht es uns zur angenehmen Pflicht, der Verlagsbuchhandlung für die ebenso gediegene, als gefällige Ausstattung, welche sie, wie dem vorhergehenden, so dem Texte und den Tafeln auch dieses Heftes hat zu Theil werden lassen, unseren besonderen Dank auszusprechen.

Möchte auch das vorliegende Heft unseren Studirenden des Brückenbaues sich nützlich erweisen und von den Fachgenossen, deren Bedürfnis es gleichfalls entsprechen sollte, freundlich aufgenommen und wohlwollend beurtheilt werden.

Aachen, Ende August 1874.

H.

Druckfehler.

<p>Spalte 5, Gleichung (7) lies \int_0^x statt \int.</p> <p>" 31, " (85) lies x^2 statt x_2.</p> <p>" 39, Zeile 20 v. u. lies y_0 statt y.</p> <p>" 44, " 8 v. o. lies f^m statt x^m.</p> <p>" 44, " 10 v. o. lies 1,27 statt 1,25.</p> <p>" 44, " 20 v. o. schalte hinter „Werth“ u = ein.</p> <p>" 44, " 24 v. o. lies $\left(\frac{1}{2u}\right)^2$ statt $\left(\frac{1}{2a}\right)^2$.</p> <p>" 46, " 2 v. u. lies (124^a).</p> <p>" 54, " 12 v. u. lies b) Construction u. f. w.</p>	<p>Spalte 102, Zeile 9 v. u. lies (292^a) statt (292).</p> <p>" 102, " 7 v. u. lies (292^b) statt (293).</p> <p>" 150, " 19 v. u. lies 393^a statt 393.</p> <p>" 151, " 7 v. o. lies hin statt für.</p> <p>Taf. 4, Fig. 3 ist über der Linie OX 2,56 statt 256 zu lesen.</p> <p>" 5, " 9 ist B und C um je einen Winkelschenkel weiter rechts zu rücken.</p> <p>" 5, " 7 oben ist x_s statt x zu lesen.</p>
--	---

Inhalt.

	Spalte		Spalte
Erste Abtheilung.			
Die gestützten Brücken	1	2) Berechnung und Construction eines aus Quadern oder aus Quadern und Ziegeln bestehenden schiefen Brückengewölbes mit Kreisbogenformigem Stirnbogen und constantem Fugenwinkel	73
Erster Abschnitt.		a) Berechnung und Construction	73
Die gewölbten Brücken	1	b) Steinschnitt	75
A) Die geraden gewölbten Brücken		c) Austragen der End- und Zwischenkämpfer.	
I. Die Brücken, welche den Kreis oder Theile des Kreises zur Gewölbform haben	10	α) End- oder Stirnkämpfer	76
1) Die Brücken mit Halbkreisgewölben	17	β) Zwischen- oder Laibungskämpfer	76
2) Die Brücken mit Segment- oder Stichtbogengewölben	19	C) Die Pfeiler der gewölbten Brücken.	
3) Die Brücken mit Korbogengewölben	24	I. Die Stärke der Landpfeiler	77
II. Die Brücken mit elliptischen Gewölben	33	1) Die vom Erd- und Wasserdruck abhängige Stärke der Landpfeiler	77
III. Die Brücken mit Klineidengewölben	40	2) Die vom Druck der Gewölbe abhängige Stärke der Landpfeiler	78
1) Die Brücken mit Anafinoidengewölben	42	a) Die Landpfeiler mit paralleltrapezförmigem Querschnitt	79
2) Die Brücken mit Affinoidengewölben	45	b) Die Landpfeiler mit rechteckigem Querschnitt	79
B) Die schiefen gewölbten Brücken		II. Die Stärke der Strompfeiler.	
I. Die schiefen Brückengewölbe mit veränderlichem Fugenwinkel.		Zweiter Abschnitt.	
1) Theorie und Construction	51	Die eisernen Stützbrücken.	
a) Die Vertical- und Horizontalprojection	51	A) Die Träger der eisernen Stützbrücken.	
b) Construction der Gewölbsteine	54	I. Allgemeine Anordnung	85
c) Die Abwicklung	54	II. Statische Berechnung der gestützten Charnierbrückenträger mit wagrechtem Obergurt und parabolisch-polygonalem Untergurt	87
α) Die Abwicklung der Gewölbflächen	55	1) Bestimmung der Spannungen in den Polygonstäben	
β) Analytische Bestimmung der abgewinkelten Lagerfuge	56	a) Bei voller Belastung	87
γ) Construction der abgewinkelten Lagerfuge	60	b) Bei der größten einseitigen Belastung	89
d) Bestimmung der kleinsten parallelepipedischen Umschließungskörper und Bearbeitung der Wölbsteine	61	2) Bestimmung der Spannungen in den einzelnen Stücken der horizontalen Gurtung.	
2) Berechnung und Construction eines aus Quadern bestehenden schiefen Brückengewölbes mit halbkreisförmigem Stirnbogen und variablem Fugenwinkel	62	a) Bei voller Belastung	94
a) Die Vertical- und Horizontalprojection	62	b) Bei den größten einseitigen Belastungen	94
b) Die Abwicklung	62	3) Bestimmung der Spannungen in den Diagonalfäden.	
II. Die schiefen Brückengewölbe mit mittlerem constantem Fugenwinkel.		a) Bei voller Belastung	97
1) Theorie und Construction	66	b) Bei den größten einseitigen Belastungen	98
a) Ermittlung des mittleren constanten Fugenwinkels	67	4) Bestimmung der Spannungen in den Verticalfäden.	
b) Ermittlung des kleinsten zulässigen Lagerfugenwinkels und des demselben entsprechenden, größten zulässigen Pfeilverhältnisses bei gegebenem Schrägungswinkel des Gewölbes	68	a) Bei voller Belastung	103
c) Ermittlung des größten zulässigen Schrägungswinkels des Gewölbes und des davon abhängigen kleinsten zulässigen Schnittwinkels der Bahn- und Gewölbaxe, wenn das Pfeilverhältniß und der kleinste Lagerflächenwinkel des Gewölbes gegeben ist	70	b) Bei den größten einseitigen Belastungen	105
		III. Numerische Berechnung der Spannungen in den einzelnen Gliedern des gestützten parabolischen Charnierbrückenträgers	
		1) Berechnung der Grenzspannungen in den Polygonstäben.	109
		a) Berechnung der Lage der Belastungsscheiden	109
		b) Berechnung der Maximalspannungen	109
		c) Berechnung der Minimalspannungen	111

	Spalte		Spalte
2) Berechnung der Grenzspannungen in den geraden Gurtungsfeldern.		a) Bei voller Belastung	156
a) Berechnung der Lage der Belastungsscheiden und Werthe x_m	111	b) Bei der größten einseitigen Belastung	157
b) Berechnung der Grenzspannungen	113	3) Bestimmung der Spannungen in den Diagonalstäben.	
3) Berechnung der Grenzspannungen in den Diagonalstäben.		a) Bei voller Belastung	158
a) Berechnung der Lage der Belastungsscheiden	115	b) Bei den größten einseitigen Belastungen	159
b) Berechnung der Werthe d_m , w_m , y_m und u_m	115	4) Bestimmung der Spannungen in den Verticalstäben.	
c) Bestimmung der drei Fälle	117	a) Bei voller Belastung	163
d) Berechnung der Grenzspannungen Y	117	b) Bei den größten einseitigen Belastungen	164
4) Berechnung der Grenzspannungen in den Verticalstäben	119	III. Statische Berechnung eines Mittelträgers der Charnierhängbrücken.	
a) Ohne Berücksichtigung des Eigengewichts	119	1) Bestimmung der Grenzspannungen in den Polygonfeldern	168
b) Mit Berücksichtigung des Eigengewichts	121	2) Bestimmung der Grenzspannungen in den horizontalen Gurtungsfeldern	167
B) Die Pfeiler der eisernen Stützbrücken.		3) Bestimmung der Grenzspannungen in den Diagonalen	169
I. Stärke der Landpfeiler.		4) Bestimmung der Grenzspannungen in den Verticalen	169
1) Die vom Erd- und Wasserdruck abhängige Stärke der Landpfeiler	121	IV. Berechnung der Spannungen in den einzelnen Gliedern eines Seitenträgers der aufgehängten parabolischen Charnierbrücke.	
2) Die vom Druck der Träger abhängige Stärke der Landpfeiler	122	1) Berechnung der Grenzspannungen in den Polygonfeldern.	
II. Stärke der Strompfeiler	125	a) Berechnung der Maximalspannungen	171
		b) Berechnung der Minimalspannungen	173
Dritter Abschnitt.		2) Berechnung der Grenzspannungen in den geraden Gurtungsfeldern	173
Die hölzernen Stützbrücken.		3) Berechnung der Grenzspannungen in den Diagonalstäben.	
A) Die Träger der hölzernen Stützbrücken	133	a) Berechnung der Werthe d_m , w_m und y_m	175
B) Die Pfeiler der hölzernen Stützbrücken.		b) Bestimmung der drei Fälle	177
I. Die Land- oder Endpfeiler	139	c) Berechnung der Grenzspannungen	177
1) Die von dem größten Erd- und Wasserdruck abhängigen Stärken der Landpfeiler	139	4) Berechnung der Grenzspannungen in den Verticalstäben.	
2) Die von den größten Strebendruckten abhängigen Stärken der Landpfeiler	140	a) Ohne Berücksichtigung des Eigengewichts	179
II. Die Strom- oder Zwischenpfeiler	140	b) Mit Berücksichtigung des Eigengewichts	181
1) Die von dem Eisstoße abhängige Stärke der Strompfeiler	141	V. Berechnung der Spannungen in den einzelnen Gliedern des Hauptträgers einer aufgehängten parabolischen Charnierbrücke.	
2) Die von dem größten einseitigen Drucke abhängige Stärke der Strompfeiler	141	1) Berechnung der Grenzspannungen in den Polygonfeldern.	
		a) Berechnung der Lage der Belastungsscheiden	181
Zweite Abtheilung.		b) Berechnung der Maximalspannungen	183
Die aufgehängten Brücken (Hängbrücken).		c) Berechnung der Minimalspannungen	183
Erster Abschnitt.		2) Berechnung der Grenzspannungen in den horizontalen Gurtungsfeldern.	
Die schlaffen Hängbrücken	144	a) Berechnung der Lage der Belastungsscheiden	185
1) Mit isolirten Lastpunkten	145	b) Berechnung der Grenzspannungen	185
2) Mit nahe liegenden Lastpunkten	146	3) Berechnung der Grenzspannungen in den Diagonalstäben.	
Zweiter Abschnitt.		a) Berechnung der Lage der Belastungsscheiden	187
Die steifen Hängbrücken.		b) Berechnung der Werthe von d_m , w_m , y_m und u_m	189
I. Allgemeine Anordnung der steifen Hängbrücken	151	c) Bestimmung der drei Fälle	191
II. Statische Berechnung eines Seitenträgers der Charnierhängbrücken.		d) Berechnung der Grenzspannungen	191
1) Bestimmung der Spannungen in den einzelnen Theilen des polygonalen Zugbandes.		4) Berechnung der Grenzspannungen in den Verticalstäben.	
a) Bei voller Belastung	153	a) Ohne Berücksichtigung des Eigengewichts	193
b) Bei der größten einseitigen Belastung	154	b) Mit Berücksichtigung des Eigengewichts	195
2) Bestimmung der Spannungen in den einzelnen Theilen der horizontalen Gurtung.			

Die gestützten Brücken.

Die Träger der gestützten Brücken unterstützen die Brückenbahn von unten, bedürfen hierzu einer bedeutenderen Constructionshöhe, als die Balkenträger mit unten liegender Fahrbahn und werden, dem angewandten Baumaterial und Constructionssystem entsprechend, theils in Bogenform, theils in Polygonalform hergestellt. Wir unterscheiden hiernach die gestützten Brücken in Stein oder die gewölbten Brücken, die gestützten Brücken in Eisen oder die eisernen Bogenbrücken und die gestützten Brücken in Holz oder die hölzernen Sprengwerkbrücken.

Erster Abschnitt.

Die gewölbten Brücken.

Die Stabilität auszuführender Brückengewölbe erfordert deren Gleichgewicht gegen Drehung durch Rippen, sowie deren Gleichgewicht gegen fortschreitende Bewegung durch Gleiten. Erhält das Gewölbe die Form einer der untersuchten Stützlinien*) mit der ihr entsprechenden Belastung, so ist eine Drehung seiner Gewölbesteine im Ganzen und Einzelnen verhindert, da die Form der Stützlinie aus der allgemeinen Bedingung: $Hdy = V_x dx$ entwickelt ist, welche das Gleichgewicht gegen Drehung ausdrückt.

Das Gleichgewicht gegen Gleiten wird dadurch erreicht, daß die Lagerfugen senkrecht zur Stützlinie liegen oder höchstens um den Reibungswinkel von dieser Lage abweichen. Läuft die Wölblinie parallel zur Stützlinie, so wird auch jene von der Lagerfuge senkrecht geschnitten, wie es der Steinschnitt in der Regel erfordert. Geht die Stützlinie durch die Mitten der Gewölbesteine, so lassen sich beide Bedingungen nicht mehr gleichzeitig erfüllen. Man stellt alsdann die Lagerfugen senkrecht zur inneren Wölblinie und beachtet, daß sie in dieser Lage von der zur Stützlinie

normalen Lage höchstens um jenen Reibungswinkel abweichen dürfen.

Alle Brückengewölbe, für welche sich das Belastungsgesetz vom Scheitel bis zum Widerlager erfüllen läßt, wie die meisten Segmentbogen- und die Klinoidengewölbe, s. Taf. 2, Fig. 4—7 und Taf. 4, Fig. 1, 2, 4 und 5, erfordern daher nur eine Hilfsconstruction, s. Taf. 2, Fig. 4 und 6 und Taf. 4, Fig. 1 und 4, worin die Stützlinie, die innere Wölblinie und die auf das Gewölbmaterial, als Einheitsgewicht, bezogene oberste Belastungslinie sowie eine der Verkehrsbelastung, dem Gewicht der Verkehrsbahn, der Zwischenconstruction und dem Gewölbege wicht entsprechende Zwischenbelastungslinie einzutragen ist. Die eigentliche Gewölbeconstruction wird hieraus abgeleitet, indem man die obere und untere Begrenzungslinie des Gewölbes selbst beibehält, die Verkehrsbelastung selbstverständlich wegläßt und der Verkehrsbahn, sowie dem Zwischengewölbe die ihnen zukommende Lage und Höhe giebt, während der Rest entweder der Hintermauerung und Zwischenschüttung oder den Pfeilern dieser Zwischenconstruction entspricht, siehe Taf. 2, Fig. 5 u. 7, sowie Taf. 4, Fig. 2 u. 5.

Alle Brückengewölbe, für welche sich das Belastungsgesetz nur vom Scheitel bis zu einem gewissen, durch die nothwendige Lage der Brückenbahn bedingten Punkte erfüllen läßt, wie beim Halbkreis-, Korbbogen- und elliptischen Gewölbe, s. Taf. 2, Fig. 1, 2 und Taf. 3, Fig. 1, 2, 4, 5 lassen sich vom Scheitel ab bis zu jenem Punkte ganz in der obenerwähnten Weise, von da ab aber in der Weise construiren, daß man die der Lage der Fahrbahn entsprechende, veränderte Belastungslinie sammt allen obengenannten Zwischenbelastungslinien in die Hilfsconstruction einträgt und die ihr entsprechende Stützlinie mit Benutzung der aus der analytischen Behandlung bekannten, constanten Größe $H = gz_0 q_0$ des Horizontalschubes auf graphischem Wege aufsucht. Entfernt sich die hierdurch erhaltene Stützlinie zu sehr von der zweckmäßigen Richtung, so läßt sich deren Lage durch Erhöhung der Hintermauerung und Erniedrigung der Zwischenconstruction in gewünschter Weise abändern.

Um die Grenze der Abweichung dieser verlegten von der

*) S. Heingerling, Grundzüge der constructiven Anordnung und statischen Berechnung der Brücken- und Hochbauconstructionen. Erster Theil. Leipzig 1870. Spalte 511 ff.

normalen Stützlinie zu finden, bezeichne T die Tangential-
 pressung der verlegten Stützlinie in einem beliebigen Punkte
 mit der Abscisse x derselben, s. Taf. 1, Fig. 1. Zerlegt
 man T in eine zur Lagerfuge parallele und in eine zu der-
 selben senkrechte Componente N, welche an dem Hebelsarm
 n des Abstandes der Stützlinie von der Mittellinie des Ge-
 wölbes wirkt, so ergibt sich, wenn die an der äußersten
 Kante des Gewölbes herrschende Pressung mit p, und die
 Länge der Lagerfuge mit d_x bezeichnet wird, für die Breite
 l eines Gewölbstreifens die bekannte Momentengleichung

$$N n = p \cdot \frac{d_x^2}{6},$$

woraus man

$$p = 6 \cdot \frac{n}{d_x^2} N$$

erhält. Wird die in der Lagerfuge herrschende mittlere, gleich-
 förmig vertheilte Pressung mit p_n bezeichnet, so ergibt sich

$$N = p_n d_x, \text{ woraus } p_n = \frac{N}{d_x}.$$

Soll ein Deffnen der Fugen oder ein Zug in der be-
 trachteten Lagerfuge des Gewölbes nicht stattfinden, so muß,
 wie in Fig. 2 angedeutet, p_n — p_n = 0, oder

$$6 \cdot \frac{n}{d_x^2} = \frac{1}{d_x}, \text{ daher } n = \frac{d_x}{6}.$$

sein. Weicht die verlegte Stützlinie von der Mittellinie des
 Gewölbes nach der entgegengesetzten Seite ab, so darf auch
 hier die zur Lagerfuge normale Componente N₁ höchstens in
 dem Abstände

$$n_1 = \frac{d_x}{6}$$

von jener Mittellinie des Gewölbes angreifen, mithin ergibt
 sich als die Grenze jener Abweichungen der verlegten von
 der normalen Stützlinie für jede Lagerfuge die Breite

$$n + n_1 = \frac{d_x}{3}$$

eines in dem Inneren des Gewölbes enthaltenen Streifens, des
 Kernstreifens, welchen die verlangte Stützlinie nicht über-
 schreiten darf, ohne auf ein Deffnen der Lagerfugen an der
 inneren oder äußeren Wölblinie hinzuwirken.

Aus dem Winkel β, welchen die Tangentialpressung T
 mit deren zur Lagerfuge normalen Componente N bildet und
 welchen der Reibungswinkel des angewandten Gewölbmate-
 rials nicht überschreiten darf, der nach den hierüber ange-
 stellten Versuchen*) im Mittel zu 20 bis 25° anzunehmen
 ist, läßt sich alsdann für jede Stelle des Gewölbes beur-

theilen, ob in Folge einer Verlegung der Stützlinie ein Gleiten
 der Gewölbesteine zu besorgen ist oder nicht.

Um die beabsichtigte Lage der Stützlinie in dem Ge-
 wölbe zu erreichen und nicht dem Zufalle zu überlassen, han-
 delt es sich hauptsächlich um eine Fixirung ihrer Endpunkte
 am Scheitel und am Kämpfer durch Anwendung zweckmäßig
 angeordneter Druckschläge oder schwach convexer Lager-
 fugen, welche sowohl bei der durch die Ausrüstung bewirkten
 Senkung des Gewölbes als bei den geringen, in Folge von
 Temperaturveränderungen und einseitigen Belastungen ein-
 tretenden Hebungen und Senkungen desselben, als Char-
 niere wirken. Hierdurch wird der Widerstandslinie nicht
 nur die beabsichtigte Lage im Gewölbe gegeben, sondern auch
 der Hauptdruck desselben von der Kante abgelenkt und auf
 den inneren, widerstandsfähigeren Theil jener Fugen vertheilt.
 Um die Widerstandsfähigkeit derselben zu vermehren, lassen sich
 sowohl zu den Kämpfern und Anlaufsteinen, als zu dem
 Schlußstein und den beiden Auslaufsteinen des Gewölbes,
 welche alle an ihren Berührungsstellen jene convexen Lager-
 fugen erhalten, während die ihnen gegenüberstehenden Lager-
 fugen eben sind, festere Steinarten als zu den übrigen Theilen
 der Gewölbschnefel verwenden, s. Fig. 3 u. 4, Taf. 1.

Die Arten der gewölbten Brücken schneiden die zu über-
 brückende Weg- oder Wasserlinie entweder unter einem rechten
 Winkel, in welchem Falle sie gerade, oder unter einem
 spitzen Winkel, in welchem Falle sie schiefe Brücken bilden.

A) Die geraden gewölbten Brücken.

Versteht man unter H den Horizontalschub, unter V_x
 das Gewicht des Gewölbes, einschließlich seiner größten be-
 wegten Belastung von seinem Scheitel bis zu einer beliebigen
 Abscisse x, so gilt für die Stützlinien aller Gewölbe die
 Gleichung:

$$H \cdot \frac{dy}{dx} = V_x \dots \dots \dots (1)$$

Bezeichnet man mit z die Belastungshöhe des Gewölbes
 für die Abscisse x, und mit g das Gewicht der kubischen Ein-
 heit des Gewölbes und des mit ihm homogen gedachten Bela-
 stungsmaterials, so ist das Gewicht des betrachteten Gewölbs-
 stückes

$$V_x = g \int_0^x z dx, \dots \dots \dots (2)$$

mithin, wenn dieser Werth in Gleichung (1) eingeführt und
 dann die letztere differentiiert wird,

$$H \frac{d^2y}{dx^2} = gz \dots \dots \dots (3)$$

Setzt man in der allgemeinen Gleichung des Krüm-
 mungshalbmessers jeder Gewölbecurve

*) Vgl. u. A. die Versuche von Bukowsky, Ztschr. d. ö. Ing.
 u. Arch.-Ver. Wien 1870. S. 224.

$$e = \frac{\left(1 + \left(\frac{dy}{dx}\right)^2\right)^{3/2}}{d^2y/dx^2}$$

$\frac{dy}{dx} = 0$, so ist der Krümmungshalbmesser im Scheitel

$$e_0 = \frac{1}{d^2y/dx^2}, \text{ mithin}$$

$$\frac{d^2y}{dx^2} = \frac{1}{e_0} \dots \dots \dots (4)$$

daher, wenn dieser Werth in Gleichung (3) eingeführt wird,

$$H = gz_0 e_0 = gh \dots \dots \dots (5)$$

Der Horizontalschub jedes Gewölbes ist daher constant und gleich dem Gewichte eines, aus dem zu dem Gewölbe angewandten Materiale bestehenden, Parallelepipedums von der Dicke 1, der Länge des Krümmungshalbmessers und der Breite der Belastungshöhe im Scheitel oder von dem Volumen h. Aus Gleichung (5) folgt ferner die Belastungshöhe im Gewölbscheitel

$$z_0 = \frac{h}{e_0} \dots \dots \dots (6)$$

Wird der Werth von V_x aus Gleichung (2) und von H aus Gleichung (5) in Gleichung (1) eingeführt, so ergibt sich

$$\frac{dy}{dx} = \frac{1}{h} \int^x z dx \dots \dots \dots (7)$$

und wenn man den Werth von H aus Gleichung (5) in Gleichung (3) einsetzt, oder Gleichung (7) differentiiert,

$$\frac{d^2y}{dx^2} = \frac{z}{h} \dots \dots \dots (8)$$

Hieraus erhält man die Belastungshöhe für die Abscisse x

$$z = h \cdot \frac{d^2y}{dx^2} \dots \dots \dots (9)$$

und mit Berücksichtigung des Werthes aus Gleichung (6)

$$z = z_0 e_0 \frac{d^2y}{dx^2} \dots \dots \dots (10)$$

Die Belastung der Brückengewölbe besteht theils aus ihrem eigenen, theils aus dem Gewichte der Brückenbahn sammt der sie unterstützenden Zwischenconstruktion und theils aus der veränderlichen Verkehrslast.

Behält g seine frühere Bedeutung und bezeichnet d die Stärke des Schlußsteins, d' die Höhe der Brückenbahn mit dem mittleren Gewichte g' ihrer kubischen Einheit und v die Verkehrsbelastung für die Quadrateinheit der Brückenbahn, so beträgt die Gesammtbelastung V_x des Gewölbes im Scheitel für die Abscisse $x = 1$

$$V_1 = dg + d'g' + v \dots \dots \dots (11)$$

und deren Belastungshöhe

$$z_0 = \frac{V_1}{g} = d + \frac{d'g' + v}{g} \dots \dots (12)$$

worin $\frac{d'g'}{g}$ und $\frac{v}{g}$ die auf das Gewölbmaterial als Einheitsgewicht reducirten Höhen jener Belastungen d'g' und v darstellen.

Die Verkehrsbelastung kann angenommen werden:

- 1) bei Straßenbrücken zu $v = 400$ Kilogr. pro \square Met.,
- 2) bei Eisenbahnbrücken zu 0,25 bis 0,4 der Belastung q für die laufende Einheit

eines Geleises, je nachdem man die letztere auf die ganze Breite der Brücke oder nur auf die Breite der Querschwellen vertheilt annimmt, also im Mittel für die Quadrateinheit zu

$$v = \frac{1}{2} (0,25 + 0,4) q = \text{rot. } \frac{1}{3} q.$$

Die größte gleichförmig vertheilte Verkehrslast q von Eisenbahnbrücken nimmt ab mit deren Spannweite und ergibt sich aus umstehender Tabelle.

Die ruhende Belastung der Brückengewölbe besteht aus derjenigen der Brückenbahn und der zwischen beiden befindlichen Zwischenschüttung oder Zwischenconstruktion.

Das Gewicht der Fahrbahn steinerner Straßenbrücken kann:

- 1) bei Anwendung von Chaussirung zu 500 bis 700, also im Mittel zu

$$f_s^c = \frac{1}{2} (500 + 700) = 600 \text{ Kilogr. pro } \square \text{ Met.}$$

- 2) bei Anwendung von Pflasterung zu 800 bis 1200, also im Mittel zu

$$f_s^p = \frac{1}{2} (800 + 1200) = 1000 \text{ Kilogr. pro } \square \text{ Met.}$$

angenommen werden.

Das Gewicht der Fahrbahn steinerner Eisenbahnbrücken kann, je nachdem man dasselbe auf die Breite der Querschwellen oder auf die Breite der Brücke vertheilt annimmt, zu 1040 bis 1160, also im Mittel zu

$$f_o = \frac{1}{2} (1040 + 1160) = 1100 \text{ Kilogr. pro } \square \text{ Met.}$$

Brückenbahn angenommen werden.

Besteht die Zwischenconstruktion einer 8 Met. breiten Straßen- oder Eisenbahnbrücke aus 5 Zwischengewölben von je 0,6 Met. Spannweite und 0,25 Met. Stärke, vier Zwischenspeilern von je 0,5 Met. und zwei Widerlagenspeilern von je 0,75 Met. Stärke und 5 Sohlgewölben von je 0,9 Met. Spannweite und 0,25 Met. Stärke, so kann deren Gewicht mit Ausschluß der Zwischen- und Endspeiler, je nachdem der hierzu meist verwandte Backstein 2000 bis 2200 Kilogr. pro Centim. wiegt; zu 500 bis 600, also im Mittel zu

I. Tabelle der größten gleichförmig vertheilten Verkehrsbelastung für verschiedene Spannweiten und ein Geleise.*)

Spannweite in		Verkehrsbelastung pro laufenden		Spannweite in		Verkehrsbelastung pro laufenden		Spannweite in		Verkehrsbelastung pro laufenden	
Met.	Fuß	Met. in Klg.	Fuß in 3C.	Met.	Fuß	Met. in Klg.	Fuß in 3C.	Met.	Fuß	Met. in Klg.	Fuß in 3C.
1	3	23520	148,07	24	76	5170	32,47	90	287	3430	21,50
2	6	11760	74,67	27	86	5110	32,09	100	318	3250	20,37
3	10	10000	62,77	30	95	5060	31,78	110	350	3100	19,43
4	13	9700	60,89	33	105	4990	31,31	120	382	2970	18,69
5	16	9030	56,69	36	115	4880	30,62	130	414	2859	17,93
6	19	8540	53,59	40	127	4680	29,37	140	446	2740	17,24
8	25	7450	46,72	45	143	4580	28,74	150	478	2659	16,68
10	29	6770	42,53	50	159	4430	27,80	160	510	2570	16,18
12	38	6010	37,76	55	175	4250	26,67	170	542	2490	15,67
15	48	5470	34,38	60	191	4100	25,73	180	574	2420	15,24
18	57	5460	34,29	70	223	3830	24,01	190	605	2360	14,86
21	67	5300	33,28	80	255	3610	22,63	200	637	2310	14,54

$$z = \frac{1}{2} (500 + 600) = 550 \text{ Kilogr. pro } \square \text{ Met.}$$

Brückenbahn gerechnet werden.

Die gleichförmig verbreitete ruhende Belastung der Brückengewölbe ergibt sich aus der Summe der zuvor berechneten Belastungen durch die Fahrbahn und die Zwischenconstruction und beträgt im Mittel

bei chaussirten Straßenbrücken

$$d'g' = f_s^c + z = 600 + 550 = 1150 \text{ Kilogr.},$$

bei gepflasterten Straßenbrücken

$$d'g' = f_s^p + z = 1000 + 550 = 1550 \text{ Kilogr.},$$

bei Eisenbahnbrücken

$$d'g' = f_e + z = 1100 + 550 = 1650 \text{ Kilogr.}$$

pro \square Met. Brückenbahn.

Das Gewicht einer aus Sand oder Kies bestehenden, durchnähten Zwischenschüttung beträgt 2000 bis 2200 Kilogr. pro Abfmtr., während das Gewicht g der Gewölbe

aus Granitquadern zu 2800 Kilogr.,

aus hartem Sandsteinquader oder frischem

Bruchsteinmauerwerk zu 2500 bis 2200 Kilogr.,

aus hartgebrannten Ziegeln zu 2200 bis 2000 Kilogr. angenommen werden kann.

*) Ueber die Zusammensetzung der Maschinen und Wagen des in vorstehender Tabelle zu Grunde gelegten Normalzuges, vgl. H. Schmidt, über die Bestimmung der äußeren, auf ein Brückensystem wirkenden Kräfte. Allg. Bauztg. Wien 1866, S. 27 ff. und Heinzerling, die angreifenden und widerstehenden Kräfte der Brücken- und Hochbauconstruktionen. Berlin 1867, Seite 6 ff.

Eine österreichische Ministerialverordnung, betr. die bei Erbauung eiserner Brücken zu beobachtenden Sicherheitsrück-sichten, d. d. 30. Aug. 1870, bestimmt als kleinste zufällige Belastung

bei 1 Met. Spannweite	20 Tons (20000 Kilogr.) pro	lauf. Met. Geleise,
" 2 " "	15 " (15000 Kilogr.) pro	lauf. Met. Geleise,
" 5 " "	10 " (10000 Kilogr.) pro	lauf. Met. Geleise,
" 20 " "	5 " (5000 Kilogr.) pro	lauf. Met. Geleise,
" 30 und mehr " "	4 " (4000 Kilogr.) pro	lauf. Met. Geleise.

Bezeichnet man mit p die Pressung, welcher man die Quadratureinheit der Lagerfuge des Schlußsteins mit Sicherheit und mit Bezug auf die Größe ihres Flächeninhaltes aussetzen darf, so muß allgemein

$$H = dp \quad \dots \quad (13)$$

und, wenn für H aus Gleichung (5) sein Werth gesetzt wird,

$$gz_0 e_0 = dp \quad \dots \quad (14)$$

sein. Wird aus Gleichung (12) der Werth von z_0 eingeführt, so erhält man

$$g \left(d + \frac{d'g' + v}{g} \right) e_0 = dp, \quad \dots \quad (15)$$

mithin, wenn nach d aufgelöst wird, die allgemeine Gleichung der Stärke des Schlußsteins

$$d = \frac{d'g' + v}{\frac{p}{e_0} - g} \dots \dots \dots (16)$$

worin e_0 für jede Gewölbeform zu ermitteln und p als Erfahrungswert zu bestimmen ist.

Geht die Stützlinie durch die halbe Höhe $\frac{d}{2}$ des Schlusssteins, so ist, wenn e_0' den Krümmungshalbmesser am Scheitel der inneren Wölblinie bezeichnet,

$$e_0 = e_0' + \frac{d}{2} \dots \dots \dots (17)$$

Aus Gleichung (15) und (17) ergibt sich alsdann

$$p = e_0 \left(\frac{d'g' + v}{d} + g \right) \dots \dots \dots (18)$$

woraus folgt, daß die Pressung der Quadrateinheit des Gewölbmaterials dem Krümmungshalbmesser der Stützlinie des Gewölbes im Scheitel direct proportional ist, mit der Höhe und dem Einheitsgewichte des Füllmaterials, mit dem Einheitsgewichte des Gewölbmaterials sowie mit der Größe der Verkehrsbelastung wächst und mit der Dicke des Schlusssteins abnimmt.

Aus vorstehender Formel läßt sich also die Pressung p im Schlussstein bestimmen, sobald die Größen e_0 , d , d' , g' , g und v bekannt sind. Werden dieselben einer hinreichend großen Zahl ausgeführter Eisenbahn- und Straßenbrücken entnommen,*) so erhält man mit Berücksichtigung der Verschiedenheit des angewandten Gewölbmaterials umstehende Tabelle.

Bezeichnet α den Winkel, welchen die Tangente für einen beliebigen Punkt (x, y) der Stützlinie mit dem Horizonte oder der Krümmungshalbmesser dieses Punktes der Stützlinie mit einer Lothrechten einschließt, siehe Fig. 5, Taf. 1, so ist die Tangentialpressung in diesem Punkte

$$T = \frac{H}{\cos \alpha} \dots \dots \dots (19)$$

und, wenn mit d_x die Länge der Lagerfuge in diesem Punkte bezeichnet und dieselbe Pressung p auf die Quadrateinheit zugelassen wird,

$$T = d_x \cdot p \dots \dots \dots (20)$$

mithin, wenn man diesen, sowie den Werth von H aus Gleichung (13) einführt

$$d_x = \frac{d}{\cos \alpha} \dots \dots \dots (21)$$

und wenn, wie beim Kreise, der Krümmungshalbmesser $e = r$

constant ist, also

$$\cos \alpha = \frac{r - y}{r} \dots \dots \dots (22)$$

gesetzt werden kann,

$$d_x = \frac{rd}{r - y} \dots \dots \dots (23)$$

Da die Lagerfuge in jedem Punkte der Stützlinie normal zu ihrer Tangente sein, der Winkel α also mit dem Neigungswinkel, den die Lagerfuge mit einer Lothrechten bildet, übereinstimmen soll, so ist d_x als die Hypotenuse eines Dreiecks, dessen senkrechte Kathete der aus Gleichung (17) bekannte Schlusssteinstärke d entspricht, bekannt und leicht zu construiren. Für den Bogenanfang, für welchen $x = \frac{1}{2}$ und $\alpha = \varphi$, ergibt sich die Länge der Kämpferfuge

$$d_{\frac{1}{2}} = \frac{d}{\cos \varphi} \dots \dots \dots (24)$$

und, da für den Kreis

$$\cos \varphi = \frac{r - f}{r} \dots \dots \dots (25)$$

gesetzt werden kann,

$$d_{\frac{1}{2}} = \frac{rd}{r - f} \dots \dots \dots (26)$$

welche leicht zu berechnen oder auf die analoge Weise zu construiren ist.

In Gleichung (1) ist entweder:

$\frac{dy}{dx}$, d. h. die Form der Wölblinie, oder

$V_x = f(x)$, d. h. die Belastungsweise des Gewölbes

gegeben und hieraus beziehungsweise die Belastung des Gewölbes oder die Form der Wölblinie zu finden. Unter die gebräuchlichsten Formen der Gewölbe gehört der Kreis und die Ellipse. Die Kreisgewölbe haben entweder die Form des Halbkreises oder „vollen Bogens“, des Kreissegmentes oder Stichbogens oder eines aus mehreren Kreissegmenten zusammengesetzten Bogens, des Korbbogens. Als die natürlichste Belastungsweise ergibt sich die der zweckmäßigsten Lage der Fahrbahn entsprechende, gerad abgeglichene und hier entweder das Gewölbe mit wagrecht abgeglichener Belastung oder das Affinoidengewölbe und das Gewölbe mit gerad abgeglichener, von beiden Seiten nach der Mitte hin steigender Belastung oder das Anaclinoidengewölbe.

I. Die Brücken, welche den Kreis oder Theile des Kreises zur Gewölbeform haben.

Die Scheiteltgleichung der kreisförmigen Stützlinie mit dem Radius r , s. Fig. 6, Taf. 1, ist

$$r - y = \sqrt{r^2 - x^2} \dots \dots \dots (27)$$

*) Siehe: Heinzerling, Theorie, Construction und statische Berechnung der Brückengewölbe nebst Ermittlung der hierzu erforderlichen Erfahrungswerthe. Allgem. Bauzeitung. Wien 1872. Tab. IV.

II. Tabelle über die in den Schlüsselsteinen der Gewölbe von Eisenbahn- und Straßen

N.	Krümmungshalbmesser e_0' im Scheitel.			Stärke d des Schlüsselsteins.			Krümmungshalbmesser $e_0' + \frac{d}{2}$ der Stützlinie im Scheitel			Belastung $d'g' + v$	
	Haustein Met.	Bachstein Met.	Bruchstein Met.	Haustein Met.	Bachstein Met.	Bruchstein Met.	Haustein Met.	Bachstein Met.	Bruchstein Met.	Eisenbahn- brücke Kg. p. □ ^m .	Straßen- brücke Kg. p. □ ^m .
1	5	—	—	0,52	—	—	5,26	—	—	2800	1800
2	—	5	—	—	0,58	—	—	5,29	—	"	"
3	—	—	5	—	—	0,64	—	—	5,32	"	"
4	10	—	—	0,64	—	—	10,32	—	—	"	"
5	—	10	—	—	0,71	—	—	10,35	—	"	"
6	—	—	10	—	—	0,79	—	—	10,39	"	"
7	15	—	—	0,77	—	—	15,38	—	—	"	"
8	—	15	—	—	0,85	—	—	15,42	—	"	"
9	—	—	15	—	—	0,95	—	—	15,47	"	"
10	20	—	—	0,89	—	—	20,44	—	—	"	"
11	—	20	—	—	0,99	—	—	20,49	—	"	"
12	—	—	20	—	—	1,10	—	—	20,55	"	"
13	25	—	—	1,02	—	—	25,51	—	—	"	"
14	—	25	—	—	1,13	—	—	25,52	—	"	"
15	—	—	25	—	—	1,26	—	—	25,55	"	"
16	30	—	—	1,14	—	—	30,57	—	—	"	"
17	—	30	—	—	1,26	—	—	30,63	—	"	"
18	—	—	30	—	—	—	—	—	30,70	"	"
19	35	—	—	1,27	—	1,41	35,63	—	—	"	"
20	—	35	—	—	1,41	—	—	35,70	—	"	"
21	—	—	35	—	—	—	—	—	35,78	"	"
22	40	—	—	1,39	—	1,57	40,69	—	—	"	"
23	45	—	—	1,52	—	—	45,76	—	—	"	"
24	50	—	—	1,64	—	—	50,82	—	—	"	"
25	55	—	—	1,77	—	—	55,88	—	—	"	"
26	60	—	—	1,89	—	—	60,94	—	—	"	"

brücken in Haustein, Backstein und Bruchstein stattfindenden Pressungen.

Gewicht g des Gewölbmauerwerks			Pressung p des Schlusssteins von Eisenbahnbrücken			Pressung p des Schlusssteins von Straßenbrücken.		
Haustein	Backstein	Bruchstein	Haustein	Backstein	Bruchstein	Haustein	Backstein	Bruchstein
Klg. p. Kmet.	Klg. p. Kmet.	Klg. p. Kmet.	Klg. p. □ ^m .	Klg. p. □ ^m .	Klg. p. □ ^m .	Klg. p. □ ^m .	Klg. p. □ ^m .	Klg. p. □ ^m .
2800	—	—	43000	—	—	32900	—	—
2500	—	—	41500	—	—	31400	—	—
—	2200	—	—	37200	—	—	28000	—
—	2000	—	—	36100	—	—	27000	—
—	—	2500	—	—	36600	—	—	28200
—	—	2200	—	—	35000	—	—	27000
2800	—	—	74000	—	—	57900	—	—
2500	—	—	71000	—	—	54800	—	—
—	2200	—	—	63600	—	—	49000	—
—	2000	—	—	61500	—	—	47000	—
—	—	2500	—	—	66943	—	—	49600
—	—	2200	—	—	59700	—	—	46500
2800	—	—	99000	—	—	79000	—	—
2500	—	—	94400	—	—	74400	—	—
—	2200	—	—	84700	—	—	66500	—
—	2000	—	—	81600	—	—	63500	—
—	—	2500	—	—	84300	—	—	68000
—	—	2200	—	—	79600	—	—	63300
2800	—	—	119000	—	—	98500	—	—
2500	—	—	115400	—	—	92400	—	—
—	2200	—	—	103000	—	—	82300	—
—	2000	—	—	98900	—	—	78200	—
—	—	2500	—	—	103700	—	—	85000
—	—	2200	—	—	97800	—	—	78900
2800	—	—	141000	—	—	116400	—	—
2500	—	—	133800	—	—	108800	—	—
—	2200	—	—	119400	—	—	96800	—
—	2000	—	—	114300	—	—	91700	—
—	—	2500	—	—	120600	—	—	100400
—	—	2200	—	—	113000	—	—	92700
2800	—	—	161000	—	—	133900	—	—
2500	—	—	151000	—	—	124300	—	—
—	2200	—	—	135400	—	—	118900	—
—	2000	—	—	129300	—	—	105000	—
—	—	2500	—	—	137700	—	—	115900
—	—	2200	—	—	128500	—	—	106700
2800	—	—	178000	—	—	153800	—	—
2500	—	—	167600	—	—	139600	—	—
—	2200	—	—	149400	—	—	124100	—
—	2000	—	—	142300	—	—	117000	—
—	—	2500	—	—	153200	—	—	130500
—	—	2200	—	—	142500	—	—	119700
2800	—	—	196000	—	—	166600	—	—
2500	—	—	183700	—	—	154400	—	—
2800	—	—	212000	—	—	182300	—	—
2500	—	—	198700	—	—	168600	—	—
2800	—	—	229000	—	—	187800	—	—
2500	—	—	213800	—	—	182800	—	—
2800	—	—	245000	—	—	213300	—	—
2500	—	—	228100	—	—	196500	—	—
2800	—	—	261000	—	—	228600	—	—
2500	—	—	242600	—	—	210400	—	—

woraus eine zweimalige Differentiation

$$\frac{dy}{dx} = \frac{x}{\sqrt{r^2 - x^2}} \dots (28)$$

und beziehungsweise

$$\frac{d^2y}{dx^2} = \frac{r^2}{\sqrt{(r^2 - x^2)^3}} \dots (29)$$

liefert. Setzt man in Gleichung (17) $\rho_0 = r$, so erhält man

$$d = \frac{d'g' + v}{\frac{p}{r} - g} \dots (30)$$

und wenn mit r_1 der bekannte Radius der inneren Wölb-
linie bezeichnet wird, da die Stützlinie durch die Mitte des
Schlußsteins gehen soll,

$$r = r_1 + \frac{d}{2} \dots (31)$$

also nach Einführung dieses Werthes in Gleichung (30)

$$d = \frac{d'g' + v}{\frac{p}{r_1 + \frac{d}{2}} - g} \dots (32)$$

und hieraus, wenn man nach Potenzen von d ordnet,

$$d^2 - d \left(\frac{2p - d'g' + v}{g} - 2r_1 \right) + 2r_1(d'g' + v) = 0 \dots (33)$$

Wird diese quadratische Gleichung nach d aufgelöst und
der Kürze halber

$$\frac{2p - (d'g' + v)}{2g} - r_1 = A \dots (34)$$

ferner

$$\frac{2r_1}{g} (d'g' + v) = B \dots (35)$$

gesetzt, so ergibt sich die Schlußsteinstärke aller Kreis-, Stütz-
und Korbbogengewölbe:

$$d = A - \sqrt{A^2 - B} \dots (36)$$

Wird dieser Werth in die Gleichungen (12) und (31)
eingeführt, so ist z_0 und r bekannt und man erhält unter
Benützung des Werthes in Gleichung (29), worin $\rho_0 = r$
zu setzen ist, aus Gleichung (10) die Belastungshöhen aller
genannten Wölblinien

$$z = z_0 \frac{r^3}{\sqrt{(r^2 - x^2)^3}} \dots (37)$$

welche in der später angegebenen Weise zu berechnen und
aufzutragen sind.

Da die Belastungshöhe z um so rascher wächst, je mehr
 x sich dem Werthe von r nähert, und für $x = r$ sogar ∞
wird, so läßt sich das theoretische Belastungsgesetz hier prak-
tisch nicht bis zu dem Bogenanfang, sondern nur bis zu
einem gewissen, von der Neigung der Brückenbahnebene ab-

hängigen Punkte mit der Abscisse x_1 erfüllen. Zwischen
diesem Punkte und dem Gewölbeseitel ist alsdann jedes halb-
kreisförmige Gewölbe als ein Stützbogengewölbe von der
Spannweite

$$l_1 = 2x_1, \dots (38)$$

und der Pfeilhöhe

$$f = r_1 - \sqrt{r_1^2 - x_1^2} \dots (39)$$

zu behandeln. Zwischen jenem Punkte und dem Gewölb-
fange dagegen, also für den unteren Rest des Gewölbes, ist
die Belastungslinie dem Längenprofil der Brückenbahn ent-
sprechend anzunehmen, die derselben entsprechende Stützlinie
zu construiren und hieraus zu entnehmen, ob dieselbe weder
der äußeren, noch der inneren Wölblinie zu nahe kommt, be-
ziehungsweise aus dem mittleren Drittel der Lagerfugen
heraustritt, noch auch um mehr als den erlaubten Reibungs-
winkel, welcher nach den darüber angestellten Versuchen*) 20
bis 25° beträgt, von den Normalen zu jenen Fugen abweicht.

Bezeichnet M_1 , s. Fig. 7 und 8, Taf. 1, den Punkt der
Stützlinie des Gewölbes, bis zu welchem vom Scheitel ab
sich das Belastungsgesetz erfüllen läßt und von welchem ab
nach dem Kämpfer hin die Belastung des Gewölbes nach der
erforderlichen Neigung der Brückenbahn abzugleichen ist, so
verändert sich von hier ab zugleich die Stützlinie. Um diese
veränderte Stützlinie, welche sich nur bei einem mathematisch
definirbaren Belastungsgesetz analytisch bestimmen läßt, auf
graphischem Wege zu erhalten, construirt man mittelst der
nach Größe und Neigung bekannten, in jenem Punkte M_1 die
Stützlinie berührenden Pressung R , sowie mit Hilfe der aus der
Zeichnung zu ermittelnden Gewichte 1, 2, 3 . . . alle folgende
Belastungselemente der veränderten Stützlinie in der Weise,
daß man jene Tangentialkraft R , wie in Fig. 8, mit
diesen, in demselben Kräftemaßstab aufgetragenen Vertical-
kräften 1, 2, 3 . . . zusammensetzt und die so erhaltenen, neuen
Resultanten R, R_2, \dots , wie in Fig. 7, von M_1 ab der Reihe
nach in den Schwerlinien jener Belastungselemente zu einem
Polygon verbindet. Dieses letztere, welches die veränderte Stütz-
linie darstellt, erhebt sich, da die Verticalkräfte in Folge der
Abgleichung $A'M'$ geringer werden, vom Punkte M_1 ab über
die kreisförmige Stützlinie und tritt daher mehr in das In-
nere der Gewölbmassen, wonach sich wieder die äußere Wölblinie
zu richten hat. Da die Gewölbe nach dem Korbbogen und nach
der Ellipse eine Erfüllung des Belastungsgesetzes bis zu deren
Bogenanfang gleichfalls nicht gestatten, so ist auch für diese,
später zu behandelnde Gewölbe eine ähnliche Modification
ihrer Belastung nach Maßgabe der erforderlichen Neigung
der Brückenbahn nöthig und die Construction der hierdurch
veränderten Stützlinie auf analogem Wege zu bewirken.

*) Vgl. u. a. die Versuche von Bukowsky, Zeitschr. d. österr.
Ing. und Arch.-Ver. Wien 1870. S. 224.

1) Die Brücken mit Halbkreisgewölben.

Ist die Spannweite l eines Halbkreisgewölbes gegeben, so ist der Radius seiner inneren Wölblinie

$$r_1 = \frac{l}{2} \dots \dots \dots (40)$$

und der Radius seiner Widerstandslinie:

$$r = r_1 + \frac{d}{2} = \frac{l+d}{2} \dots \dots \dots (41)$$

Da die Halbkreisgewölbe wegen ihres großen Pfeilverhältnisses

$$\frac{f}{l} = \frac{1}{2}$$

seltner zu Strombrücken, dagegen meistens zu hohen Viaducten angewandt werden, so soll die vorstehende statische Berechnung an einem der letzteren erläutert werden.

Beispiel. Eisenbahnviaduct mit aus Ziegeln bestehendem Halbkreisgewölbe und horizontaler Fahrbahn (s. Taf. 2, Fig. 1—3).

Beträgt dessen

Spannweite $l = 30$ Met.,

Gewicht des Oberbaues und der Zwischenconstruction $d'g' = 1100$ Kilogr. per \square Met.,

Verkehrsbelastung $v = \frac{5060}{3} = \text{rot. } 1700$ Kilogr. per \square Met., also die

Gesamtbelastung $d'g' + v = 2800$ Kilogr., ferner das Gewölbegewicht $g = 2500$ Kilogr. per \square Met.,

so erhält man nach Relation (40)

$$r_1 = \frac{30}{2} = 15 \text{ Met.},$$

ferner mit Berücksichtigung der jeweiligen Umstände aus der in Spalte 11 bis 14 enthaltenen Tabelle

$$p = 94400 \text{ Kilogr. per } \square \text{ Met.}$$

und aus den Relationen (34) und (35) die Werthe

$$A = \frac{2 \cdot 94400 - 2800}{2 \cdot 2500} - 15 = 22,19,$$

$$B = \frac{2 \cdot 15 \cdot 2800}{2500} = 33,6,$$

mithin aus Gleichung (36) die Stärke des Schlußsteins

$$d = A - \sqrt{A^2 - B} = 22,19 - \sqrt{22,19^2 - 33,6} = 0,77^m.$$

Hieraus ergibt sich die Belastungshöhe im Scheitel

$$z_0 = d + \frac{d'g' + v}{g} = 0,77 + \frac{2800}{2500} = 1,89 \text{ Met.},$$

und der Radius der Widerstandslinie im Scheitel

$$r = r_1 + \frac{d}{2} = 15 + \frac{0,77}{2} = 15,38 \text{ Met.},$$

daher die Belastungshöhe für beliebige Abscissen

$$z = z_0 \frac{r^3}{\sqrt{(r^2 - x^2)^3}} = 1,89 \cdot \frac{15,38^3}{\sqrt{(15,38^2 - x^2)^3}}$$

und für:

x	0	2,5	5	7,5	10	12,5	15
z	1,89	1,97	2,23	2,84	4,31	9,56	175,31

Werden diese Höhen aufgetragen, so ergibt sich die in Fig. 1, Taf. 2, dargestellte Belastungslinie, welche in dem Abstände $x = 12,1$ von der horizontalen Fahrbahnlinie geschnitten wird und folglich, da sich die Belastungshöhe selbstverständlich nicht über die Fahrbahnebene erheben darf, eine Abänderung erleiden muß. Bewirkt man diese von dem Punkte ab, worin die Belastungshöhe zu steigen beginnt und dessen Abscisse $x = 8,75$ Meter beträgt, indem man zur gleichzeitigen Herstellung einer guten Abwässerung, anstatt jener steigenden und gekrümmten, eine fallende und gerade Abgleichungslinie der Hintermauerung annimmt, so ändert sich von jenem Punkte ab das Belastungsgesetz und die ihm entsprechende Widerstandslinie, während beide in dem mittleren, empfindlicheren Theile des Gewölbes dieselben bleiben. Der Einfluß, welchen eine Aenderung in dem Belastungsgesetze auf die Form der Widerstandslinie ausübt, wird nämlich relativ um so geringer, je näher an dem Widerlager diese Aenderung erfolgt. Combinirt man nun jene, durch die abgeänderte Belastungslinie theilweise verkürzten Belastungselemente mit dem constanten Horizontalschube, so erhält man die verlegte, weniger fallende Stützlinie. Die mittleren, vom Scheitel ab auf einander folgenden Höhen

1,9; 1,95; 2,00; 2,09; 2,19; 2,35; 3,15; 3,67; 4,45; 5,60; 7,20 und 9,90 Met.

der je $\frac{15}{12} = 1,25$ Met. breiten Belastungselemente 1 bis 12 ergeben nämlich, wenn sie successive summiert werden, die Theilhöhen

1,9; 3,85; 5,85; 7,94; 10,13; 12,48; 15,63; 19,30; 23,75; 29,35; 36,56 und die Gesamthöhe 46,45 Met.,

welche in Fig. 3 in $\frac{1}{5}$ der Belastungshöhen aufgetragen sind. Der Horizontalschub beträgt

$$H = g z_0 r = g \cdot 1,89 \cdot 15,38 = g \cdot 29,07 \text{ Kilogr.}$$

und entspricht dem Gewichte eines parallelepipedischen Steinprismas von 29,07 Met. Länge, 1 Met. Breite und 1 Met. Dicke, also 29,07 Met. kubischem Inhalt oder, wenn man die Breite von 1,25 der Belastungselemente zu Grunde legt, dem Gewichte eines Steinprismas von 29,07 $\cdot \frac{1}{1,25} = 23,25$

Met. Länge, 1,25 Met. Breite, 1 Met. Dicke und demselben

kubischen Inhalte. Aus der letzteren, im Verhältniß von $\frac{1}{1,25} = \frac{4}{5}$ reducirten Länge 23,25 Met. der Horizontalkraft und den obigen 12 Verticalkräften sind in Fig. 3, Taf. 2, die vom Scheitel ab aufeinander folgenden Resultanten dieser Kräfte construirt und in den Schwerlinien der zugehörigen Belastungselemente (z. B. die Hypotenuse von 23,25 und 1,9 in der Schwerlinie des Belastungselementes 1, die Hypotenuse von 23,25 und 3,85 in der Schwerlinie des Belastungselementes 2 u. s. f.) zu der combinirten Stütze zusammenge setzt worden, die, wie Fig. 1 zeigt, vom Scheitel bis zu jener, der Abscisse 8,75 entsprechenden Ordinate mit der normalen Stütze vollkommen übereinstimmt und nur in dem unteren, der Abscisse 8,75 bis 15 entsprechenden Theile des Gewölbes, von ihr abweicht. Dieselbe Stütze läßt sich mit Hilfe der 29,07 Met. langen Horizontalkraft construiren, wenn die 12 Verticalkräfte in dem Maßstabe von $\frac{1}{5} \cdot 1,25 = \frac{1}{4}$ der zugehörigen Belastungshöhen, was einem Gesamtvolumen von $46,45 \cdot 1,25 = 58,06$ Kmet. entspricht, aufgetragen werden, wie dies in der erwähnten Figur gleichfalls geschehen ist.

Berechnet oder construirt man hierauf zwischen der Schlußfuge und der der Abscisse 15 entsprechenden Kämpferfuge die Längen einer hinreichenden Zahl verschiedener, nach dem Mittelpunkte des Halbkreises gerichteter Lagerfugen, indem man in deren unteren Endpunkten Lotrechte von der Länge $d = 0,77$ Met. des Schlußsteins errichtet und die ersteren mit einer durch den oberen Endpunkt der letzteren gelegten Horizontalen schneidet, so erhält man durch die Verbindung dieser Schnittpunkte die äußere Wölblinie, welche über die Zulässigkeit der verlegten Stütze entscheidet und in dem vorliegenden Falle zeigt, daß die letztere das mittlere Drittel der Gewölbefugen noch nicht überschreitet, mithin noch zulässig ist. Hiermit ist der Entwurf des Gewölbes als freitragende Construction beendet und der unterhalb der Kämpferfuge gelegene Theil des Halbkreisbogens ist als Widerlager entweder mit wagrechten oder mit geneigten Lagerfugen auszuführen.

2) Die Brücken mit Segmentbogen- oder Stichtbogen-Gewölben.

Ist die Spannweite l und die Pfeilhöhe f , welche bei dem, einem Centriwinkel von 60° entsprechenden, sogenannten 60 gradigen Stichtbogen

$$f = l - \sqrt{l^2 - \left(\frac{l}{2}\right)^2} = l \left(1 - \frac{\sqrt{3}}{2}\right) = 0,13395 l \quad (42)$$

trägt, gegeben, so erhält man mit Bezug auf Fig. 9, Taf. 1

1) den Radius der inneren Wölblinie aus der be-

kannten Beziehung $\left(\frac{l}{2}\right)^2 = f(2r_1 - f)$

$$r_1 = \frac{\left(\frac{l}{2}\right)^2 + f^2}{2f} \quad (43)$$

und für den 60° igen Bogen

$$r_1 = l, \quad (44)$$

2) den Radius der Stütze, und zwar
a) parallel zur inneren Wölblinie

$$r = r_1 + \frac{d}{2}, \quad (45)$$

β) durch die Mitten der Lagerfugen aus derselben Beziehung

$$\left(\frac{l}{2} + \frac{d}{2} \cdot \frac{\frac{l}{2}}{r_1 - f}\right)^2 = f(2r - f)$$

$$r = \frac{l^2}{8f} \left(1 + \frac{\frac{d}{2}}{r_1 - f}\right)^2 + \frac{f}{2}, \quad (46)$$

3) den Radius der äußeren Wölblinie auf dieselbe Weise aus

$$\left(\frac{l}{2} + 2 \cdot \frac{d}{2} \cdot \frac{\frac{l}{2}}{r_1 - f}\right)^2 = f(2r_2 - f)$$

$$r_2 = \frac{l^2}{8f} \left(1 + \frac{d}{r_1 - f}\right)^2 + \frac{f}{2} \quad (47)$$

Die für alle Kreisgewölbe aufgestellten Formeln gelten also hier für die Abscissen $x = 0$ bis $x = \frac{l}{2}$. Da die

Kreissegmentbogenbrücken sehr häufig, meistens zu Strombrücken sowohl in Eisenbahn- als Straßenlinien, verwendet werden, so soll nachstehend die statisch-numerische Berechnung sowohl einer Straßenbrücke mit gegebenem Pfeilverhältniß als einer Eisenbahnbrücke mit 60 gradigem Segmentbogen gezeigt werden.

Erstes Beispiel. Gepflasterte Straßenbrücke mit aus Quadern bestehendem Stichtbogengewölbe und mit zur inneren Wölblinie paralleler Stütze (s. Taf. 2, Fig. 4 und 5), deren

Spannweite $l = 30$ Met.,

Pfeilhöhe $f = \frac{l}{10} = 3$ Met.

Fahrbahngewicht mit Ein-
schluß der Zwischengewölbe

$$d'g' = 1100 + 300 = 1400 \text{ Klg. p. } \square \text{ Met.}$$

Verkehrslast $v = 400$ Kilogr. per \square Met.

Gewölbegewicht $g = 2150$ Kilogr. per Kmet.

trägt.

Aus Gleichung (43) findet man den Radius der inneren Wölblinie

$$r' = \frac{15^2 + 3^2}{2 \cdot 6} = 39 \text{ Met.}$$

Mit Rücksicht auf diesen Werth, sowie auf das Gewölbmaterial und die Brückengattung ergibt sich aus der in Spalte 11 bis 14 enthaltenen Tabelle der Pressungen rund

$$p = 140000 \text{ Kilogr. per } \square \text{ Met.}$$

Die Gleichungen (34) und (35) ergeben alsdann beziehungsweise:

$$A = \frac{2 \cdot 140000 - 1800}{2 \cdot 2150} - 39 = 25,69,$$

$$B = \frac{2 \cdot 39 \cdot 1800}{2150} = 65,30,$$

mithin ist nach Gleichung (36)

$$d = 25,69 - \sqrt{25,69^2 - 65,30} = 1,31 \text{ Met.}$$

und nach Gleichung (26) die Länge der Rämpferfuge

$$d_{15} = \frac{39 \cdot 1,31}{39 - 3} = 1,42 \text{ Met.}$$

Aus Gleichung (12) erhält man

$$z_0 = 1,31 + \frac{1800}{2150} = 2,15 \text{ Met.}$$

und, weil nach Gleichung (41)

$$r = 39 + \frac{1,31}{2} = 39,66 \text{ Met.}$$

beträgt, aus Gleichung (37)

$$z = 2,15 \cdot \sqrt{39,66^3 - x^2}^3$$

daher für:

x	0	2,5	5	7,5	10	12,5	15 Met.
z	2,15	2,16	2,20	2,27	2,37	2,51	2,71 Met.

Werden diese Belastungshöhen, wie auf Taf. 2, Fig. 4 und 5, von der inneren Wölblinie aus lothrecht aufgetragen und von denselben mit dem aus Gleichung (47) abgeleiteten Radius der äußeren Wölblinie

$$r'' = \frac{30^2}{8 \cdot 3} \left(1 + \frac{1,31}{39 - 3}\right)^2 + \frac{3}{2} = 41,78 \text{ Met.}$$

die Gewölbhöhen abgeschnitten, so stellt der oben verbliebene Rest jener Belastungshöhen theils die der Verkehrslast entsprechende Belastungshöhe $\frac{v}{g}$, welche in der Constructionszeichnung, Fig. 5, weggelassen wird, theils die dem Gewichte der Straßenfahrbahn entsprechende Belastungshöhe $\frac{d'g'}{g}$

dar, welche nun, ebenso wie jeder ihrer Bestandtheile, das Pflaster und dessen Sandlager, in ihrer wahren Höhe aufgetragen wird, wie dies in Fig. 5 gleichfalls geschehen ist. Der zwischen dem Gewölbe und der Straßenfahrbahn übrig bleibenden, dem Gewichte des Gewölbmaterials entsprechend aufgetragenen Belastung hat die auf jenen Gewölben ruhende, durchbrochen gebaute Zwischenconstruktion zu entsprechen.

Wäre dasselbe Brückengewölbe in Ziegeln oder Bruchsteinen herzustellen, so würde unter übrigens gleichen Umständen nach praktischen Erfahrungen die Stärke des Schlußsteins bei dem

$$\text{Ziegelgewölbe } d_z = 1,11 d$$

$$\text{Bruchsteingewölbe } d_b = 1,24 d,$$

mithin statt 1,31, beziehungsweise 1,45 und 1,62 zu wählen und diese Stärke in alle davon abhängige Gleichungen einzuführen sein.

Zweites Beispiel. Eisenbahnbrücke mit 60 gradigem, aus Quadern bestehendem Stichbogengewölbe und mit die Lagerfugen der Gewölbsteine halbirender Widerstandslinie, s. Taf. 2, Fig. 6 u. 7, deren

$$\text{Spannweite } l = 30 \text{ Met.},$$

Oberbaugewicht mit

Einschluß der Zwi-

$$\text{schengewölbe } d'g' = 1200 + 300 = 1500 \text{ Klg. p. } \square \text{ Met.},$$

$$\text{Verkehrsbelastung } v = \frac{5060}{3} = \text{rot. } 1700 \text{ " " "}$$

$$\text{mithin } d'g' + v = 3200 \text{ Klg. p. } \square \text{ Met.},$$

Gewölbmaterial-

$$\text{gewicht } g = 2500 \text{ " p. } \square \text{ Met.}$$

beträgt.

Nach Gleichung (44) beträgt der Radius der inneren Gewölblinie

$$r' = 30 \text{ Met.},$$

und nach Gleichung (42) deren Pfeilhöhe

$$f = \left(1 - \frac{\sqrt{3}}{2}\right) l = 0,13395 \cdot 30 = 4,02 \text{ Met.}$$

Mit Bezug auf obigen Werth r, sowie auf das Gewölbmaterial und die Brückengattung ergibt sich aus der in Spalte 11 bis 14 enthaltenen Tabelle der Pressungen

$$p = 162230 \text{ Kilogr. per } \square \text{ Met.},$$

ferner aus den Relationen (34) und (35) beziehungsweise

$$A = \frac{2 \cdot 162230 - 3200}{2 \cdot 2500} - 30 = 34,25$$

$$\text{und } B = \frac{2 \cdot 30 \cdot 3200}{2500} = 76,8,$$

mithin aus Gleichung (36)

$$d = 34,25 - \sqrt{34,25^2 - 76,8} = 34,25 - 33,109 = 1,14^m$$

und aus Gleichung (26)

$$d_1 = \frac{30 \cdot 1,14}{30 - 4,02} = 1,32 \text{ Met.}$$

Aus den Gleichungen (12) und (46) ergibt sich beziehungsweise die Belastungshöhe im Scheitel

$$z_0 = 1,14 + \frac{3200}{2500} = 1,14 + 1,28 = 2,42 \text{ Met.}$$

und der Radius der Widerstandslinie

$$r = \frac{30^2}{8 \cdot 4,02} \left(1 + \frac{0,57}{30 - 4,02} \right)^2 + \frac{4,02}{2} = 31,235 \text{ Met.}$$

mithin aus Gleichung (37) für beliebige Abscissen

$$z = 2,42 \cdot \frac{31,235^3}{\sqrt{31,235^2 - x^2}^3}$$

und für

x	0	2,5	5	7,5	10	12,5	15 Met.,
z	2,42	2,443	2,52	2,64	2,85	3,14	3,59 Met.,

welche Belastungshöhen von der innern Wölblinie aus lothrecht nach oben aufgetragen werden. Nach Gleichung (47) beträgt der Radius der äußeren Wölblinie

$$r'' = \frac{30^2}{8 \cdot 4,02} \left(1 + \frac{1,14}{30 - 4,02} \right)^2 + \frac{4,02}{2} = 32,515 \text{ Met.}$$

welcher zum Abschneiden der Gewölbhöhen dient, worauf, wie bei den vorhergehenden Beispielen; die Höhe $\frac{v}{g}$ der Verkehrsbelastung weggelassen und die Belastungshöhe $\frac{d'g'}{g}$ des Oberbaues in ihrer wahren Höhe aufgetragen wird.

Die zwischen dem Oberbau und dem Gewölbe erforderliche Zwischenconstruktion hat alsdann wieder der zwischen beiden übrig bleibenden Belastung zu entsprechen. Für eine der inneren Wölblinie parallel laufende Widerstandslinie würde

$$r = 30 + \frac{1,44}{2} = 30,72 \text{ Met.}$$

werden und für Ziegel oder Bruchstein, nach Spalte 22, d zu vergrößern und einzusetzen sein.

Durch Addition dieser Gleichungen entsteht beziehungsweise:

$$A + A'' + \dots + A_{m-1} = \Delta [\cos \alpha + \cos (\alpha + \alpha'') + \dots + \cos (\alpha + \alpha'' + \dots + \alpha_{m-1})] = r_1 - f \dots (57)$$

$$B + B'' + \dots + B_{m-1} = \Delta [\sin \alpha + \sin (\alpha + \alpha'') + \dots + \sin (\alpha + \alpha'' + \dots + \alpha_{m-1})] = \frac{1}{2} - r_m \dots (58)$$

Wird aus Gleichung (48) $r_m + (m - 1) \Delta$ statt r_1 in Gleichung (57) gesetzt und hierauf aus den Gleichungen (57) und (58) r_m eliminirt, so ergibt sich

3) Die Brücken mit Korbbogengewölben.

Sind die Spannweite l und die Pfeilhöhe f eines Korbbogens, s. Taf. 1, Fig. 10, gegeben, so sind zunächst vom Scheitel ab die Radien $r, r'', \dots r_m$ der einzelnen Kreisbogen samt den ihnen zugehörigen Centriwinkeln $\alpha, \alpha'', \dots \alpha_m$ z. B. unter der Annahme zu bestimmen, daß jene Radien in arithmetischer Progression fallen, während diese Centriwinkel in arithmetischer Progression wachsen. Die bei dieser Annahme noch unbestimmt bleibende Differenz der aufeinanderfolgenden Halbmesser wird in statischer und ästhetischer Beziehung am vollkommensten so bestimmt, daß sie ein Minimum wird. *)

Bezeichnet für einen solchen, aus $2n - 1$ Kreissegmenten bestehenden Korbbogen mit constanter Minimaldifferenz der aufeinanderfolgenden Halbmesser, für welchen

$$f < \frac{l}{2} \text{ ist, s. Fig. 11,}$$

r_1 den größten und r_m den kleinsten Halbmesser,

Δ die constante Differenz der aufeinanderfolgenden Halbmesser,

$2\alpha, \alpha'', \dots \alpha_m$ die zu den, mit dem größten bis kleinsten Halbmesser beschriebenen, Bogen gehörigen Centriwinkel,

$A, A'', \dots A_{m-1}$ die verticalen } Abstände aller Kreiscentren von den ihnen un-

$B, B'', \dots B_{m-1}$ die horizontalen } mittelbar vorhergehenden,

so hat man, da der halbe Korbbogen m Centren besitzt,

$$r_1 = r_m + (m - 1) \Delta \dots (48)$$

Aus Figur (11) folgt unmittelbar

$$A = \Delta \cos \alpha, \dots (49)$$

$$B = \Delta \sin \alpha, \dots (50)$$

$$A'' = \Delta \cos (\alpha + \alpha''), \dots (51)$$

$$B'' = \Delta \sin (\alpha + \alpha''), \dots (52)$$

$$A''' = \Delta \cos (\alpha + \alpha'' + \alpha'''), \dots (53)$$

$$B''' = \Delta \sin (\alpha + \alpha'' + \alpha'''), \dots (54)$$

$$A_{m-1} = \Delta \cos (\alpha + \alpha'' + \dots + \alpha_{m-1}), \dots (55)$$

$$B_{m-1} = \Delta \sin (\alpha + \alpha'' + \dots + \alpha_{m-1}), \dots (56)$$

*) Vergl. hierüber Romberg, Ztschr. für praktische Baukunst 1863, S. 229 ff.

$$A = \frac{\frac{1}{2} - f}{\sin \alpha + \sin(\alpha + \alpha_n) + \dots + \sin(\alpha + \alpha_n + \dots + \alpha_{m-1}) + \cos \alpha + \cos(\alpha + \alpha_n) + \dots + \cos(\alpha + \alpha_n + \dots + \alpha_{m-1}) - (m-1)}$$

$$= \frac{\frac{1}{2} - f}{K} \quad (59)$$

wenn der Nenner der vorstehenden Gleichung der Kürze halber K gesetzt wird. Alsdann erhält man durch Differentiation

$$\frac{dA}{d\alpha} = - \frac{\left(\frac{1}{2} - f\right) (\cos \alpha + \cos(\alpha + \alpha_n) \frac{d(\alpha + \alpha_n)}{d\alpha} + \dots + \cos(\alpha + \alpha_n + \dots + \alpha_m) \frac{d(\alpha + \alpha_n + \dots + \alpha_{m-1})}{d\alpha})}{K^2}$$

$$= - \frac{\sin \alpha + \sin(\alpha + \alpha_n) \frac{d(\alpha + \alpha_n)}{d\alpha} + \dots + \sin(\alpha + \alpha_n + \dots + \alpha_m) \frac{d(\alpha + \alpha_n + \dots + \alpha_{m-1})}{d\alpha}}{K^2} \quad (60)$$

und für $\frac{dA}{d\alpha} = 0$

$$\sin \alpha + \sin(\alpha + \alpha_n) \frac{d(\alpha + \alpha_n)}{d\alpha} + \dots + \sin(\alpha + \alpha_n + \dots + \alpha_{m-1}) \frac{d(\alpha + \alpha_n + \dots + \alpha_{m-1})}{d\alpha} =$$

$$\cos \alpha + \cos(\alpha + \alpha_n) \frac{d(\alpha + \alpha_n)}{d\alpha} + \dots + \cos(\alpha + \alpha_n + \dots + \alpha_{m-1}) \frac{d(\alpha + \alpha_n + \dots + \alpha_{m-1})}{d\alpha} \quad (61)$$

Bezeichnet man mit δ die Differenz der aufeinander folgenden Winkel, so sind diese letzteren

$$\alpha_1, \alpha_n = 2\alpha + \delta, \alpha_{2n} = 2\alpha + 2\delta, \dots, \alpha_m = 2\alpha + (m-1)\delta,$$

daher

$$\alpha + \alpha_n + \dots + \alpha_m = (2m-1)\alpha + \frac{m(m-1)}{2} \delta = 90^\circ,$$

und hieraus

$$\delta = 2 \cdot \frac{90 - (2m-1)\alpha}{m(m-1)} \quad (62)$$

Führt man den Werth von δ in die Ausdrücke für $\alpha_1, \alpha_n, \alpha_{2n}, \dots, \alpha_{m-1}$ ein, so erhält man:

$$\alpha + \alpha_n = 3\alpha + 2 \cdot \frac{90 - (2m-1)\alpha}{m(m-1)}, \text{ daher } \frac{d(\alpha + \alpha_n)}{d\alpha} = 3 - \frac{2(2m-1)}{m(m-1)} \quad (63)$$

$$\alpha + \alpha_n + \alpha_{2n} = 5\alpha + 6 \cdot \frac{90 - (2m-1)\alpha}{m(m-1)}, \text{ daher } \frac{d(\alpha + \alpha_n + \alpha_{2n})}{d\alpha} = 5 - \frac{6(2m-1)}{m(m-1)} \quad (64)$$

$$\alpha + \alpha_n + \dots + \alpha_{m-1} = (2m-3)\alpha + \frac{(m-2)[90 - (2m-1)\alpha]}{m},$$

$$\text{daher } \frac{d(\alpha + \alpha_n + \dots + \alpha_{m-1})}{d\alpha} = 2m-3 - \frac{(m-2)(2m-1)}{m} \quad (65)$$

Werden die Werthe von

$$\alpha, \alpha_n, \dots, \alpha_{m-1} \text{ und } \frac{d(\alpha + \alpha_n)}{d\alpha}, \dots, \frac{d(\alpha + \alpha_n + \dots + \alpha_{m-1})}{d\alpha}$$

in Gleichung (61) eingeführt, so ergibt sich

$$\sin \alpha + \sin\left(3\alpha + 2 \cdot \frac{90 - (2m-1)\alpha}{m(m-1)}\right) \left(3 - \frac{2(2m-1)}{m(m-1)}\right) + \dots + \sin\left((2m-3)\alpha + (m-2) \frac{90 - (2m-1)\alpha}{m}\right)$$

$$\left(2m-3 - \frac{(m-2)(2m-1)}{m}\right) = \cos \alpha + \cos\left(3\alpha + 2 \cdot \frac{90 - (2m-1)\alpha}{m(m-1)}\right) \left(3 - \frac{2(2m-1)}{m(m-1)}\right) + \dots$$

$$\cos\left((2m-3)\alpha + (m-2) \frac{90 - (2m-1)\alpha}{m}\right) \left(2m-3 - \frac{(m-2)(2m-1)}{m}\right) \quad (66)$$

Wird hieraus α , durch einige Versuchsrechnungen bestimmt, woraus sich alsdann die Winkel $\alpha_n, \alpha_{2n}, \dots, \alpha_{m-1}$ ergeben

und diese Werthe in Gleichung (59) eingeführt, so ergibt sich das Minimum von Δ und hierdurch aus den Gleichungen (57) und (58)

$$r_1 = f + \Delta [\cos \alpha + \cos(\alpha + \alpha_n) + \dots \cos(\alpha + \alpha_n + \dots \alpha_{m-1})], \dots \dots \dots (67)$$

$$r_m = \frac{1}{2} - \Delta [\sin \alpha + \cos(\alpha + \alpha_n) + \dots \sin(\alpha + \alpha_n + \dots \alpha_{m-1})], \dots \dots \dots (68)$$

sowie aus den Gleichungen (49) bis (56) die Werthe von

$$A, A_n, \dots A_{m-1} \text{ und } B, B_n, \dots B_{m-1}.$$

Sind z. B. 5 Kreiscentren vorhanden, so ist $2m - 1 = 5$, mithin $m = \frac{6}{2} = 3$, $m - 1 = 2$ und die Gleichung (66) geht über in

$$\sin \alpha + \frac{4}{3} \sin \left(30 + \frac{4}{3} \alpha \right) = \cos \alpha + \frac{4}{3} \cos \left(30 + \frac{4}{3} \alpha \right), \dots \dots \dots (69)$$

woraus auf 3' Annäherung $\alpha = 23^\circ 18'$ gefunden wird.

Man erhält alsdann $\alpha + \alpha_n = 30 + \frac{4}{3} \alpha = 61^\circ 4'$, mithin

$$\sin \alpha = 0,3955455 \dots \dots \dots (70)$$

$$\cos \alpha = 0,9184464 \dots \dots \dots (71)$$

$$\sin(\alpha + \alpha_n) = 0,8751832 \dots \dots \dots (72)$$

$$\cos(\alpha + \alpha_n) = 0,4837916 \dots \dots \dots (73)$$

und

$$\Delta = \frac{\frac{1}{2} - f}{\sin \alpha + \sin(\alpha + \alpha_n) + \cos \alpha + \cos(\alpha + \alpha_n) - 2} = \frac{\frac{1}{2} - f}{0,6729667} = 1,4850576 \left(\frac{1}{2} - f \right), \dots \dots (74)$$

ferner

$$r = f + \Delta (\cos \alpha + \cos(\alpha + \alpha_n)) = f + 2,0836662 \left(\frac{1}{2} - f \right), \dots \dots \dots (75)$$

$$r_m = \frac{1}{2} - \Delta (\sin \alpha + \sin(\alpha + \alpha_n)) = \frac{1}{2} - 1,8882490 \left(\frac{1}{2} - f \right), \dots \dots \dots (76)$$

$$A_n = \Delta \cos(\alpha + \alpha_n) = 0,7188938 \left(\frac{1}{2} - f \right), \dots \dots \dots (77)$$

$$B = \Delta \sin \alpha = 0,5877638 \left(\frac{1}{2} - f \right), \dots \dots \dots (78)$$

woraus sich die geometrische Form des Korbbogens mit 5 Kreissegmenten und 5 Mittelpunkten ergibt.

Werden die so für Korbbogen mit 5 Mittelpunkten, s. Fig. 12, Taf. 1, gewonnenen Resultate tabellariſch zusammengestellt und denselben diejenigen für Korbbogen mit 7 und 9 Mittelpunkten beigeſügt, so ergibt sich, wenn der Kürze halber $\frac{1}{2} - f = c$ geſetzt wird, umſtehende Tabelle.

Auf Korbbogen mit 3 Kreistheilen läßt sich das vorſtehende Verfahren nicht anwenden, dafür das folgende:

Bezeichnet wieder $\frac{1}{2}$ die halbe Spannweite, f die Pfeilhöhe r und r' die Halbmesser dieses Korbbogens, s. Fig. 13, Taf. 1, so ist für ΔADE

$$(r - f)^2 + \left(\frac{1}{2} - r' \right)^2 = (r - r')^2,$$

woraus

$$f^2 + \left(\frac{1}{2} \right)^2 = 2fr - 2rr' + 2 \frac{1}{2} r'. \dots (79)$$

Läßt man das Verhältniß zwischen beiden Halbmessern ein Minimum werden*) und ſetzt den Werth $r'y$ ſtatt r in Gleichung (79), so ergibt sich

$$f^2 + \left(\frac{1}{2} \right)^2 = y(2fr' - 2r'^2) + 2 \cdot \frac{1}{2} \cdot r'. \dots (80)$$

Das Minimum von $y = \frac{r}{r'}$ ergibt sich für

$$\frac{dy}{dr'} = y(2f - 4r') + 2 \frac{1}{2} = 0,$$

*) Vergl.: Sganziu, Grundsätze der Straßen-, Brücken-, Canal- und Hafenbaukunde, deutsch von Lehritter und Strauß. Regensburg 1832. II. S. 7.

III. Tabelle zur Construction der Korbbogen mit 5, 7 und 9 Mittelpunkten bei constanter Minimaldifferenz der aufeinanderfolgenden Halbmesser.

Zahl der Kreis- theile.	Coordinationen der Centren der Kreistheile.		Länge der Erzeugungshalbmesser.	Centriwinkel der Kreis- theile	
	Abscissen.	Ordinaten.		in Grad und Minuten.	in Bogenlängen für den Rad. 1.
5	0,0000	2,0837 c	f + 2,0837 c	46° 36'	0,81332
	0,5878 c	0,7189 c	f + 0,5977 c	37° 46'	0,65915
	1,8882 c	0,0000	f - 0,8882 c	28° 56'	0,50498
7	0,0000	2,2039 c	f + 2,2039 c	30° 12'	0,52709
	0,2759 c	1,1813 c	f + 1,1448 c	27° 35'	0,48142
	0,9939 c	0,4047 c	f + 0,0856 c	24° 58'	0,43575
	1,9735 c	0,0000	f - 0,9735 c	22° 21'	0,39008
9	0,0000	2,2511 c	f + 2,2511 c	22° 20'	0,38979
	0,1590 c	1,4458 c	f + 1,4302 c	21° 17'	0,37146
	0,5994 c	0,7531 c	f + 0,6094 c	20° 14'	0,35314
	1,2522 c	0,2555 c	f - 0,2115 c	19° 11'	0,33481
	2,0323 c	0,0000	f - 0,0323 c	18° 8'	0,31649

woraus

$$y = \frac{2 \cdot \frac{1}{2}}{4r' - 2f} = \frac{\frac{1}{2}}{2r' - f}$$

Wird dieser Werth in Gleichung (80) eingeführt und in Bezug auf r' aufgelöst, so erhält man

$$r' = \frac{1}{1} \left[\left(\frac{1}{2} \right)^2 + f^2 - \left(\frac{1}{2} - f \right) \sqrt{\left(\frac{1}{2} \right)^2 + f^2} \right] \quad (81)$$

Wegen r = r'y erhält man:

$$r = \frac{r' \cdot \frac{1}{2}}{2r' - f} \quad (82)$$

$$\frac{BE}{BM} = \frac{BC}{AB}, \text{ daher } BE = \frac{BM \cdot BC}{AB} = \frac{HB \cdot BC}{2AB} = \frac{(BC - CH) \cdot BC}{2AB} = \frac{(BC - AB + AC) \cdot BC}{2AB} =$$

$$\frac{1}{2AB} [BC^2 - (AB - AC) \cdot BC] = \frac{1}{1} \left[\left(\frac{1}{2} \right)^2 + f^2 - \left(\frac{1}{2} - f \right) \sqrt{\left(\frac{1}{2} \right)^2 + f^2} \right] = r,$$

Sind nach dem Vorstehenden die Radien r, r_n, ... r_m der inneren Wölblinie bestimmt, so sind bei approximativ ermittelter Schlußsteinstärke auch die ihnen entsprechenden Radien e₁ = r + $\frac{d}{2}$, e_n = r_n + $\frac{d}{2}$... e_m = r_m + $\frac{d}{2}$ der zu ihr parallelen Widerstandslinie annähernd bestimmt. Da das mittlere Bogenstück des Korbbogengewölbes mit dem Radius r' den statischen Gesetzen eines ihm gleichen Segmentbogengewölbes unterliegt, so ergibt sich die Pressung seines Schlußsteins aus der Gleichung (18), dessen Stärke aus den

Die Gleichungen (81) und (82) lösen die Aufgabe. Sie enthalten die gesuchten Halbmesser als Function der Spannweite und Pfeilhöhe.

Graphische Bestimmung von r und r'.

Zieht man die Sehne CB, schneidet auf derselben von C aus die Länge CH = AB - CB ab, halbirt HB und errichtet in dem Halbierungspunkt M eine Normale, so schneidet dieselbe auf der Horizontalen AB den Radius r'' und auf der Verticalen AC den Radius r ab. Man hat nämlich:

Gleichungen (34), (35) und (36), ferner aus Gleichung (12); dessen Belastungshöhe im Scheitel

$$z_0 = d + \frac{d'g' + v}{g} \quad (83)$$

mithin im Scheitel des m^{ten} Bogenstückes nach Gleichung (383)*)

*) Vergl. Grundzüge der Brücken- und Hochbau-Construktionen. I. Leipzig 1870. Spalte 63.

$$z_m^0 = z^0 \cdot \frac{q_r}{q_m} \dots \dots \dots (84)$$

Die Belastungshöhen für beliebige Abscissen jenes Bogenstückes, welche übrigens stets auf den Scheitel eines jeden derselben zu beziehen sind, ergeben sich alsdann nach Gleichung (384) a. a. O. aus:

$$z_m = z \cdot \frac{q_r}{q_m} = z_0 \frac{q_r \cdot q_m^2}{\sqrt{(q_m^2 - x_2^2)^3}} \dots \dots (85)$$

Beispiel. Gepflasterte Straßenbrücke mit aus Quadern bestehendem Korbbogengewölbe mit fünf Mittelpunkten und constanter Minimaldifferenz der aufeinanderfolgenden Halbmesser.

Aus dem in Spalte 27 und 28 berechneten Beispiele erhält man die Winkel $\alpha = 23^\circ 18'$ und $\alpha + \alpha'' = 61^\circ 4'$, also $\alpha'' = 37^\circ 46'$, ferner nach den Gleichungen (74—78) beziehungsweise die constante Minimaldifferenz der Halbmesser

- das Fahrbahngewicht mit Einschluß der Zwischengewölbe
- die Verkehrslast
- das Gewölbegewicht

so erhält man zunächst mit Bezug auf die in Spalte 11 bis 14 enthaltene Tabelle aus Gleichung (18) die Pressung

$$p = \left(\frac{1400 + 400}{0,90} + 2200 \right) (20,42 + 0,45) = 87654 \text{ Kilogr. pro } \square \text{ Met.,}$$

mithin nach Gleichung (34) und (35) beziehungsweise

$$A = \frac{2 \cdot 87654 - 1800}{2 \cdot 2200} - 20,42 = 19,01$$

$$\text{und } B = \frac{2 \cdot 20,42 \cdot 1800}{2200} = 33,43,$$

woraus nach Gleichung (36) die Schlußsteinstärke

$$d = 19,01 - \sqrt{19,01^2 - 33,41} = 19,01 - 18,11 = 0,9 \text{ m}$$

erhalten wird.

Die Belastungshöhen im Scheitel des ersten, zweiten und dritten Bogenstückes ergeben sich aus den Gleichungen (12) und (84) bzw.

$$z_0' = 0,90 + \frac{1800}{2200} = 1,72 \text{ Met.}$$

$$z_0'' = z_0' \cdot \frac{q_r}{q''} = 1,72 \cdot \frac{20,87}{13,44} = 2,67 \text{ Met.}$$

$$z_0''' = z_0' \cdot \frac{q_r}{q'''} = 1,72 \cdot \frac{20,87}{6,01} = 5,97 \text{ Met.,}$$

$$A = 1,4859576 (15 - 10) = 7,43 \text{ Met.,}$$

den Radius im Scheitel

$$r_1 = 10 + 2,0836662 (15 - 10) = 20,42 \text{ Met.,}$$

woraus sich zugleich der folgende Radius

$$r_{11} = r_1 - A = 20,42 - 7,43 = 12,99 \text{ Met.}$$

ergibt, ferner den Radius am Bogenanfang

$$r_{111} = 15 - 1,8882490 (15 - 10) = 5,56 \text{ Met.,}$$

den lothrechten Abstand des zweiten Centrums von der Sehne des Korbbogens

$$A_{11} = 0,7188938 (15 - 10) = 3,59 \text{ Met.,}$$

sowie den wagrechten Abstand desselben von der Mittellinie des Bogens

$$B_{11} = 0,5877638 (15 - 10) = 2,94 \text{ Met.}$$

Beträgt nun:

$$d'g' = 1100 + 300 = 1400 \text{ Kilogr. pro } \text{Kmet.},$$

$$v = 400 \text{ Kilogr. pro } \square \text{ Met.,}$$

$$g = 2200 \text{ Kilogr. pro } \text{Kmet.},$$

mithin für beliebige, von dem zugehörigen Scheitel ab zu zählende Abscissen des ersten, zweiten und dritten Bogenstückes aus Gleichung (85)

$$z_1 = z_0' \cdot \frac{q_r^3}{\sqrt{(q_r^2 - x_1^2)^3}} = 1,72 \cdot \frac{20,87^2}{\sqrt{(20,87^2 - x_1^2)^3}}$$

$$z_{11} = z_0' \cdot \frac{q_r q_{11}^2}{\sqrt{(q_{11}^2 - x_{11}^2)^3}} = 1,72 \cdot \frac{20,87 \cdot 13,44^2}{\sqrt{(13,44^2 - x_{11}^2)^3}}$$

$$z_{111} = z_0' \cdot \frac{q_r q_{111}^2}{\sqrt{(q_{111}^2 - x_{111}^2)^3}} = 1,72 \cdot \frac{20,87 \cdot 6,01^2}{\sqrt{(6,01^2 - x_{111}^2)^3}}$$

wobei sich

$$x_1 \text{ von } 0 \text{ bis } q' \sin \alpha = 20,87 \cdot \sin 23^\circ 18' = 8,255 \text{ Met.,}$$

$$x_{11} \text{ von } q_{11} \sin \alpha = 13,44 \cdot \sin 23^\circ 18' = 5,316 \text{ bis}$$

$$q_{11} \sin (\alpha + \alpha_{11}) = 13,44 \cdot \sin 61^\circ 04' = 11,762 \text{ Met.,}$$

$$\text{und } x_{111} \text{ von } q_{111} \sin (\alpha + \alpha_{11}) = 6,01 \cdot \sin 61^\circ 4' = 5,26$$

$$\text{bis } q_{111} = 6,01 \text{ Met.}$$

erstreckt.

Setzt man successive $x_1 =$	2,5	5	7,5	8,255	$x_{11} =$	5,316	7,5	10	11,762	$x_{111} =$	5,260	5,5	6,01
so ergibt sich bezw. $z_1 =$	1,76	1,88	2,12	2,22	$z_{11} =$	3,45	4,67	8,96	23,59	$z_{111} =$	52,59	91,17	∞

Die Lagerfugen der Korbbogengewölbe bilden nach Gleichung (23) und (26) die Hypotenuse rechtwinkliger Dreiecke, deren senkrechte Katheten sämtlich der Höhe d des Schluß-

steins gleich sind und lassen sich mithin leicht construiren, wodurch die Lage der äußeren Wölblinie erhalten wird, wie dies auf Taf. 3, Fig. 1 und 2 dargestellt ist.

Da von der Abscisse $x = 8,25$ Met. ab, wie diese Figuren zeigen, sich das Belastungsgesetz nicht mehr erfüllen läßt, so ist in diesem Punkte, der nothwendigen Abwässerung des Gewölbes entsprechend, die Abgleichungslinie der Hintermauerung tangential an die äußere Wölblinie angeschlossen worden. Ueber der ersteren sind in Figur 1 die dem Verkehr, der Jahrbahn und der Zwischenconstruktion entsprechenden und auf Gewölbmaterial bezogenen Belastungslinien aufgetragen, mithin die Höhen der zwölf, je $1,25$ Met. breiten Belastungselemente vom Scheitel ab successive zu $1,70; 1,70; 1,75; 1,80; 1,90; 2,05; 2,20; 2,40; 2,85; 3,50; 4,50$ und $5,90$ Met. zusammen $32,25$ Met. bestimmt, welche in Figur 3 in dem Maßstabe von $\frac{1}{5}$ der Belastungshöhen aufgetragen sind. Der constante Horizontalschub beträgt nach Gleichung (5)

$$H = g z_0 e_0 = g \cdot 1,72 \cdot 20,87 = g \cdot 35,89 \text{ Kilogr.}$$

und entspricht mithin dem Gewichte eines Steinprismas von entweder $35,89$ Met. Länge, 1 Met. Breite, 1 Met. Dicke und $35,89$ Kmet. Inhalt oder von $35,89 \cdot \frac{1}{1,25} = 28,72$ m

Länge, $1,25$ Met. Breite, 1 Met. Dicke und demselben Inhalte. Mit den Längen von $28,72$ Met. und den obigen Höhen der 12 Belastungselemente sind in Fig. 3 die vom Scheitel ab aufeinanderfolgenden Resultanten dieser Kräfte construirt und in den Schwerpunkten dem zugehörigen Belastungselemente 1—12, z. B. die Hypotenuse von $28,72$ und $1,70$ im Schwerpunkte des Belastungselementes 1, die Hypotenuse von $28,72$ und $1,7 + 1,7 = 3,40$ im Schwerpunkte des Belastungselementes 2 u. s. f. zu den in Figur 1 und 2 enthaltenen combinirten Stützlilien zusammengesetzt worden. Wie man hieraus sieht, stimmt dieselbe bis zu der, zur Abscisse $x = 8,25$ gehörigen, Ordinate vollkommen mit der normalen Stützlilie überein und weicht nur in dem unteren Theile des Gewölbes von derselben ab: eine Abweichung, welche, falls sie zu bedeutend erscheinen und eine zu große Gewölbstärke erfordern sollte, durch eine Erhöhung der Hintermauerung beliebig vermindert werden kann. Die in Figur 3 enthaltene Hilfsconstruktion läßt sich auch aus der Horizontalkraft von $35,89$ Kmet. ableiten, wenn die erwähnten 12 Verticalkräfte nun in dem Maßstabe von $\frac{1}{5} \cdot 1,25 = \frac{1}{4}$ der zugehörigen Belastungshöhen, woraus man ein Gesamtvolumen von $32,25 \cdot 1,25 = 40,31$ Kmet. erhält, aufgetragen werden, wie dies in der erwähnten Figur gleichfalls geschehen ist.

II. Die Brücken mit elliptischen Gewölben.

Ist die Spannweite l und Pfeilhöhe f der elliptischen Stützlilie des Gewölbes, s. Fig. 14, Taf. 1, gegeben, so ist deren Scheitelgleichung:

$$f - y = \frac{f}{2} \sqrt{\left(\frac{l}{2}\right)^2 - x^2} \dots (86)$$

woraus durch zweimalige Differentiation

$$\frac{dy}{dx} = \frac{f}{2} \cdot \frac{x}{\sqrt{\left(\frac{l}{2}\right)^2 - x^2}} \dots (87)$$

und beziehungsweise

$$\frac{d^2 y}{dx^2} = f \cdot \frac{1}{2} \cdot \frac{1}{\sqrt{\left(\left(\frac{l}{2}\right)^2 - x^2\right)^3}} \dots (88)$$

erhalten wird.

Wird $\frac{dy}{dx} = \text{tg } \alpha$ gesetzt, so ergibt sich aus Gleichung (87)

$$\sqrt{\left(\frac{l}{2}\right)^2 - x^2} = \frac{\frac{1}{2} \cdot f}{\left(f^2 + \left(\frac{l}{2}\right)^2 \text{tg}^2 \alpha\right)^{1/2}}$$

und wenn dieser Werth in Gleichung (88) eingeführt wird,

$$\frac{d^2 y}{dx^2} = \frac{\left(f^2 + \left(\frac{l}{2}\right)^2 \text{tg}^2 \alpha\right)^{3/2}}{f^2 \cdot \left(\frac{l}{2}\right)^2} \dots (89)$$

Führt man den Werth von $\frac{dy}{dx} = \text{tg } \alpha$ und von $\frac{d^2 y}{dx^2}$ aus Gleichung (89) in die allgemeine Gleichung

$$e = \frac{\left(1 + \left(\frac{dy}{dx}\right)^2\right)^{3/2}}{\frac{d^2 y}{dx^2}}$$

ein und reducirt, so ergibt sich der Krümmungshalbmesser der Ellipse

$$e = \frac{f^2}{2} \left(\frac{1 + \text{tg}^2 \alpha}{\left(\frac{2f}{l}\right)^2 + \text{tg}^2 \alpha} \right)^{3/2} \dots (90)$$

der im Scheitel, für welchen $\alpha = 0$, in

$$e_0 = \frac{\left(\frac{l}{2}\right)^2}{f} \dots (91)$$

übergeht, worauf sich derselbe für beliebige Winkel α berechnen und mit Hilfe beider die Ellipse construiren läßt.

Wird der Werth von $\frac{d^2 y}{dx^2}$ aus Gleichung (88) in Gleichung (9) eingeführt, so ergibt sich die Belastungshöhe

$$z = h \cdot \frac{f \cdot \frac{1}{2}}{\sqrt{\left(\left(\frac{l}{2}\right)^2 - x^2\right)^3}} \dots (92)$$

mithin über dem Scheitel, für welchen $x = 0$ ist, die Belastungshöhe

$$z_0 = h \cdot \frac{f}{\left(\frac{1}{2}\right)^2} \dots \dots \dots (93)$$

und wenn dieser Werth in Gleichung (37) eingeführt wird,

$$z = z_0 \frac{\left(\frac{1}{2}\right)^3}{\sqrt{\left(\left(\frac{1}{2}\right)^2 - x^2\right)^3}} \dots \dots (94)$$

Für $x = \frac{1}{2}$ wird $z = \infty$, woraus folgt, daß auch

für das elliptische Gewölbe das Belastungsgesetz sich nicht bis zum Gewölbefang erfüllen läßt, mithin wenigstens von dem Punkte, bis zu welchem das Belastungsgesetz erfüllbar ist, eine Modification erfahren muß.

Wird mit f_1 die Pfeilhöhe, mit l_1 die Spannweite der inneren Wölblinie bezeichnet und die Stützlinie mit derselben parallel laufend angenommen, so ist

$$f = f_1 + \frac{d}{2} \dots \dots \dots (95)$$

$$\text{und } \frac{1}{2} = \frac{l_1 + d}{2} \dots \dots \dots (96)$$

zu setzen ist. Werden diese Werthe in Gleichung (91) eingeführt, so ergibt sich aus Gleichung (16) die Schlußstärke

$$d = \frac{d'g' + v}{f_1 + \frac{d}{2}}, \dots \dots (97)$$

$$P \cdot \frac{\left(\frac{l_1 + d}{2}\right)^2 - g}{\dots}$$

woraus man, wenn nach Potenzen von d geordnet und der Kürze halber

$$A = \frac{4pf_1}{g} - l_1^2 - \frac{2l_1}{g}(d'g' + v), \dots (98)$$

$$B = \frac{2p}{g} - 2l_1 - \frac{d'g' + v}{g}, \dots (99)$$

$$C = \frac{(d'g' + v)}{g} l_1^2 \dots \dots \dots (100)$$

gesetzt wird, die Gleichung

$$d^3 - d^2 \cdot B - d \cdot A + C = 0 \dots (101)$$

erhält. Hieraus ergibt sich durch einige Versuche die Schlußsteinstärke der elliptischen Gewölbe. Der Gang der Rechnung ist nun folgender:

Aus der Spannweite l_1 und Pfeilhöhe f_1 der inneren Wölblinie, welche gegeben sein müssen, erhält man zunächst mit Bezug auf Gleichung (90) und (91) den Krümmungshalbmesser der inneren Wölblinie

$$e_1 = \frac{f_1^2}{\left(\frac{1}{2}\right)^2} \left(\frac{1 + \text{tg}^2 \alpha}{\left(\frac{2f_1}{l_1}\right)^2 + \text{tg}^2 \alpha} \right)^{3/2}$$

und den Krümmungshalbmesser im Scheitel

$$e_1^0 = \frac{\left(\frac{1}{2}\right)^2}{f}$$

Durch Einführung des letzteren in Gleichung (21) ergibt sich mit Bezug auf die Tabelle II, Sp. 11—14, die zulässige Pressung im Schlußstein

$$p = \left(\frac{d'g' + v}{d} + g \right) (e_1^0 + \frac{d}{2}) \dots (102)$$

Mit Hilfe dieses Werthes erhält man durch einige Versuche, wobei empirische Formeln zur Ermittlung von Näherungswerthen dienen können, aus Gleichung (101)

$$d^3 - d^2 B - dA = -C,$$

worin A , B und C die durch Gleichung (98), (99) und (100) angegebenen Werthe haben, die Stärke d des Schlußsteins und durch Einführung der so erhaltenen Werthe von d ergibt sich nach Gleichung (12)

$$z_0 = d + \frac{d'g' + v}{g},$$

mithin aus Gleichung (94)

$$z = z_0 \frac{\left(\frac{l_1 + d}{2}\right)^3}{\sqrt{\left(\left(\frac{l_1 + d}{2}\right)^2 - x^2\right)^3}}$$

Beispiel: Eisenbahnbrücke mit aus Quadern bestehenden elliptischen Gewölben.

Spannweite $l = 30$ Met.,

Pfeilhöhe $f = \frac{1}{3} = 10$ Met.,

Oberbaugewicht

mit Einschluß der Zwischengewölbe $d'g' = 1100$ Kilogr. pro \square Met.,

Verkehrsgewicht $v = 1690$ Kilogr. pro \square Met.,

Gewölbgewicht $g = 2500$ Kilogr. pro Kubmet.

beträgt.

Aus obiger Gleichung ergibt sich für:

α	0	5	10	15	20	25	30	35	40	45	50	55	60	65	70
e_1	22,5	22,19	21,35	20,01	18,37	16,61	14,93	13,42	12,04	10,86	9,79	8,99	8,34	7,79	7,38

und wenn der Krümmungshalbmesser im Scheitel $\rho_1^0 = 22,5$ Met. in Gleichung (102) gesetzt wird, die Pressung des Schlusssteins per \square Met.

$$p = \left(\frac{2800}{0,95} + 2500 \right) (22,5 + 0,48) = \text{rot. } 125180 \text{ Kilogr.}$$

Die Schlusssteinstärke ergibt sich dann aus Gleichung (97)

$$d = \frac{2800}{125180 \left(10 + \frac{d}{2} \right) - 2500 \left(15 + \frac{d}{2} \right)^2} = \text{nahe } 0,94 \text{ Met.}$$

Aus den Gleichungen (59) und (60) ergibt sich sodann beziehungsweise

$$z_0 = 0,94 + \frac{2800}{2500} = 2,06 \text{ Met.},$$

und hieraus

$$z = 2,06 \cdot \frac{15,47^3}{\sqrt{((15,47)^2 - x^2)^3}}$$

Giebt man x die nachstehenden Werthe, so erhält man die zugehörigen Werthe von z wie folgt.

x	0	2,5	5	7,5	10	12,5	15
z	2,06	2,14	2,43	3,08	4,64	10,07	140,74

wonach die Gesamtbelastungshöhen aufgetragen werden.

Da die Lagerfugen auch der elliptischen Gewölbe nach Gleichung (21) die Hypotenusen rechtwinkliger Dreiecke bilden, deren senkrechte Katheten durchweg der Höhe des Schlusssteins gleich sind, so läßt sich hieraus die äußere Wölblinie leicht construiren, wie dies in Fig. 4 und 5, Taf. 3, geschehen ist.

Das horizontale Planum der Eisenbahn schneidet die Belastungslinie in einem Abstände x_1 vom Scheitel, welcher sich aus Gleichung (92^a*) finden läßt. Wird nämlich die jener Abscisse x , entsprechende Belastungshöhe z , eingeführt, so erhält man

$$f + z_0 \left(1 - \frac{\left(\frac{l_1 + d}{2} \right)^3}{\sqrt{\left(\left(\frac{l_1 + d}{2} \right)^2 - x_1^2 \right)^3}} \right) = f \sqrt{1 - \left(\frac{x_1}{\frac{l_1}{2}} \right)^2},$$

mithin, wenn die bekannten Zahlenwerthe eingesetzt werden,

$$10 + 2,06 \left(\frac{15,47^3}{\sqrt{(15,47^2 - x_1^2)^3}} \right) = 10 \sqrt{1 - \left(\frac{x_1}{15} \right)^2},$$

woraus $x_1 = \text{nahe } 10$ Met. gefunden wird. Bis zu diesem Punkte ließe sich das Belastungsgesetz erfüllen, da aber alsdann die in Fig. 4 und 5 punktirt eingetragene Abgleichslinie der Hintermauerung von der Abscisse $x = 5$ Met. ab bereits zu steigen beginnt, so erscheint es für die notwendige Abwässerung des Gewölbes vortheilhaft, kein daselbst an den Gewölbrücken tangential anschließende, gerade und geneigte Hintermauerung zu wählen, wie dies in Fig. 4 und 5 geschehen ist. Werden über derselben die der Verkehrslast, der Fahrbahn und der Zwischenconstruction entsprechenden und auf das Gewicht des Gewölbmaterials bezogenen Belastungslinien aufgetragen, s. Fig. 4, so betragen die Höhen der zwölf, je 1,25 Met. breiten Belastungselemente vom Scheitel ab der Reihe nach 2,1; 2,1; 2,2; 2,35; 2,50; 2,75; 3,15; 3,60; 4,20; 5,00; 6,10 und 7,85, mithin zusammen 43,9 Met., welche in Fig. 6, Taf. 3, in dem Maßstabe von

$\frac{1}{5}$ der Belastungshöhen aufgetragen sind. Der Horizontal Schub beträgt nach Gleichung (5)**)

$$H = g z_0 \rho_0 = g \cdot 2,06 \cdot 22,5 = g \cdot 46,35 \text{ Kilogr.}$$

und entspricht mithin dem Gewichte eines Steinprismas von 46,35 Met. Länge, 1 Met. Breite, 1 Met. Dicke und 46,35

Kmet. Inhalt oder von $46,35 \cdot \frac{1}{1,25} = 37,08$ Met. Länge,

1,25 Met. Breite und 1 Met. Dicke bei demselben Rauminhalte. Mit der Länge von 37,08 Met. und den oben angegebenen Höhen der zwölf Belastungselemente sind in Fig. 6 Taf. 3, die vom Scheitel ab aufeinanderfolgenden Resultanten dieser Kräfte construirt und in den Schwerpunkten der zugehörigen 12 Belastungselemente (s. B. der Hypotenuse von 37,08 und 2,1 im Schwerpunkte des Belastungselements 1, die Hypotenuse von 37,08 und 2,1 + 2,1 = 4,2 im Schwer-

*) S. Ztschr. f. Bauw., Brln. 1869, Spalte 110.

**) S. vorl. Heft, Spalte 5.

punkte des Belastungselements 2 u. f. f.) zu der in Figur 4 und 5 enthaltenen combinirten Stützlinie zusammengesetzt worden, die, wie man sofort bemerkt, bis zu der, der Abscisse 10 entsprechenden Ordinate fast genau mit der normalen Stützlinie zusammenfällt und nur in dem unteren Theile des Gewölbes von derselben abweicht. Sollte diese Abweichung eine zu bedeutende Zunahme der Gewölbstärke erfordern, so läßt sich durch eine angemessene, auf Kosten der Zwischenconstruction bewirkte Erhöhung der Hintermauerung jene Abweichung herabmindern. Die in Fig. 6 dargestellte Hilfsconstruction läßt sich übrigens auch aus der Horizontalkraft direct ableiten, wenn die erwähnten 12 Verticalkräfte in dem Maßstabe von $\frac{1}{5} \cdot 1,25 = \frac{1}{4}$ der zugehörigen Belastungshöhe, woraus man ein Gesamtvolumen von 43,95 $\cdot 1,25$

= 54,87 Rmet. erhält, aufgetragen werden, wie dies in Fig. 6 gleichfalls geschehen ist.

III. Die Brücken mit Klintoidengewölben.

Wird im Nachfolgenden mit a die trigonometrische Tangente des Neigungswinkels β , s. Fig. 15, Taf. 1, einer Brückenbahn, mit

$$y_0 = d + \frac{d'g' + v}{g} \dots (102)$$

die Belastungshöhe im Scheitel, worin d mit Hilfe von l und f aus einer empirischen Formel zu bestimmen bleibt, und y hinreichend groß zu nehmen ist, bezeichnet, so ist, wenn h die durch Gleichung (5) gegebene Bedeutung behält, die allgemeine Gleichung der Klintoiden*)

$$y = \pm ax + \frac{y_0}{2} \left(e^{\frac{x}{\sqrt{h}}} + e^{-\frac{x}{\sqrt{h}}} \right) \mp \frac{a\sqrt{h}}{2} \left(e^{\frac{x}{\sqrt{h}}} - e^{-\frac{x}{\sqrt{h}}} \right), \dots (103)$$

worin die oberen Vorzeichen für die Gewölbe mit gerade abgeglicherer, von beiden Seiten nach dem Scheitel steigender Brückenbahn oder für die Anaklintoidengewölbe, s. Fig. 15, und die unteren Vorzeichen für die Gewölbe mit gerade abgeglicherer, von beiden Seiten nach dem Scheitel fallender Brückenbahn oder für die Kataklintoidengewölbe, s. Fig. 16, Taf. 1,

gelten, während der Werth a = 0 den Gewölben mit gerade abgeglicherer und wagrechter Brückenbahn oder den Aklintoidengewölben, s. Fig. 17, entspricht.

Setzt man in der vorstehenden Gleichung $x = \frac{l}{2}$, so wird $y = f + y_0$ und es ergibt sich

$$f + y_0 = \pm a \frac{l}{2} + \frac{y_0}{2} \left(e^{\frac{l}{2\sqrt{h}}} + e^{-\frac{l}{2\sqrt{h}}} \right) \mp \frac{a\sqrt{h}}{2} \left(e^{\frac{l}{2\sqrt{h}}} - e^{-\frac{l}{2\sqrt{h}}} \right) \dots (104)$$

und hieraus, wenn a und y gegeben oder angenommen sind, der Werth von h durch Substitution oder auf einem, bei den Ana- und Aklintoidengewölben erläuterten, graphischen Wege. Wird der so ermittelte Werth von h in die Gleichung (103) eingesetzt, so erhält man für angenommene Werthe von x die zugehörigen Ordinaten y und die Klintoiden lassen sich hiernach mittels Coordinaten auftragen. Um jedoch zugleich die Richtung der Lagerfugen der Klintoidengewölbe zu erhalten, ist es vortheilhaft, dieselben mittels ihres Krümmungshalbmessers

$$e = \frac{h}{\cos^3 \alpha \sqrt{y_0^2 + h} (\operatorname{tg}^2 \alpha \mp 2a \operatorname{tg} \alpha)} \dots (105)$$

zu construiren, worin α den Winkel bezeichnet, welchen die Tangente an irgend einen Punkt der Curve mit dem Horizonte oder der Krümmungshalbmesser in demselben Punkte mit der Verticalen einschließt. Läßt man denselben von dem Scheitel, worin $\alpha = 0$ ist, allmählig wachsen, so erhält man die demselben entsprechenden Krümmungshalbmesser. Setzt man in Gleichung (104) $\alpha = 0$, so ergibt sich der Krümmungshalbmesser im Scheitel

$$e_0 = \frac{h}{y_0} \dots (106)$$

mithin, wenn für h aus Gleichung (5) sein Werth gesetzt

wird, der Horizontalschub der Klintoidengewölbe

$$H = gh = gy_0 e_0, \dots (107)$$

ein Ergebnis, welches mit dem früher allgemein gefundenen übereinstimmt.

Ist h aus Gleichung (104) gefunden, so ist aus der Beziehung (106) auch e_0 bekannt und man erhält aus Gleichung (18) die Pressung p.

Andererseits folgt aus den Gleichungen (5) und (13) $gh = dp$ und hieraus die Stärke des Schlusssteins

$$d = \frac{gh}{p}, \dots (108)$$

welcher, in Gleichung (102) eingeführt, einen zweiten Werth y_0' von y_0 liefert, der entweder mit dem zuvor gefundenen genau übereinstimmt oder falls y_0 , wie bemerkt, hinreichend groß gewählt war, einen kleinen Belastungsüberschuß $y_0 - y_0'$ liefert, welcher als eine, die Stärke und damit die Sicherheit des Gewölbes nur vermehrende, Zusatzbelastung zu betrachten ist.

Ist e und d gefunden, so erhält man hieraus den Krümmungshalbmesser

*) Die Entwicklung dieser Formel siehe: Heinzerling, Grundzüge u. f. w. Erster Theil. Spalte 54. ff.

$$e_1 = e - \frac{d}{2} \dots \dots \dots (109)$$

der inneren Wölblinie und durch die Bestimmung der Länge einer hinreichenden Zahl von, der Neigung nach gegebenen, Lagerfugen entweder aus Gleichung (21) und (23) oder durch die dort gleichzeitig angegebene Construction die äußere Wölblinie, durch welche von der Gesamtbelastungshöhe die dem Gewichte der Fahrbahn und des Verkehrs entsprechende Teilbelastungshöhe abgeschnitten wird. Wird hierauf die letztere weggelassen und die erstere nach Maßgabe des specifischen Gewichts der Fahrbahn reducirt, so entspricht der Rest dem Gewichte des auf dem Gewölbe ruhenden, die Fahrbahn unterstützenden Zwischenmittels, welches entweder in einem Füllmaterial von dem entsprechenden specifischem

Gewichte, in einer massiven oder in einer mit Hohlraum versehenen Zwischenconstruction besteht.

1) Die Brückengewölbe mit Anaklinoëdengewölben.

Ist die Spannweite l und die Pfeilhöhe f gegeben und die auf das Einheitsgewicht des Gewölbmaterials reducirte Belastungshöhe im Scheitel

$$y_0 = d + \frac{d'g' + v}{g} \dots \dots (110)$$

unter der Annahme bestimmt, daß d mit Hilfe der Kenntniß von l und f vorläufig aus einer empirischen Formel abgeleitet wird, so ist aus Gleichung (104)

$$f + y_0 = a \frac{1}{2} + \frac{y_0}{2} \left(e^{\frac{1}{2\sqrt{h}}} + e^{-\frac{1}{2\sqrt{h}}} \right) - \frac{a\sqrt{h}}{2} \left(e^{\frac{1}{2\sqrt{h}}} - e^{-\frac{1}{2\sqrt{h}}} \right) \dots \dots (111)$$

zunächst der Werth von h, am einfachsten in folgender Weise, zu bestimmen. Multiplicirt man dieselbe mit $\frac{2}{y_0\sqrt{h}}$ und löst dieselbe nach $\frac{a}{y_0}$ auf, so ergibt sich:

$$a \cdot \frac{1}{y_0} = \frac{\frac{1}{2\sqrt{h}} \left(e^{\frac{1}{2\sqrt{h}}} + e^{-\frac{1}{2\sqrt{h}}} - 2 \right) - 2 \frac{1}{2\sqrt{h}} \cdot \frac{f}{y_0}}{e^{\frac{1}{2\sqrt{h}}} - e^{-\frac{1}{2\sqrt{h}}} - 2 \frac{1}{2\sqrt{h}}} \dots \dots (112)$$

und hieraus, wenn der Kürze halber die Funktion von $\frac{1}{2\sqrt{h}}$

$$\frac{1}{2\sqrt{h}} \cdot \frac{e^{\frac{1}{2\sqrt{h}}} + e^{-\frac{1}{2\sqrt{h}}} - 2}{e^{\frac{1}{2\sqrt{h}}} - e^{-\frac{1}{2\sqrt{h}}} - 2 \frac{1}{2\sqrt{h}}} = f' \left(\frac{1}{2\sqrt{h}} \right) \dots \dots (113)$$

und

$$\frac{1}{2\sqrt{h}} \cdot \frac{2}{e^{\frac{1}{2\sqrt{h}}} - e^{-\frac{1}{2\sqrt{h}}} - 2 \frac{1}{2\sqrt{h}}} = f'' \left(\frac{1}{2\sqrt{h}} \right) \dots \dots (114)$$

gesetzt werden,

$$f' \left(\frac{1}{2\sqrt{h}} \right) - a \frac{1}{2y_0} - f'' \left(\frac{1}{2\sqrt{h}} \right) \frac{f}{y_0} = 0 \dots \dots (115)$$

Die Größen $f' \left(\frac{1}{2\sqrt{h}} \right) - \frac{a1}{2y_0}$ und $f'' \left(\frac{1}{2\sqrt{h}} \right) \frac{f}{y_0}$ erscheinen als die Ordinaten von Curven mit den gemeinschaftlichen Abscissen $\frac{1}{2\sqrt{h}}$. Legt man den letzteren verschiedene Werthe bei, berechnet daraus die ihnen entsprechenden Ordinaten $f' \left(\frac{1}{2\sqrt{h}} \right) - \frac{a1}{2y_0}$ und $f'' \left(\frac{1}{2\sqrt{h}} \right) \frac{f}{y_0}$

und trägt dieselben auf, s. Taf. 3, Fig. 3, so findet sich diejenige, aus der Construction abzugreifende Abscisse

$$u = \frac{1}{2\sqrt{h}} \dots \dots (116)$$

ihrer Schnittpunktes, woraus alsdann der Werth

$$h = \left(\frac{1}{2u} \right)^2 \dots \dots (117)$$

um so genauer erhalten wird, je schärfer die Abscisse u

graphisch bestimmt wurde. Durch Einführung des so erhaltenen Näherungswerthes von h in Gleichung (111) läßt sich übrigens derselbe prüfen und im Falle einer nicht genügenden Erfüllung derselben durch Einführung feinerer Näherungswerthe beliebig verbessern. Mit Hilfe des Werthes von h und der Belastungshöhe y_0 im Scheitel ergibt sich der Krümmungshalbmesser daselbst

$$e_0 = \frac{h}{y_0} \dots \dots \dots (118)$$

und mit Benützung desselben aus der in Spalte 11 bis 14 enthaltenen Tabelle II die Pressung p . Hieraus ergibt sich aus Gleichung (108) die Schlußsteinstärke d .

Zur Construction der Widerstandslinie dient die in Gleichung (105) enthaltene Länge des Krümmungshalbmessers der Widerstandslinie

$$e = \frac{h}{\cos^3 \alpha \sqrt{y_0^2 + h(\operatorname{tg}^2 \alpha - 2a \operatorname{tg} \alpha)}} \quad (119)$$

woraus der Krümmungshalbmesser der zu ihr parallelen inneren Wölblinie

$$e_1 = e - \frac{d}{2}, \dots \dots \dots (120)$$

sowie die Richtung sämmtlicher, zu ihr senkrechter Lagerfugen erhalten wird.

Beispiel. Eisenbahnbrücke mit aus Quadern bestehenden Anafkinoïdengewölben, deren

Spannweite $l = 30$ Met.,

Pfeilhöhe $x = 10$ Met.,

Oberbaugewicht $d'g' = 1100$ Kilogr. per \square Met.,

$$f' \left(\frac{1}{2\sqrt{h}} \right) - 1,18 - 3,92 \cdot f'' \frac{1}{2\sqrt{h}} = 3,66387 - 1,18 - 2,48395 = -0,00008,$$

woraus die gesuchte Größe

$$h = \left(\frac{1}{2a} \right)^2 = \left(\frac{30}{2 \cdot 2,602} \right)^2 = 33,2329$$

erhalten und durch Einführung in die Gleichung:

$$10 + 2,55 = 0,2 \cdot 15 + 1,275 \left(e^{\frac{15}{\sqrt{h}}} + e^{-\frac{15}{\sqrt{h}}} \right) - 0,1\sqrt{h} \left(e^{\frac{15}{\sqrt{h}}} - e^{-\frac{15}{\sqrt{h}}} \right)$$

geprüft wird. Diese Prüfung ergibt für die rechte Seite dieser Gleichung

$$3 + 17,2951 - 7,7344 = 12,5607,$$

mithin eine hinreichende Annäherung an die Summe 12,55 der beiden Glieder der linken Seite derselben Gleichung.

Aus Gleichung (106) erhält man nun den Krümmungshalbmesser im Scheitel

$$e_0 = \frac{h}{y_0} = \frac{33,2329}{2,55} = 13,03 \text{ Met.}$$

und mit Hilfe dessen aus Tabelle II die Pressung $p = \text{rot.}$

$$\text{Verkehrsgewicht } v = \frac{5060}{2,5} = 2100 \text{ Kilogr. p. } \square \text{ Met.,}$$

$$\text{mithin } d'g' + v = 3200 \text{ Kilogr. per } \square \text{ Met.,}$$

$$\text{Gewölbgewicht } g = 2500 \text{ Kilogr.,}$$

$$\text{und vorläufig angenommene Fahrbahnsteigung } a = 0,2$$

beträgt.

Benützt man zur vorläufigen Ermittlung von y_0 die Formel

$$d^m = 0,219 + \frac{1^m}{12} \left(0,3 + 0,04 \frac{1^m}{x^m} \right)^*$$

und führt die Zahlenwerthe ein, so erhält man die Schlußsteinstärke

$$d = 0,219 + \frac{30}{12} \left(0,3 + 0,04 \frac{30}{10} \right) = \text{rot. } 1,25 \text{ Met.}$$

mit Hilfe deren man aus Gleichung (102) die Belastungshöhe im Scheitel

$$y_0 = 1,27 + \frac{1100 + 2100}{2500} = 2,55 \text{ Met.}$$

erhält. Hieraus ergeben sich alsdann die zur Bestimmung von h erforderlichen Werthe

$$\frac{al}{2y_0} = \frac{0,2 \cdot 30}{2 \cdot 2,55} = 1,18 \text{ und } \frac{f}{y_0} = \frac{10}{2,55} = 3,92$$

und nach Gleichung (115) für den Durchschnittspunkt beider Curvenzweige

$$f' \left(\frac{1}{2\sqrt{h}} \right) - 1,18 - 3,92 f'' \left(\frac{1}{2\sqrt{h}} \right) = 0.$$

$$\text{Für den Werth } \frac{1}{2\sqrt{h}} = 2,602 \text{ findet man nun mit}$$

hinreichender Annäherung

83000 Kilogr. Führt man die Werthe von h und p in Gleichung (108) ein, so ergibt sich die Schlußsteinstärke

$$d = \frac{gh}{p} = \frac{2500 \cdot 33,2329}{83000} = 1,18 \text{ Met.}$$

und hieraus die eigentliche Belastungshöhe im Scheitel

$$y_0' = 1,18 + \frac{3200}{2500} = 2,46 \text{ Met.,}$$

mithin die Differenz

*) Vergl. v. Raven, d. Wegebau, Hannover 1870, S. 516.

$$y_0 - y_0' = 2,55 - 2,46 = 0,09 \text{ Met.}$$

welche bei der Construction als Zusatzbelastung zu dem Gewichte der Fahrbahn betrachtet wird.

Aus Gleichung (119) findet man den Krümmungshalbmesser der Widerstandslinie

$$\rho = \frac{33,23}{\cos^3 \alpha \sqrt{2,55^2 + 33,23 (\operatorname{tg}^2 \alpha - 2 \cdot 0,2 \operatorname{tg} \alpha)}}$$

welcher für $\alpha =$	0	5	10	15	20	25	30	35	40	45	50	55	60
die entsprechenden Werthe $\rho =$	13,032	14,213	15,27	15,98	16,26	16,27	16,26	16,46	17,07	18,28	20,34	23,68	29,15

annimmt und zur Construction der inneren Wölblinie dient, indem man von den Enden der einzelnen Krümmungshalbmesser die halbe Schlusssteinstärke $\frac{d}{2} = 0,59$ des Schlusssteins nach abwärts aufträgt und durch Verbindung der so erhaltenen Punkte die innere Wölblinie erhält. Da die unten durch die Widerstandslinie, oben durch die Neigungslinie der Fahrbahn begrenzten Belastungshöhen y für gleiche Abscissen dieselben bleiben, so sind sie nur um die denselben entsprechende Differenz der Widerstands- und inneren Wölblinie senkrecht abwärts gerückt worden. Die äußere Wölblinie ist durch Abtrag der Längen der einzelnen Lagerfugen in der oben angegebenen Weise bewirkt, der Fahrbahn die wagrechte Lage

$$\frac{4}{5} H = \frac{4}{5} g h = \frac{4}{5} g y_0 \rho_0 = \frac{4}{5} \cdot 2500 \cdot 2,55 \cdot 13,03 = \frac{4}{5} \cdot 2500 \cdot 33,23 = 66380 \text{ Kilogr.},$$

während die Hintermauerung den Rest oder $\frac{1}{5}$ Theil desselben mit $\frac{1}{5} \cdot 2500 \cdot 33,23 = 16595$ Kilogr. aufnimmt. Dieser verkürzten, durch 12 gehenden Lagerfuge, sowie dem theilweisen Horizontalschube von 66380 Kilogr. entspricht die verticale Kathete

$$1,18 \cdot \frac{4}{5} = 1,18 \cdot 0,8 = 0,944 \text{ Met.}$$

Hiernach ist die äußere, der Aufnahme des gesammten Horizontalschubes entsprechende Wölblinie in den Figuren 1 und 2, Taf. 4, punktiert, die der theilweisen Aufnahme jenes Horizontalschubes entsprechende äußere Wölblinie dagegen ausgezogen, hierdurch aber wegen des gleichen specifischen Gewichtes des Gewölbes und der Hintermauerung, weder an den Belastungsverhältnissen, noch an der ihnen entsprechenden Form der Widerstandslinie des Gewölbes etwas geändert worden.

2) Die Brücken mit Affinoidengewölben.

Ist die Spannweite l und die Pfeilhöhe f gegeben, sowie die auf das Einheitsgewicht g' des Gewölbmaterials reducirte Belastungshöhe

gegeben, deren Höhe, dem ihr zukommenden Eigengewicht entsprechend, modificirt und die zur Unterstützung der Fahrbahn dienende Zwischenconstruction dem übrig bleibenden Belastungsgewicht entsprechend angeordnet worden.

Um das Gewölbe in seinem unteren, hintermauerten Theile, worin ein Theil des Horizontalschubes durch die Hintermauerung aufgehoben werden kann, nicht übermäßig zu verstärken, ist die Gewölbstärke von dem Punkt 8 der Widerstandslinie abwärts allmählig so vermindert worden, daß die durch Punkt 12 der Widerstandslinie gehende Lagerfuge nur noch den $\frac{4}{5}$ Theil des Horizontalschubes oder

$$y_0 = d + \frac{d'g' + v}{g} \dots (121)$$

angenommen, wobei d mit Hilfe der Größe l und f aus einer empirischen Formel möglichst annähernd zu bestimmen ist, so ergibt Gleichung (104), wenn darin die trigonometrische Tangente a der Straßenneigung Null gesetzt ist, für $x = \frac{1}{2}$

$$f + y_0 = \frac{y_0}{2} \left(e^{\frac{1}{2\sqrt{h}}} + e^{-\frac{1}{2\sqrt{h}}} \right), \dots (122)$$

woraus man den Werth von h entweder durch einige Substitutionen oder, wie folgt, auf graphischem Wege ermittelt. Wird diese Gleichung nämlich mit $\frac{y_0}{2}$ dividirt, so läßt sich dieselbe auch schreiben

$$e^{\frac{1}{2\sqrt{h}}} - 2 \left(\frac{f}{y_0} + 1 \right) - e^{-\frac{1}{2\sqrt{h}}} = 0, (123)$$

oder wenn die Function von $\frac{1}{2\sqrt{h}}$

$$e^{\frac{1}{2\sqrt{h}}} = f \left(\frac{1}{2\sqrt{h}} \right) \dots (124)$$

und

$$e - \frac{1}{2\sqrt{h}} = f'' \left(\frac{1}{2\sqrt{h}} \right) \dots (124b)$$

gesetzt wird,

$$f \left(\frac{1}{2\sqrt{h}} \right) - 2 \left(\frac{f}{y_0} + 1 \right) - f'' \left(\frac{1}{2\sqrt{h}} \right) = 0, (125)$$

Die Größen

$$f \left(\frac{1}{2\sqrt{h}} \right) - 2 \left(\frac{f}{y_0} + 1 \right) \text{ und } f'' \left(\frac{1}{2\sqrt{h}} \right)$$

erscheinen als die Ordinaten von Curven mit der gemeinschaftlichen Abscisse $\frac{1}{2\sqrt{h}}$. Legt man dieser letzteren verschiedene Werthe bei, berechnet daraus die ihr entsprechenden Werthe $f \left(\frac{1}{2\sqrt{h}} \right) - 2 \left(\frac{f}{y_0} + 1 \right)$ und $f'' \left(\frac{1}{2\sqrt{h}} \right)$ und trägt dieselben als Ordinaten auf, so findet sich diejenige, aus der Zeichnung abzugreifende Abscisse

$$u = \frac{1}{2\sqrt{h}} \dots (126)$$

ihres Schnittpunktes, woraus der Werth

$$h = \left(\frac{1}{2u} \right)^2, \dots (127)$$

um so genauer erhalten wird, je genauer der Werth u graphisch bestimmt wurde. Durch Einführung des Werthes von h in obige Gleichung prüft, bezw. verbessert man denselben. Mit Hilfe dieses hinreichend angenäherten Werthes von h und der Belastungshöhe y_0 im Scheitel ergibt sich der Krümmungshalbmesser daselbst

$$e_0 = \frac{h}{y_0} \dots (128)$$

und mit Benutzung desselben aus Tabelle II die Pressung p, worauf man durch Einführung dieser Werthe in Gleichung (108) die Schlußsteinstärke d erhält.

Zur Construction der Widerstandslinie dient der durch Gleichung (105), worin vorher $a = 0$ zu setzen ist, gegebene Krümmungshalbmesser

$$e = \frac{h}{\cos^3 \alpha \cdot \sqrt{y_0^2 + h \operatorname{tg}^2 \alpha}}, \dots (129)$$

$$y_0 = 1,27 + \frac{0,5 \cdot 2200 + 0,8 \cdot 1800 + 2100}{2500} = 1,27 + 1,87 = 3,14 \text{ Met.}$$

und durch dessen Einführung in Formel (122)

$$10 + 3,14 = \frac{3,14}{2} \left(e \sqrt{\frac{15}{h}} + e - \frac{15}{\sqrt{h}} \right),$$

woraus durch einige Substitutionen annähernd genug $h = 50,54$ erhalten wird, da sich durch Einführung dieses Werthes in die so eben benutzte Gleichung 13,1409 statt 13,14 ergibt. Mit dessen Hilfe erhält man aus Gleichung (129) den Krüm-

während die innere Wölblinie mittels des Krümmungshalbmessers

$$e_1 = e - \frac{d}{2} \dots (130)$$

sammt der Richtung sämtlicher, zu ihr senkrechter Lagerfugen erhalten wird. Die äußere Wölblinie erhält man wieder durch Bestimmung der Längen einer hinreichenden Zahl von Lagerfugen, welche wieder die Hypotenuse von Dreiecken darstellen, deren senkrechte Kathete der Schlußsteinstärke d gleichkommt. Durch die äußere Wölblinie wird von der Gesamtbelastungshöhe die dem Gewichte der Fahrbahn, der Zwischenschüttung und des Verkehrs entsprechende Belastungshöhe abgeschritten, wovon in Fig. 5, Taf. 4, die letztere weggelassen und die Belastungshöhe des Oberbaues, seinem geringern specifischen Gewichte entsprechend, reducirt wird. Der zwischen Oberbau und Gewölbe befindliche Theil der Belastung ist theils als Zwischenschüttung, theils als Hintermauerung nach Maßgabe ihrer specifischen Gewichte und des ihnen zukommenden Gesamtgewichts zu behandeln, wodurch deren Grenzlinie, welche zugleich die Abgleichungslinie der Hintermauerung bildet, bestimmt wird.

Beispiel. Eisenbahnbrücke mit aus Quadern bestehenden Klinkengewölben, deren

Spannweite $l = 30$ Met.,

Pfeilhöhe $f = 10$ Met.,

Oberbaugewicht $d'g' = 2200$ Kilogr. per \square Met.,

Gewicht der Auffüllung von:

0,8 Met. über dem Gewölbscheitel = 1800 Kilogr. p. \square Met.,

Verkehrslast $v = \frac{5060}{2,5} = \text{rot. } 2100 \text{ kg}$
p. \square Met.,

Gewölbgewicht $g = 2500$ Kilogr. p. \square Met.

beträgt.

Läßt man, da Spannweite und Pfeilhöhe derjenigen der zuvor berechneten Brücke gleich sind, auch den dort ermittelten Werth $d = 1,27$ Met. gelten, so erhält man aus Gleichung (121)

mungshalbmesser im Scheitel

$$e_0 = \frac{h}{y_0} = \frac{50,54}{3,14} = 16,09 \text{ Met.},$$

und mit Hilfe dessen aus Tabelle II die Pressung $p = \text{rot. } 89700$ Kilogr.

Führt man die Werthe von h und p in Gleichung (108) ein, so ergibt sich die Dicke des Schlußsteins

$$d = gh = \frac{2500 \cdot 50,54}{89700} = 1,28 \text{ Met.},$$

welche den zweiten Werth

$$y_0' = 1,28 + \frac{0,5 \cdot 2200 + 0,8 \cdot 1800 + 2100}{2500} = 1,28 + 1,87 = 3,15 \text{ Met.},$$

mithin die verschwindende Differenz $y_0 - y_0' = 3,14 - 3,15 = -0,01$ Met. ergibt.

Zur Construction der Widerstandslinie erhält man aus Gleichung (129) den Krümmungshalbmesser

$$e = \frac{50,54}{\cos^3 \alpha \cdot \sqrt{3,14^2 + 50,54 \operatorname{tg}^2 \alpha}}$$

und für $\alpha =$	0	5	10	15	20	25	30	35	40	45	50	55	60
$e =$	16,094	15,969	15,650	15,268	14,969	14,867	15,056	15,622	16,677	18,393	21,060	25,201	31,816

Längen, aus welchen die entsprechenden Krümmungshalbmesser der inneren Wölblinie durch Abzug von $\frac{d}{2} = 0,64$ Met.

gefunden werden. Die äußere, dem Eigengewicht des Gewölbmaterials entsprechende Wölblinie ergibt sich mit Hilfe des Werthes von d in der früher mehrfach angedeuteten Weise. Wird nun die dem Verkehrs- und Fahrbahngewicht entsprechende Belastungshöhe beziehungsweise weggelassen und abgeschnitten, so liefert der zwischen der unteren Begrenzung

der Fahrbahn und der äußeren Wölblinie gelegene Theil der Belastungshöhe die in den Figuren 4 und 5, Taf. 4, eingezeichnete Grenzlinie der Zwischenschüttung und Hintermauerung.

Um das Gewölbe in seinem unteren, hintermauerten Theile auch hier nicht übermäßig zu verstärken, ist von Punkt 7 der Widerstandslinie ab die Gewölbstärke so vermindert worden, daß die durch den Punkt 12 gehende Widerstandslinie nur noch den $\frac{4}{5}$ ten Theil des Horizontalschubes

$$\frac{4}{5} H = \frac{4}{5} gh = \frac{4}{5} g y_0 e_0 = \frac{4}{5} \cdot 2500 \cdot 3,14 \cdot 16,09 = \frac{4}{5} \cdot 2500 \cdot 50,54 = 101080 \text{ Kilogr.},$$

während die Hintermauerung den Rest oder $\frac{1}{5}$ ten Theil desselben mit $\frac{1}{5} \cdot 2500 \cdot 50,54 = 25270$ Kilogr. aufnimmt.

Die durch Punkt 12 gehende Lagerfuge erfährt daher eine Verkürzung, welche der auf $\frac{4}{5} \cdot 1,27 = 1,02$ verkürzten lothrechten Kathete 1,27 entspricht.

Auch hier wird wegen des gleichen spezifischen Gewichts des Gewölbes und der Hintermauerung weder an den Belastungsverhältnissen noch an der Form der Widerstandslinie etwas geändert, wenn die zwischen der, in Fig. 4 und 5, Taf. 4, punktirten und ausgezogenen äußeren Wölblinie gelegene Belastung als Hintermauerung und nicht als Gewölbe angeordnet wird. Sollte die Belastung etwa durch eine gerade Abgleichung der Hintermauerung etwas verändert werden, so läßt sich der Einfluß dieser Abänderung auf die Form der Stützlinie, sowie deren Zulässigkeit nach der bereits angegebenen graphischen Methode zur Verzeichnung derselben leicht prüfen.

B) Die schiefen gewölbten Brücken.

Bildet die Achse des schiefen Gewölbes den Winkel β , s. Taf. 5, Fig. 1, mit seiner Stirnfläche, so schließt dieselbe mit einer zur Stirnfläche Normalen den Complementwinkel $\alpha = 90^\circ - \beta$ ein, welchen man den Schrägungswinkel des schiefen Gewölbes nennt. Ist dieser Schrägungswinkel sehr klein, so läßt sich das schiefe Gewölbe wie ein gerades ausführen, dessen Stirnstücke man nach dem Neigungswinkel β der Stirnfläche mit der Gewölbachse abschrägt, s. Fig. 2, ein Verfahren, welches man am einfachsten erst nach der Schließung und Ausrüstung des Gewölbes vornimmt. Ist der Schrägungswinkel größer, so wird der Winkel β für den Steinschnitt zu spitz und das Gewölbe muß anders angeordnet werden. Zerlegt man nämlich das ganze Gewölbe in eine hinreichende Anzahl dünner, zu seiner Stirnfläche paralleler Gewölbstreifen, so läßt sich jeder dieser Streifen wie ein gerades Gewölbe behandeln, dessen Lagerflächen senkrecht zu seiner Stirnfläche und Laibungsfläche stehen. Trägt man, wie in Figur 3 und 4 gesehen, diese Gewölbstreifen im Grund- und Aufriß auf, so erhält man an einer beliebigen Stelle M, M_1 des Gewölbes für einen durch mehrere solcher Streifen reichenden Gewölbstein die gebrochene Lagerfuge

1 2 3 4 5, deren einzelne Polygonstücke auf den zugehörigen Bogen senkrecht stehen, s. Fig. 3. Dieser gebrochenen Lagerfuge entspricht eine aus ebenso vielen Theilen bestehende Lagerfläche, deren einzelne Theilflächen die gleiche, jenen Polygonstücken entsprechende Neigung haben. Wird jeder Absatz, z. B. 1 2, 2 des in einzelne Streifen zerlegten Gewölbes bis zur geraden Linie 1 2 ausgefüllt, so ändert sich hierdurch die Verticalprojection der Lagerfugen nicht, da z. B. der Schenkel 1 2, sich hierbei als Punkt projectirt, mithin der Schenkel 2, 2 in Fig. 4 den Schenkel 2 3 in Fig. 3 deckt.

Wählt man nun diese Absätze unendlich klein, so geht jene gebrochene Lagerfuge in eine stetige und die ihr zugehörige gebrochene Lagerfläche in eine windschiefe über. Da jede dieser stetig gekrümmten Lagerfugen die auf einander folgenden, unendlich dünnen Gewölbelemente unter rechten oder, behufs einfacherer Ausführung, unter gleichen, nur annähernd rechten Winkeln schneidet, so bilden diese Fugen Curven, welche sich wie Schraubenlinien um die Gewölbläche winden und hierbei dessen Cylinderelemente beziehungsweise unter veränderlichen oder constanten Winkeln schneiden. Hiernach sind die schiefen Gewölbe mit veränderlichem Fugenwinkel und die schiefen Gewölbe mit constantem Fugenwinkel zu unterscheiden.

I. Die schiefen Brückengewölbe mit veränderlichem Fugenwinkel.

1) Theorie der schiefen Brückengewölbe mit veränderlichem Fugenwinkel.

In der Praxis bilden die Stirnbogen der meisten schiefen Gewölbe Halbkreise, mithin die zu ihren Achsen normalen Schnitte halbe Ellipsen oder Theile von halben Ellipsen. Unter dieser Voraussetzung ist zu bestimmen

a) die Vertical- und Horizontalprojection der schiefen Brückengewölbe mit veränderlichem Fugenwinkel.

Die Verticalprojection dieser Gewölbe erhält man am einfachsten durch Construction, indem die Lagerfuge die auf

$$x = -r \int \frac{\cos^2 w \, dw}{\sin w} = -r \int \frac{(1 - \sin^2 w) \, dw}{\sin w} = -r \int \frac{dw}{\sin w} + r \int \sin^2 w \, dw. \quad (136)$$

mithin, wenn dieselbe ausgeführt wird,

$$x = -r \log \operatorname{tg} \frac{w}{2} - r \cos w + \text{Const.} \quad (137)$$

Da $\operatorname{tg} \frac{w}{2} = \frac{1}{\operatorname{cotg} \frac{w}{2}}$, mithin $\log \operatorname{tg} \frac{w}{2} = -\log \operatorname{cotg} \frac{w}{2}$

gesetzt werden kann, so erhält man durch dessen Einführung in Gleichung (137)

der Laibung des Gewölbes dargestellten Stoßfugen nicht nur im Raum, sondern auch im Aufriß senkrecht schneidet. Da nämlich jede Stoßfuge zur Stirnebene, mithin zur verticalen Projectionsebene parallel ist, so steht jede zu ihr normale Linie, wie die Lagerfuge, auch in der Verticalprojection zu ihr senkrecht. Verbindet man daher, wie in Fig. 3, Taf. 5, geschehen, die Punkte 1, 2, 3, 4, 5 der halbkreisförmigen Stoßfugen mit den ihnen zugehörigen Mittelpunkten, so erhält man die Verticalprojection 1 2 3 4 5 der Lagerfuge.

Die auf diese Weise construirte Lagerfuge ist gebrochen und nähert sich der wahren, stetig verlaufenden um so mehr, je dünner die Gewölbestreifen sind, in welche man sich das Gewölbe zerlegt denkt. Da aber die letzteren immer noch eine meßbare Breite haben müssen, so ist die construirte Lagerfuge immer nur annähernd richtig und für den Fall, daß die Genauigkeit der letzteren nicht ausreicht, der analytische Weg einzuschlagen.

Bezeichnet man mit x und y , s. Fig. 5, Taf. 5, die Coordinaten des kreisförmigen Stirnbogens, mit r dessen Radius, mit w den Winkel, welchen eine Lagerfuge desselben mit dem Horizonte einschließt, so ist

$$x = r(1 - \cos w) \text{ und } y = r \cdot \sin w, \quad (131)$$

woraus durch Differentiation

$$dx = r \sin w \, dw \text{ und } dy = r \cdot \cos w \, dw \quad (132)$$

erhalten wird. Werden beide Werthe dividirt, so ergibt sich die Differentialgleichung des Stirnbogens

$$\frac{dy}{dx} = \frac{\cos w}{\sin w} = \operatorname{cotg} w = \operatorname{tg}(90 - w). \quad (133)$$

Da nun die Verticalprojection der Lagerfuge senkrecht auf dem Stirnbogen steht, so erhält man aus der Relation (133) die Differentialgleichung der orthogonalen Trajectorie

$$\frac{dy}{dx} = -\frac{1}{\operatorname{tg}(90 - w)} = -\operatorname{tg} w. \quad (134)$$

und hieraus, wenn der Werth von dy aus Gleichung (132)

und $\operatorname{tg} w = \frac{\sin w}{\cos w}$ gesetzt wird,

$$dx = -\frac{dy}{\operatorname{tg} w} = -\frac{r \cos^2 w \, dw}{\sin w}. \quad (135)$$

Durch Integration ergibt sich

$$x = r \log \operatorname{cotg} \frac{w}{2} - r \cos w + \text{Const.} \quad (138)$$

Setzt man, um die Constante zu bestimmen, $w = \frac{\pi}{2} = 90^\circ$ und $x = r$, so folgt aus Gleichung (138)

$$r = \text{Const.}, \quad (139)$$

mithin aus Gleichung (138) die Abscisse der zu dem Winkel w gehörigen Verticalprojection der orthogonalen Trajectorie:

$$x = r \cdot \log \cotg \frac{w}{2} + r(1 - \cos w). \quad (140)$$

Hierin stellt nach Gleichung (131) das letzte Glied die Abscisse x_s des Stirnbogens dar, mithin sind die Abscissen der projectirten Lagerfugen, wenn dieselben vom Stirnbogen ab aufgetragen werden,

$$t = r \cdot \log \cotg \frac{w}{2}. \quad (141)$$

Die Discussion dieser Gleichung ergibt für die Gestalt der projectirten orthogonalen Trajectorie folgende Anhaltspunkte:

Für $w = 0$ wird $\frac{w}{2} = 0$ und $x = \infty$,

„ $w = \frac{\pi}{2} = 90^\circ$ wird $\frac{w}{2} = \frac{\pi}{4} = 45^\circ$ und $x = 0$,

„ $w > \frac{\pi}{2}$ wird $\frac{w}{2} > \frac{\pi}{4}$, daher x negativ,

„ $w = \pi = 180^\circ$ wird $\frac{w}{2} = \frac{\pi}{2} = 90^\circ$, daher $x = -\infty$.

Diese in Fig. 6, Taf. 5, dargestellte Curve besitzt daher zwei, zu einer durch den Mittelpunkt des halbkreisförmigen Stirnbogens gelegten Lothrechten symmetrische Zweige, hat in dessen Scheitel einen Rückkehrpunkt und schneidet auf beiden Seiten jener Lothrechten die Abscissenachse in der Unendlichkeit.

Für Briggs'sche Logarithmen, wovon der Neper'sche Logarithmus der Basis $\log 10 = 2,302585$ beträgt, erhält man aus Gleichung (141)

$$t = r \text{Log} \cotg \frac{w}{2} \cdot \log 10, \quad (142)$$

aus Gleichung (140)

$$x = t + x_s = r \text{Log} \cotg \frac{w}{2} \log 10 + r(1 - \cos w). \quad (143)$$

und hieraus, wenn man zu den Logarithmen übergeht,

$$\text{Log} t = \text{Log} \cdot \text{Log} \cotg \frac{w}{2} + \text{Log} \cdot r \log 10, \quad (144)$$

worin das letzte Glied eine Constante darstellt.

Die Lagerfugen, sowie deren Verticalprojectionen haben nach dem Vorstehenden zwischen den selben wagrechten Cylinderelementen den gleichen Verlauf. Hat man daher die durch den Scheitel des Stirnbogens gehende Lagerfuge construirt, oder mittels der Coordinaten aufgetragen, so findet man daraus alle übrigen Lagerfugen, wenn man durch deren höchsten und tiefsten Punkt Horizontale zieht und dieselben so weit verlängert, bis sie jene erstere Lagerfuge schneiden. Der durch die so erhaltenen Schnittpunkte begrenzte Theil derselben bildet die gesuchte Lagerfuge und ist nur wagrecht, soweit als nöthig, zu verschieben. Diese Verschiebung wird, insbesondere bei dem Auftragen vieler Lagerfugen, wesentlich durch die Anfertigung einer, nach der Form jener durch den Scheitel des Stirnbogens gehenden Lagerfuge ausge schnittenen, Schablone erleichtert, welche man auf der Basis des Gewölbes wagrecht

so lange zu verschieben hat, bis der in dem Stirnbogen gelegene Anfangspunkt jeder Lagerfuge erreicht ist. Da für die linke Hälfte des Gewölbes der rechte und für die rechte Hälfte des Gewölbes der linke Zweig der projectirten Lagerfuge in Anwendung kommt, beide Zweige aber vollkommen symmetrisch sind, so genügt es, die Schablone nur für den einen derselben anzufertigen und für den anderen wagrecht umzukehren.

Die zu einer Lagerfuge der inneren Wölbfläche gehörige Lagerfuge der äußeren Wölbfläche bildet die Durchschnittslinie der windschiefen Lagerfläche mit der äußeren Fläche des Gewölbes. Man erhält daher einen beliebigen Punkt derselben durch Verlängerung des zugehörigen Radius bis zur äußeren Wölbfläche. Da alle diese Radien zur Stirnfläche parallel sind, so sind alle diese Verlängerungen genau der Wölbfläche gleich. Zusammengehörige, in der innern und äußern Wölbfläche liegende Punkte einer Lagerfläche haben mithin gleiche, zur Gewölbachse parallele Abstände von einer und derselben Stirnebene und die ihnen zugehörigen Bogen der Stoßfugen verhalten sich, wie die ihnen zugehörigen Radien. Selbstverständlich schneidet die so erzeugte Lagerfuge der äußeren Gewölbfläche die zur Gewölbstirn parallelen Stoßfugen nicht mehr unter rechten Winkeln.

Sind sämtliche Lagerfugen der Verticalprojection in der einen oder andern Weise aufgetragen, mithin deren Schnittpunkte mit den halbkreisförmigen Stoßfugen bekannt, so erhält man deren Horizontalprojection, wenn jene Schnittpunkte auf die entsprechenden parallelen und geraden Horizontalprojectionen der Stoßfugen übertragen und hierauf die so erhaltenen, zueinandergehörigen Schnittpunkte des Grundrisses miteinander verbunden werden. Ist dieses geschehen, so laufen die Lagerfugen von Stirn zu Stirn und theilen im Grund- und Aufsriß die innere Gewölbfläche in durchlaufende Streifen ab, während die Stoßfugen innerhalb dieser letzteren abwechseln und sie in Theile zerlegen, welche die Laibungsflächen der einzelnen Wölbsteine darstellen.

Construction der Gewölbsteine der schiefen Brückengewölbe mit variablem Fugenwinkel.

Da letztere Flächen von den bekannten Lager- und Stoßfugen der einzelnen Wölbsteine begrenzt werden, so enthält der Grund- und Aufsriß alle zur Darstellung dieser Flächen erforderlichen Abmessungen. Zieht man im letzteren durch die Endpunkte der beiden Stoßfugen radiale Linien bis zur äußeren Gewölbfläche, s. Fig. 16, Taf. 5, so stellt die so gewonnene Verticalprojection außerdem die beiden Stoßflächen $abcd$ und $efgh$ jedes Steins in ihrer wahren Gestalt und gegenseitigen Lage dar. Die sich an dieselben anschließenden Lagerflächen $aecg$ und $bfdh$ denkt man sich dann durch

Gerade erzeugt, welche stets parallel zur Stirnfläche und senkrecht zur inneren Wölbfläche sich längs der Lagerfugen dh und cg fortbewegen. Man erhält dieselben, wenn man die Laibungsfläche $cdgh$, Fig. 16 und 17, Taf. 5, jedes Wölbsteins zwischen den Stoßfugen durch eine hinreichende Anzahl zur Stirnfläche paralleler Ebenen schneidet, durch die Schnittpunkte dieser Ebenen mit den inneren Lagerfugen die zugehörigen Radien zieht und dieselben so weit verlängert, bis sie die entsprechenden Durchschnittslinien der äußeren Wölbfläche schneiden. Durch Verbindung der so gebildeten äußeren Schnittpunkte erhält man die Lagerfugen ae und bf in der äußeren Gewölbfläche und hiermit die vollständige Begrenzung eines Wölbsteins.

Die Horizontal- und Verticalprojection der inneren Wölbfläche zeigt, daß die Breiten der zwischen je zwei Lagerfugen befindlichen Gewölbstreifen sich fortwährend ändern und daß, wenn dieselben in der vorderen Stirn einander gleich sind und ohne Unterbrechung bis zur hinteren Stirnfläche durchlaufen, an dieser die Gewölbsteine auf der einen Seite so dünn und auf der anderen Seite so dick werden müßten, daß deren Herstellung practisch unausführbar wäre. Da hiernach die Anordnung gleich starker Wölbsteine in den Stirnen und ununterbrochen von Stirn zu Stirn durchlaufender Lagerfugen unvereinbar ist, so behält man meist die Eintheilung der Stirnen in eine Anzahl gleich starker Wölbsteine bei und setzt die zugehörigen Lagerfugen da ab, wo sie sich einander so sehr nähern, daß die dazwischen befindlichen Wölbsteine eine zu geringe, practisch unausführbare Stärke erhalten müßten.

An diesen Stellen sind also einzelne Wölbsteine erforderlich, die durch mehrere Wölb-schichten reichen, und gegen welche sich die von den entgegengesetzten Stirnen ausgehenden Lagerfugen absetzen.

Obwohl sich auf diese Weise der Steinschnitt des schiefen Gewölbes vollkommen bestimmen und jeder Wölbstein desselben herausstragen und bearbeiten läßt, so erleichtert doch die Abwicklung der Wölbflächen nicht nur die Anordnung des eben-erwähnten Steinschnitts, sondern sie führt uns auch auf eine Vereinfachung desselben bei Gewölben, welche keinen vollen Halbkreis zum Stirnbogen, also auch keine so große Verschiedenheit in den veränderlichen Winkeln haben, unter welchen deren Lagerfugen die zur Gewölbachse parallelen Cylinderelemente schneiden.

c) Die Abwicklung der schiefen Brückengewölbe mit variablen Fugenwinkeln.

α) Die Abwicklung der Gewölbflächen.

Die Abwicklung der inneren Wölbfläche bietet keine Schwierigkeit, wenn man mit Hilfe der gleichweitentfernten Theilpunkte des Stirnbogens den zur Gewölbachse senkrechten

elliptischen Schnitt construirt und mittels der einzelnen, so erhaltenen ungleichen Bogenlängen die zur Gewölbachse parallelen Cylinderelemente aneinander reiht. Die Summe dieser Bogenlängen ergiebt den Umfang der halben Ellipse, welche durch die Annäherungsformel,

$$\frac{U}{2} = 1,6467 \cdot a + 1,4949 b \dots (145)$$

worin

$$a = r \dots (146)$$

die halbe große Achse und

$$b = r \cdot \cos \alpha \dots (147)$$

die halbe kleine Achse der Ellipse bezeichnet, controlirt werden kann. Werden die Enden der so erhaltenen, abgewickelten Cylinderelemente durch die zur Gewölbachse senkrechten, durch die Horizontalprojection jener im Stirnbogen enthaltenen Theilungspunkte der Gewölbsteine geführten Linie geschnitten, so ergeben sich die abgewickelten Stirnbogen und mit ihnen sämmtliche, zu ihnen parallele, abgewickelte Stoßfugen. Ist diese Construction richtig ausgeführt, so sind die auf den Stirnbogen durch die Cylinderelemente abgesehenen Bogenstücke untereinander und jenen Bogenstücken gleich, in welche der Stirnbogen getheilt ist. Auch das Uebertragen der Lagerfugen in die Abwicklung auf constructivem Wege hat keine Schwierigkeit, sobald man die Länge des zugehörigen Kreis- oder elliptischen Bogens kennt und diese von der Kämpferlinie ab, beziehungsweise auf einem der beiden Stirnbogen oder auf einer abgewickelten Stoßfuge abträgt oder normal zu jener Kämpferlinie aufträgt. Obwohl dies Verfahren bei einer zur Bestimmung jeder abgewickelten Lagerfuge hinreichenden Zahl von Punkten ohne Weiteres und mit aller wünschenswerthen Genauigkeit ausgeführt werden kann, so ist es doch gerade in diesem Falle sehr zeitraubend und wird besser durch das Auftragen der algebraisch ermittelten, abgewickelten Lagerfuge ersetzt.

β) Analytische Bestimmung der abgewickelten Lagerfuge.

Bezeichnet man mit φ den Winkel, welchen die Tangente an einen beliebigen Punkt x, y des abgewickelten Stirnbogens, s. Fig. 7, Taf. 5, mit einer zur Kämpferlinie AX Normalen einschließt, so folgt mit Bezug auf die Bezeichnungen jener Figur

$$\frac{dx}{dy} = \operatorname{tg} \varphi \dots (148)$$

Behalten α, w und r ihre frühere Bedeutung, so ergiebt sich aus der Figur

$$x = r \sin \alpha - r \cos w \sin \alpha = r \sin \alpha (1 - \cos w) \quad (149)$$

und der zu dem Winkel w gehörige Bogen für den Radius r

$$s = r \cdot w \dots (150)$$

Durch Differentiation erhält man aus Gleichung (149), worin das erste Glied constant ist,

$$dx = r \sin \alpha \sin w \, dw \quad \dots \quad (151)$$

und aus Gleichung (150)

$$ds = r \, dw, \quad \dots \quad (152)$$

mithin, wenn man

$$dy = \sqrt{ds^2 - dx^2}$$

setzt und die Werthe von dx und ds aus Gleichung (151) und (152) einführt,

$$dy = r \, dw \sqrt{1 - \sin^2 \alpha \cdot \sin^2 w} \quad \dots \quad (153)$$

Führt man den Werth von dx aus Gleichung (151) und von dy aus Gleichung (153) in Gleichung (148) ein, so ergibt sich die Differentialgleichung des abgewinkelten Stirnbogens

$$\frac{dx}{dy} = \operatorname{tg} \varphi = \frac{\sin \alpha \cdot \sin w}{\sqrt{1 - \sin^2 \alpha \cdot \sin^2 w}} \quad \dots \quad (154)$$

Auf dem abgewinkelten Stirnbogen steht die abgewinkelte Lagerfuge senkrecht: eine Bedingung, welche sich aus Gleichung (148) ergibt, wenn man setzt

$$\frac{dx}{dy} = - \frac{1}{\operatorname{tg} \varphi} \quad \dots \quad (155)$$

Wird der Werth von dy aus Gleichung (153) und von tg φ aus Gleichung (154) eingeführt, so ergibt sich die Differentialgleichung der abgewinkelten Lagerfuge

$$dx = - \frac{dy}{\operatorname{tg} \varphi} = - \frac{r(1 - \sin^2 \alpha \cdot \sin^2 w) \, dw}{\sin \alpha \cdot \sin w} \quad (156)$$

Wird hierin

$$- \log \cdot \operatorname{tg} \frac{w}{2} = \log 1 - \log \cdot \operatorname{tg} \frac{w}{2} = \log \cdot \frac{1}{\operatorname{tg} \frac{w}{2}} = \log \cdot \operatorname{cotg} \frac{w}{2}$$

gesetzt, so ist, wenn dieser Werth in Gleichung (160) eingeführt wird,

$$t = \frac{r}{\sin \alpha} \log \cdot \operatorname{cotg} \frac{w}{2}, \quad \dots \quad (161)$$

mithin für Brigg'sche Logarithmen, worin der Neper'sche Logarithmus der Basis log 10 = 2,302585 beträgt, die Abscisse:

$$t = \frac{r \log 10}{\sin \alpha} \cdot \operatorname{Log} \operatorname{cotg} \frac{w}{2} \quad \dots \quad (162)$$

$$w = 0 \text{ die zusammengehörigen Werthe } s = 0 \text{ und } t = \infty \quad \dots \quad (164)$$

$$w = 90 \text{ " " " } s = \frac{\pi}{2} \text{ " } t = 0, \quad \dots \quad (165)$$

$$w = 180 \text{ " " " } s = \pi \text{ " } t = -\infty \quad \dots \quad (166)$$

In der Abwicklung wächst mithin die Abscisse der Lagerfuge vom Scheitel des Stirnbogens ab, wo sie Null ist, auf der positiven und negativen Seite bis ins Unendliche, ist auf beiden Seiten zum Stirnbogen symmetrisch und hat die beiden Kämpferlinien zu Asymptoten, wie die in Fig. 8, Taf. 5, enthaltene Darstellung zeigt.

oder, wenn man deren Glieder trennt,

$$dx = - \frac{r}{\sin \alpha} \cdot \frac{dw}{\sin w} + r \sin \alpha \cdot \sin w \cdot dw \quad (157)$$

Hieraus ergibt sich durch Integration

$$x = - \frac{r}{\sin \alpha} \cdot \log \cdot \operatorname{tg} \frac{w}{2} - r \sin \alpha \cdot \cos w + \operatorname{Const.} \quad (158)$$

Setzt man, um die Constante zu bestimmen, w = 90°, in welchem Falle x = r · sin α wird, so ergibt sich aus Gleichung (158)

$$r \sin \alpha = - \frac{r}{\sin \alpha} \cdot \log 1 - r \sin \alpha \cdot 0 + \operatorname{Const.},$$

mithin

$$\operatorname{Const.} = r \sin \alpha$$

und wenn dieser Werth in Gleichung (158) eingeführt wird, die dem beliebigen Lagerfugenwinkel w entsprechende Abscisse der abgewinkelten Lagerfuge

$$x = r \sin \alpha (1 - \cos w) - \frac{r}{\sin \alpha} \cdot \log \cdot \operatorname{tg} \frac{w}{2} \quad (159)$$

Hierin bezeichnet nach Gleichung (149) das erste Glied die auf die Kämpferlinie AX als Koordinatenachse bezogene Abscisse x_s des Stirnbogens, man erhält mithin für den beliebigen, durch Gleichung (150) bestimmten Bogen s den Abstand eines Punktes der abgewinkelten Lagerfuge von jenem Stirnbogen aus

$$t = - \frac{r}{\sin \alpha} \log \cdot \operatorname{tg} \frac{w}{2} \quad \dots \quad (160)$$

und deren Brigg'scher Logarithmus

$$\operatorname{Log} t = \operatorname{Log} \cdot \frac{r \log 10}{\sin \alpha} + \operatorname{Log} \cdot \operatorname{Log} \operatorname{cotg} \frac{w}{2} \quad (163)$$

Discutirt man, um ein Bild von der abgewinkelten Lagerfuge zu erhalten, die zusammengehörigen Gleichungen (150) und (160), so erhält man für

Die Abscisse x der abgewinkelten Lagerfuge der äußeren Gewölbfläche setzt sich zusammen aus derjenigen x_s ihres abgewinkelten Stirnbogens und dem parallel zur Gewölbachse gemessenen, bekannten Abstände t der Lagerfuge der inneren Gewölbfläche von ihrem abgewinkelten Stirnbogen. Für den Radius r₁ der äußeren Gewölbfläche ergibt sich aus Gleichung

chung (149) analog die Abscisse ihres abgewickelten Stirnbogens

$$x_s' = r_1 \sin \alpha (1 - \cos w), \dots (167)$$

mithin, da bei dem nämlichen Gewölbe α und bei den nämlichen Lagerflächenwinkeln w desselben der Factor von r_1 derselbe bleibt wie bei der durch Gleichung (149) gegebenen Abscisse x_s des abgewickelten inneren Stirnbogens, durch Division von Gleichung (149) in Gleichung (167)

$$x_s' = x_s \cdot \frac{r_1}{r} \dots (168)$$

Man erhält mithin die Abscisse der abgewickelten, äußeren Lagerfuge

$$x = t + x_s', \dots (169)$$

welche successive von den entsprechenden Theilungspunkten des abgewickelten Stirnbogens aus parallel zur Gewölbachse aufzutragen sind. Ist dies geschehen, so lassen sich nunmehr die von dem rechten Winkel abweichenden Winkel erkennen, unter welchen die abgewickelten Lagerfugen der äußeren Gewölbfläche die Stoßfugen schneiden.

Die Abscisse der abgewickelten Lagerfuge einer zweiten Gewölbfläche mit dem Radius r_1 ergibt sich durch analoge Ableitung für den Schrägungswinkel α und Lagerfugenwinkel w aus Gleichung (162)

$$t' = \frac{r_1 \log 10}{\sin \alpha} \cdot \text{Log. cotg. } \frac{w}{2}, \dots (170)$$

mithin für denselben Schrägungswinkel und für die gleichen Lagerfugenwinkel der abgewickelten inneren und äußeren Wölbfläche durch Division der Gleichung (162) in (170)

$$\frac{t'}{t} = \frac{r_1}{r}$$

woraus folgt, daß

$$t' = \frac{r_1}{r} t \dots (171)$$

t übertrifft, aber demselben proportional ist. Hat man also für die innere Wölbfläche irgend eines schiefen Gewölbes die den Winkeln α und w entsprechenden Werthe von x berechnet, so ergeben sich die Abscissen x der Lagerfuge jenes zweiten Gewölbes durch Multiplication mit dem Quotienten $\frac{r_1}{r}$ des Radius der ersteren in den Radius der zweiten Wölbfläche.

Da die Stoßfugen sowohl der inneren, als der äußeren Wölbfläche dem zugehörigen Stirnbogen derselben innerhalb der gleichen, zu den Kämpferlinien parallelen Cylinder-elementen

$$\cos BAC = \frac{\cos(90 - \gamma) - \cos(90 - w) \cos(90 - \alpha)}{\sin(90 - w) \sin(90 - \alpha)} = \frac{\sin \gamma - \sin w \cdot \sin \alpha}{\cos w \cdot \cos \alpha}, \dots (172)$$

woraus sich, da Winkel BAC ein rechter ist,

$$0 = \frac{\sin \gamma - \sin w \cdot \sin \alpha}{\cos w \cdot \cos \alpha},$$

mithin

$$\sin \gamma = \sin \alpha \cdot \sin w \dots (173)$$

parallel sind, so sind auch die denselben entsprechenden Theile der abgewickelten Lagerfugen parallel. Man erhält mithin aus der in Bezug auf einen Stirnbogen construirten abgewickelten Lagerfuge der inneren oder äußeren Wölbfläche, ähnlich wie bei der Verticalprojection der Lagerfugen, einfach durch eine zu den Kämpferlinien parallele Verschiebung jener abgewickelten Lagerfuge alle übrigen Lagerfugen und empfiehlt sich auch hier die Anfertigung einer, zum Auftragen sämtlicher abgewickelter Lagerfugen dienenden, Schablone, wie sie z. B. in Fig. 5 und 6 dargestellt ist.

γ) Construction der abgewickelten Lagerfuge.

Sind jene, zu den Kämpferlinien parallelen Cylinder-elemente hinreichend schmal gewählt, so läßt sich die abgewickelte Lagerfuge auch aus den einzelnen Schenkeln jener verschiedenen Winkel zusammensetzen, unter welchen diese Cylinder-elemente von der Lagerfuge geschnitten werden. Betrachtet man, um diesen veränderlichen Schnittwinkel γ , den sogenannten Fugenwinkel zu bestimmen, die dreieckige Ecke ABCM, s. Fig. 9, Taf. 5, welche, in einem beliebigen Punkt M des Stirnbogens, die Tangente MB des Stirnbogens, die zur Ebene des Stirnbogens parallele Linie AM und die zur Kämpferlinie parallele Linie MC bilden, so schließen, wie die Darstellung in Fig. 9, Taf. 5, zeigt, die Kanten

AM	und	BM	den	Winkel	$90 - w$,
BM	"	MC	"	"	$90 - \gamma$,
AM	"	CM	"	"	$90 - \alpha$

ein. Beschreibt man von dem Punkte M, s. Fig. 10, Taf. 5, als Mittelpunkt einer Kugel, aus mit dem Radius 1 die jenen Winkeln entsprechenden Bogen eines sphärischen Dreiecks, so liegt der Kantenwinkel $90 - \gamma$ dem Flächenwinkel BAC gegenüber, welchen die Ebene BMA des Stirnbogens mit der zur Ebene der beiden Kämpferlinien parallelen Ebene AMC einschließt, während die Kantenwinkel $90 - w$ und $90 - \alpha$ diesem Winkel anliegen. Da nun die Stirnbogenebene lothrecht und die Ebene der Kämpferlinien wagrecht ist, so ist der Flächenwinkel BAC ein rechter. Es findet aber nach den Entwicklungen der sphärischen Trigonometrie*) zwischen jenen 3 Kantenwinkeln $90 - w$, $90 - \gamma$, $90 - \alpha$ und diesem Flächenwinkel BAC, welchen die Seiten BA und AC des sphärischen Dreiecks miteinander einschließen, allgemein die Beziehung statt

ergiebt. Hieraus folgt, daß an der Kämpferbasis, für welche $w = 0$, $\sin \gamma = 0$ und mithin auch der Fugenwinkel $\gamma = 0$

*) Vgl. u. A. Francoeur, übersetzt von Külp, Sphär. Trig. II. 2. S. 6. Formel 4.

und in dem Scheitel, für welchen $w = 90$, also $\sin w = 1$ ist, $\sin \gamma = \sin \alpha$ und $\gamma = \alpha$, also der Fugenwinkel dem Schrägungswinkel des Gewölbes gleich wird. Aus Gleichung (173) läßt sich der veränderliche Fugenwinkel γ entweder durch Rechnung oder durch die in Fig. 11, Taf. 5, dargestellte Construction finden. Beschreibt man nämlich mit dem Radius r den Quadranten AB und trägt in denselben den constanten Schrägungswinkel α und den veränderlichen Lagerfugenwinkel w mit der in der Figur angegebenen Lage ein, so erhält man sofort $r \cdot \sin w$ und, indem man mit diesem als Radius einen dem Centriwinkel α entsprechenden Kreisbogen beschreibt, den Werth $r \cdot \sin w \cdot \sin \alpha$, welcher dem Sinus des veränderlichen Fugenwinkels $r \cdot \sin \gamma$ gleich ist, zu welchem sich der letztere auf die in der Figur angegebene Weise leicht construiren läßt. Construirt man diesen veränderlichen Fugenwinkel für sämtliche, jenen einzelnen Lagerfugenwinkeln w entsprechende Cylinderelemente, so läßt sich auf die in Fig. 5 der Taf. 6 durchgeführte Weise von dem Stirnbogen ab eine abgewinkelte Lagerfuge zusammensetzen, welche gebrochen ist und jener exacten, durch Berechnung gefundenen, abgewinkelten Lagerfuge um so näher kommt, je schmaler man die Cylinderelemente wählt.

d) Bestimmung der kleinsten parallelepipedischen Umschließungskörper und Bearbeitung der Wölbsteine des schiefen Brückengewölbes mit variablem Fugenwinkel.

Stellt $abcdefgh$, s. Taf. 6, Fig. 9, wieder die in Fig. 16, Taf. 5, bereits entwickelte Verticalprojection eines Wölbsteins dar, so erhält man den kleinsten parallelepipedischen Umschließungskörper, wenn man um jene Verticalprojection das kleinste, umschließende Rechteck legt und den Abstand der vorderen und hinteren, lothrechten Stoßfläche des Wölbsteins jenem Prisma zur Tiefe giebt. Verbindet man zu diesem Zweck die äußersten Punkte e , b der Rückenfläche $abef$ mit dem Mittelpunkte O , halbirt den durch die Schenkel bO und eO gebildeten Winkel und zieht zu dessen Mittellinie OM parallel durch e und b die Seiten il und km und zu denselben normal durch a und g oder h die Seiten ik und lm , so ist jenes kleinste Rechteck und damit der ganze Umschließungskörper bestimmt, welcher sich jetzt auch auf die in Fig. 10 enthaltene Horizontalprojection übertragen läßt.

Die Bearbeitung des Gewölbsteins beginnt mit derjenigen der Vorderfläche im und Hinterfläche nq , Fig. 10, Taf. 6, auf welche die beiden Stoßflächen $abcd$ und $efgh$ nach Form und gegenseitiger Lage aufgetragen werden. Von den unteren Bogen cd und gh derselben (Fig. 9 und 10) lassen sich mit Hilfe des Schrägungswinkels $\alpha = 30^\circ$ des Gewölbes die im Grundriß unverkürzten Längen $rs\dots$ und $tu\dots$, Fig. 10, Taf. 6, welche den verkürzten Längen $rs\dots$ und

$tu\dots$ im Aufriß, Fig. 9, Taf. 6, entsprechen, beziehungsweise von vorn nach hinten und von hinten nach vorn auftragen, wodurch sich die Lagerfugen cg und dh der Laibungsfläche ergeben und damit auch diese letztere sammt ihrer cylindrischen Krümmung bestimmt ist. Schlägt man an diese letztere eine Schmiege, Fig. 11, Taf. 6, deren untrer Schenkel nach der Wölbfläche gekrümmt und deren oberer Schenkel gerade ist und auf dem ersteren senkrecht steht, in verschiedenen Lagen, parallel zu den Stoßflächen an, so zeigt ihr gerader Schenkel die jeder dieser Lagen entsprechende Richtung der windschiefen Lagerfläche $bfdh$ oder aeg , Fig. 11, Taf. 6, an. Die Rückenfläche $abef$ des Gewölbsteins wird entweder der inneren Laibungsfläche ähnlich, oder, wie bei den meisten schiefgewölbten Brücken, gar nicht bearbeitet, sondern bleibt rauh. Die in Fig. 11 enthaltene, aus den Figuren 9 und 10 abgeleitete perspectivische Darstellung des Gewölbsteins und seines kleinsten parallelepipedischen Umschließungskörpers dient dazu, die Bearbeitung sämtlicher Begrenzungsflächen des Gewölbsteins in ihrem Zusammenhange darzustellen, zu welchem Zwecke darin die entsprechenden Punkte mit den gleichen Buchstaben bezeichnet sind.

2) Berechnung und Construction eines aus Quadern bestehenden schiefen Brückengewölbes mit halbkreisförmigem Stirnbogen und variablem Fugenwinkel.

(Siehe Taf. 5, Fig. 12 bis 17 und Taf. 6, Fig. 1 bis 11.)

Beträgt dessen

zur Stirn parallele Spannweite $l = 15,5$ Met.,
Normalabstand der Stirnen 20 Met.,
Schnittwinkel der Straßen- und Brückenachse 60° ,
Gewölbstärke $2,5$ Met.*),
Zahl der Wölbsteine 19 ,

so wird der

Radius des inneren Stirnbogens

$$r = \frac{14,5}{2} = 7,25 \text{ Met.},$$

Radius des äußeren Stirnbogens

$$r_1 = 7,25 + 2,5 = 9,75 \text{ Met.},$$

Schrägungswinkel des Gewölbes $\alpha = 90 - 60 = 30^\circ$.

a) Die Vertical- und Horizontalprojection.

Die Verticalprojection der Lagerfuge der inneren Wölbfläche ergibt sich aus den Gleichungen (143) und (142) ihrer Abscisse, wovon die erstere auf die Ordinatenachse, die letztere auf den Stirnbogen bezogen ist. Wird der Werth von r eingeführt, so ergibt sich beziehungsweise

*) Die Gewölbstärke ist absichtlich stärker als nöthig gewählt worden, um den Unterschied in dem Verlaufe der Lagerfugen der inneren und äußeren Wölbfläche deutlicher zu zeigen.

Tabelle zur Berechnung der Abscissen der Verticalprojection der Lagerfugen des schiefen Gewölbes.

Nr. der Lagerfläche.	Werthe von		Log cotg $\frac{w}{2}$	t	x _s	x
	w	$\frac{w}{2}$				
0	0	0	∞	∞	0,000	∞
1	9° 28' 25"	4° 44' 12"	1,0816588	18,057	0,099	18,156
2	18° 56' 50"	9° 28' 25"	0,7776239	12,981	0,393	13,374
3	28° 25' 14"	14° 12' 37"	0,5964764	9,957	0,874	10,831
4	37° 53' 41"	18° 56' 50"	0,4643293	7,751	1,529	9,280
5	47° 22' 04"	23° 41' 02"	0,3578920	5,974	2,340	8,314
6	56° 50' 28"	28° 25' 14"	0,2666679	4,452	3,285	7,737
7	66° 18' 52"	33° 9' 26"	0,1848676	3,086	4,338	7,424
8	75° 47' 22"	37° 53' 51"	0,1088357	1,817	5,470	7,287
9	85° 15' 46"	42° 37' 53"	0,0359485	0,600	6,651	7,251
9½	90°	45°	0,0000000	0,000	7,250	7,250

$t = r \text{Log. cotg } \frac{w}{2} \log. 10 = 7,25. \text{Log. cotg } \frac{w}{2} \cdot \log 10$, ferner $x_s = r(1 - \cos w) = 7,25(1 - \cos w)$ und

$x = t + x_s = 7,25. \text{Log. cotg } \frac{w}{2} \cdot \log 10 + 7,25(1 - \cos w).$

Werden in diese Gleichungen nach und nach die den aufeinanderfolgenden Lagerfugen entsprechenden Winkel w eingeführt, so ergibt sich vorstehende Tabelle.

Werden die in dieser Tabelle enthaltenen Abscissen aufgetragen, so ergibt sich die in Fig. 12, Taf. 5 und Fig. 1, Taf. 6, dargestellte Verticalprojection der Lagerfugencurve, unter welcher die construirte gebrochene Lagerfuge um die, aus der ersteren Figur ersichtliche, Differenz zurückbleibt. Mit Hilfe dieser Lagerfugencurve und einer nach ihr angefertigten Scha-

blone erhält man hierauf den in Fig. 14, Taf. 5 und Fig. 1, Taf. 6, angegebenen Fugenschnitt, woraus die Horizontalprojectionen in der früher angegebenen, aus Fig. 13 und 15, Taf. 5 und Fig. 2, Taf. 6, ersichtlichen Weise abgeleitet sind.

b) Die Abwicklung.

Die vom abgewickelten Stirnbogen aus aufzutragenden Abscissen t der abgewickelten Lagerfuge ergeben sich aus der

Tabelle der Abscissen der abgewickelten Lagerfugen der inneren Wölbfläche des schiefen Brückengewölbes.

Nr. der Gewölbfst.	w	$\frac{w}{2}$	Log cotg $\frac{w}{2}$	Log. Log cotg $\frac{w}{2}$	Log. $\frac{r \log 10}{\sin \alpha}$	Log t	t	x _s	x
0	0°	0°	∞	∞	1,52358	∞	∞	0,000	∞
1	9° 28' 25"	4° 44' 12"	1,0817	0,0341	"	1,5577	36,12	0,049	36,169
2	18° 56' 50"	9° 28' 25"	0,7783	0,8911—1	"	1,4147	25,98	0,196	26,176
3	28° 25' 14"	14° 12' 37"	0,5965	0,7755—1	"	1,2990	19,92	0,437	20,357
4	37° 53' 41"	18° 56' 50"	0,4643	0,6668—1	"	1,1903	15,50	0,765	16,265
5	47° 22' 04"	23° 41' 02"	0,3579	0,5387—1	"	1,0772	11,95	1,170	13,120
6	56° 50' 28"	28° 25' 14"	0,2665	0,4259—1	"	0,9494	8,90	1,643	10,543
7	66° 18' 52"	33° 9' 26"	0,1848	0,2668—1	"	0,7904	6,16	2,169	8,329
8	75° 47' 22"	37° 53' 41"	0,1088	0,0367—1	"	0,5600	3,63	2,735	6,365
9	85° 15' 46"	42° 37' 53"	0,0359	0,5556—2	"	0,0792	1,20	3,325	4,525
9½	90°	45°	0,0000	∞	"	—∞	0,00	3,625	3,625

Gleichung (163), welche nach Einführung der numerischen Werthe übergeht in:

$$\text{Log } t = \text{Log} \cdot \text{Log} \cdot \cotg \frac{w}{2} + \text{Log} \cdot \frac{7,25 \cdot 2,302585}{\sin 30^\circ}$$

Werden die den aufeinanderfolgenden 9 Lagerfugen entsprechenden Winkel w nach und nach in diese Gleichungen eingeführt und den so erhaltenen Abscissen diejenigen des abgewickelten Stirnbogens

$$x_s = r \sin \alpha (1 - \cos w) = 7,25 \cdot \sin 30^\circ (1 - \cos w)$$

hinzugefügt, so ergibt sich vorstehende Tabelle.

Werden den hieraus gefundenen Abscissen t diejenigen des abgewickelten Stirnbogens der äußeren Wölbfläche

$$x_s' = r' \sin \alpha (1 - \cos w) = 9,75 \cdot \sin 30^\circ (1 - \cos w),$$

welche, mit Hilfe der zuvor ermittelten Abscissen x_s des Stirnbogens der inneren Wölbfläche, einfacher aus der Gleichung

$$x_s' = \frac{r'}{r} \cdot x_s = \frac{9,75}{7,25} \cdot x_s$$

erhalten werden, hinzugefügt, so ergibt sich nachstehende

Tabelle der Abscissen der abgewickelten Lagerfuge der äußeren Wölbfläche des schiefen Brückengewölbes.

Nr. des Gewölbsteins.	w	t	x_s'	x
0	0°	∞	0,000	∞
1	9° 28' 25"	36,12	0,067	36,187
2	18° 56' 50"	25,98	0,264	26,244
3	28° 25' 14"	19,92	0,587	20,507
4	37° 53' 41"	15,50	1,028	16,528
5	47° 22' 04"	11,95	1,577	13,527
6	56° 50' 28"	8,90	2,209	11,109
7	66° 18' 52"	6,16	2,916	9,076
8	75° 47' 22"	3,63	3,678	7,308
9	85° 15' 46"	1,20	4,472	5,672
9 ^{1/2}	90°	0,00	4,875	4,875

Werden die in den beiden letzten Tabellen enthaltenen Abscissen in der früher erwähnten Weise aufgetragen, so ergibt sich die in Fig. 5 und 8, Taf. 6, dargestellte, abgewickelte Lagerfuge der inneren und äußeren Wölbfläche, nach welcher auch alle übrigen Lagerfugen dieser beiden abgewickelten Gewölbflächen eingetragen worden sind.

Um die Fugenwinkel der aufeinanderfolgenden Cylinderelemente durch Rechnung zu finden, benutzte man Gleichung (173), welche nach Einführung des bekannten Werthes über-

geht in

$$\sin \gamma = \sin 30^\circ \cdot \sin w.$$

Werden wieder dieselben aufeinanderfolgenden Winkel w eingeführt, so ergibt sich folgende

Tabelle der Fugenwinkel des schiefen Brückengewölbes.

Nr. des Gewölbsteins.	w	sin w	sin 30° · sin w = sin γ	γ
0	0°	0,00000	0,00000	0°
1	9° 28' 25"	0,16453	0,08226	4° 43' 10"
2	18° 56' 50"	0,32467	0,16233	9° 20' 32"
3	28° 25' 14"	0,47597	0,23798	13° 46' 02"
4	37° 53' 41"	0,61434	0,30717	17° 53' 20"
5	47° 22' 04"	0,73568	0,36784	21° 34' 03"
6	56° 50' 28"	0,83717	0,41858	24° 44' 42"
7	66° 18' 52"	0,91574	0,45787	27° 14' 59"
8	75° 47' 22"	0,96940	0,48470	28° 59' 34"
9	85° 15' 46"	0,94657	0,49828	29° 53' 10"
9 ^{1/2}	90°	1,00000	0,50000	30°

Die Ermittlung der hier durch Rechnung gefundenen Fugenwinkel durch Construction ist in Fig. 6 auf Taf. 6 und deren Zusammensetzung zu der angenäherten, gebrochenen Lagerfuge in Fig. 7 und 8, Taf. 6, bewirkt, welche, wie sich aus derselben Figur ergibt, von der durch Rechnung gefundenen, stetig verlaufenden Lagerfuge um so weniger abweicht, je größer die Zahl der Cylinderelemente ist, in welche die Gewölbfläche zerlegt war und je genauer die Construction und Zusammensetzung der Fugenwinkel bewirkt wurde.

Die Figuren 16 und 17 der Tafel 5 stellen den bei M in Fig. 14 durch Schraffirung hervorgehobenen, in der früher angegebenen Weise herausgetragenen Gewölbstein dar, wonach nicht nur die Größe des dazu erforderlichen Steinblocks bestimmt, sondern auch jeder erforderliche Anhaltspunkt zu seiner Bearbeitung gewonnen werden kann.

II. Die schiefen Brückengewölbe mit mittlerem, constantem Fugenwinkel.

1) Theorie und Construction der schiefen Brückengewölbe mit mittlerem constantem Fugenwinkel.

Die Ausführung der schiefen Gewölbe mit veränderlichem Fugenwinkel wird durch das Heraustragen und die verschiedene Bearbeitung jedes einzelnen Wölbsteins so sehr erschwert, daß der Ingenieur in den meisten Fällen, wo von einem Rechten abweichende Schnittwinkel der Tracen vorkommen,

vorzieht, durch Verlegung entweder einer Achse oder beider Achsen einen rechten Schnittwinkel und somit ein gerades Gewölbe zu erhalten oder, wo die örtlichen Verhältnisse dies nicht gestatten oder zu sehr erschweren, durch Einführung eines unveränderlichen Fugenwinkels, wodurch die Lagerfugen an der Laibung des Gewölbes Schraubenlinien und in deren Abwicklung parallele Gerade werden, den Steinschnitt des schiefen Gewölbes möglichst zu vereinfachen.

a) Ermittlung des mittleren constanten Fugenwinkels.

Zu diesem constanten Fugenwinkel empfiehlt sich der, das arithmetische Mittel zwischen dem größten und kleinsten variablen Fugenwinkel γ_{\max} und γ_{\min} bildende, mittlere Fugenwinkel, welcher mithin, da der größte veränderliche Fugenwinkel im Scheitel dem Schrägungswinkel α des Gewölbes gleich wird, durch den Ausdruck

$$\gamma_c = \frac{\gamma_{\max} + \gamma_{\min}}{2} = \frac{\alpha + \gamma_{\min}}{2} \quad (174)$$

bestimmt ist.

Die Einführung dieses mittleren, constanten Fugenwinkels und die damit verbundene Abweichung von dem theoretisch begründeten Steinschnitt bewirkt, daß

1) die Richtung des Drucks auf die Lagerflächen des Gewölbes nicht mehr eine normale, sondern eine schiefe ist,

2) dieser schiefe Druck, indem er sich in eine zur Lagerfläche des Gewölbes normale und eine zu derselben parallele, nach der Gewölbstirn hin gerichtete Seitenkraft zerlegen läßt, eine Verschiebung der Gewölbesteine auf ihren Lagerflächen gegen die Stirnfläche des Gewölbes hin zu bewirken sucht,

3) diese Verschiebung entweder wirklich eintritt und dann, wenn nicht den Einsturz des Gewölbes, doch mindestens dessen Ausbauchung an den Gewölbstirnen zur Folge hat, oder

4) diese Verschiebung, durch Reibungswiderstände verhindert, nicht eintritt und dann unschädlich ist.

Um daher, ohne Gefahr für die Sicherheit des Gewölbes, einen mittleren constanten Fugenwinkel einführen zu können, ist zu ermitteln, um wieviel derselbe von dem wahren Fugenwinkel abweichen darf, ohne ein Gleiten der Wölbesteine auf ihren Lagerfugen zu veranlassen. Bezeichnet man die größte zulässige Abweichung des veränderlichen Fugenwinkels am Scheitel und am Kämpfer des Gewölbes mit β , so ergibt sich aus

$$\gamma_c = \frac{\alpha + (\alpha - \beta)}{2} = \alpha - \frac{\beta}{2} \quad (175)$$

Nimmt man, da sich an Gewölben, bei welchen jene Abweichung $\beta = 16^\circ$ betrug, schon Ausbauchungen zeigten, mit E. Heider*) zu 10° an, so ergibt sich, wenn α gegeben

*) Vgl. Heider, Theorie schiefer Gewölbe. Wien 1846.

ist, der mittlere constante Fugenwinkel

$$\gamma_c = \alpha - 5^\circ \quad (176)$$

Dieser durch Rechnung bestimmte, mittlere, constante Fugenwinkel bedarf in den meisten und zwar in allen den Fällen, wo er nicht mit der gewählten Eintheilung der Gewölbschichten übereinstimmt, einer durch die practische Ausführung bedingten Modification. Da die Lagerfugen mit constantem Fugenwinkel in der Laibungsfläche des Gewölbes Schraubenlinien und in deren Abwicklung Gerade bilden, welche durch Theilungspunkte der beiden Stirnbogen des Gewölbes gehn müssen, s. Taf. 7, Fig. 1, 2 und 3, so ist, wenn der Schenkel bc des berechneten kleinsten, mittleren, constanten Fugenwinkels a b c nicht durch je 2 solche gegenüberliegende Theilpunkte geht, der demselben am nächsten kommende, kleinere Fugenwinkel, welcher durch die soeben angegebene Construction hinreichend genau bestimmt werden kann, der Ausführung zu Grunde zu legen.

b) Ermittlung des kleinsten zulässigen Lagerfugenwinkels und des demselben entsprechenden, größten zulässigen Pfeilverhältnisses bei gegebenem Schrägungswinkel des Gewölbes.

Ist der Schrägungswinkel und kleinste Lagerfugenwinkel des Gewölbes bestimmt, so ergibt sich nach Gleichung (173) der dem letzteren entsprechende, größte Lagerflächenwinkel aus

$$\sin w = \frac{\sin \gamma}{\sin \alpha} \quad (177)$$

mithin, wenn $\gamma = \alpha - \beta$ gesetzt wird,

$$\sin w = \frac{\sin(\alpha - \beta)}{\sin \alpha} \quad (178)$$

und, wenn $\beta = 10^\circ$ angenommen wird,

$$\sin w = \frac{\sin(\alpha - 10)}{\sin \alpha} \quad (179)$$

woraus der kleinste Lagerflächenwinkel

$$w_{\min} = \arcsin \left(\frac{\sin(\alpha - 10)}{\sin \alpha} \right) \quad (180)$$

gefunden wird. Aus dem Winkel w_{\min} läßt sich das zugehörige, größte Pfeilverhältniß $\frac{f}{1}$ des Stirnbogens des schiefen Gewölbes bestimmen. Bezeichnet r dessen Radius, so ist

$$\sin w = \frac{r - f}{r} \quad (181)$$

und da $r = \frac{f^2 + \left(\frac{1}{2}\right)^2}{2f}$, mithin $r - f = \frac{\left(\frac{1}{2}\right)^2 - f^2}{2f}$ beträgt

$$\sin w = \frac{1 - \left(\frac{2f}{l}\right)^2}{1 + \left(\frac{2f}{l}\right)^2} \dots \dots \dots (182)$$

Wird diese Gleichung nach $\frac{f}{l}$ aufgelöst, so erhält man, wenn der durch Gleichung (179) gegebene Werth von $\sin w$ eingeführt wird, das größte gesuchte Pfeilverhältniß

$$\frac{f}{l} = \frac{1}{2} \sqrt{\frac{1 - \sin w}{1 + \sin w}} \dots \dots \dots (183)$$

Legt man dem Schrägungswinkel α nacheinander die Werthe 10, 20 90° bei, so ergeben sich nach dem Vorhergehenden die in nachstehender Tabelle berechneten Werthe von α' , γ_c , $\sin w$, w und $\frac{f}{l}$.

α	α'	γ_c	$\sin w$	w	$\frac{f}{l}$	
					berechnet.	rund
10	80	5	0,000	0° 00'	0,500	$\frac{1}{2}$
15	75	10	0,336	19° 37'	0,352	$\frac{1}{3}$
20	70	15	0,509	30° 36'	0,285	$\frac{1}{3,5}$
25	65	20	0,612	37° 44'	0,245	$\frac{1}{4}$
30	60	25	0,684	43° 09'	0,216	$\frac{1}{4,6}$
35	55	30	0,737	47° 30'	0,195	$\frac{1}{5}$
40	50	35	0,777	51° 00'	0,177	$\frac{1}{5,6}$
45	45	40	0,812	54° 18'	0,158	$\frac{1}{6,4}$
50	40	45	0,839	57° 00'	0,147	$\frac{1}{6,8}$
55	35	50	0,863	59° 40'	0,135	$\frac{1}{7,4}$
60	30	55	0,884	62° 08'	0,121	$\frac{1}{8,2}$
65	25	60	0,904	64° 41'	0,112	$\frac{1}{9}$
70	20	65	0,921	67° 00'	0,101	$\frac{1}{10}$

Aus dieser Tabelle folgt, daß mit der Zunahme des Schrägungswinkels oder mit der Abnahme des Schnittwinkels der Achsen das Pfeilverhältniß abnimmt und daß das dem

größten und kleinsten Schnittwinkel der Achsen von 80° und 20° entsprechende größte zulässige Pfeilverhältniß bezw. $\frac{1}{2}$ und $\frac{1}{10}$ beträgt. Für zwischenliegende Werthe der Schrägungs- und Schnittwinkel können die ihnen zugehörigen Werthe der größten zulässigen Pfeilverhältnisse durch Interpolation gefunden werden. Zu einem Schrägungswinkel von z. B. 52° 30' würde sich hiernach ein größtes Pfeilverhältniß von $\frac{1}{7,1}$ ergeben.

c) Ermittlung des größten zulässigen Schrägungswinkels des Gewölbes und des davon abhängigen kleinsten zulässigen Schnittwinkels der Bahn- und Gewölbachse, wenn das Pfeilverhältniß und der kleinste Lagerflächenwinkel des Gewölbes gegeben ist.

Ist der Lagerfugenwinkel γ und der Lagerflächenwinkel w bekannt, so läßt sich hieraus der entsprechende größte Schrägungswinkel α und kleinste Schnittwinkel α' der Achsen beider Tragen finden.

Aus der Relation (177) ergibt sich, wenn für γ der kleinste zulässige Fugenwinkel $\gamma = \alpha - \beta$ eingeführt wird,

$$\sin \alpha = \frac{\sin(\alpha - \beta)}{\sin w} \dots \dots \dots (184)$$

Wird für $\sin(\alpha - \beta)$ sein Werth gesetzt, so ergibt sich

$$\sin \alpha = \frac{\sin \alpha \cos \beta - \cos \alpha \sin \beta}{\sin w} \dots \dots \dots (185)$$

woraus

$$\sin \alpha (\cos \beta - \sin w) = \cos \alpha \sin \beta,$$

oder

$$\tan \alpha = \frac{\sin \beta}{\cos \beta - \sin w} \dots \dots \dots (186)$$

Wird hierin wie früher $\beta = 10^\circ$ gesetzt, so ergibt sich $\sin \beta = 0,174$ und $\cos \beta = 0,985$, mithin die Relation

$$\tan \alpha = \frac{0,174}{0,985 - \sin w} \dots \dots \dots (187)$$

in welche der in Gleichung (182) erhaltene Werth von $\sin w$ einzuführen ist.

Nimmt man hierin das Verhältniß $\frac{f}{l} = \frac{1}{10}$ als das absolut kleinste zulässige Pfeilverhältniß an, so ist nach Gleichung (182)

$$\sin w = \frac{1 - \left(\frac{2}{10}\right)^2}{1 + \left(\frac{2}{10}\right)^2} = 0,923,$$

und wenn dieser Werth in Gleichung (187) eingeführt wird

$$\operatorname{tang} \alpha = \frac{0,174}{0,985 - 0,923} = 2,806. \quad (188)$$

Nun ist

$$\operatorname{Log} 2,806 = 0,4480877 = \operatorname{Log} \operatorname{tang} \alpha,$$

mithin der bei einem schiefen Segmentbogengewölbe größte zulässige Schrägungswinkel

$$\alpha = 70^{\circ} 23',$$

welchem der kleinste, überhaupt zulässige Schnittwinkel der

Bahn- und Gewölbachse

$$\alpha' = 90 - \alpha = 19^{\circ} 37', \text{ rot. } 20^{\circ}$$

entspricht.

Setzt man noch successive $\frac{f}{l} = \frac{1}{10}, \frac{1}{8}, \frac{1}{7}, \dots, \frac{1}{2}$, welches letztere dem vollen Halbkreisgewölbe entspricht, so ergibt sich nachstehende Tabelle für die demselben entsprechenden Schrägungs- und Schnittwinkel schiefer Segmentbogengewölbe.

$\frac{f}{l}$	sin w	w	tg α	α	α_1	
					berechnet.	abgerundet.
$\frac{1}{10}$	0,923	67° 20'	2,806	70° 23'	19° 37'	20°
$\frac{1}{8}$	0,882	62° 05'	1,694	59° 27'	30° 33'	30°
$\frac{1}{7}$	0,849	58° 07'	1,278	51° 58'	38° 02'	38°
$\frac{1}{6}$	0,800	53° 06'	0,941	43° 15'	45° 45'	46°
$\frac{1}{5}$	0,724	46° 25'	0,667	33° 42'	56° 18'	56°
$\frac{1}{4}$	0,600	36° 52'	0,452	24° 20'	65° 40'	66°
$\frac{1}{3}$	0,385	22° 37'	0,289	16° 06'	73° 54'	74°
$\frac{1}{2}$	0	0° 00'	0,177	10° 03'	79° 57'	80°

Aus dieser Tabelle folgt wieder, daß der Zunahme des Pfeilverhältnisses auch eine Zunahme des Schnittwinkels der Achsen entspricht und daß die den Pfeilverhältnissen $\frac{1}{10}$ und $\frac{1}{2}$ entsprechenden Schnittwinkel von 20° und 80° zugleich deren Grenzen für Segmentbogengewölbe mit mittlerem constantem Fugenwinkel bilden. Für zwischenliegende Werthe der Pfeilverhältnisse lassen sich die zugehörigen Schnittwinkel auch hier durch Interpolation ermitteln, wonach z. B. dem Pfeilverhältniß von $\frac{1}{7,5}$ der Schnittwinkel von nahe 34° 30' entspricht.

In vielen Fällen der Praxis wird weder der Schnittwinkel, noch das Pfeilverhältniß des Gewölbes genau gegeben, vielmehr ein passendes, den örtlichen Umständen entsprechendes Verhältniß zwischen beiden aufzusuchen sein, wobei es, falls Tabellen, wie die oben berechneten, nicht zur Hand sind, wünschenswerth erscheint, aus dem Pfeilverhältniß den entsprechenden Schrägungswinkel oder aus dem Schrägungswinkel das entsprechende Pfeilverhältniß ableiten zu können.

Im ersteren Falle ergibt sich aus Gleichung (187), wenn für sin w aus Gleichung (182) sein Werth und der Kürze halber das Pfeilverhältniß

$$\frac{f}{l} = \varphi$$

gesetzt wird,

$$\operatorname{tang} \alpha = \frac{0,174}{0,985 - \left(\frac{1 - 4\varphi^2}{1 + 4\varphi^2} \right)}. \quad (189)$$

im letzteren Falle erhält man, wenn dieser Ausdruck in Bezug auf φ aufgelöst wird,

$$\varphi = \frac{1}{2} \sqrt{\frac{0,015 \operatorname{tg} \alpha + 0,174}{1,985 \operatorname{tg} \alpha - 0,174}}. \quad (190)$$

Gleichungen, aus welchen durch einige Versuchsrechnungen das den örtlichen Bedingungen entsprechendste Verhältniß zwischen φ und α zu ermitteln ist.

Hat man beispielsweise für den Schrägungswinkel des Gewölbes die Wahl zwischen den Grenzwerten $\alpha_1 = 30^{\circ}$ und $\alpha_2 = 40^{\circ}$, so ergibt sich für beide Fälle beziehungsweise das Pfeilverhältniß

$$\varphi' = \frac{1}{2} \sqrt{\frac{0,015 \cdot 0,577 + 0,174}{1,985 \cdot 0,577 + 0,174}} = \frac{1}{2} \sqrt{0,185} = 0,215 = \frac{1}{4,6}$$

und

$$\varphi'' = \frac{1}{2} \sqrt{\frac{0,015 \cdot 0,839 + 0,174}{1,985 \cdot 0,839 - 0,174}} = \frac{1}{2} \sqrt{0,125} = 0,177 = \frac{1}{5,6}$$

woraus man das geeignetste mittlere Verhältniß ableitet.

2) Berechnung und Construction eines aus Quadern oder aus Quadern und Ziegeln bestehenden schiefen Brückengewölbes mit kreissegmentförmigem Stirnbogen und constantem Fugenwinkel.

Siehe Taf. 7, Fig. 4 bis 16.

Beträgt dessen

zur Stirn parallele Spannweite $l = 8,55$ Met.,
Normalabstand der Stirnen 10 Met.,
Schnittwinkel der Straßen- und Brückenachse 60° ,
Centriwinkel des Stichtbogens 70° ,
Gewölbstärke $d = 1,15$ Met.,
Zahl der Gewölbsteine 17 ,

so erhält man den

Radius der inneren Wölblinie

$$r = \frac{\frac{1}{2}}{\sin \cdot \frac{70}{2}} = \frac{1}{2 \sin 35^\circ} = \frac{8,55}{2 \cdot 0,574} = 7,45 \text{ Met.}$$

Radius der äußeren Wölblinie

$$R = r + d = 7,45 + 1,15 = 8,6 \text{ Met.}$$

Schrägungswinkel des Gewölbes

$$\alpha = 90^\circ - 60^\circ = 30^\circ.$$

a) Berechnung und Construction des schiefen Brückengewölbes.

Der mittlere constante Fugenwinkel ergibt sich aus Gleichung (174)

$$\gamma_c = \frac{\alpha + \gamma_{\min}}{2} = \frac{30 + \gamma_{\min}}{2},$$

der kleinste variable Fugenwinkel γ_{\min} für den kleinsten Lagerfugenwinkel

$$w_{\min} = \frac{180 - 70}{2} = 55^\circ,$$

nach Gleichung (173)

$$\sin \gamma_{\min} = \sin \alpha \cdot \sin w_{\min} = \sin 30^\circ \cdot \sin 55^\circ.$$

Hieraus erhält man

$$\gamma_{\min} = 24^\circ 10' 40'',$$

mithin den berechneten, mittleren constanten Fugenwinkel

$$\gamma_c = \frac{30 + 24^\circ 10' 40''}{2} = 27^\circ 5' 20'',$$

ein Werth, welcher von dem größten und kleinsten variablen Fugenwinkel nur um

$$30^\circ - 27^\circ 5' 20'' = 27^\circ 5' 20'' - 24^\circ 10' 40'' = 2^\circ 54' 40''$$

abweicht, also keine nachtheiligen Verschiebungen der Gewölbsteine nach den Gewölbstirnen veranlassen kann. Wird derselbe in die Abwicklung eingetragen, wie dies in Fig. 6 geschehen ist, so ergibt sich der corrigirte, mittlere constante Fugenwinkel.

Die Abscissen des abgewickelten Stirnbogens ergeben sich aus Gleichung (149), worin für r und α ihr Werth zu setzen und w zwischen den Grenzen 55 und $180 - 55 = 125^\circ$ zu nehmen ist. Hiernach erhält man aus Gleichung (149)

$$x = r \cdot \sin \alpha (1 - \cos w) = 7,45 \cdot \sin 30^\circ (1 - \cos w) = 3,725 (1 - \cos w)$$

und für

$$w = 55^\circ; x = 3,725 (1 - \cos 55^\circ) = 1,5875,$$

$$w = 90^\circ; x = 3,725 (1 - \cos 90^\circ) = 3,7250,$$

$$w = 125^\circ; x = 3,725 (1 - \cos 125^\circ) = 5,8625.$$

Wird, um diese auf den vollen Halbkreis bezogenen Abscissen nicht vollständig auftragen zu müssen, die Abscisse $1,5875$ des Anfangspunktes von ihnen abgezogen, so ergibt sich für

$$w = 55^\circ; x = 1,5875 - 1,5875 = 0,0000,$$

$$w = 90^\circ; x = 3,7250 - 1,5875 = 2,1375,$$

$$w = 125^\circ; x = 5,8625 - 1,5875 = 4,2750,$$

wie dies in Fig. 6 der Taf. 8 eingetragen ist.

Da die in Fig. 4 und 5, Taf. 7, eingetragenen Stoßfugen des Gewölbes parallel zur Stirnfläche, mithin in der Abwicklung, Fig. 6, parallel zu dem darin dargestellten, abgewickelten Stirnbogen sind, so ist der Steinschnitt in dieser Abwicklung bestimmt und kann mit Hilfe der zur Gewölbachse parallelen Cylinderelemente, welche in der Horizontalprojection, Fig. 5, und in der Abwicklung, Fig. 6, dieselbe Länge besitzen, sowohl in der Horizontalprojection als auch, sobald die Lagerfugen in diese letztere eingetragen sind, in der Verticalprojection dargestellt werden, wie dies beziehungsweise in Fig. 5 und 4 geschehen ist. Ist der Steinschnitt der inneren Gewölbfläche in der Verticalprojection bestimmt, so erhält man den in der letzteren Figur gleichfalls dargestellten Steinschnitt der äußeren Gewölbfläche, wenn man den zu irgend einem Fugenpunkte der inneren Gewölbfläche gehörigen Radius um die Dicke des Gewölbes verlängert.

b) Steinschnitt des schiefen Brückengewölbes.

Auf diese Weise ist der Steinschnitt in Auf- und Grundriß vollkommen bestimmt und jeder wünschenswerthe Anhaltspunkt für das Heraustragen und Bearbeiten der Gewölbesteine gegeben. So giebt Fig. 8, Taf. 7, die Verticalprojection eines Stirnstückes und einiger Kämpfer, Fig. 9 und 13 deren Horizontalprojection, Fig. 12 die aus Fig. 13 entwickelte Ansicht der Kämpfer von der Gewölbelaibung. Aus den in Fig. 8 und 12 eingetragenen Fugen qrs und tIv geht zugleich die Anordnung der gebrochenen Stoßflächen der Kämpfer deutlich hervor, welche unterhalb einer durch die Linie $OIII$... des Gewölbanfangs gelegten Horizontalebene durchweg lothrecht, oberhalb derselben unter dem Winkel tIO (Fig. 12) zur Horizontalen geneigt, mithin aus einer unten befindlichen, lothrechten Fläche von der Tiefe Iw (Fig. 13) und der Höhe Iv (Fig. 13) sowie aus einer darüber befindlichen geneigten, paralleltrapezförmigen Fläche mit den in Fig. 13 dargestellten, wagrechten Seiten wl unten, zx oben und der hinteren, zu beiden Seiten normalen dritten Seite tI (Fig. 12) zusammengefügt sind.

Nur im Scheitel des Gewölbes, wo die Lagerfuge wagrecht und die Stoßfläche lothrecht ist, schließen beide einen rechten Winkel ein, während sie an allen übrigen Stellen des Gewölbes einen um so spitzeren Winkel miteinander bilden, je weiter sie von dem Gewölbscheitel entfernt sind.

Um nun bei Anwendung von Ziegelschichten diese da, wo sie die Stirnstücke unter spitzen Winkeln treffen, nicht verhauen zu müssen, zieht man vor, die aus Quadern bestehenden Stirnstücke so „abzuwinkeln“, daß die Stoßfugen derselben normal zur Richtung jener Ziegelschichten sind. Alsdann müssen ihre, in der Laibung sichtbaren Stoßflächen sowohl senkrecht auf den geraden Lagerfugen der Abwicklung, (siehe die in doppeltem Maasstabe gegebene Figur 7) als auch senkrecht auf der geneigten Lagerfuge stehen. Um dies Verfahren der Abwinkelung an einem Kämpfer, also da zu zeigen, wo dieselbe am bedeutendsten wird, ist die Projection Xa (Fig. 5, Taf. 7) der Lagerfuge in Fig. 10 derselben Tafel aufgetragen und in dem Punkte a diejenige lothrechte ac errichtet, welche dem gleichnamigen, lothrechten Abstände des höchsten Punktes der Lagerfuge von deren tiefstgelegenen Punkte entspricht. Wird zu der, auf diese angenäherte Weise erhaltenen, Neigung cX (Fig. 10) der Lagerfuge in X eine zu ihr Normale von der Länge der Gewölbböcke errichtet, so entspricht die Projection bX der Horizontalprojection (Fig. 11) der oberen und inneren Begrenzungslinie jener zu den angrenzenden Ziegelschichten normalen Stoßflächen. Wird der Abstand bX nach ef in Fig. 11 übertragen, welche in allen übrigen Theilen aus der Verticalprojection, Fig. 8, Taf. 7, entwickelt ist, so ergiebt sich hierdurch der nur an deren

Zacken etwas veränderte Steinschnitt der Kämpfer, welcher für alle Kämpfer, mit Ausnahme jener an den beiden Stirnen, die ihre lothrechte Stirnfläche behalten, der nämliche bleibt.

c) Austragen der End- und Zwischenkämpfer (Stirn- und Laibungskämpfer) des schiefen Brückengewölbes sammt Bestimmung ihres kleinsten parallelepipedischen Umschließungskörpers.

a) End- oder Stirnkämpfer.

Der in Fig. 8 und 9, Taf. 7, enthaltene Auf- und Grundriß des vorderen linken Stirnkämpfers liefert nicht nur alle Vertical- und Horizontal-Abmessungen der in Fig. 14, Taf. 7, enthaltenen perspectivischen Darstellung desselben, sondern auch die kleinste rechteckige Basis $ghik$ (Fig. 9) und die größte lothrechte Höhe $11'$ (Fig. 8) des gleichfalls in Fig. 14 construirten Umschließungskörpers $gg'h'h'i'i'kk'$, dessen Vorderfläche mit der lothrechten Stirnfläche dieses Quaders zusammenfällt, während seine lothrechten Seitenflächen $ii'gg'$, $kk'h'h'$ und $gg'h'h'$ seine durch I und i' (Fig. 9) gehenden lothrechten Kanten enthalten und seine obere wagrechte Begrenzungsfläche $g'i'h'k'$ durch jenen höchsten Punkt l (Fig. 8) geht.

β) Zwischen- oder Laibungskämpfer.

Auch für die in Fig. 15 und 16, Taf. 7, enthaltene perspectivische Darstellung des dritten linken Zwischenkämpfers von dessen Rück- und Stirnseite liefern die Figuren 8 und 9 alle nöthigen Vertical- und Horizontal-Abmessungen. Die kleinste, in Fig. 9 eingetragene, rechteckige Basis $mno p$ des parallelepipedischen Umschließungskörpers $mm'nn'o o'pp'$ (Fig. 15 und 16, Taf. 7), sammt der ihm zukommenden Höhe $\lambda\lambda' = 11'$ (Fig. 8) bestimmen hierauf dessen sämtliche Abmessungen. Die lothrechte Fläche $mm'o o'$ desselben fällt hiernach mit der Rückenfläche des Kämpfers zusammen, während dessen lothrechte Begrenzungsflächen $m'n'n'$, $o o'pp'$ und $n n'pp'$ (Fig. 15 und 16), beziehungsweise durch die Kanten mn , op und den Punkt y der Figur 9 festgelegt sind und die obere wagrechte Begrenzungsfläche $m'n'o'p'$ (Fig. 15 und 16) durch den höchsten Punkt λ (Fig. 8) des Quaders hindurch geht.

C) Die Pfeiler der gewölbten Brücken.

Bei gewölbten Brücken mit n Oeffnungen werden zwei End- oder Landpfeiler und $n - 1$ Zwischen- oder Stirnpfeiler erforderlich, von welchen die ersteren dem einseitigen Drucke der äußersten Gewölbe, die letzteren entweder nur dem einseitigen Drucke eines Zwischengewölbes (starke Zwischenpfeiler), oder wie gewöhnlich nur den größten Druckdifferenzen

der beiden auf ihnen ruhenden Träger (schwache Zwischenpfeiler) zu widerstehen haben.

I. Stärke der Landpfeiler.

Die Dicken der Land- oder Widerlagspfeiler der gewölbten Brücken hängen, außer von ihrem eigenen Gewicht, sowohl von dem größten Horizontalschub der Ueberbauconstruktion und dem in gleicher Richtung wirkenden größten Ueberdruck des Wassers, als auch von dem ihnen der Richtung nach entgegengesetzten größten Horizontaldruck der dahinter liegenden Erdmassen ab und werden am sichersten nach dem relativ größten dieser beiden Horizontaldrucke derart bemessen, daß die Widerlagspfeiler einem jeden derselben für sich allein einen genügenden Widerstand entgegenzusetzen vermögen.

1) Die vom Erd- und Wasserdruck abhängige Stärke der Landpfeiler.

Bezeichnet

- h_e die Höhe der Erdhinterfüllung des Widerlagers über dem inneren Drehpunkt D_i desselben, s. Taf. 8, Fig. 1,
 - ρ den Reibungswinkel der Füllererde und
 - γ_1 das Gewicht ihrer cubischen Einheit,
- so ist bekanntlich der größte wagrechte Erddruck:

$$H_{max} = \gamma_1 \cdot \frac{h_e^2}{2} \cdot \text{tg}^2 \left(45 - \frac{\rho}{2} \right), \quad (191)$$

und wenn die Füllererde gänzlich durchnäßt werden kann, in welchem Falle $\rho = 0$,

$$H_{max} = \gamma_1 \cdot \frac{h_e^2}{2}, \quad (192)$$

dessen Angriffspunkt in beiden Fällen $\frac{h_e}{3}$ über dem Drehpunkt D_i liegt.

Bezeichnet, mit Bezug auf Figur 1,

- d_0 die obere Dicke des Landpfeilers,
- d_1 die untere Dicke desselben,
- m das Neigungsverhältniß seiner verfüllten Seite,
- h_1 seine Höhe über dem Drehpunkt D_i ,
- b_1 seine Tiefe,
- G_1 sein Gewicht mit Ausschluß des Fundaments,
- g_1 den zugehörigen Hebelarm, bezogen auf D_i ,
- g das Gewicht seiner cubischen Einheit,

so ergibt sich als Gegenmoment des Erddrucks:

$$G_1 g_1 = g \frac{(2 d_0 + m h_1)}{2} \cdot b_1 h_1 g_1 \quad (193)$$

Wird der Factor von $b_1 g$ dieser Gleichung den statischen Momenten der Theilflächen des Landpfeilerquerschnitts, bezogen auf denselben Drehpunkt, gleichgesetzt, so ergibt sich:

$$\begin{aligned} \frac{h_1(2 d_0 + m h_1)}{2} \cdot g_1 &= \frac{h_1 m h_1}{2} \left(\frac{m h_1}{3} + d_0 \right) + d_0 h_1 \cdot \frac{d_0}{2} \\ &= \frac{h_1}{2} \left(d_0^2 + m h_1 d_0 + \frac{m^2 h_1^2}{3} \right), \end{aligned}$$

und wenn dieser Werth in Gleichung (193) eingesetzt wird:

$$G_1 g_1 = \frac{b_1 h_1 g}{2} \left(d_0 + m h_1 d_0 + \frac{m^2 h_1^2}{3} \right). \quad (194)$$

Wird das Moment des Landpfeilers dem Moment des Erddrucks in Gleichung (191) gleichgesetzt, so erhält man:

$$\frac{b_1 h_1 g}{2} \left(d_0^2 + m h_1 d_0 + \frac{m^2 h_1^2}{3} \right) = H_{max} \cdot \frac{h_e}{3}, \quad (195)$$

und hieraus die obere Stärke des Landpfeilers:

$$d_0 = - \frac{m h_1}{2} + \sqrt{H_{max} \cdot \frac{2 \cdot h_e}{3 g b_1 h_1} - \frac{m^2 h_1^2}{12}} \quad (196)$$

und, wenn der Landpfeiler rechteckigen Querschnitt erhalten und die Erdhinterfüllung bis zum Kopfe des Landpfeilers reichen soll, wegen $m = 0$ und $h_1 = h_e$

$$d_0 = \sqrt{\frac{2}{3 g b_1} \cdot H_{max}} \quad (197)$$

Die untere Dicke des hinten geböschten Landpfeilers ergibt sich alsdann

$$d_1 = d_0 + m h, \quad (198)$$

worin bei senkrechter Rückwand $m = 0$ zu setzen ist.

Bezeichnet h_n den niedrigsten Wasserstand,

h_w den höchsten Wasserstand

über dem Drehpunkt D_i , ferner

γ das Gewicht der cubischen Einheit Wasser,

so ist bei einem plötzlichen Steigen des Wassers der größtmögliche einseitige Wasserdruck auf den Landpfeiler

$$W_{max} = \frac{(h_w - h_n)^2}{2} \cdot \gamma, \quad (199)$$

dessen Angriffspunkt um

$$w = h_n + \frac{h_w - h_n}{3} = \frac{2 h_n + h_w}{3} \quad (200)$$

über D_i liegt.

2) Die vom Druck der Gewölbe abhängige Stärke der Landpfeiler.

Der Seitendruck des äußersten Gewölbes auf den Landpfeiler wird nahezu am größten, wenn dasselbe voll belastet ist. Der Landpfeiler erhält entweder, und zwar gewöhnlich auf seiner Rückseite, einen Anlauf, also einen paralleltrapezförmigen Querschnitt oder im einfachsten Falle eine senkrechte Rückseite, also einen rechteckigen Querschnitt.

a) Die Landpfeiler mit paralleltrapezförmigem Querschnitt.

Bezeichnet, unter Hinweis auf Fig. 1,

H die Resultante des in der halben Höhe $\frac{d}{2}$ des Schlußsteins angreifenden Horizontaldrucks des vollbelasteten Endgewölbes,

$f + \frac{d}{2} + h_a$ deren, auf den Drehpunkt D_a bezogenen Hebelsarm,

V die im Schwerpunkte der Hälfte jenes Gewölbes wirkende Resultante ihres Verticaldrucks,

$v + d_1$ deren auf den Drehpunkt D_a bezogenen Hebelsarm, so ist, wenn G_1, h_1, g_1, d_1, d_0 und m ihre frühere Bedeutung behalten, und wenn h_a die Höhe des Pfeilers bis zum Gewölbansfang bedeutet, mit Bezug auf den Drehpunkt D_a für die laufende Einheit des Landpfeilers und Gewölbes

$$G_1(d_1 - g_1) + V(v + d_1) - H\left(f + \frac{d}{2} + h_a\right) = 0. \quad (201)$$

Hierin ist, wenn man sich die Querschnittsfläche des Landpfeilers in ein Dreieck mit der Höhe h_1 und Basis $m h_1$, sowie in ein Rechteck mit der Höhe h_1 und Basis d_0 zerlegt denkt,

$$G_1(d_1 - g_1) = \frac{m h_1^2}{2} \cdot \frac{2 m h_1}{3} \cdot g + h_1 d_0 \left(\frac{d_0}{2} + m h_1\right) g,$$

und wenn für d_0 sein Näherungswert

$$d_0 = d_1 m h_1$$

$$v = \frac{2f + d}{2 \operatorname{tg} \varphi} - \frac{d}{2 \sin \varphi} = \frac{1}{\sin \varphi} \left(f \cos \varphi - \frac{d}{2} (1 - \cos \varphi) \right). \quad (206)$$

b) Die Landpfeiler mit rechteckigem Querschnitt.

Wird in dem Werthe für A in Gleichung (202) $m = 0$ gesetzt, so erhält man

$$B = H\left(f + \frac{d}{2} + h_a\right) - V v, \quad (207)$$

und aus Gleichung (203)

$$d_1 = -\frac{V}{g h_1} + \sqrt{\frac{2B}{g h_1} + \left(\frac{V}{g h_1}\right)^2}, \quad (208)$$

worin die Größen H, V und v die in Gleichung (204), (205) und (206) entwickelten Werthe besitzen.

II. Die Stärke der Strompfeiler.

Nimmt man die beiden, auf den Strompfeiler sich stützenden Gewölbhälften vollbelastet und deren Gewicht für die Tiefeneinheit zu je V an, bezeichnet mit p die Wider-

gesetzt und reducirt wird,

$$G_1(d_1 - g_1) = \frac{h_1 g}{2} \left(d_1^2 - \frac{m^2 h_1^2}{3} \right).$$

Wird dieser Werth in Gleichung (201) eingeführt und nach Potenzen von d_1 geordnet, so ergibt sich, wenn der Kürze halber

$$A = H\left(f + \frac{d}{2} + h_a\right) + \frac{g}{6} \cdot m^2 h_1^3 - V v \quad (202)$$

gesetzt wird,

$$d_1 = -\frac{V}{g h_1} + \sqrt{\frac{2}{g h_1} A + \left(\frac{V}{g h_1}\right)^2}. \quad (203)$$

Hierin ist nach Gleichung (5), (12) und (17)

$$H = g z_0 e_0 = (d g + d' g' + v) \left(e_0' + \frac{d}{2} \right), \quad (204)$$

daher, wenn die Stütze mit der inneren Wölblinie parallel läuft und deren Tangente am Gewölbansfang den Winkel φ mit dem Horizont einschließt,

$$V = H \operatorname{tg} \varphi. \quad (205)$$

Bezeichnet v_1 den Abstand der Resultante V von dem Durchschnittspunkte der Tangente durch den Endpunkt der Stütze mit der Horizontalen durch den Bogenanfang, c den Abstand jenes Durchschnittspunktes von diesem Bogenan-

fang, so ist der Abstand $v = v' - c$, worin $v' = \frac{f + \frac{d}{2}}{\operatorname{tg} \varphi}$

und aus $c \cdot \sin \varphi = \frac{d}{2}$ der Werth $c = \frac{d}{2 \sin \varphi}$ gefunden wird.

Es ergibt sich mithin

standsfähigkeit des angewandten Materials, so ergibt sich eine Strompfeilerstärke

$$d_s = \frac{2V}{p}, \quad (209)$$

welche dem Stöße abgehender Eismassen meist nicht gewachsen ist.

Die Stärke von Strompfeilern, welche einem Eisgange zu widerstehen haben, wird daher bisweilen aus der empirischen Formel

$$d_s = 0,762 + 0,147 h_s \sqrt{\frac{1 + d_s}{h_s}} \text{ Met.} \quad (210)$$

bestimmt, worin alle Abmessungen in Meter einzuführen sind.

Der Seitendruck zweier sich auf einen Strompfeiler stützender Gewölbe wird nahezu am größten, wenn das eine derselben unbelastet, das andere vollbelastet ist. Wird mit H der Seitendruck des halben vollbelasteten, mit

H_1 der Seitendruck des halben entlasteten Gewölbes bezeichnet, so erfährt der Strompfeiler die horizontale Druck-

differenz $H - H'$. Werden die Verticaldrucke der belasteten und unbelasteten Gewölbhälfte mit V und V_1 , die nahezu gleichen Abstände ihrer Schwerpunkte von dem Strompfeiler mit v bezeichnet, s. Fig. 2, Taf. 8, so besteht, wenn h_s

und h_a die Höhe des Strompfeilers bzw. bis zur Fahrbahn und bis zum Gewölbefang, d_s seine Stärke bedeutet und alle übrigen Beziehungen dieselben bleiben, in Bezug auf D die Momentengleichung

$$(H - H_1) \left(f + \frac{d}{2} + h_a \right) - V(v + d_s) + V_1 v - g \cdot \frac{h_s d_s^2}{2} = 0$$

Wird nach Potenzen von d_s geordnet und der Kürze halber

$$C = (H - H') \left(f + \frac{d}{2} + h_a \right) - V v + V_1 v$$

gesetzt, so ergibt sich die Stärke des Strompfeilers

$$d_s = - \frac{V}{g h_s} + \sqrt{\frac{2C}{g h_s} + \left(\frac{V}{g h_s} \right)^2} \quad (211)$$

Hierin ist nach Gleichung (204)

$$H = (g d + g' d' + v) \left(e_0' + \frac{d}{2} \right),$$

ferner

$$H_1 = (g d + g' d') \left(e_0' + \frac{d}{2} \right), \quad (212)$$

mithin

$$H - H_1 = v \left(e_0' + \frac{d}{2} \right), \quad (213)$$

ferner nach Gleichung (205)

$$H = (1,31 \cdot 2150 + 1400 + 400) \left(39 + \frac{1,31}{2} \right) = 183045, \text{ rot. } 183000 \text{ Kilogr.}$$

ferner da $\text{tg } \varphi = \frac{\frac{1}{2}}{r' - f} = \frac{15}{39 - 3} = 0,4166$ beträgt, nach Gleichung (205)

$$V = 183045 \cdot 0,4166 = 75007, \text{ rot. } 75000 \text{ Kilogr.}$$

Nun ist nach Gleichung (212)

$$H_1 = (1,31 \cdot 2150 + 1400) \left(39 + \frac{1,31}{2} \right) = 167184, \text{ rot. } 167200 \text{ Kilogr.}$$

und nach Gleichung (214)

$$V_1 = H_1 \cdot \text{tg } \varphi = 167184 \cdot 0,4166 = 69649, \text{ rot. } 69650 \text{ Kilogr.}$$

Nach Gleichung (206), worin $\sin \varphi = \frac{\frac{1}{2}}{r'} = \frac{15}{39} = \frac{5}{13}$ und $\cos \varphi = \frac{r' - f}{r'} = \frac{39 - 3}{39} = \frac{12}{13}$ beträgt, ist

$$v = \frac{1}{\sin \varphi} \left(f \cos \varphi - \frac{d}{2} (1 - \cos \varphi) \right) = \frac{13}{5} \left(3 \cdot \frac{12}{13} - \frac{1,31}{2} \left(1 - \frac{12}{13} \right) \right) = 7,06 \text{ Met.}$$

Hieraus ergibt sich

$$\frac{V}{g h_1} = \frac{75000}{2150 \cdot 8} = 1,018,$$

ferner

$$A = H \left(f + \frac{d}{2} + h_a \right) + \frac{g}{6} m^2 \cdot h_1^3 - V \cdot v = 183000 \left(3 + \frac{1,21}{2} + 6 \right) + \frac{2150}{6} \cdot \frac{8^3}{100} - 75000 \cdot 7,06 = 1238285$$

und

$$B = H \left(f + \frac{d}{2} + h_a \right) - V \cdot v = 183000 \left(3 + \frac{1,31}{2} + 6 \right) - 75000 \cdot 7,06 = 1236450,$$

mithin

1) die gesuchte untere Stärke des Landpfeilers,

a) mit trapezförmigem Querschnitt nach Gleichung (203)

$$d_1 = -\frac{V}{gh_1} + \sqrt{\frac{2}{gh_1} \cdot A + \left(\frac{V}{gh_1}\right)^2} = -1,018 + \sqrt{\frac{1238285}{8600} + 1,018^2} = -1,018 + \sqrt{144 + 1,018^2} = 11,024, \text{ rot. 11 Met.},$$

$$\text{woraus } d_0 = d_1 - mh_1 = 11 - \frac{8}{10} = 10,2 \text{ Met.}$$

b) mit rechteckigem Querschnitt nach Gleichung (208)

$$d_1 = -\frac{V}{gh_1} + \sqrt{\frac{2}{gh_1} \cdot B + \left(\frac{V}{gh_1}\right)^2} = -1,018 + \sqrt{\frac{1236450}{8600} + 1,018^2} = 10,982 \text{ Met.}$$

Ferner erhält man

$$C = (H - H_1) \left(f + \frac{d}{2} + h_a \right) - v(V - V_1) = 15860 \left(3 + \frac{1,31}{2} + 6 \right) - 7,06(75000 - 69650) = 153049 - 37771 = 115278$$

und hieraus nach Gleichung (211)

2) die Stärke des Strompfeilers

$$d_s = -\frac{V}{gh_s} + \sqrt{\frac{2}{gh_s} \cdot C + \left(\frac{V}{gh_s}\right)^2} = -1,018 + \sqrt{\frac{115278}{8600} + 1,018^2} = -1,018 + \sqrt{13,4 + 1,018^2} = 3,65 \text{ Met.}$$

Die vorstehend gefundenen Stärken eines Land- und Strompfeilers sind unter der Voraussetzung berechnet, daß die Resultante der auf Drehung wirkenden Kräfte durch eine äußerste Kante der Pfeilerbasis geht, sind mithin Minimalstärken, welchen bei einem Landpfeiler ein Zusatz von etwa $\frac{1}{8}$ bis höchstens $\frac{1}{4}$, bei einem Strompfeiler, welcher einem Ueberdrucke von zwei entgegengesetzten Seiten zu widerstehen hat, ein Zusatz von $\frac{1}{4}$ bis höchstens $\frac{1}{2}$ der zuvor berech-

neten Pfeilerstärke gegeben wird, um jene Druckresultante so tief in das Innere des Mauerwerks zu verlegen, daß die zulässige Pressung jener Pfeilerkante nicht überschritten wird. Hiernach würde der Landpfeiler eine Stärke von 12,375 bis höchstens 13,75 Met. und der Strompfeiler eine solche von 4,56 bis 5,47 Met. erhalten müssen.

Berechnet man die Stärke des letzteren nach der für den Widerstand gegen Eisstoß aufgestellten, empirischen Formel (210), so ergibt sich eine Pfeilerstärke

$$d_s = 0,762 + 0,147 h_s \sqrt[3]{\frac{1 + d_s}{h_s}} = 0,762 + 0,147 \cdot 8 \sqrt[3]{\frac{35}{8}} = 3,57 \text{ Met.},$$

welche, wie man sieht, noch etwas hinter der oben berechneten Minimalstärke zurückbleibt. Nimmt man die Widerstandsfähigkeit des Quadermauerwerks nur zu $p = 150000$ Kilogr. pro \square Met. an, so ergibt sich nach Gleichung (209)

$$d_s = \frac{2V}{p} = \frac{2 \cdot 75000}{150000} = 1 \text{ Met.},$$

eine Stärke, welche mithin den beiden, zuvor berechneten bedeutend nachsteht. Werden die oben berechneten Stärken von d_1 und d_s aufgetragen, so ergibt sich die in Fig. 1 und 2, Taf. 8 enthaltene Darstellung.

Zweiter Abschnitt.

Die eisernen Stützbrücken.

A) Die Träger der eisernen Stützbrücken.

I. Allgemeine Anordnung.

Die Träger der eisernen Stützbrücken werden meist mit horizontalem, in der Brückenebene liegenden, oberen und mit polygonalem, unteren Gurte construirt, zwischen welchen sich die, gewöhnlich aus lothrechten Ständern bestehende Uebertragungs- und die, aus geneigten Stäben bestehende, Versteifungsconstruction befindet.

Betrachtet man eine Tragrippe einer eisernen Stützbrücke und bezeichnet mit

- | | | |
|--|---|---------------------|
| A den lothrechten Gegendruck | } | der linken Stütze, |
| H den Horizontaldruck | | |
| B den lothrechten Gegendruck | } | der rechten Stütze, |
| H ₁ den Horizontaldruck | | |
| G das Gewicht jener Tragrippe, | | |
| g den Abstand ihres Schwerpunktes vom rechten Stützpunkte, | | |

l deren Spannweite,

so ergeben sich mit Bezug auf Taf. 9, Fig. 1, die allgemeinen Bedingungen des Gleichgewichts der angreifenden Kräfte gegen lothrecht und wagrecht fortschreitende, sowie gegen drehende Bewegung beziehungsweise

$$A + B - G = 0, \dots \dots \dots (215)$$

$$H - H_1 = 0, \dots \dots \dots (216)$$

$$Al - Gg = 0, \dots \dots \dots (217)$$

also 3 Gleichungen, woraus sich von den 4 unbekanntem angreifenden Kräften A, B, H und H₁ folgende 3, nämlich

$$B = G \frac{(l - g)}{l} \dots \dots \dots (218)$$

$$H_1 = H \dots \dots \dots (219)$$

$$A = \frac{Gg}{l} \dots \dots \dots (220)$$

unmittelbar finden lassen, während die 4te unbekanntete Kraft H vorläufig unbestimmt bleibt.

Führt man in dem wagrechten Abstände x vom linken Stützpunkte einen lothrechten Schnitt, s. Fig. 2, ersetzt die in den durchschnittenen Gurtungen stattfindenden Widerstände durch äußere Kräfte und bezeichnet mit

- V_x die Verticalkraft in jene Schnitte,
 H_o die Horizontalkraft der oberen Gurtung,
 H_u die Horizontalkraft der unteren Gurtung,
 G_x das Gewicht der Tragrippe bis zu jenem Schnitt,
 g_x den Abstand ihres Schwerpunktes von jenem Schnitte,

so ergeben sich mit Bezug auf Fig. 2 die allgemeinen Bedingungen des Gleichgewichts der angreifenden und widerstehenden Kräfte

$$A - G_x - V_x = 0 \dots \dots \dots (221)$$

$$H + H_o - H_u = 0 \dots \dots \dots (222)$$

$$G_x g_x - Ax + H_u y_u + H_o y_o = 0, \dots \dots \dots (223)$$

also 3 Gleichungen, woraus sich die drei unbekanntem, widerstehenden Kräfte

$$V_x = A - G_x \dots \dots \dots (224)$$

$$H_u = H_o + H \dots \dots \dots (225)$$

$$H_o = \frac{Ax - H y_u - G_x g_x}{y_o + y_u} \dots \dots \dots (226)$$

finden lassen, während der Horizontalwiderstand H auch hier vorläufig unbestimmt bleibt. Setzt man, um ihn bei der Stützbrücke zu bestimmen, H_o = 0,* so wird

$$H_u = H = \frac{Ax - G_x g_x}{y_u} \dots \dots \dots (228)$$

Dieser Voraussetzung entspricht eine Unterbrechung des oberen Gurtes**). Die beiden Trägerhälften dürfen sich alsdann nur in ihren Scheiteln berühren und bilden, wenn sie hier, sowie an ihren Stützpunkten, zur Vermeidung nachtheiliger innerer Spannungen durch einseitige Belastung und Temperaturwechsel, mit Charnieren versehen werden, die gestützten Charnierbrücken.

Die Form der polygonalen Gurte hängt hauptsächlich von der Belastungsweise ab, welcher sie entweder stets oder, bei den gewöhnlich stattfindenden veränderlichen Belastungen, in gewissen Fällen ausgesetzt sind. Da nun die Straßen- und Eisenbahnbrücken, sowohl im unbelasteten, als im vollbelasteten Zustande (durch Menschengedränge oder Eisenbahnzüge) nahezu gleichförmig auf ihre Projection belastet werden, so verdienen gerade diese Belastungszustände als die beziehungsweise längstandauernden und quantitativ größten bei der Wahl der Trägerform vorzugsweise Berücksichtigung. Die Abmessungen der Systemglieder dagegen bleiben indeß jederzeit nach ihren größten Anstrengungen durch symmetrische oder unsymmetrische Belastungen zu bestimmen.

Bezeichnet p eine solche, gleichförmig auf die Projection vertheilte Belastung für die laufende Einheit, so besteht für das beliebige Trägerstück AM und die Abscisse x, s. Fig. 3, welches durch die Kräfte H und T im Gleichgewicht erhalten wird, in Bezug auf Punkt M (x, y) die Momentengleichung

*) Vgl. die drei überhaupt möglichen Fälle in Heinzerling, Grundzüge u. s. w. Erster Theil. Leipzig 1870. Sp. 3 bis 7.

**) Zu demselben Schlusse gelangt Schwedler bei der „statischen Berechnung der festen Hängebrücke“. Zeitschr. für Bauwesen. Berlin 1861. Sp. 74 ff.

$$Hy = px \cdot \frac{x}{2}, \dots (229)$$

welche für den Stützpunkt A des Trägers mit der Spannweite l und Pfeilhöhe f übergeht in

$$Hf = p \frac{1}{2} \cdot \frac{l}{4}, \dots (230)$$

woraus durch Division die Gleichung

$$y = \frac{4f}{l^2} \cdot x^2 \dots (231)$$

einer gemeinen Parabel mit den durch den Punkt O gehenden, lothrechten Axe erhalten wird. Wird die gleichförmig vertheilte Belastung der Brückenbahn durch einzelne Verticalständer auf den unteren Gurt des Trägers übertragen, s. Fig. 4, wovon jeder die halbe Belastung der beiden angrenzenden Strecken aufzunehmen hat, so behalten unter übrigens gleichen Umständen die Gleichungen (229), (230), (231) ihre Gültigkeit und der Träger nimmt, mögen sich nun die Verticalständer in gleichen oder ungleichen Abständen befinden, die Form eines der Parabel eingeschriebenen Polygons an. Hiernach nehmen die parabolischen Stützbrücken die in Fig. 28 und 29, Taf. 9, angegebene Form und Anordnung an.

II. Statische Berechnung der gestützten Charnierbrückenträger mit wagrechttem Obergurt und parabolisch-polygonalem Untergurt.

1) Bestimmung der Spannungen Z in den Polygonstücken.

a) Bei voller Belastung.

Führt man einen Schnitt $\alpha\beta$, s. Fig. 5, durch das beliebige mte Feld und bezeichnet

- Z_m die Spannungen im mten Polygonstück,
- z_m deren Hebelsarm für den Durchschnittspunkt D der beiden mitdurchschnittenen Stangen als Drehpunkt,
- $p + q$ die volle Belastung durch Eigengewicht und Verkehr pro Knotenpunkt des Trägers,

$$b_m = \sqrt{\lambda^2 + (y^m - y^{m-1})^2} = \sqrt{\lambda^2 + \left(\frac{f}{n^2} (m^2 - (m-1)^2)\right)} = \sqrt{\lambda^2 + \left(\frac{(2m-1)f}{n^2}\right)^2} \dots (254)$$

gesetzt wird, sich ergibt:

$$Z_m = - (p + q) \frac{n^2}{2} \cdot \frac{b_m}{f}, \dots (255)$$

eine Gleichung, welche mit der für den parabolischen Balkenträger sich ergebenden vollkommen übereinstimmt. Gleichung (255) wird nicht geändert, wenn sie mit dem Factor $m - \frac{1}{2} = \frac{2m-1}{2}$ multiplicirt und wie folgt, geschrieben wird:

V und H bezugsweise die verticale und horizontale Componente des von der rechten Trägerhälfte in C auf die linke ausgeübten Scheiteldruckes,

so ergibt, mit Berücksichtigung der Bezeichnungen in Fig. 28, die Bedingung des Gleichgewichts gegen Drehung um D die Momentengleichung:

$$Z_m z_m - V \cdot m \lambda + H k + (p + q) \left[1 + 2 + \dots + (m-1) + \frac{m}{2} \right] \lambda = 0. (251)$$

Die beiden Componenten V und H des Scheiteldruckes ergeben sich aus den beiden Momentengleichungen der linken und rechten Trägerhälfte mit je n Feldern für den ihnen zugehörigen Stützpunkt A und B als Drehpunkt; nämlich links:

$$- V n \lambda - H f + (p + q) \left[1 + 2 + \dots + (n-1) + \frac{n}{2} \right] \lambda = 0,$$

rechts:

$$- V n \lambda + H f - (p + q) \left[1 + 2 + \dots + (n-1) + \frac{n}{2} \right] \lambda = 0,$$

woraus durch Addition:

$$- 2 V n \lambda = 0, \text{ daher } V = 0, \dots (252)$$

durch Subtraction:

$$- 2 H f + 2 \lambda (p + q) \frac{n^2}{2}, \text{ daher}$$

$$H = (p + q) \frac{n^2}{2} \cdot \frac{\lambda}{f} \dots (253)$$

Werden die Werthe von V aus Gleichung (252) und von H aus Gleichung (253) in Gleichung (251) eingeführt und die Factoren von $p + q$ summiert, so folgt:

$$Z_m z_m = - (p + q) \frac{n^2}{2} \cdot \frac{k \lambda}{f} - (p + q) \frac{m^2}{2} \cdot \lambda = - \frac{(p + q) \lambda}{2} \left(n^2 \frac{k}{f} + m^2 \right),$$

woraus, wenn für z_m sein Werth

$$z_m = (k + y_m) \frac{\lambda}{b_m} = \left(k + f \cdot \frac{m^2}{n^2} \right) \frac{\lambda}{b_m},$$

worin

$$Z_m = - (p + q) \frac{(2m-1)}{2} \cdot \frac{b_m}{f \cdot \frac{(2m-1)}{n^2}} \dots (256)$$

Da in diesem Ausdrucke $f \cdot \frac{(2m-1)}{n^2}$ die verticale Kathete zur Hypotenuse b_m und $(p + q) \frac{(2m-1)}{2}$ die gesammte Belastung der Trägerhälfte von dem Scheitel bis zum mten Polygongliede bedeutet, so folgt hieraus, daß

bei voller Belastung das Polygon der parabolischen Charnierbrücke diese ganze Last allein auf die festen Stützpunkte überträgt. Das nte Polygonstück hat daher die gesammte Belastung der einen Trägerhälfte zu übertragen, wie sich aus Gleichung (256) ergibt, wenn darin $m = n$ gesetzt wird.

b) Bei der größten einseitigen Belastung.

Die größte einseitige Belastung ergibt sich aus der Lage $\gamma\delta$, s. Fig. 6, derjenigen Verticalen, welche durch den Schnittpunkt der Druckrichtungen BC der rechten und AD der linken Trägerhälfte gezogen wird, wovon die erstere jederzeit durch den Scheitelpunkt C und den rechten Stützpunkt B, die letztere durch den linken Stützpunkt A und den jedesmaligen Schnittpunkt D der beiden mit dem mten Polygonstück durchschnittenen Stäbe, s. Fig. 6, geht. Ein in der Verticalen $\gamma\delta$ wirkendes Gewicht bringt dann nämlich keine Spannung, ein links von derselben aufgelegtes Gewicht einen Zug, ein rechts von derselben liegendes Gewicht einen Druck im mten Polygonstück hervor, wie sich sofort aus den auf Drehpunkt D bezogenen Momentengleichungen für diese drei Fälle ergibt. Im ersten Falle nämlich ist der Hebelarm des Gewichts, mithin sein Moment Null, im zweiten Falle liefert das Moment des Gewichts in die Momentengleichung für $+Z_m z_m$ ein negatives Glied, das einer Zugspannung von Z_m entspricht, und im dritten Falle bringt das Moment des Gewichts in jene Momentengleichung ein positives Glied, das einer Druckspannung von Z_m entspricht. Man erhält hiernach die größte Zugspannung Z_m^{max} des mten Polygongliedes, wenn man sämtliche Knotenpunkte links von jener Belastungsscheide $\gamma\delta$,

als belastet, und die größte Druckspannung Z_m^{min} desselben mten Polygongliedes, wenn man sämtliche Knotenpunkte rechts von der Lastscheide als belastet annimmt, wie dies in Fig. 6 durch schraffierte Linien mit den ihnen entsprechenden Bezeichnungen max. und min. erläutert ist.

Zur Bestimmung des Abstandes e der Belastungsscheide vom Trägerrittel hat man mit Hinweis auf die Bezeichnungen der Fig. 7 die Gleichungen:

$$s = f \cdot \frac{\left(\frac{1}{2} + e\right)}{\frac{1}{2}} = (f + k) \frac{\left(\frac{1}{2} - e\right)}{(n - m)\lambda}, \text{ woraus}$$

$$e = \lambda \cdot \frac{nk + mf}{k + \left(\frac{2n - m}{n}\right)f} \dots \dots \dots (257)$$

Hieraus ergeben sich die Abstände $m'\lambda$ und $m''\lambda$, siehe Fig. 6, derjenigen Knotenpunkte vom Trägerrittel, von welchen ab, mit Einschluß ihrer selbst, sämtliche Belastungen links Zug- und sämtliche Belastungen rechts Druckspannung erzeugen. Fällt die Belastungsscheide zufällig mit einem Knotenpunkte zusammen, so ist die Belastung dieses Knotenpunktes selbstverständlich ohne Einfluß auf die Spannung vom mten Polygonstück und bedarf keiner weiteren Berücksichtigung.

Um die größte Zugspannung von Z_m zu erhalten, sind sämtliche Knotenpunkte der mit max bezeichneten Abtheilung in Fig. 6 als belastet anzunehmen und man erhält, wenn in Fig. 8 der Schnitt $\alpha\beta$ durch das beliebige mte Feld geführt und der Schnittpunkt D als Drehpunkt gewählt wird:

$$Z_m^{max} z_m - V m \lambda + H k + p \lambda \left(1 + 2 + \dots + (m - 1) + \frac{m}{2}\right) + q \lambda \left(1 + 2 + \dots + (m - m')\right) = 0. \quad (258)$$

Die beiden Componenten des Scheiteldruckes ergeben sich wieder aus den beiden Momentengleichungen der linken und rechten Trägerhälfte für den linken und beziehungsweise rechten Stützpunkt A und B als Drehpunkt, nämlich

rechts: $-V n \lambda + H f - p \lambda \left[1 + 2 + \dots + (n - 1) + \frac{n}{2}\right] = 0,$

links: $-V n \lambda - H f + p \lambda \left[1 + 2 + \dots + (n - 1) + \frac{n}{2}\right] + q \lambda \left[1 + 2 + \dots + (n - m')\right] = 0,$

woraus, wenn die Factoren von $p \lambda$ und $q \lambda$ zugleich summiert werden, durch Addition:

$$-2V n + q \frac{(n - m')(n - m' + 1)}{2} = 0, \text{ daher } V = \frac{q}{2n} \cdot \frac{(n - m')(n - m' + 1)}{2}, \dots \dots \dots (259)$$

durch Subtraction:

$$+2H f - 2p \lambda \cdot \frac{n^2}{2} - q \lambda \frac{(n - m')(n - m' + 1)}{2} = 0, \text{ daher } H = \frac{\lambda}{2f} \left[p n^2 + q \cdot \frac{(n - m')(n - m' + 1)}{2} \right]. \quad (260)$$

Werden diese Werthe von V und H in Gleichung (258) eingeführt und darin die Factoren von $p \lambda$ und $q \lambda$ summiert, so ergibt sich nach gehöriger Reduction:

$$Z_m^{max} = \frac{q \lambda}{2 z_m} \left[\frac{(n - m')(n - m' + 1)}{2} \left(\frac{m}{n} - \frac{k}{f} \right) - (m - m')(m - m' + 1) \right] - \frac{p \lambda}{2} \left(n^2 \cdot \frac{k}{f} + m^2 \right),$$

und, wenn durch den in Gleichung (18) entwickelten Werth von z_m dividirt wird,

$$Z_m^{\max} = \frac{n^2}{2} \cdot b_m \left[\frac{q}{n^2 k + m^2 f} \left(\frac{(n - m')(n - m' + 1)}{2} \left(\frac{m}{n} - \frac{k}{f} \right) - (m - m')(m - m' + 1) \right) - \frac{p}{f} \right]. \quad (261)$$

Um die größte Druckspannung von Z_m zu ermitteln, sind sämtliche Knotenpunkte der mit min. bezeichneten Abtheilung in Fig 6 als belastet anzunehmen, wie Fig. 9 zeigt, und man erhält, wenn hierin der Schnitt $\alpha\beta$ geführt und D als Drehpunkt gewählt wird:

$$Z_m^{\min} z_m + V m \lambda + H k + p \lambda \left[1 + 2 + \dots (m - 1) + \frac{m}{2} \right] + q \lambda \left[(m - m'') + (m - m'' + 1) + \dots (m - 1) + \frac{m}{2} \right] = 0. \quad (262)$$

Die beiden Componenten V und H des Scheiteldruckes der linken und rechten Trägerhälfte, bezogen auf den linken findet man wie früher aus den beiden Momentengleichungen und bezugsweise rechten Stützpunkt als Drehpunkt, nämlich

$$\text{links: } V n \lambda - H f + p \lambda \left(1 + 2 + \dots (n - 1) + \frac{n}{2} \right) + q \lambda \left[(n - m'') + (n - m'' + 1) + \dots (n - 1) + \frac{n}{2} \right] = 0,$$

$$\text{rechts: } V n \lambda + H f - (p + q) \lambda \left(1 + 2 + \dots (n - 1) + \frac{n}{2} \right) = 0,$$

woraus, wenn zugleich die Factoren von $p \lambda$, $q \lambda$ und $(p + q) \lambda$ summiert werden, durch

$$\text{Addition: } 2 V n + p \left[\frac{n(2m'' + 1) - m''(m'' + 1)}{2} - q \cdot \frac{n^2}{2} \right] = 0, \text{ daher}$$

$$V = \frac{q}{4n} \left[n(n - 2m'' - 1) - m''(m'' + 1) \right] \quad (263)$$

$$\text{Subtraction: } 2 H f - p \lambda n^2 - q \lambda \left[\frac{n^2}{2} + \frac{n(2m'' + 1) - m''(m'' + 1)}{2} \right] = 0, \text{ mithin:}$$

$$H = \frac{\lambda}{2f} \left[p n^2 + q \cdot \frac{n(2m'' + 1) - m''(m'' + 1)}{2} \right] \quad (264)$$

Werden die Werthe (263) und (264) von V und H in Gleichung (262) eingeführt und darin die Factoren von $p \lambda$ und $q \lambda$ summiert, so ergibt sich nach gehöriger Reduction:

$$Z_m^{\min} z_m = - \frac{q \lambda}{2} \left[\frac{n^2}{2} \left(\frac{m}{n} + \frac{k}{f} \right) - \frac{n(2m'' + 1) - m''(m'' + 1)}{2} \left(\frac{m}{n} - \frac{k}{f} \right) + m(2m'' + 1) - m''(m'' + 1) \right] - \frac{p \lambda}{2} \left(n^2 \cdot \frac{k}{f} + m^2 \right),$$

und, wenn durch den bereits in Gleichung (18) entwickelten Werth von z_m dividirt wird,

$$Z_m^{\min} = - \frac{n^2}{2} b_m \left[\frac{q}{n^2 k + m^2 f} \left(\frac{n^2}{2} \left(\frac{m}{n} + \frac{k}{f} \right) - \frac{n(2m'' + 1) - m''(m'' + 1)}{2} \left(\frac{m}{n} - \frac{k}{f} \right) + m(2m'' + 1) - m''(m'' + 1) + \frac{p}{f} \right) \right] \quad (265)$$

In den Gleichungen (255), (261) und (265) kommt dasselbe Glied $-\frac{n^2}{2} \cdot \frac{b_m}{f} \cdot p$ vor, welches zeigt, daß sowohl bei einseitigen, als bei vollen Belastungen das gleichförmig vertheilte Eigengewicht dieselben Druckspannungen in den Polygonstücken hervorbringt, daß man mithin die Entwicklung der Gleichungen (261) und (265) vereinfachen kann, wenn man das Eigengewicht auch in den Momentengleichungen für die Componenten des Scheiteldruckes vorläufig ganz unberücksichtigt läßt

und schließlich der gefundenen Maximal- und Minimalspannung des mten Polygongliedes das erwähnte übereinstimmende, aus Gleichung (255) bereits bekannte, Glied hinzuzügt.

Die Gleichungen (255), (261) und (265) unterscheiden sich hiernach nur durch den Factor von q , welcher in Gleichung (265) den Factor $\frac{n^2}{2} \cdot \frac{b_m}{f}$ von q in Gleichung (255) übersteigt, sobald er den Quotienten $\frac{1}{f}$ übertrifft.

Die Polygonstücke der parabolischen Charnierbrücke können hiernach durch einseitige Belastungen größere Spannungen erfahren, als bei der vollen Verkehrslast.

Da in den Gleichungen (255), (261) und (265) die Größe f nur im Nenner vorkommt, so folgt, daß die Spannungen in den Polygonstücken mit abnehmender Pfeilhöhe wachsen und für $f = 0$ unendlich werden, so daß es in dieser Beziehung vortheilhaft erscheint, den parabolischen Charnierbrücken keine zu geringe Pfeilhöhe zu geben.

Die Gleichung (261) für die Maximalspannung verdient bei Feststellung der Abmessungen und Verbindung der Polygonstücke nur dann Berücksichtigung, wenn das positive Glied das negative überwiegt, mithin wirkliche Zugspannungen eintreten, wie dies bei einer im Vergleich zum Eigengewicht p großen Verkehrslast q möglich ist, denn so lange das negative das positive Glied übertrifft, erscheint die negative Maximalspannung in der Minimalspannung inbegriffen.

Während Gleichung (255) von dem Werthe k unabhängig ist, zeigen die Gleichungen (261) und (265), wie

$$-X_m(k + y^{m-1}) - V(m-1)\lambda - H \cdot y^{m-1} + (p+q)\lambda \left[1 + 2 + \dots + (m-2) + \frac{(m-1)^2}{2} \right] = 0.$$

Setzt man die Werthe von V und H für die volle Belastung aus Gleichung (252) und (253) ein, so ergibt sich:

$$X_m(k + y^{m-1}) = -(p+q) \frac{n^2}{2} \cdot \frac{\lambda}{f} \cdot y^{m-1} + (p+q)\lambda \frac{(m-1)^2}{2} = 0,$$

woraus, wenn der Werth von

$$y^{m-1} = \left(\frac{m-1}{n} \right)^2 f \dots \dots (266)$$

eingeführt wird,

$$X_m = 0 \dots \dots \dots (267)$$

Aus Gleichung (267) folgt:

1) daß jede volle, oder auch nur gleichförmig vertheilte Belastung, z. B. des Eigengewichts, auf die Spannung der horizontalen Gurtung ohne Einfluß ist, was sich aus der durch Gleichung (256) erwiesenen Thatsache erklärt, daß in den angegebenen Belastungszuständen das Trägerpolygon die Uebertragung der Last allein übernimmt. Aus diesem Grunde kann bei Berechnung der durch die größten einseitigen Belastungen erzeugten Grenzspannungen der geraden Gurtungsstücke das Eigengewicht außer Acht bleiben.

2) daß zwei einseitige Verkehrsbelastungen, welche sich zur vollen Verkehrsbelastung ergänzen (in der Folge mit dem Namen „Ergänzungsbelastungen“ bezeichnet), in den einzelnen Theilen der horizontalen Gurtung successive zwei Spannungen S hervorrufen, welche numerisch gleich und nur

unvortheilhaft es ist, die horizontale Gurtung des Trägers dem Polygon zu sehr zu nähern, oder gar durch den Parabelscheitel zu legen. Läßt man nämlich in beiden Gleichungen k mehr und mehr abnehmen, so wachsen die Spannungen in den Bogenstücken beträchtlich.*)

2) Bestimmung der Spannungen X in den einzelnen Stücken der horizontalen Gurtung.

a) Bei voller Belastung.

Führt man den Schnitt $\alpha\beta$, s. Fig. 10, durch das beliebige m te Feld, und bezeichnet mit:

X_m die Spannung im m ten Stück der horizontalen Gurtung,

x_m deren Hebelarm für den Durchschnittspunkt D der beiden mitdurchschnittenen Stangen als Drehpunkt, während p , q , V und H die sub. II. 1) angegebene Bedeutung haben, so erfordert, wenn die Bezeichnungen der Fig. 28 beibehalten werden, die Bedingung des Gleichgewichts gegen Drehung um D , daß:

hinsichtlich ihres Zeichens verschieden sind, daß mithin die Gleichungen stattfinden müssen:

$$X_m^{\max} = +S \text{ und } X_m^{\min} = -S.$$

Nur in diesem Falle nämlich können die beiden Ergänzungsbelastungen, wenn sie gleichzeitig wirken, mithin volle Belastung eintritt, die Spannung Null in allen Theilen der horizontalen Gurtung erzeugen. Bei Bestimmung ihrer Spannungen durch die größten einseitigen Belastungen ist es daher ausreichend, nur die Maximal- oder Minimalspannung zu bestimmen, weil beide numerisch gleich sind.

b) Bei den größten einseitigen Belastungen.

Die größte einseitige Belastung ergibt sich wieder aus der Lage $\gamma\delta$, siehe Fig. 11, der Belastungsscheibe, welche durch den Schnittpunkt der Druckrichtungen BC der rechten und AD der linken Hälfte des Trägers bestimmt wird, wovon die erstere wieder stets durch den Scheitelpunkt C

*) Eine Folgerung, mit welcher Schwedler übereinstimmt. Vgl. dessen oben angeführte Abhandlung, Seite 85 und 86.

und den rechten Stützpunkt B, die letztere wieder durch den linken Stützpunkt A und den jedesmaligen Schnittpunkt D der beiden mit dem mten Gurtungsstück durchschnittenen Stäbe, s. Fig. 12, geht. Mittelfst einer ähnlichen Schlußfolgerung, wie sie bei Ermittlung der Grenzspannungen der Polygonstücke sub II. 1. b) eingehalten wurde, gelangt man zu der Einsicht, daß jede Belastung links von der Lastscheide $\gamma\delta$ Druck und jede Belastung rechts von derselben Zug erzeugen müsse. Im ersten Falle nämlich liefert das Moment des Gewichts in die auf Drehpunkt D bezogene Momentengleichung für $-X_m x_m$ ein negatives, im letzteren Falle dagegen ein positives Glied, welches mithin bezugsweise jener Druck- und Zugspannung entspricht. Die größte Druckspannung oder Minimalspannung X_m^{\min} des mten Gurtungsstücks entsteht daher, wenn sämtliche Knotenpunkte links von $\gamma\delta$, die größte Zugspannung oder Maximalspannung X_m^{\max} desselben Gurtungsstücks, wenn sämtliche Knotenpunkte rechts von $\gamma\delta$ belastet sind, wie dies in Fig. 11 durch die mit den Bezeichnungen min. und max. versehenen schraffirten Linien graphisch dargestellt ist.

Der Abstand e der Belastungsscheide vom Trägerrittel ergibt sich mit Hinblick auf die Benennungen in Fig. 12 aus den beiden Gleichungen:

$$s = \left(\frac{1}{2} - e\right) \frac{f - y^{m-1}}{n - (m-1)\lambda} = f \cdot \frac{n\lambda + e}{n\lambda},$$

woraus, wenn aus Gleichung (266) der Werth y^{m-1} eingeführt wird:

$$e = \lambda \cdot \frac{n(m-1)(n-m+1)}{2n^2 - (m-1)(n+m-1)}. \quad (268)$$

Hieraus ergibt sich der Abstand $m'\lambda$, s. Fig. 13, desjenigen Knotenpunktes vom Trägerrittel, von welchem ab alle Knotenpunkte links, einschließlich seiner selbst, belastet sein müssen, um die größte Druckspannung zu erzeugen, während durch die Belastung aller Knotenpunkte rechts von demselben, ihn selbst inbegriffen, die größte Zugspannung

$$X_m^{\min} \cdot x_m = -\frac{q\lambda}{2} \left[\left(\frac{(n-m')(n-m'+1)}{2} \right) \left(\frac{m-1}{n} + \left(\frac{m-1}{n} \right)^2 \right) - (m-m')(m-m'-1) \right],$$

woraus, wenn durch

$$x_m = k + y^{m-1} = k + f \left(\frac{m-1}{n} \right)^2 \dots \dots \dots (270)$$

dividirt wird, folgt:

$$X_m^{\min} = -\frac{q\lambda}{2x_m} \left[\frac{(n-m')(n-m'+1)(m-1)(n+m-1)}{2n^2} - (m-m')(m-m'-1) \right] = -S. \quad (271)$$

Nach dem unter II. 2) a) geführten Beweise ist alsdann:

$$X_m^{\max} = +S, \dots \dots (272)$$

worin S den in Gleichung (271) gegebenen numerischen Werth hat.

Aus den Gleichungen (270), (271) und (272) folgt, daß die Grenzspannungen X_m^{\min} und X_m^{\max} des mten

hervorgerufen wird. — Trifft die Belastungsscheide zufällig mit einem Knotenpunkte zusammen, so bleibt die Belastung dieses Knotenpunktes wieder ohne Einfluß auf die Spannung des mten Gurtungsstückes.

Um nun die größte Druckspannung X_m^{\min} zu erhalten, sind sämtliche Knotenpunkte der mit min. bezeichneten Abtheilung in Fig. 11 als belastet anzunehmen, wie Fig. 14 angiebt, und es ergibt sich, wenn der Schnitt $\alpha\beta$ durch das beliebige mte Feld geführt und der Schnittpunkt D der mit dem Gurtungsstück durchschnittenen Stangen als Drehpunkt gewählt wird,

$$-X_m^{\min} x_m - V\lambda(m-1) - H \cdot y^{m-1} + q\lambda(1+2+\dots+(m-m'-1)) = 0. \quad (269)$$

Die beiden auf den bezugsweise linken und rechten Stützpunkt A und B bezogenen Momentengleichungen der linken und rechten Trägerhälfte, woraus sich die Componenten V und H des Scheiteldrucks ergeben, sind:

$$\begin{aligned} \text{links: } & -Vn\lambda - Hf + q\lambda(1+2+\dots+(n-m')) = 0, \\ \text{rechts: } & -Vn\lambda + Hf = 0, \end{aligned}$$

woraus, wenn gleichzeitig der Factor von $q\lambda$ summirt wird, durch

$$\text{Addition: } -2Vn + q \frac{(n-m')(n-m'+1)}{2} = 0,$$

$$\text{daher } V = \frac{q}{2n} \cdot \frac{(n-m')(n-m'+1)}{2},$$

$$\text{Subtraction: } 2Hf + q\lambda \frac{(n-m')n - m' + 1}{2} = 0,$$

$$\text{daher } H = \frac{q\lambda}{2f} \cdot \frac{(n-m')(n-m'+1)}{2},$$

Werden diese Werthe von V und H, sowie der aus Gleichung (266) bekannte Werth von y^{m-1} in Gleichung (269) eingesetzt und der Factor von $q\lambda$ summirt, so ergibt sich nach einiger Reduction:

geraden Gurtungsstückes der Verkehrsbelastung q und der Entfernung λ der Knotenpunkte proportional sind, und daß dieselben mit der Abnahme, sowohl der Entfernung k der horizontalen Gurtung von dem Parabelscheitel, als mit der Pfeilhöhe wachsen.

3) Bestimmung der Spannungen Y in den Diagonalstäben.

a) Bei voller Belastung.

Führt man den Schnitt $\alpha\beta$, s. Fig. 14, durch das beliebige mte Feld und bezeichnet mit

Y_m die Spannung in dem Diagonalstabe des mten Feldes,

$$Y_m \cdot y_m + Hk - (p + q) \left[\frac{v_m}{2} + (v_m + \lambda) + v_m + 2\lambda + \dots + (v_m + (m - 1)\lambda) \right] = 0. \dots (273)$$

Werden die aus Gleichung (252) und (253) bekannten Werthe von V und H für die volle Belastung des Trägers

$$Y_m y_m = \frac{(p + q)}{2} \left[-n^2 \cdot \lambda \cdot \frac{k}{f} + (2m - 1) v_m + m(m - 1)\lambda \right]. \dots (274)$$

In dieser Gleichung ist, wenn w_m den Abstand des jedesmaligen Drehpunktes D von der mten Verticalstange bezeichnet,

$$v_m = w_m - m\lambda,$$

$$w_m = (k + y_m) \frac{\lambda}{y^m - y^{m-1}} = \frac{\left(k + f \left(\frac{m}{n} \right)^2 \right) \lambda}{f \left[\left(\frac{m}{n} \right)^2 - \left(\frac{m-1}{n} \right)^2 \right]} = \frac{n^2 k + m^2 f}{f(2m - 1)} \cdot \lambda, \dots (275)$$

daher

$$v_m = \lambda \left(\frac{n^2 k + m^2 f}{f(2m - 1)} - m \right). \dots (276)$$

Wird dieser Werth in Gleichung (274) eingesetzt und letztere durch y_m dividirt, so ergibt sich:

$$Y_m = \frac{(p + q)\lambda}{2y_m} \left[-n^2 \cdot \frac{k}{f} + (2m - 1) \left(\frac{n^2 k + fm^2}{f(2m - 1)} - m \right) + m(m - 1) \right]$$

und hieraus nach einiger Reduction:

$$Y_m = 0. \dots (277)$$

Aus Gleichung (277) folgt:

1) daß jede volle oder auch nur gleichförmig vertheilte Belastung, z. B. durch Eigengewicht, auf die Spannung der Diagonalstäbe ohne Wirkung ist, was sich wieder aus der in Gleichung (256) ausgesprochenen Thatsache erklärt, daß in den angegebenen Belastungszuständen das Trägerpolygon die Uebertragung dieser Belastungen allein übernimmt, weswegen auch bei Berechnung der durch die größten einseitigen Belastungen erzeugten Grenzspannungen der Diagonalstäbe die Belastung durch Eigengewicht unberücksichtigt bleiben kann,

2) daß zwei Ergänzungsbelastungen in jedem Diagonalstabe successive zwei Spannungen T hervorrufen, welche quantitativ gleich und nur durch ihre Vorzeichen unterschieden sind, daß mithin die Gleichungen bestehen müssen:

$$Y_m^{\max} = + T \text{ und } Y_m^{\min} = - T,$$

wenn deren algebraische Summe Null werden soll, wie dies der hierdurch charakterisirte Fall der vollen Belastung erfor-

mit

y_m deren Hebelsarm für den Durchschnittspunkt D der beiden mitdurchschnittenen Stangen als Drehpunkt, mit v_m den Abstand des Drehpunktes D vom Trägermittel, während

p, q, V und H die sub II. 1) gegebene Bedeutung haben, so erfordert, wenn die Bezeichnungen der Figur 14 benutzt werden, die Bedingung des Gleichgewichts gegen Drehung um D, daß:

eingeführt und der Factor von $(p + q)$ sumirt, so ergibt sich nach einiger Reduction:

und hierin, wie sich aus einer einfachen geometrischen Beziehung und der Natur des parabolischen Polygons, vergl. Fig. 14 und 28, leicht ergibt:

dert. Es genügt daher, bei Ermittlung der Maximal- und Minimalspannung in den Diagonalstäben auch hier nur eine derselben zu bestimmen.

b) Bei den größten einseitigen Belastungen.

Bei Bestimmung derjenigen größten einseitigen Belastungen, welche die Grenzspannungen der Diagonalstäbe hervorrufen, sind drei Fälle zu unterscheiden:

Erster Fall. Der, durch die beiden, mit dem zu untersuchenden Diagonalstab gleichzeitig durchschnittenen, Stäbe bedingte Drehpunkt D, s. Fig. 15, fällt rechts von dem Durchschnittspunkt F, der durch den linken Stützpunkt A und den Scheitelpunkt C bestimmten Druckrichtung und der geraden Gurtung, oder es ist, da $\frac{kl}{2f}$ der constante Abstand C'F der Fig. 15, und wenn mit w_m wie früher der Abstand des jedesmaligen Drehpunktes D von der mten Verticalstange bezeichnet wird, der Abstand dieses Drehpunktes D vom linken Widerlager:

$$(n - m)\lambda + w_m > \frac{1}{2} \left(1 + \frac{k}{f}\right). \quad (280)$$

Führt man nämlich einen Schnitt $\alpha\beta$, Fig. 16, so überzeugt man sich leicht, daß jedes links von $\alpha\beta$ wirkende Gewicht nur einen Scheiteldruck von B nach C, jedes rechts von $\alpha\beta$ aufgelegte Gewicht dagegen nur einen Scheiteldruck von C nach A auf die linke Trägerhälfte erzeugen kann. In die auf den Drehpunkt D bezogene Momentengleichung von $+ Y_m y_m$ liefert daher das Moment des Gewichts links von $\alpha\beta$ ein positives Glied, das einer Druckspannung, das Moment des Gewichts rechts von $\alpha\beta$, sowohl auf der linken, als auf der rechten Trägerhälfte, dagegen ein negatives Glied, das einer Zugspannung des Diagonalstabes entspricht. Nimmt man nun sämtliche Knotenpunkte links von $\alpha\beta$ belastet an, so wird die größte Druckspannung, belastet man dagegen sämtliche Knotenpunkte rechts von $\alpha\beta$, so wird die größte Zugspan-

nung des Diagonalstabes erzeugt, wie dies in Fig. 15 durch schraffierte Linien mit den ihnen entsprechenden Bezeichnungen max. und min. graphisch erläutert ist. Mithin bildet in dem vorliegenden Falle der Schnitt $\alpha\beta$ zugleich die Belastungsscheide. Nimmt man zur Bestimmung von Y_m^{\min} die sämtlichen Knotenpunkte links von $\alpha\beta$ belastet an, so ergibt sich mit Bezug auf Fig. 16 für Drehpunkt D die Momentengleichung:

$$Y_m^{\min} y_m + V v_m + H k = 0. \quad (281)$$

Die beiden Componenten V und H des Scheiteldrucks ergeben sich wie früher aus den beiden Momentengleichungen der linken und rechten Trägerhälfte für den linken und bezugsweise rechten Stützpunkt A und B als Drehpunkt, nämlich:

$$\begin{aligned} \text{links: } & -V n \lambda - H f + q \lambda (1 + 2 + \dots (n - m)) = 0, \\ \text{rechts: } & -V n \lambda + H f = 0, \end{aligned}$$

woraus, wenn gleichzeitig der Factor von $q \lambda$ summiert wird, durch:

$$\text{Addition: } -2V n \lambda + q \lambda \frac{(n - m)(n + 1 - m)}{2} = 0, \text{ daher } V = \frac{q}{2n} \cdot \frac{(n - m)(n + 1 - m)}{2}, \quad (282)$$

$$\text{Subtraction: } -2H f + q \lambda \frac{(n - m)(n + 1 - m)}{2} = 0, \text{ daher } H = \frac{q \lambda}{2f} \cdot \frac{(n - m)(n + 1 - m)}{2}. \quad (283)$$

Werden diese Ausdrücke für V und H in Gleichung (281) eingeführt, so ergibt sich:

$$Y_m^{\min} y_m = -\frac{q}{2n} \cdot \frac{(n - m)(n + 1 - m)}{2} v_m - k \cdot \frac{q \lambda}{2f} \cdot \frac{(n - m)(n + 1 - m)}{2},$$

daher, wenn durch y_m dividirt und der gemeinschaftliche Factor ausgeschieden wird,

$$Y_m^{\min} = -\frac{q(n - m)(n + 1 - m)}{4 \cdot y_m} \left[\frac{v_m}{n} + \frac{k \lambda}{f} \right] = -T, \quad (284)$$

worin zufolge einfacher geometrischer Beziehungen und mit Berücksichtigung des Werthes von w_m in Gleichung (275):

$$y_m = w_m \cdot \frac{f \left(\frac{m - 1}{n}\right)^2 + k}{d_m} = \frac{\lambda}{d_m} \cdot \frac{(n^2 k + m^2 f)(m - 1)^2 f + n^2 k}{(2m - 1)n^2 \cdot f} \quad (285)$$

und hierin:

$$d_m = \sqrt{\lambda^2 + \left(k + f \left(\frac{m - 1}{n}\right)^2\right)^2} \quad (286)$$

zu setzen ist. Zufolge des unter 3^a geführten Beweises ist nunmehr:

$$Y_m^{\max} = +T, \quad (287)$$

worin T den durch die Gleichungen (284), (285), (286) gegebenen numerischen Werth besitzt.

Zweiter Fall. Der Drehpunkt D fällt zwischen die Punkte F und E, in welchen die Druckrichtungen AC und BC die horizontale Gurtung durchschneiden. In diesem Falle ist, da der Abstand $C'F = C'E = \frac{k\lambda}{2f}$, (s. Fig. 17), der Abstand des Drehpunktes D vom linken Widerlager:

$$(n - m)\lambda + w_m \begin{cases} < \frac{1}{2} \left(1 + \frac{k}{f}\right) \\ < \frac{1}{2} \left(1 - \frac{k}{f}\right) \end{cases} \quad (288)$$

Die größte einseitige Belastung ergibt sich hier aus der Lage $\gamma\delta$ der Belastungsscheide einerseits und des durch den zu untersuchenden Stab geführten Schnittes $\alpha\beta$, siehe Fig. 17, andererseits. Ein links von der Belastungsscheide $\gamma\delta$ aufgebrachtes Gewicht nämlich erzeugt nur so lange einen Zug in dem betrachteten Diagonalstab, als es zwischen $\gamma\delta$ und dem Schnitt $\alpha\beta$ liegt, während es links von $\alpha\beta$

wie beim ersten Fall, nur einen Scheitelbruck von B nach C auf die linke Trägerhälfte bewirkt, mithin auf den Stab einen Druck hervorbringt. Ein rechts von der Belastungsscheide auf den Träger wirkendes Gewicht dagegen erzeugt mit dem von B nach C wirkenden Scheitelbruck eine Resultante, die von dem Durchschnittspunkt dieses Scheitelbrucks und der Krafrichtung des Gewichts nach dem linken Stützpunkt A hinstrebt und demnach, wie das links von $\alpha\beta$ ruhende Gewicht, einen Druck auf den Diagonalstab äußert. Links von $\alpha\beta$ aufgelegt, liefert nämlich das Moment des Gewichts ein positives Glied in die auf Drehpunkt D bezogene Momentengleichung für $+Y_m y_m$, welches einem Druck entspricht, zwischen $\alpha\beta$ und $\gamma\delta$ liegend bringt das Moment des Gewichts ein negatives Glied in jene Momentengleichung, welches einem Zug, und rechts von $\gamma\delta$ liefert dasselbe Moment wieder ein positives Glied in jene Gleichung, welches wieder einem Druck auf den zu untersuchenden Diagonalstab entspricht.

Die größte Druckspannung Y_m^{\min} dieses Stabes entsteht nun, wenn alle Knotenpunkte der beiden links von $\alpha\beta$ und rechts von $\gamma\delta$ gelegenen Trägerstrecken, die größte Zugspannung Y_m^{\min} dagegen, wenn sämtliche Knotenpunkte des Trägers zwischen dem Schnitt $\alpha\beta$ und der Belastungsscheide $\gamma\delta$ belastet sind, wie dies in Fig. 17 durch die drei mit \min , \max und \min bezeichnete, schraffierte Linien erläutert ist.

$$Y_m^{\max} y_m - V(m\lambda - w_m) + Hb - q[u_m + (u_m + \lambda) + (u_m + 2\lambda) + \dots + (u_m + (m - m' - 1)\lambda)] = 0. \quad (291)$$

Die beiden Componenten V und H des Scheitelbrucks ergeben sich, wie früher, aus den beiden Momentengleichungen

$$\begin{aligned} \text{links:} & -Vn\lambda - Hf + q\lambda[(n - m + 1) + (n - m + 2) + \dots + (n - m + (m - m'))] = 0, \\ \text{rechts:} & -Vn\lambda - Hf = 0, \end{aligned}$$

woraus, wenn der Factor von $q\lambda$ summiert wird, durch

Addition:

$$-2Vn + q(m - m') \left(\frac{2n - (m + m') - 1}{2} \right), \text{ daher } V = \frac{q}{2n} (m - m') \left(\frac{2n - (m + m') + 1}{2} \right), \quad (292)$$

Subtraction:

$$-2Hf + q\lambda(m - m') \left(\frac{2n - (m + m') + 1}{2} \right), \text{ daher } H = \frac{q\lambda}{2f} (m - m') \left(\frac{2n - (m + m') + 1}{2} \right). \quad (293)$$

Werden diese Werthe von V und H in Gleichung (291) eingeführt, so erhält man, wenn zugleich einige Reductionen vorgenommen werden:

$$Y_m^{\max} y_m = q \left[\frac{(m - m')(2n - (m + m') + 1)}{4} \left(\frac{m\lambda - w_m}{n} - \frac{k\lambda}{f} \right) + (m - m') \left(u_m + \frac{(m - m' - 1)\lambda}{2} \right) \right],$$

und wenn der gemeinschaftliche Factor $m - m'$ ausgeschieden und durch y_m dividirt wird:

$$Y_m^{\max} = \frac{q(m - m')}{y_m} \left[\frac{(2n - (m + m') + 1)}{4} \left(\frac{m\lambda - w_m}{n} - \frac{k\lambda}{f} \right) + u_m + \frac{(m - m' - 1)\lambda}{2} \right] = + U. \quad (293)$$

In dieser Gleichung besitzt y_m den durch die Gleichungen (285) und (286) bestimmten Werth, während

Der Abstand e der Belastungsscheide vom Trägermittel ergibt sich unter Hinweis auf die Benennungen in Fig. 18 aus den beiden Gleichungen:

$$s = (k + f) \frac{\frac{1}{2} - e}{(n - m)\lambda + w_m} = f \cdot \frac{\frac{1}{2} + e}{\frac{1}{2}}, \quad (289)$$

woraus, wenn der Werth von w_m aus Gleichung (275) eingeführt wird, nach möglichster Reduction:

$$e = \lambda \left(n - \frac{2}{\frac{k + f}{f(n - m) + \frac{k n^2 + f m^2}{2m - 1}} + \frac{1}{n}} \right). \quad (290)$$

Hieraus ergibt sich der Abstand $m'\lambda$, siehe Fig. 18, desjenigen Knotenpunktes vom Trägermittel, von welchem ab alle Knotenpunkte links, ihn selbst einbegriffen, bis zum Schnitt $\alpha\beta$ belastet sein müssen, um die größte Zugspannung zu erzeugen.

Um diese größte Zugspannung Y_m^{\max} zu bestimmen, erhält man, wenn unter u_m der Abstand des jedesmaligen Drehpunktes D von dem in der Entfernung $m'\lambda$ vom Trägermittel gelegenen Knotenpunkte verstanden wird, und wenn die früheren Bezeichnungen beibehalten werden, aus Fig. 19 für den Zustand des Gleichgewichts gegen Drehung um D:

der linken und rechten Trägerhälfte für den linken und bezugsweise rechten Stützpunkt B als Drehpunkt und zwar:

$$u_m = w_m - (m - m')\lambda, \quad (294)$$

worin wieder w_m durch Gleichung (275) gegeben ist.

Der unter 3^a enthaltenen Erläuterung zufolge ist nunmehr:

$$Y_m^{\min} = -Y, \dots \dots (295)$$

worin U den durch die Gleichungen (293), (285), (286), und (275) gegebenen Werth besigt.

Dritter Fall. Der, durch die mit dem Diagonalstab gleichzeitig durchschnittenen Stäbe bedingte, Drehpunkt D, i. Fig. 20, fällt links von dem Durchschnittspunkt E der verlängerten Druckrichtung BC mit der geraden Gurtung, oder es ist, wenn w_m die Bedeutung in Gleichung (275) hat, der Abstand des Drehpunktes vom linken Widerlager:

$$(n - m)\lambda + w_m < \frac{1}{2} \left(1 - \frac{k}{f}\right). \dots (296)$$

Die größte einseitige Belastung ergibt sich hier wieder allein aus der Lage $\gamma\delta$ der Belastungsscheide, welche, wie man aus Fig. 20 ersieht, durch die Druckrichtungen AD und BC bestimmt wird und deren Lage, wie beim zweiten Fall, durch Gleichung (290) gegeben ist. Jedes links von

$$Y_m^{\max} y_m - V(m\lambda - w_m) + Hk - q[u_m + (u_m + \lambda) + u_m + 2\lambda + \dots (u_m + (m - m' - 1)\lambda)] = 0. \dots (297)$$

Die beiden Componenten V und H des Scheiteldrucks erhält man aus den beiden, auf den bezugsweise linken und rechten Stützpunkt A und B bezogenen Momentengleichungen der linken und rechten Trägerhälfte, nämlich:

$$\text{Addition: } -2Vn + q \cdot \frac{(n - m')(n - m' + 1)}{2} = 0, \text{ daher } V = \frac{q}{2n} \cdot \frac{(n - m')(n - m' + 1)}{2}, \dots (298)$$

$$\text{Subtraction: } -2Hf + q\lambda \frac{(n - m')(n - m' + 1)}{2} = 0, \text{ daher } H = \frac{q\lambda}{2f} \cdot \frac{(n - m')(n - m' + 1)}{2}. \dots (299)$$

Werden diese Werthe in Gleichung (297) eingeführt und der Factor von q in derselben summirt, so ergibt sich nach gehöriger Reduction und wenn durch y_m dividirt wird:

$$Y_m^{\max} = \frac{q}{y_m} \left[\frac{(n - m')(n - m' + 1)}{4} \left(\frac{m\lambda - w_m}{n} - \frac{k\lambda}{f} \right) + (m - m') \left(u_m + \frac{(m - m' + 1)}{2} \lambda \right) \right] = +W. (300)$$

In dieser Gleichung haben die Größen y_m , w_m und u_m die durch die Gleichungen (285), (286) und (294) gegebenen Werthe und ist nun nach dem unter 3^a gelieferten Beweise:

$$Y_m^{\min} = -W, \dots \dots (301)$$

wo W den durch die Gleichungen (300), (285), (286) und (294) gegebenen numerischen Werth hat.

4) Bestimmung der Spannungen W in den Verticalstäben.

a) Bei voller Belastung.

Führt man den Schnitt $\alpha\beta$ durch das beliebige mte Feld und bezeichnet mit

W_m die Spannung in dem Verticalstabe des mten Feldes, mit

w_m deren Hebelsarm für den Durchschnittspunkt D der beiden mitdurchschnittenen Stangen als Drehpunkt, mit

der Belastungsscheide aufgelegte Gewicht erzeugt hierbei in dem zu untersuchenden Diagonalstab eine Zugspannung, weil das Moment dieses Gewichts, bezogen auf D als Drehpunkt, ein negatives Glied in die Momentengleichung von $+Y_m y_m$ liefert. Jedes rechts von der Belastungsscheide wirkende Gewicht erzeugt dagegen in demselben Stab eine Druckspannung, weil das Moment dieses Gewichts ein positives Glied in die Momentengleichung von $Y_m y_m$ bringt.

Die größte Zugspannung Y_m^{\max} erhält man daher, wenn sämtliche Knotenpunkte links von der Belastungsscheide, die größte Druckspannung Y_m^{\min} dagegen, wenn sämtliche Knotenpunkte rechts von der Belastungsscheide belastet sind. Bleibt man bei der ersten Annahme stehen, so erhält man, wenn der Schnitt $\alpha\beta$, Fig. 21, geführt und unter m , λ , w_m und u_m dieselben Abstände, wie im zweiten Fall verstanden werden, mit Beibehaltung aller früheren Bezeichnungen die Momentengleichung für D als Drehpunkt:

$$\text{links: } -V \cdot n\lambda - Hf + q\lambda [1 + 2 + \dots (n - m')] = 0, \\ \text{rechts: } -V \cdot n\lambda + Hf = 0,$$

woraus, wenn zugleich der Factor von $q\lambda$ summirt wird, durch

$$\text{links: } -V \cdot n\lambda - Hf + q\lambda [1 + 2 + \dots (n - m')] = 0, \\ \text{rechts: } -V \cdot n\lambda + Hf = 0,$$

$$\text{woraus, wenn zugleich der Factor von } q\lambda \text{ summirt wird, durch}$$

v_m den Abstand des Drehpunktes vom Trägermittel, während alle übrigen Bezeichnungen bekannt sind, so erfordert die Nothwendigkeit des Gleichgewichts gegen Drehung um D, daß:

$$-W_m w_m - V \cdot v_m + Hk - (q + q) \left[\frac{v_m}{2} + (v_m + \lambda) + (v_m + 2\lambda) + \dots (v_m + m\lambda) \right] = 0. \dots (302)$$

Werden die Werthe von V und H aus den Gleichungen (298) und (299) eingeführt und der Factor von $p + q$ summirt, so ergibt sich nach einiger Reduction:

$$W_m w_m = \frac{(p + q)}{2} \left[\frac{n^2 \lambda k}{f} - (2m + 1)v_m - m(m + 1)\lambda \right],$$

und, wenn überdies der Werth von v_m aus Gleichung (38) eingeführt und durch w_m dividirt wird, nach gehöriger Vereinfachung:

$$W_m = \frac{\lambda(p+q)}{w_m} \left[\frac{n^2 k}{f} + m^2 - \frac{(2m+1)}{2m-1} \left(\frac{n^2 k}{f} + m^2 \right) \right].$$

Setzt man in diese Gleichung den Werth von w_m aus Gleichung (275) ein und reducirt, so erhält man

$$W_m = -(p+q), \dots \dots \dots (303)$$

woraus folgt: 1) daß bei voller Belastung des Trägers jeder Verticalpfosten einer Pressung ausgesetzt ist, welche der vollen Belastung je eines Knotenpunktes numerisch gleich ist, daß ferner für $q = 0$ jeder Verticalpfosten einen Druck erfährt, welcher der Belastung p durch das Eigengewicht eines Knotenpunktes entspricht. Hieraus folgt, daß das Eigengewicht bei Berechnung der Grenzspannungen vorläufig ganz außer Acht gelassen werden kann, wenn nachträglich jeder berechneten Grenzspannung die entsprechende Druckspannung durch das Eigengewicht hinzugefügt wird.

Wenn man sich die Hälfte desselben, nämlich $-\frac{p}{2}$, an dem oberen, in der Fahrbahn gelegenen Endpunkte, die andere Hälfte an dem unteren, mit dem Polygon zusammenhängenden Endpunkte des Pfostens angreifend denken kann, wodurch derselbe eine Pressung von $-\frac{p}{2}$ erfährt, so ist alsdann jeder berechneten Grenzspannung der Werth $-\frac{p}{2}$ zuzufügen.

2) Wenn bei der vollen Belastung des Trägers jeder Verticalpfosten eine Pressung $-q$ durch den Verkehr erfährt, so muß eine durch diesen Verkehr hervorgebrachte Grenzspannung die andere zu $-q$ ergänzen. Es genügt daher auch hier die Berechnung nur einer, von der Verkehrsbelastung herrührenden Grenzspannung, um die andere unmittelbar daraus abzuleiten.

b) Bei den größten einseitigen Belastungen.

Bei Ermittlung derjenigen größten einseitigen Belastungen, welche die Grenzspannungen der Verticalpfosten

Addition: $-2Vn + q \cdot \frac{(n-m)(n-m-1)}{2} = 0$, daher $V = \frac{q}{2n} \cdot \frac{(n-m)(n-m-1)}{2}$,

Subtraction: $-2Hf + q \cdot \frac{(n-m)(n-m-1)}{2} = 0$, daher $H = \frac{q\lambda}{2f} \cdot \frac{(n-m)(n-m-1)}{2}$.

Die Einführung dieser Werthe in Gleichung (304) ergibt:

$$W_m^{\max} = p \cdot \frac{(n-m)(n-m-1)}{4w_m} \left(\frac{w_m - m\lambda}{n} + \frac{k\lambda}{f} \right) = qA, \dots \dots \dots (305)$$

wenn der Factor von q der Kürze halber $= A$ gesetzt wird.

Nach der unter a) 1) gegebenen Erläuterung besteht die Gleichung

hervorrufen, sind dieselben drei Fälle zu unterscheiden, welche bei Bestimmung der Grenzspannungen in den Diagonalstäben betrachtet worden sind. Wie ein Blick auf die Figg. 22, 24 und 26 lehrt, welche diese drei Fälle behufs Bestimmung der Grenzspannungen in den Verticalstäben darstellen, kommt das Moment dieser Spannungen in diesen drei Fällen als negatives Glied — also mit dem entgegengesetzten Zeichen, wie das Moment der Grenzspannungen in den Diagonalstäben — in die Momentengleichung, während die Vorzeichen aller übrigen Glieder unverändert bleiben. Es folgt hieraus, daß die Anspruchnahmen auf Zug oder Druck der Verticalstäbe in allen drei Fällen die entgegengesetzten derer sein müssen, welche unter 3^b gefunden wurden, wie dies ein Vergleich der Figg. 15, 17, 20, mit den Figg. 22, 24, 25 lehrt, in welchen letzteren diese Verhältnisse durch die Bezeichnungen max. und min. der schraffirten Linien graphisch erläutert sind. Aus denselben Figuren erkennt man, daß die Lage $\gamma\delta$ der Belastungsscheide in den sich entsprechenden Fällen ganz dieselbe bleibt, mithin durch die Gleichung (290) gegeben ist, während nur der Schnitt $\alpha\beta$ keine verticale, sondern eine schräge Lage erfordert, wodurch sich die Zahl der als belastet anzunehmenden Knotenpunkte in den sich entsprechenden Fällen um 1 vermehrt.

Erster Fall.

$$(n-m)\lambda + w_m < \frac{1}{2} \left(1 + \frac{k}{f} \right), \text{ s. Fig. 22.}$$

Nimmt man zur Bestimmung der größten Zugspannung W_m^{\max} des Verticalstabes alle Knotenpunkte des Trägers links von $\alpha\beta$ belastet an, s. Fig. 23, so ergibt sich in Bezug auf D die Momentengleichung:

$$-W_m^{\max} w_m + V(w_m - m\lambda) + Hk = 0. \quad (304)$$

Die Componenten V und H des Scheiteldruckes ergeben sich in der früher angegebenen Weise aus den beiden Momentengleichungen in Bezug auf A und B, nämlich

links: $-Vn\lambda - Hf + q\lambda(1+2+\dots+(n-m-1))$ und
rechts: $-Vn\lambda + Hf = 0$,

woraus, wenn der Factor von $q\lambda$ gleichzeitig summirt wird, durch

$$W_m^{\max} + W_m^{\min} = -q. \dots \dots (306)$$

Hieraus erhält man:

$$W_m^{\min} = -(qA + q), \dots (307)$$

und wenn das Eigengewicht berücksichtigt wird,

$$W_m^{\max} = qA - \frac{P}{2} \dots (308)$$

und

$$W_m^{\min} = -(qA + q) - \frac{P}{2} = -\left[q(A + 1) + \frac{P}{2}\right]. (309)$$

Ein Ständer in der Mitte des Trägers erfährt höchstens die Druckspannung durch die auf ihm ruhende volle Belastung $-\frac{P + q}{2}$, und wenn das Eigengewicht zur Hälfte oben, zur Hälfte unten angreifend gedacht wird, so ist für den Punkt $m = 0$:

$$-W_m^{\min} w_m - V(m\lambda - w_m) + Hk - q[u_m + (u_m + \lambda) + (u_m + 2\lambda) + \dots + (u_m + (m - m')\lambda)] = 0. \dots (311)$$

Die Componenten V und H des Scheiteldrucks ergeben sich wie früher aus den beiden Momentengleichungen in Bezug auf die Stützpunkte A und B , nämlich

$$\begin{aligned} \text{links: } & -Vn\lambda - Hf + q\lambda[(n - m) + (n - m + 1) + \dots + (n - m + (m - m'))] \text{ und} \\ \text{rechts: } & -Vn\lambda + Hf, \end{aligned}$$

woraus, wenn zugleich der Factor von q summiert wird, durch

Addition:

$$-2Vn + q(m - m' + 1)\left(n - m + \frac{m - m'}{2}\right) = 0, \text{ daher } V = \frac{q}{2n}(m - m' + 1)\left(\frac{2n - (m + m')}{2}\right), (312)$$

Subtraction:

$$-2Hf + q\lambda(m - m' + 1)\left(n - m + \frac{m - m'}{2}\right) = 0, \text{ daher } H = \frac{q\lambda}{2f}(m - m' + 1)\left(\frac{2n - (m + m')}{2}\right). (313)$$

Werden diese Werthe in Gleichung (311) eingesetzt und wird darin zugleich der Factor von q summiert und durch w_m dividirt, so ergibt sich nach gehöriger Reduction:

$$W_m^{\min} = -\frac{q(m - m' + 1)}{w_m} \left[\frac{(2n - (m + m'))}{4} \left(\frac{m\lambda - w_m}{n} - \frac{k\lambda}{f} \right) + u_m + \frac{(m - m')\lambda}{2} \right] = -qB, \dots (314)$$

wenn der Factor von q der Kürze halber $= B$ gesetzt wird.

Wegen Gleichung (306) erhält man:

$$W_m^{\max} = q \cdot B - q, \dots (315)$$

und, wenn das Eigengewicht in der unter a) 1) angebeuteten Weise berücksichtigt wird,

$$W_m^{\min} = -qB - \frac{P}{2} = -\left(qB + \frac{P}{2}\right), \dots (316)$$

$$W_m^{\max} = qB - q - \frac{P}{2} \dots (317)$$

$$-W_m^{\min} w_m - V(m\lambda - w_m) + Hk - q[u_m \times (u_m + \lambda) + (u_m + 2\lambda) + \dots + (u_m + (m - m')\lambda)] = 0. (318)$$

Die beiden Componenten V und H des Scheiteldrucks erhält man aus den bereits entwickelten Gleichungen (298) und (299). Werden dieselben in Gleichung (311) eingeführt,

$$W_m^{\min} = -\frac{q}{w_m} \left[\frac{(n - m')(n - m' + 1)}{4} \left(\frac{m\lambda - w_m}{n} - \frac{k\lambda}{f} \right) + (m - m' + 1) \left(u_m + \frac{(m - m')\lambda}{2} \right) \right] = -qC, (319)$$

wenn der Factor von q , der Kürze halber, mit C bezeichnet wird.

$$W_0^{\min} = -\frac{\left(\frac{P}{2} + q\right)}{2} = -\frac{1}{2} \left(\frac{P}{2} + q\right). (310)$$

Zweiter Fall.

$$(n - m)\lambda + w_m \begin{cases} < \frac{1}{2} \left(1 + \frac{k}{f}\right) \\ > \frac{1}{2} \left(1 - \frac{k}{f}\right) \end{cases}, \text{ f. Fig. 24,}$$

Um die größte Druckspannung zu bestimmen, hat man alle Knotenpunkte zwischen dem Schnitt $\alpha\beta$ und der Belastungsscheide $\gamma\delta$ belastet anzunehmen, f. Fig. 25, und erhält dann, wenn u_m und m' die frühere Bedeutung haben, für den Zustand des Gleichgewichtes gegen Drehung um D :

Dritter Fall.

$$(n - m)\lambda + w_m < \frac{1}{2} \left(1 - \frac{k}{f}\right), \text{ f. Fig. 26.}$$

Nimmt man sämtliche Knotenpunkte der Trägerstrecke links von der Lastscheide $\gamma\delta$ belastet an, f. Fig. 26, so ergibt sich die größte Druckspannung in dem zu untersuchenden Verticalstab. Führt man den Schnitt $\alpha\beta$, f. Fig. 27, so ergibt sich mit Bezug auf D die Momentengleichung:

der Factor von q summiert und durch w_m dividirt, so ergibt sich nach gehöriger Reduction:

Aus Gleichung (306) folgt:

$$W_m^{\max} = qC - q, \dots \dots \dots (320)$$

und, wenn des Eigengewicht in der unter a) 1) angenommenen Weise berücksichtigt wird,

$$W_m^{\min} = -qC - \frac{P}{2} = -\left(qC + \frac{P}{2}\right), \quad (321)$$

$$W_m^{\max} = qC - q - \frac{P}{2}. \quad \dots \dots \dots (322)$$

III. Numerische Berechnung der Spannungen in den einzelnen Gliedern des gestützten parabolischen Charnierbrückenträgers.

Der in Figur 28 und 29 dargestellte, hinsichtlich seiner Abmessungen im Wesentlichen mit dem Ueberbau der Theiß-

brücke bei Szegedin übereinstimmende Träger, ist links mit den in dem vorhergehenden Abschnitt gewählten Bezeichnungen, rechts mit den Zahlenwerthen von $\frac{1}{2} = 20, f = 5, k = 0,5$ und $\lambda = 2$ Met., sowie mit den nach Gleichung (254), (266) und (286) berechneten Abmessungen von $b^m, k + y^{m-1}$ und d^m versehen. Die Belastung der Knotenpunkte des Trägers durch

Eigengewicht ist zu $p = 2,4$ tons (à 1000 Kilogr.)

Verkehr zu $q = 4$ " " "

angenommen.

1. Berechnung der Grenzspannungen Z in den Polygonstücken.

a. Berechnung der Lage der Belastungsscheiden nach Gleichung (257).

$$e = \lambda \cdot \frac{nk + mf}{k + \left(\frac{2^n - m}{n}\right) f}$$

Für $m = 1$ ist $e = \lambda \cdot \frac{2}{2} = \lambda \cdot 1,0^*$, daher $m' = 1$ und $m'' = 0,$

" $m = 2$ " $e = \lambda \cdot \frac{3}{1,9} = \lambda \cdot 1,5,$ " $m' = 2$ " $m'' = 1,$

" $m = 3$ " $e = \lambda \cdot \frac{4}{1,8} = \lambda \cdot 2,2,$ " $m' = 3$ " $m'' = 2,$

" $m = 4$ " $e = \lambda \cdot \frac{5}{1,7} = \lambda \cdot 2,9,$ " $m' = 3$ " $m'' = 2,$

" $m = 5$ " $e = \lambda \cdot \frac{6}{1,6} = \lambda \cdot 3,7,$ " $m' = 4$ " $m'' = 3,$

" $m = 6$ " $e = \lambda \cdot \frac{7}{1,5} = \lambda \cdot 4,6,$ " $m' = 5$ " $m'' = 4,$

" $m = 7$ " $e = \lambda \cdot \frac{8}{1,4} = \lambda \cdot 5,7,$ " $m' = 6$ " $m'' = 5,$

" $m = 8$ " $e = \lambda \cdot \frac{9}{1,3} = \lambda \cdot 6,9,$ " $m' = 7$ " $m'' = 6,$

" $m = 9$ " $e = \lambda \cdot \frac{10}{1,2} = \lambda \cdot 8,3,$ " $m' = 9$ " $m'' = 8,$

" $m = 10$ " $e = \lambda \cdot \frac{11}{1,1} = \lambda \cdot 10^{**},$ " $m' = 10$ " $m'' = 9,$

b. Berechnung der Maximalspannungen Z_m^{\max} nach Gleichung (261).

$$Z_m^{\max} = \frac{n^2}{2} b_m \left[\frac{q}{n^2 k + m^2 f} \left(\frac{(n - m')(n - m' + 1)}{2} \left(\frac{m}{n} - \frac{k}{f} \right) - (m - m')(m - m' - 1) \right) - \frac{p}{f} \right].$$

Für $m = 1$ und $m' = 1$ ist $Z_1^{\max} = 50 \cdot 2,000 \left[\frac{4}{50 + 5 \cdot 1} \left(\frac{9 \cdot 10}{2} \cdot 0 - 0 \right) - \frac{2,4}{5} \right] = -48,02$ tons.

*) Die Belastungsscheide fällt daher mit dem ersten Verticalstab zusammen.

**) Die Belastungsscheide fällt daher mit dem 10. Verticalstab zusammen.

Für $m = 2$ und $m' = 2$ ist $Z_2^{\max} = 50 \cdot 2,005 \left[\frac{4}{50 + 5 \cdot 4} \left(\frac{8 \cdot 9}{2} \cdot \frac{1}{10} - 0 \right) - \frac{2,4}{5} \right] = -27,51$ tons.

„ $m = 3$ „ $m' = 3$ „ $Z_3^{\max} = 50 \cdot 2,015 \left[\frac{4}{50 + 5 \cdot 9} \left(\frac{7 \cdot 8}{2} \cdot \frac{2}{10} - 0 \right) - \frac{2,4}{5} \right] = -24,58$ „

„ $m = 4$ „ $m' = 3$ „ $Z_4^{\max} = 50 \cdot 2,029 \left[\frac{4}{50 + 5 \cdot 16} \left(\frac{7 \cdot 8}{2} \cdot \frac{3}{10} - 0 \right) - \frac{2,4}{5} \right] = -29,04$ „

„ $m = 5$ „ $m' = 4$ „ $Z_5^{\max} = 50 \cdot 2,049 \left[\frac{4}{50 + 5 \cdot 25} \left(\frac{6 \cdot 7}{2} \cdot \frac{4}{10} - 1 \cdot 2 \right) - \frac{2,4}{5} \right] = -34,22$ „

„ $m = 6$ „ $m' = 5$ „ $Z_6^{\max} = 50 \cdot 2,073 \left[\frac{4}{50 + 5 \cdot 36} \left(\frac{5 \cdot 6}{2} \cdot \frac{5}{10} - 1 \cdot 2 \right) - \frac{2,5}{5} \right] = -39,80$ „

„ $m = 7$ „ $m' = 6$ „ $Z_7^{\max} = 50 \cdot 2,102 \left[\frac{4}{50 + 5 \cdot 49} \left(\frac{4 \cdot 5}{2} \cdot \frac{6}{10} - 1 \cdot 2 \right) - \frac{2,4}{5} \right] = -44,77$ „

„ $m = 8$ „ $m' = 7$ „ $Z_8^{\max} = 50 \cdot 2,135 \left[\frac{4}{50 + 5 \cdot 64} \left(\frac{3 \cdot 4}{2} \cdot \frac{7}{10} - 1 \cdot 2 \right) - \frac{2,4}{5} \right] = -46,51$ „

„ $m = 9$ „ $m' = 9$ „ $Z_9^{\max} = 50 \cdot 2,172 \left[\frac{4}{50 + 5 \cdot 81} \left(\frac{1 \cdot 1}{2} \cdot \frac{8}{10} - 0 \right) - \frac{2,4}{5} \right] = -51,47$ „

„ $m = 10$ „ $m' = 10$ „ $Z_{10}^{\max} = 50 \cdot 2,213 \left[\frac{4}{50 + 5 \cdot 100} \left(0 - 0 \right) - \frac{2,4}{5} \right] = -53,11$ „

c) Berechnung der Minimalspannungen Z_m^{\min} nach Gleichung (265).

$$Z_m^{\min} = -\frac{n^2}{2} b_m \left[\frac{q}{n^2 k + m^2 f} \left(\frac{n^2}{2} \left(\frac{m}{n} + \frac{k}{f} \right) - \frac{n(2m'' + 1) - m''(m'' + 1)}{2} \left(\frac{m}{n} - \frac{k}{f} \right) + m(2m'' + 1) - m''(m'' + 1) + \frac{p}{f} \right) \right].$$

Für $m = 1$ und $m'' = 0$ ist $Z_1^{\min} = 50 \cdot 2,000 \left[\frac{4}{50 + 5 \cdot 1} \left(50 \cdot \frac{2}{10} - \frac{(10 - 0)}{2} \cdot \frac{0}{10} + 1 - 0 \right) + \frac{2,4}{5} \right] = -128,00$ tons.

„ $m = 2$ „ $m'' = 1$ „ $Z_2^{\min} = 50 \cdot 2,005 \left[\frac{4}{50 + 5 \cdot 4} \left(50 \cdot \frac{3}{10} - \frac{(30 - 2)}{2} \cdot \frac{1}{10} + 6 - 2 \right) + \frac{2,4}{5} \right] = -148,97$ „

„ $m = 3$ „ $m'' = 2$ „ $Z_3^{\min} = 50 \cdot 2,015 \left[\frac{4}{50 + 5 \cdot 9} \left(50 \cdot \frac{4}{10} - \frac{(50 - 6)}{2} \cdot \frac{2}{10} + 15 - 6 \right) + \frac{2,4}{5} \right] = -152,63$ „

„ $m = 4$ „ $m'' = 2$ „ $Z_4^{\min} = 50 \cdot 2,029 \left[\frac{4}{50 + 5 \cdot 16} \left(50 \cdot \frac{5}{10} - \frac{(50 - 6)}{2} \cdot \frac{3}{10} + 20 - 6 \right) + \frac{2,4}{5} \right] = -149,84$ „

„ $m = 5$ „ $m'' = 3$ „ $Z_5^{\min} = 50 \cdot 2,049 \left[\frac{4}{50 + 5 \cdot 25} \left(50 \cdot \frac{6}{10} - \frac{(70 - 12)}{2} \cdot \frac{4}{10} + 35 - 12 \right) + \frac{2,4}{5} \right] = -145,99$ „

„ $m = 6$ „ $m'' = 4$ „ $Z_6^{\min} = 50 \cdot 2,073 \left[\frac{4}{50 + 5 \cdot 36} \left(50 \cdot \frac{7}{10} - \frac{(90 - 20)}{2} \cdot \frac{5}{10} + 54 - 20 \right) + \frac{2,4}{5} \right] = -142,70$ „

„ $m = 7$ „ $m'' = 5$ „ $Z_7^{\min} = 50 \cdot 2,102 \left[\frac{4}{50 + 5 \cdot 49} \left(50 \cdot \frac{8}{10} - \frac{(110 - 30)}{2} \cdot \frac{6}{10} + 77 - 30 \right) + \frac{2,4}{5} \right] = -140,20$ „

„ $m = 8$ „ $m'' = 6$ „ $Z_8^{\min} = 50 \cdot 2,135 \left[\frac{4}{50 + 5 \cdot 64} \left(50 \cdot \frac{9}{10} - \frac{(130 - 42)}{2} \cdot \frac{7}{10} + 104 - 42 \right) + \frac{2,4}{5} \right] = -139,20$ „

„ $m = 9$ „ $m'' = 8$ „ $Z_9^{\min} = 50 \cdot 2,172 \left[\frac{4}{50 + 5 \cdot 81} \left(50 \cdot \frac{10}{10} - \frac{(170 - 72)}{2} \cdot \frac{8}{10} + 153 - 72 \right) + \frac{2,4}{5} \right] = -139,77$ „

„ $m = 10$ „ $m'' = 9$ „ $Z_{10}^{\min} = 50 \cdot 2,213 \left[\frac{4}{50 + 5 \cdot 100} \left(50 \cdot \frac{11}{10} - \frac{(190 - 90)}{2} \cdot \frac{9}{10} + 190 - 90 \right) + \frac{2,4}{5} \right] = -141,63$ „

2. Berechnung der Grenzspannungen X in den geraden Gurtungsstücken.

a. Berechnung der Lage der Belastungsscheiden nach Gleichung (268) und Werte x_m nach Gleichung (270).

$$e = \lambda \cdot \frac{n(m-1)(n-m+1)}{2n^2 - (m-1)(n+m-1)} \quad x_m = k + f \left(\frac{m-1}{n} \right)^2.$$

Für $m = 1$	ist $e = \lambda \cdot \frac{10 \cdot 0 \cdot 10}{200 - 0 \cdot 10} = \lambda \cdot 0,$	daher $m' = 1;$	$x_1 = 0,5 + 5 \cdot \frac{0}{100} = 0,50.$
" $m = 2$	" $e = \lambda \cdot \frac{10 \cdot 1 \cdot 9}{200 - 1 \cdot 11} = \lambda \cdot 0,47,$	" $m' = 1;$	$x_2 = 0,5 + 5 \cdot \frac{1}{100} = 0,55.$
" $m = 3$	" $e = \lambda \cdot \frac{10 \cdot 2 \cdot 8}{200 - 2 \cdot 12} = \lambda \cdot 0,9,$	" $m' = 1;$	$x_3 = 0,5 + 5 \cdot \frac{4}{100} = 0,70.$
" $m = 4$	" $e = \lambda \cdot \frac{10 \cdot 3 \cdot 7}{200 - 3 \cdot 13} = \lambda \cdot 1,3,$	" $m' = 2;$	$x_4 = 0,5 + 5 \cdot \frac{9}{100} = 0,95.$
" $m = 5$	" $e = \lambda \cdot \frac{10 \cdot 4 \cdot 6}{200 - 4 \cdot 14} = \lambda \cdot 1,6,$	" $m' = 2;$	$x_5 = 0,5 + 5 \cdot \frac{16}{100} = 1,30.$
" $m = 6$	" $e = \lambda \cdot \frac{10 \cdot 5 \cdot 5}{200 - 5 \cdot 15} = \lambda \cdot 2,0^*)$	" $m' = 3;$	$x_6 = 0,5 + 5 \cdot \frac{25}{100} = 1,75.$
" $m = 7$	" $e = \lambda \cdot \frac{10 \cdot 6 \cdot 4}{200 - 6 \cdot 16} = \lambda \cdot 2,3,$	" $m' = 3;$	$x_7 = 0,5 + 5 \cdot \frac{36}{100} = 2,30.$
" $m = 8$	" $e = \lambda \cdot \frac{10 \cdot 7 \cdot 3}{200 - 7 \cdot 17} = \lambda \cdot 2,5,$	" $m' = 3;$	$x_8 = 0,5 + 5 \cdot \frac{49}{100} = 2,95.$
" $m = 9$	" $e = \lambda \cdot \frac{10 \cdot 8 \cdot 2}{200 - 8 \cdot 18} = \lambda \cdot 2,8,$	" $m' = 3;$	$x_9 = 0,5 + 5 \cdot \frac{64}{100} = 3,70.$
" $m = 10$	" $e = \lambda \cdot \frac{10 \cdot 9 \cdot 1}{200 - 9 \cdot 19} = \lambda \cdot 3,1,$	" $m' = 4;$	$x_{10} = 0,5 + 5 \cdot \frac{81}{100} = 4,55.$

b. Berechnung der Grenzspannungen X nach Gleichung (271) und (272).

$$X_{\min}^{\max} = \pm \frac{q\lambda}{2x_m} \left[(n - m')(n - m' + 1)(m - 1)(n + m - 1) \frac{1}{2n^2} - (m - m')(m - m' - 1) \right].$$

Für $m = 1$	und $m' = 1$	ist $X_{\min}^{\max} = \pm \frac{4}{0,5} \left[\frac{10 \cdot 11 \cdot 0 \cdot 10}{200} - 0 \cdot -1 \right] = \pm 0$	tons.
" $m = 1$	" $m' = 2$	" $X_{\min}^{\max} = \pm \frac{4}{0,55} \left[\frac{9 \cdot 10 \cdot 1 \cdot 11}{200} - 1 \cdot 0 \right] = \pm 36,00$	"
" $m = 3$	" $m' = 1$	" $X_{\min}^{\max} = \pm \frac{4}{0,70} \left[\frac{9 \cdot 10 \cdot 2 \cdot 12}{200} - 2 \cdot 1 \right] = \pm 50,28$	"
" $m = 4$	" $m' = 2$	" $X_{\min}^{\max} = \pm \frac{4}{0,95} \left[\frac{8 \cdot 9 \cdot 3 \cdot 13}{200} - 2 \cdot 1 \right] = \pm 50,69$	"
" $m = 5$	" $m' = 2$	" $X_{\min}^{\max} = \pm \frac{4}{1,30} \left[\frac{8 \cdot 9 \cdot 4 \cdot 14}{200} - 3 \cdot 2 \right] = \pm 43,57$	"
" $m = 6$	" $m' = 3$	" $X_{\min}^{\max} = \pm \frac{4}{1,75} \left[\frac{7 \cdot 8 \cdot 5 \cdot 15}{200} - 3 \cdot 2 \right] = \pm 34,28$	"
" $m = 7$	" $m' = 3$	" $X_{\min}^{\max} = \pm \frac{4}{2,30} \left[\frac{7 \cdot 8 \cdot 6 \cdot 16}{200} - 4 \cdot 3 \right] = \pm 25,92$	"
" $m = 8$	" $m' = 3$	" $X_{\min}^{\max} = \pm \frac{4}{2,95} \left[\frac{7 \cdot 8 \cdot 7 \cdot 17}{200} - 5 \cdot 4 \right] = \pm 18,06$	"
" $m = 9$	" $m' = 3$	" $X_{\min}^{\max} = \pm \frac{4}{3,70} \left[\frac{7 \cdot 8 \cdot 8 \cdot 18}{200} - 6 \cdot 5 \right] = \pm 11,15$	"
" $m = 10$	" $m' = 4$	" $X_{\min}^{\max} = \pm \frac{4}{4,55} \left[\frac{6 \cdot 7 \cdot 9 \cdot 19}{200} - 6 \cdot 5 \right] = \pm 5,19$	"

*) Die Befestigungsscheide fällt daher hier mit dem 2. Verticalständer zusammen.

3. Berechnung der Grenzspannungen Y in den Diagonalstäben nach den Gleichungen (284) und (287), (293 u. 295) und (300 u. 301).

a. Berechnung der Lage der Belastungsscheiden nach Gleichung (290).

$$e = \lambda \left(\frac{2}{\frac{k+f}{f(n-m) + \frac{kn^2 + fm^2}{2m-1}} + \frac{1}{n}} \right)$$

Für $m = 1$ ist $e = \lambda \left[10 - \frac{2}{\frac{5,5}{5 \cdot 9 + 5(10+1)^{1/1}} + \frac{1}{10}} \right] = \lambda \cdot -8,00$	}	Wenn e negativ, kommt m' nicht vor.
„ $m = 2$ „ $e = \lambda \left[10 - \frac{2}{\frac{5,5}{5 \cdot 8 + 5(10+4)^{1/3}} + \frac{1}{10}} \right] = \lambda \cdot -0,70$		
„ $m = 3$ „ $e = \lambda \left[10 - \frac{2}{\frac{5,5}{5 \cdot 7 + 5(10+9)^{1/5}} + \frac{1}{10}} \right] = \lambda \cdot 0,10$, daher $m' = 1$.		
„ $m = 4$ „ $e = \lambda \left[10 - \frac{2}{\frac{5,5}{5 \cdot 6 + 5(10+16)^{1/7}} + \frac{1}{10}} \right] = \lambda \cdot 0,70$, „ $m' = 1$.		
„ $m = 5$ „ $e = \lambda \left[10 - \frac{2}{\frac{5,5}{5 \cdot 5 + 5(10+25)^{1/9}} + \frac{1}{10}} \right] = \lambda \cdot 1,10$, „ $m' = 2$.		
„ $m = 6$ „ $e = \lambda \left[10 - \frac{2}{\frac{5,5}{5 \cdot 4 + 5(10+36)^{1/11}} + \frac{1}{10}} \right] = \lambda \cdot 1,46$, „ $m' = 2$.		
„ $m = 7$ „ $e = \lambda \left[10 - \frac{2}{\frac{5,5}{5 \cdot 3 + 5(10+49)^{1/13}} + \frac{1}{10}} \right] = \lambda \cdot 1,70$, „ $m' = 2$.		
„ $m = 8$ „ $e = \lambda \left[10 - \frac{2}{\frac{5,5}{5 \cdot 2 + 5(10+64)^{1/15}} + \frac{1}{10}} \right] = \lambda \cdot 2,30$, „ $m' = 3$.		
„ $m = 9$ „ $e = \lambda \left[10 - \frac{2}{\frac{5,5}{5 \cdot 1 + 5(10+81)^{1/17}} + \frac{1}{10}} \right] = \lambda \cdot 2,70$, „ $m' = 3$.		
„ $m = 10$ „ $e = \lambda \left[10 - \frac{2}{\frac{5,5}{5 \cdot 0 + 5(10+100)^{1/19}} + \frac{1}{10}} \right] = \lambda \cdot 3,10$, „ $m' = 4$.		

b. Berechnung der Werte d_m , w_m , y_m und u_m nach den Gleichungen (286), (275), (285) und (294).

$$d_m = \sqrt{\lambda^2 + \left(k + f \left(\frac{m-1}{n}\right)^2\right)^2}; \quad w_m = \frac{n^2 k + m^2 f}{f(2m-1)} \cdot \lambda; \quad y_m = w_m \frac{k + f \left(\frac{m-1}{n}\right)^2}{d_m}; \quad u_m = w_m - (m - m') \lambda.$$

Für $m = 1$ ist $d_1 = \sqrt{4 + \left(0,5 + 5 \cdot \frac{0}{100}\right)^2} = 2,06$; $w_1 = 2 \left[\frac{50 + 5 \cdot 1}{5 \cdot 1} \right] = 22,00$; $y_1 = 22,00 \left(\frac{0,5 + 5 \cdot \frac{0}{100}}{2,06} \right) = 5,32$;	}	Da m' nicht vor- kommt, kommt auch u_m nicht vor.
„ $m = 2$ „ $d_2 = \sqrt{4 + \left(0,5 + 5 \cdot \frac{1}{100}\right)^2} = 2,07$; $w_2 = 2 \left[\frac{50 + 5 \cdot 4}{5 \cdot 3} \right] = 9,32$; $y_2 = 9,32 \left(\frac{0,5 + 5 \cdot \frac{1}{100}}{2,07} \right) = 2,47$;		

Für $m = 3$ ist $d_3 = \sqrt{4 + \left(0,5 + 5 \cdot \frac{4}{100}\right)^2} = 2,12$; $w_3 = 2 \left[\frac{50 + 5 \cdot 9}{5 \cdot 5} \right] = 7,60$; $y_3 = 7,60 \left(\frac{0,5 + 5 \cdot \frac{4}{100}}{2,12} \right) = 2,51$; $u_3 = 7,60 - 2 \cdot 2 = 3,60$.

„ $m = 4$ „ $d_4 = \sqrt{4 + \left(0,5 + 5 \cdot \frac{9}{100}\right)^2} = 2,21$; $w_4 = 2 \left[\frac{50 + 5 \cdot 16}{5 \cdot 7} \right] = 7,43$; $y_4 = 7,40 \left(\frac{0,5 + 5 \cdot \frac{9}{100}}{2,21} \right) = 3,19$; $u_4 = 7,43 - 3 \cdot 2 = 1,43$.

„ $m = 5$ „ $d_5 = \sqrt{4 + \left(0,5 + 5 \cdot \frac{16}{100}\right)^2} = 2,38$; $w_5 = 2 \left[\frac{50 + 5 \cdot 25}{5 \cdot 9} \right] = 7,78$; $y_5 = 7,78 \left(\frac{0,5 + 5 \cdot \frac{16}{100}}{2,38} \right) = 4,25$; $u_5 = 7,78 - 3 \cdot 2 = 1,78$.

„ $m = 6$ „ $d_6 = \sqrt{4 + \left(0,5 + 5 \cdot \frac{25}{100}\right)^2} = 2,65$; $w_6 = 2 \left[\frac{50 + 5 \cdot 36}{5 \cdot 11} \right] = 8,36$; $y_6 = 8,36 \left(\frac{0,5 + 5 \cdot \frac{25}{100}}{2,65} \right) = 5,51$; $u_6 = 8,36 - 4 \cdot 2 = 0,36$.

„ $m = 7$ „ $d_7 = \sqrt{4 + \left(0,5 + 5 \cdot \frac{36}{100}\right)^2} = 3,05$; $w_7 = 2 \left[\frac{50 + 5 \cdot 49}{5 \cdot 13} \right] = 9,08$; $y_7 = 9,08 \left(\frac{0,5 + 5 \cdot \frac{36}{100}}{3,05} \right) = 6,83$; $u_7 = 9,08 - 5 \cdot 2 = -0,92$.

„ $m = 8$ „ $d_8 = \sqrt{4 + \left(0,5 + 5 \cdot \frac{49}{100}\right)^2} = 3,56$; $w_8 = 2 \left[\frac{50 + 5 \cdot 64}{5 \cdot 15} \right] = 9,87$; $y_8 = 9,87 \left(\frac{0,5 + 5 \cdot \frac{49}{100}}{3,56} \right) = 8,17$; $u_8 = 9,87 - 5 \cdot 2 = -0,13$.

„ $m = 9$ „ $d_9 = \sqrt{4 + \left(0,5 + 5 \cdot \frac{64}{100}\right)^2} = 4,21$; $w_9 = 2 \left[\frac{50 + 5 \cdot 81}{5 \cdot 17} \right] = 10,71$; $y_9 = 10,71 \left(\frac{0,5 + 5 \cdot \frac{64}{100}}{4,21} \right) = 9,40$; $u_9 = 10,71 - 6 \cdot 2 = -1,29$.

„ $m = 10$ „ $d_{10} = \sqrt{4 + \left(0,5 + 5 \cdot \frac{81}{100}\right)^2} = 4,97$; $w_{10} = 2 \left[\frac{50 + 5 \cdot 100}{5 \cdot 19} \right] = 11,58$; $y_{10} = 11,58 \left(\frac{0,5 + 5 \cdot \frac{81}{100}}{4,97} \right) = 10,46$; $u_{10} = 11,58 - 6 \cdot 2 = -0,42$.

c. Berechnung der Werthe $\frac{1}{2} \left(1 \pm \frac{k}{f} \right)$ und $(n - m)\lambda + w_m$ zur Bestimmung der 3 Fälle.

$$\text{Der constante Werth } \frac{1}{2} \left(1 \pm \frac{k}{f} \right) = 20 \left(1 \pm \frac{0,5}{5} \right) = \left\{ \begin{array}{l} 22 \\ 18 \end{array} \right\}.$$

Für $m = 1$ ist $(n - m)\lambda + w_m = 18 + 22 = 40 > 22$	Für $m = 5$ ist $(n - m)\lambda + w_m = 10 + 7,78 = 17,78 < 18$
„ $m = 2$ „ „ „ = $16 + 9,32 = 25,32 > 22$	„ $m = 6$ „ „ „ = $8 + 8,36 = 16,36 < 18$
„ $m = 3$ „ „ „ = $14 + 7,6 = 21,6 \left\{ \begin{array}{l} < 22 \\ > 18 \end{array} \right.$	„ $m = 7$ „ „ „ = $6 + 9,08 = 15,08 < 18$
„ $m = 4$ „ „ „ = $12 + 7,4 = 19,4 \left\{ \begin{array}{l} < 22 \\ > 18 \end{array} \right.$	„ $m = 8$ „ „ „ = $4 + 9,87 = 13,87 < 18$
	„ $m = 9$ „ „ „ = $2 + 10,71 = 12,71 < 18$
	„ $m = 10$ „ „ „ = $0 + 11,58 = 11,58 < 18$

Hieraus ergibt sich, daß die Diagonalen des 1. und 2. Feldes nach Gleichung (284 und 287) des ersten Falles, die Diagonalen des 3. und 4. Feldes nach Gleichung (293 und 295) des zweiten Falles, die Diagonalen des 5. bis 10. Feldes nach Gleichung (300 und 301) des dritten Falles zu berechnen sind.

d. Berechnung der Grenzspannungen Y .

Erster Fall, wo $(n - m)\lambda + w_m > \frac{1}{2} \left(1 + \frac{k}{f} \right)$ nach den Gleichungen (284) und (287).

$$Y_{\min}^{\max} = \pm \frac{q(n - m)(n - m + 1)}{4y_m} \left[\frac{w_m - m\lambda}{n} + \frac{k\lambda}{f} \right].$$

$$\text{Für } m = 1 \text{ ist } Y_1^{\max} = \pm \frac{4}{5,32} \left[\frac{9 \cdot 10}{4} \left(\frac{22 - 2}{4} + \frac{2}{10} \right) \right] = \pm 37,20 \text{ tons.}$$

$$\text{„ } m = 2 \text{ „ } Y_2^{\max} = \pm \frac{4}{2,47} \left[\frac{8 \cdot 9}{4} \left(\frac{9,32 - 4}{4} + \frac{2}{10} \right) \right] = \pm 21,38 \text{ „}$$

Zweiter Fall, wo $(n - m)\lambda + w_m \left\{ \begin{array}{l} < \frac{1}{2} \left(1 + \frac{k}{f} \right) \\ > \frac{1}{2} \left(1 - \frac{k}{f} \right) \end{array} \right\}$ nach den Gleichungen (293) und (295).

$$Y_{\min}^{\max} = \pm \frac{q(m - m')}{y_m} \left[\left(\frac{m - m'}{4} \right) (2n - m - m' + 1) \left(\frac{m\lambda - w_m}{n} - \frac{k\lambda}{f} \right) + (m - m') \left(u_m + \frac{m - m' - 1}{2} \cdot \lambda \right) \right].$$

8*

$$\text{Für } m = 3 \text{ ist } m' = 1 \text{ und } Y_{3 \min}^{\max} = \pm \frac{4.2}{2.51} \left[\frac{(20-3)}{4} \left(\frac{6-7.6}{10} - \frac{2}{10} \right) + 3.6 + \frac{1.2}{2} \right] = \pm 9.78 \text{ tons.}$$

$$\text{„ } m = 4 \text{ „ } m' = 1 \text{ „ } Y_{4 \min}^{\max} = \pm \frac{4.3}{3.19} \left[\frac{(20-4)}{4} \left(\frac{8-7.4}{10} - \frac{2}{10} \right) + 1.429 + \frac{2.2}{2} \right] = \pm 10.77 \text{ „}$$

Dritter Fall, wo $(n-m)\lambda + w < \frac{1}{2} \left(1 - \frac{k}{f} \right)$, nach den Gleichungen (300) und (301).

$$Y_{m \min}^{\max} = \pm \frac{q}{y_m} \left[\frac{(n-m')}{4} (n-m'+1) \left(\frac{m\lambda - w_m}{n} - \frac{k\lambda}{f} \right) + (m-m') \left(u_m + \frac{(m-m'-1)\lambda}{2} \right) \right].$$

$$\text{Für } m = 5 \text{ ist } m' = 2 \text{ und } Y_{5 \min}^{\max} = \pm \frac{4}{4.25} \left[\frac{8.9}{4} \left(\frac{2.22}{10} - \frac{2}{10} \right) + 3 \left(1.78 + \frac{2.2}{2} \right) \right] = \pm 11.06 \text{ tons.}$$

$$\text{„ } m = 6 \text{ „ } m' = 2 \text{ „ } Y_{6 \min}^{\max} = \pm \frac{4}{5.1} \left[\frac{8.9}{4} \left(\frac{3.64}{10} - \frac{2}{10} \right) + 4 \left(0.36 + \frac{3.2}{2} \right) \right] = \pm 11.90 \text{ „}$$

$$\text{„ } m = 7 \text{ „ } m' = 2 \text{ „ } Y_{7 \min}^{\max} = \pm \frac{4}{6.83} \left[\frac{8.9}{4} \left(\frac{8.92}{10} - \frac{2}{10} \right) + 5 \left(-0.92 + \frac{4.2}{2} \right) \right] = \pm 12.08 \text{ „}$$

$$\text{„ } m = 8 \text{ „ } m' = 3 \text{ „ } Y_{8 \min}^{\max} = \pm \frac{4}{8.17} \left[\frac{7.8}{4} \left(\frac{6.13}{10} - \frac{2}{10} \right) + 5 \left(-0.13 + \frac{5.2}{2} \right) \right] = \pm 12.30 \text{ „}$$

$$\text{„ } m = 9 \text{ „ } m' = 3 \text{ „ } Y_{9 \min}^{\max} = \pm \frac{4}{9.40} \left[\frac{7.8}{4} \left(\frac{7.29}{10} - \frac{2}{10} \right) + 6 \left(-1.29 + \frac{5.2}{2} \right) \right] = \pm 12.59 \text{ „}$$

$$\text{„ } m = 10 \text{ „ } m' = 4 \text{ „ } Y_{10 \min}^{\max} = \pm \frac{4}{10.46} \left[\frac{6.7}{4} \left(\frac{8.42}{10} - \frac{2}{10} \right) + 6 \left(-0.42 + \frac{5.2}{2} \right) \right] = \pm 12.91 \text{ „}$$

4. Berechnung der Grenzspannungen in den Verticalstäben.

a. Ohne Berücksichtigung des Eigengewichtes nach den Gleichungen (305) und (307), (314) und (315), (319) und (320).

Erster Fall, wo $(n-m)\lambda + w_m > \frac{1}{2} \left(1 + \frac{k}{f} \right)$, nach den Gleichungen (305) und (307).

$$W_{m \max} = q \frac{(n-m)(n-m-1)}{4w_m} \left(\frac{w_m - m\lambda}{n} + \frac{k\lambda}{f} \right) = qA; \quad W_{m \min} = -W_{m \max} - q.$$

$$\text{Für } m = 1 \text{ ist } W_{1 \max} = \frac{4.9.8}{4.22} \cdot 2.2 = 7.2 \text{ tons, daher } W_{1 \min} = -7.2 - 4 = -11.2 \text{ tons.}$$

$$\text{„ } m = 2 \text{ „ } W_{2 \max} = \frac{4.8.7}{4.9.32} \cdot 0.73 = 4.39 \text{ „ „ } W_{2 \min} = -4.39 - 4 = -8.39 \text{ „}$$

Zweiter Fall, wo $(n-m)\lambda + w_m \begin{cases} < \frac{1}{2} \left(1 + \frac{k}{f} \right) \\ > \frac{1}{2} \left(1 + \frac{k}{f} \right) \end{cases}$, nach den Gleichungen (314) und (315). *

$$W_{m \min} = - \frac{q(m-m'+1)}{w_m} \left[\frac{(2n-m-m')}{4} \left(\frac{m\lambda - w_m}{n} - \frac{k\lambda}{f} \right) + u_m + \frac{(m-m')\lambda}{2} \right]; \quad W_{m \max} = -W_{m \min} - q.$$

$$\text{Für } m = 3 \text{ ist } m' = 1 \text{ und } W_{3 \min} = - \frac{4.3}{7.6} \left[\frac{(20-4)}{4} \left(-\frac{1.6}{10} - \frac{2}{10} \right) + 3.6 + \frac{2.2}{2} \right] = -6.57 \text{ tons, daher } W_{3 \max} = 6.57 - 4 = 2.57 \text{ ts.}$$

$$\text{„ } m = 4 \text{ „ } m' = 1 \text{ „ } W_{4 \min} = - \frac{4.4}{7.42} \left[\frac{(20-5)}{4} \left(\frac{0.6}{10} - \frac{2}{10} \right) + 1.43 + \frac{3.2}{2} \right] = -8.38 \text{ „ „ } W_{4 \max} = 8.38 - 4 = 4.38 \text{ „}$$

Dritter Fall, wo $(n-m)\lambda + w_m < \frac{1}{2} \left(1 - \frac{k}{f} \right)$, nach den Gleichungen (319) und (320).

$$W_{m \min} = - \frac{q}{w_m} \left[\frac{(n-m')(n-m'+1)}{4} \left(\frac{m\lambda - w_m}{n} - \frac{k\lambda}{f} \right) + (m-m'+1) \left(u_m + \frac{(m-m')\lambda}{2} \right) \right]; \quad W_{m \max} = -W_{m \min} - q.$$

$$\begin{aligned} \text{Für } m = 5 \text{ ist } m' = 2 \text{ und } W_5^{\min} &= -\frac{4}{7,78} \left[\frac{8,9}{4} \left(\frac{2,22}{10} - \frac{2}{10} \right) + 4 \left(+1,78 + \frac{3,2}{2} \right) \right] = -10,03 \text{ ts.}, \text{ daher } W_5^{\max} = 10,03 - 4 = 6,03 \text{ ts.} \\ \text{„ } m = 6 \text{ „ } m' = 2 \text{ „ } W_6^{\min} &= -\frac{4}{8,36} \left[\frac{8,9}{4} \left(\frac{3,64}{10} - \frac{2}{10} \right) + 5 \left(+0,36 + \frac{4,2}{2} \right) \right] = -11,84 \text{ „ „ } W_6^{\max} = 11,84 - 4 = 7,84 \text{ „} \\ \text{„ } m = 7 \text{ „ } m' = 2 \text{ „ } W_7^{\min} &= -\frac{4}{9,08} \left[\frac{8,9}{4} \left(\frac{4,92}{10} - \frac{2}{10} \right) + 6 \left(+0,92 + \frac{5,2}{2} \right) \right] = -13,10 \text{ „ „ } W_7^{\max} = 13,10 - 4 = 9,10 \text{ „} \\ \text{„ } m = 8 \text{ „ } m' = 3 \text{ „ } W_8^{\min} &= -\frac{4}{9,87} \left[\frac{7,8}{4} \left(\frac{6,13}{10} - \frac{2}{10} \right) + 6 \left(-0,13 + \frac{5,2}{2} \right) \right] = -14,20 \text{ „ „ } W_8^{\max} = 14,20 - 4 = 10,20 \text{ „} \\ \text{„ } m = 9 \text{ „ } m' = 3 \text{ „ } W_9^{\min} &= -\frac{4}{10,71} \left[\frac{7,8}{4} \left(\frac{7,29}{10} - \frac{2}{10} \right) + 7 \left(-1,29 + \frac{6,2}{2} \right) \right] = -15,08 \text{ „ „ } W_9^{\max} = 15,08 - 4 = 11,08 \text{ „} \\ \text{„ } m = 10 \text{ „ } m' = 4 \text{ „ } W_{10}^{\min*}) &= -\frac{4}{11,58} \left[\frac{6,7}{4} \left(\frac{8,42}{10} - \frac{2}{10} \right) + 7 \left(-0,42 + \frac{6,2}{2} \right) \right] = -15,82 \text{ „ „ } W_{10}^{\max} = 15,82 - 4 = 11,82 \text{ „} \end{aligned}$$

b. Mit Berücksichtigung des Eigengewichts nach den Gleichungen (310), (308 und 309), (319 und 317) und (321 und 321).

$$W_0^{\min} = -\frac{1}{2} \left(\frac{p}{2} + q \right) = -\frac{1}{2} \left(\frac{2,4}{2} + 4 \right) = -2,6 \text{ tons.}$$

$$W_1^{\min} = -11,2 - 1,2 = -12,4 \text{ tons; } W_1^{\max} = 7,2 - 1,2 = 6,0 \text{ tons.}$$

$$W_2^{\min} = -8,39 - 1,2 = -9,59 \text{ „ } W_2^{\max} = 4,39 - 1,2 = 3,19 \text{ „}$$

$$W_3^{\min} = -6,57 - 1,2 = -7,77 \text{ „ } W_3^{\max} = 2,57 - 1,2 = 1,37 \text{ „}$$

$$W_4^{\min} = -8,38 - 1,2 = -9,58 \text{ „ } W_4^{\max} = 4,38 - 1,2 = 3,18 \text{ „}$$

$$W_4^{\min} = -10,03 - 1,2 = -11,23 \text{ „ } W_5^{\max} = 6,03 - 1,2 = 4,83 \text{ „}$$

$$W_6^{\min} = -11,84 - 1,2 = -13,04 \text{ „ } W_6^{\max} = 7,84 - 1,2 = 6,64 \text{ „}$$

$$W_7^{\min} = -13,10 - 1,2 = -14,30 \text{ „ } W_7^{\max} = 9,10 - 1,2 = 7,90 \text{ „}$$

$$W_8^{\min} = -14,20 - 1,2 = -15,40 \text{ „ } W_8^{\max} = 10,20 - 1,2 = 9,00 \text{ „}$$

$$W_9^{\min} = -15,08 - 1,2 = -16,28 \text{ „ } W_9^{\max} = 11,08 - 1,2 = 9,88 \text{ „}$$

$$W_{10}^{\min**}) = -15,82 - 1,2 = -17,02 \text{ „ } W_{10}^{\max**}) = 11,82 - 1,2 = 10,62 \text{ „}$$

Die vorstehenden Rechnungsergebnisse sind in Fig. 30 zusammengestellt.

B) Die Pfeiler der eisernen Stützbrücken.

Bei Stützbrücken mit N Öffnungen werden 2 End- oder Landpfeiler und $N - 1$ Zwischen- oder Strompfeiler erforderlich, von welchen die ersteren, außer dem Drucke der Hinterfüllungserde, dem einseitigen Drucke der Träger, die letzteren, außer dem Stöße der Eismassen, der größten Druckdifferenz der beiden auf ihnen ruhenden Träger zu widerstehen haben.

I. Stärke der Landpfeiler.

1) Die vom Erd- und Wasserdruck abhängige Stärke der Landpfeiler.

Da die Landpfeiler der gestützten eisernen Charnierbrücken dem seitlichen Drucke der auf ihnen lastenden Erd-

und Wassermassen in einer, derjenigen der gewölbten Brücken ganz ähnlichen Weise zu widerstehen haben, so gelten in dieser Hinsicht die in Gleichung (196), (197) und (198) enthaltenen Werthe d_0 und d_1 für die obere und untere Stärke des Landpfeilers.

2) Die vom Drucke der Träger abhängige Stärke der Landpfeiler.

Um das größte Drehungsmoment der Ueberbauconstruktion für den Landpfeiler abzuleiten, ergibt sich, mit Bezug auf die Bezeichnungen der Fig. 3, Taf. 8, und wenn unter h_0 der Abstand des Fußcharniers von dem Drehpunkt D_1 verstanden wird,

$$s = \left(\frac{1}{2} - e' \right) \frac{h_0}{d_1} = \frac{f \left(\frac{1}{2} + e' \right)}{\frac{1}{2}}$$

*) Der 10. Verticalpfosten ist hier mit der vollen Verkehrsbelastung q in Rechnung genommen.

***) Der 10. Verticalpfosten ist hier mit der vollen Eigengewichtsbelastung p berechnet.

und hieraus der Abstand der Belastungsscheide γd vom Trägerrittel:

$$e' = \frac{1}{2} \left(\frac{\frac{h_c}{d_1} - 2 \frac{f}{l}}{\frac{h_c}{d_1} + 2 \frac{f}{l}} \right) \dots \dots \dots (323)$$

Sämmtliche, zwischen der Belastungsscheide und dem Landpfeiler befindlichen Gewichte befördern die Standfähigkeit des Landpfeilers, während sämmtliche, zwischen der Belastungsscheide und dem nächsten Strompfeiler befindlichen, in Fig. 3 angegebenen Belastungen auf Drehung des Landpfeilers um D_1 wirken. Man erhält demnach die größte, auf Umkippen des Landpfeilers wirkende Verkehrsbelastung des Trägers, wenn man seine sämmtlichen Knotenpunkte von dem Strompfeiler bis zu dem, der Belastungsscheide zunächst gelegenen, in dem Abstände $m' \lambda$ vom Trägerrittel befindlichen Knotenpunkt, mit Einschluß seiner selbst, als belastet annimmt.

Aus Gleichung (323) folgt, daß sich die Lage der Belastungsscheide und der dadurch bestimmte Abstand $m' \lambda$ schon aus dem Verhältnisse:

$$\begin{aligned} {}^a M_{\max} &= V \left(d_1 + \frac{1}{2} \right) - H (h_c + f) + \\ &+ p \left[\frac{d_1}{2} + (d_1 + \lambda) + (d_1 + 2\lambda) + \dots + (d_1 + (n-1)\lambda) + \frac{d_1 + n\lambda}{2} \right] + \\ &+ q \left[(n-m_1)\lambda + d_1 + (n-m_1+1)\lambda + d_1 + \dots + (n-1)\lambda + d_1 + \frac{n\lambda + d_1}{2} \right], \end{aligned}$$

woraus, wenn die Factoren von p und q summiert werden:

$$\begin{aligned} {}^a M_{\max} &= V \left(d_1 + \frac{1}{2} \right) - H (h_c + f) + \frac{p}{2} [n^2 \lambda + 2n d_1] + \\ &+ \frac{q}{2} \left[\lambda (n(2m' + 1) - m'(m' + 1)) + d_1 (2m' + 1) \right]. \dots \dots \dots (325) \end{aligned}$$

Die Componenten V und H des Scheiteldruckes ergeben sich, wenn wie früher die Momente der angreifenden Kräfte

<p>links: $V n \lambda - H f + p \lambda \left[1 + 2 + \dots + (n-1) + \frac{n}{2} \right]$ $+ q \lambda \left[(n-m') + (n-(m'-1)) + \dots + (n-1) + \frac{n}{2} \right] = 0,$</p> <p>rechts: $V n \lambda + H f - (p+q) \lambda \left[1 + 2 + \dots + (n-1) + \frac{n}{2} \right] = 0.$</p>	<p>successive auf den linken und rechten Stützpunkt bezogen werden, woraus man erhält:</p>
---	--

Hieraus findet man durch Addition, wenn zugleich der Factor von $q \lambda$ summiert wird:

$$\begin{aligned} 2 V n - \frac{q}{2} [n^2 - n(2m' + 1) + m'(m' + 1)] &= 0, \text{ und hieraus} \\ V &= \frac{q}{4n} [n^2 + m'(m' + 1) - n(2m' + 1)], \dots \dots \dots (326) \end{aligned}$$

und durch Subtraction:

$$\begin{aligned} -2 H f + p \lambda n^2 + \frac{q \lambda}{2} [n^2 + n(2m' + 1) - m'(m' + 1)] &= 0, \text{ woraus:} \\ H &= \frac{\lambda}{2f} \left[p n^2 + \frac{q}{2} (n^2 + n(2m' + 1) - m'(m' + 1)) \right]. \dots \dots \dots (327) \end{aligned}$$

$$\frac{h_c}{d_1} = r \dots \dots \dots (324)$$

ergiebt, falls man, statt der oben vorgenommenen Ermittlung von d_1 für die bekannte (gewöhnlich den höchsten Wasserstand h_w um wenig übertreffende) Höhe h_c , r zu bestimmen in der Lage ist.

Weicht das durch Einführung des berechneten Werthes von d_1 gefundene Verhältniß $\frac{h_c}{d_1}$ zu sehr von dem angenommenen Verhältnisse r ab, so ist das erstere in die Gleichung einzuführen, hieraus die veränderte Lage der Belastungsscheide und dann auf analogem Wege ein exacterer Werth von d_1 zu bestimmen.

Bezeichnet nun, wie früher, V die verticale und H die horizontale Componente des bei der größten Umsturzelastung eintretenden Druckes im Scheitelcharnier, b die Entfernung der Bogenrippe von Mitte zu Mitte, ${}^a M_{\max}$ das größte Angriffsmoment des auf den Landpfeiler wirkenden Druckes einer Bogenrippe, bezogen auf den Drehpunkt D_{11} , p das Eigengewicht und q die Verkehrsbelastung für einen Knotenpunkt jener Bogenrippe, so ist

Nach Einführung dieser, durch Gleichung (326) und (327) gegebenen Werthe von V und H in Gleichung (325) erhält man den Werth des Angriffsmomentes ${}^aM_{\max}$.

Auf Drehung des Landpfeilers um den Punkt D_{11} wirken nun nach rechts der durch Gleichung (191) oder (192) gegebene Erddruck mit dem Hebelsarm $\frac{h_c}{3}$ und das durch Gleichung (194) gegebene Gewicht G_1 des Pfeilers mit dem Hebelsarm $d_1 - g_1$, nach links der durch Gleichung (199) gegebene Wasserüberdruck an dem durch Gleichung (200) gegebenen Hebelsarm, wozu das durch die Gleichungen (325), (326) und (327) gegebene Moment der Ueberbauconstruktion

$$G_1(d_1 - g_1) = h \cdot \frac{m h_1^2}{2} \cdot \frac{2 m h_1}{3} \cdot \gamma'' + b \cdot h_1 d_0 \left(\frac{d_0}{2} + m h_1 \right) \gamma'' \dots \dots \dots (330)$$

und, wenn aus Gleichung (198) für d_0 sein Werth gesetzt und reducirt wird,

$$G_1(d_1 - g_1) = \frac{h_1 b g}{2} \left(d_1^2 - \frac{m^2 h_1^2}{3} \right) \dots \dots \dots (331)$$

Wird dieser, jowie der Werth für ${}^aM_{\max}$ in Gleichung (329) eingeführt, nach Potenzen von d_1 geordnet und der Kürze halber

$$A = b \cdot \frac{h_1}{2} \cdot g \dots \dots \dots (332)$$

$$B = V + p n + \frac{q}{2} (2 m' + 1) \dots \dots \dots (333)$$

$$C = H(h_c + f) - V \cdot \frac{1}{2} - p \cdot \frac{n^2}{2} \cdot \lambda + \frac{q}{2} \cdot \lambda \left(n(2 m' + 1) - (m' + 1)m' \right) + b_s \frac{m^2 h^3}{6} \cdot g \dots (334)$$

gesetzt, so ergibt sich die untere Pfeilerstärke

$$d_1 = - \frac{B}{2A} + \sqrt{\frac{C}{A} + \left(\frac{B}{2A} \right)^2} \dots (335)$$

Für einen Landpfeiler mit rechteckigem Querschnitt ist in Gleichung (335) $m = 0$ zu setzen.

II. Stärke der Strompfeiler.

Die Stärke d_s von Strompfeilern, welche dem Eisstoße Widerstand zu leisten haben, ergibt sich annähernd aus der empirischen Formel (210).

Um das größte Drehungsmoment der Ueberbauconstruktion für den Strompfeiler zu bestimmen, ist vorher der Abstand e'' der Belastungsscheide von dem Trägermittel zu finden und ergibt sich mit Bezug auf Fig. 4 aus Gleichung (323), wenn darin d_s statt d_1 und h_s statt h_c gesetzt wird:

$$e'' = \frac{1}{2} \left(\frac{h_s}{d_s} - 2 \frac{f}{l} \right) \dots \dots \dots (336)$$

Die größte, auf Umfanten des Strompfeilers wirkende

kommt. Soll Gleichgewicht gegen Umsturz des Landpfeilers durch Wasserüberdruck und Horizontalschub der Bogenträger bestehen, so muß

$$H_{\max} \cdot \frac{h_c}{3} + G_1(d_1 - g_1) - W_{\max} w + {}^aM_{\max} = 0, (328)$$

und, wenn Erd- und Wasserüberdrucke nicht berücksichtigt werden,

$$G_1(d_1 - g_1) + {}^aM_{\max} = 0 \dots \dots (329)$$

sein.

Behält man die früheren Bezeichnungen bei, so ergibt sich für einen Landpfeiler von trapezförmigem Querschnitt mit Bezug auf Drehpunkt D_{11}

Verkehrsbelastung erhält man daher, wenn man die in Fig. 4 angegebenen, Knotenpunkte des Trägers von dem nächsten Pfeiler (hier Landpfeiler) bis zu dem der Belastungsscheide $\gamma \delta$ zunächst gelegenen, im Abstand $m'' \lambda$ von dem Trägermittel befindlichen Knotenpunkte, mit Einschluß seiner selbst, als belastet annimmt.

Aus Gleichung (336) folgt, daß zur Bestimmung der Entfernung e'' der Belastungsscheide oder des Abstandes $m'' \lambda$ schon die Kenntniß oder Annahme des Verhältnisses

$$\frac{h_s}{d_s} = t \dots \dots \dots (337)$$

genügt, wenn man von einer Bestimmung der Strompfeilerstärke d_s aus Gleichung (210) Abstand nimmt und t anzunehmen in der Lage ist. Für den Fall, daß das durch Einführung des berechneten Werthes von d_s erhaltene Verhältniß $\frac{h_s}{d_s}$ von dem angenommenen Verhältnisse t allzuviel abweicht, dient die oben angegebene Methode zu einer exacteren Bestimmung von d_s .

Ist m'' gefunden, so findet man das größte, auf den Strompfeiler ausgeübte Drehungsmoment, wenn man in Gleichung (325) m'' statt m' , d_s statt d_1 und h_s statt h_c setzt und alle Zeichen umkehrt, aus:

$$\begin{aligned}
{}^aM_{\max} = & -V \left(d_s + \frac{1}{2} \right) + H(h_s + f) - \frac{P}{2} [n^2 \lambda + 2nd_s] \\
& - \frac{q}{2} [\lambda(n(2m'' + 1) - m''(m'' + 1)) + d_s(2m'' + 1)], \dots \dots \dots (338)
\end{aligned}$$

worin, wenn in den Gleichungen (326) und (327) wieder m'' mit m' vertauscht wird, bezw. die verticale und horizontale Componente des Scheiteldruckes:

$$V = \frac{q}{4n} [n^2 + m''(m'' + 1) - n(2m'' + 1)] \dots \dots \dots (339)$$

und

$$H = \frac{\lambda}{2f} \left[pn^2 + \frac{q}{2} (n^2 + n(2m'' + 1) - m''(m'' + 1)) \right] \dots \dots \dots (340)$$

zu setzen ist.

Dem durch die Gleichungen (338), (339) und (340) gegebenen größten Drehungsmoment wirkt das Moment des Strompfeilers, sowie im ungünstigsten Falle das kleinste Moment M_{\min} des rechts vom Strompfeiler gelegenen; nur

durch sein eigenes Gewicht belasteten Bogenträgers, beide bezogen auf den Drehpunkt D, entgegen. Mit Bezug auf Fig. 4 erhält man für das letztere Angriffsmoment die Gleichung

$${}^aM_{\min} = V \cdot \frac{1}{2} - H(h_s + f) + q\lambda \left(1 + 2 + \dots (n - 1) + \frac{n}{2} \right) \dots \dots \dots (341)$$

Die beiden Componenten V und H des Scheiteldruckes ergeben sich aus den beiden Momentengleichungen der un-

belasteten linken und rechten Trägerhälfte für den ihnen angehörigen linken und rechten Stützpunkt als Drehpunkt,

links: $-Vn\lambda - Hf + p\lambda \left[1 + 2 + \dots (n - 1) + \frac{n}{2} \right] = 0,$

rechts: $-Vn\lambda + Hf - p\lambda \left[1 + 2 + \dots (n - 1) + \frac{n}{2} \right] = 0,$

woraus durch Addition:

$$-2Vn\lambda = 0, \text{ daher } V = 0 \dots \dots \dots (342)$$

durch Subtraction:

$$-2Hf + 2\lambda p \cdot \frac{n^2}{2} = 0, \text{ daher } H = p \cdot \frac{n^2}{2} \cdot \frac{\lambda}{f} \dots \dots \dots (343)$$

Werden die Werthe von V und H aus den Gleichungen (342) und (343) in Gleichung (341) eingeführt, so

ergiebt sich, wenn zugleich der Factor von $p\lambda$ summiert wird,

$${}^aM_{\min} = -p \cdot \frac{n^2}{2} \cdot \frac{\lambda}{f} (h_s + f) + p\lambda \frac{n^2}{2} = -p\lambda \frac{n^2}{2} \cdot \frac{h_s}{f} \dots \dots \dots (344)$$

Wird nun das Gewicht des Strompfeilers, dessen Hebelarm, bezogen auf den Drehpunkt D_{111} , $\frac{d_s}{2}$ ist, mit G_s bezeichnet, so muß zwischen diesem Momente und den durch die Gleichungen (338) und (344) gegebenen Momenten die Beziehung bestehen:

$$-G_s \cdot \frac{d_s}{2} + {}^aM_{\min} + {}^aM_{\max} = 0,$$

oder, weil $G_s = bd_s(h_s + k + f)g$ ist,

$$\frac{b_s}{2} (h_s + k + f)gd_s^2 - {}^aM_{\min} - {}^aM_{\max} = 0. \quad (345)$$

Werden die Werthe von ${}^aM_{\max}$ und ${}^aM_{\min}$ aus den Gleichungen (338) und (344) in Gleichung (345) eingeführt, so ergibt sich, wenn zunächst nach Potenzen von d_s geordnet und, der Kürze halber,

$$A = \frac{b_s g}{2} (h_s + k + f) \dots \dots \dots (346)$$

$$B = V + np + \frac{2m'' + 1}{2} \cdot q \dots \dots \dots (347)$$

$$C = H(h_s + f) - V \cdot \frac{1}{2} - \frac{n^2}{2} p\lambda \left(\frac{h_s}{f} + 1 \right) - \frac{p\lambda}{2} (n(2m'' + 1) - m''(m'' + 1)) \dots (348)$$

gesetzt wird, die Strompfeilerstärke:

$$d_s = -\frac{B}{2A} + \sqrt{\frac{C}{A} + \left(\frac{B}{2A}\right)^2} \dots (349)$$

Beispiel. Legt man die früher gewählte Brücke über die Theiß bei Szegedin wieder zu Grunde, wobei die Spannweite $l = 40$ Met., die Pfeilhöhe $f = 5$ Met.,

die halbe Felderzahl $n = 10$,
 die ruhende Belastung für jeden Knotenpunkt $p = 2,4$ tons,
 die bewegte Belastung für jeden Knotenpunkt $q = 4,0$ "

angenommen war und setzt

die ganze Pfeilerhöhe $h_1 = 13$ Met.,
 die Höhe des Pfeilers bis zum Charnier $h_c = h_s = 7,5$
 Met.,

den Anlauf der Rückseite des Pfeilers $m = \frac{1}{10}$,

$$e' = \frac{1}{2} \left(\frac{\frac{h_c}{d_1} - 2 \frac{f}{l}}{\frac{h_c}{d_1} + 2 \frac{f}{l}} \right) = 20 \left(\frac{1 - 2 \cdot \frac{5}{40}}{1 + 2 \cdot \frac{5}{40}} \right) = 12, \text{ daher aus } m' \lambda = m' \cdot 2 = 12, m' = 6.$$

Aus den Gleichungen (326) und (327) erhält man beziehungsweise:

$$V = \frac{q}{4n} [n^2 + m'(m' + 1) - n(2m' + 1)] = \frac{4}{4 \cdot 10} (100 + 6 \cdot 7 - 10 \cdot 13) = 1,2 \text{ tons}$$

und

$$H = \frac{\lambda}{2f} \left[p n^2 + \frac{q}{2} (n^2 + n(2m' + 1) - m'(m' + 1)) \right] = \frac{2}{2 \cdot 5} \left[2,4 \cdot 100 + \frac{4}{2} (100 + 10 \cdot 13 - 6 \cdot 7) \right] = 123,2 \text{ tons.}$$

Werden diese Werthe eingeführt, so erhält man aus Gleichung (332)

$$A = \frac{g}{2} \cdot b \cdot h_1 = \frac{2,5}{2} \cdot 2 \cdot 13 = 32,5,$$

aus Gleichung (333)

$$B = V + p n + \frac{q}{2} (2m' + 1) = 1,2 + 2,4 \cdot 10 + \frac{4}{2} \cdot 13 = 51,2$$

und aus Gleichung (334)

$$C = H(h_c + f) - V \cdot \frac{1}{2} - p \cdot \frac{n^2}{2} \cdot \lambda + \frac{q \lambda}{2} (n(2m' + 1) - (m' + 1)m') + \frac{g}{6} b m^2 h_1^3$$

$$= 123,2(7,5 + 5) - 1,2 \cdot 20 - 2,4 \cdot \frac{100}{2} \cdot 2 + \frac{4 \cdot 2}{2} (10 \cdot 13 - 7 \cdot 6) + \frac{2,5}{6} \cdot 2 \cdot \frac{13^3}{100} = 1792,775 \text{ tons.}$$

Durch Einsetzung dieser Werthe ergibt sich nun für den Sandpfeiler

a) mit trapezförmigem Querschnitt aus Gleichung (335)

$$d_1 = -\frac{B}{2A} + \sqrt{\frac{C}{A} + \left(\frac{B}{2A}\right)^2} = -\frac{51,2}{65} + \sqrt{\frac{1792,775}{32,5} + \left(\frac{51,2}{65}\right)^2}$$

$$= -0,79 + \sqrt{55,16 + 0,79^2} = -0,79 + \sqrt{55,16 + 0,6241}$$

$$= -0,79 + \sqrt{55,7841} = -0,79 + 7,47 = 6,68 \text{ Met.}$$

Bildet man hierauf das Verhältniß $\frac{h_s}{d_s} = \frac{6,68}{7,5} =$

0,89, so folgt hieraus eine hinreichende Annäherung an den nach Gleichung (324) angenommenen Werth von $r = 1$, indem beide Verhältnisse in Fig. 3 eingetragen sind, woraus

die Entfernung der Tragrippen von Mitte zu Mitte

$b = 2$ Met.,

das Gewicht der kubischen Einheit Mauerwerk $g = 2,5$
 tons pr. Kmet.,

so ergibt sich nach Gleichung (323), wenn darin $\frac{h_c}{d_1} = 1$ gesetzt wird,

sich für das letztere wohl eine etwas veränderte Lage der Belastungsscheide, aber keine Veränderung in dem Belastungszustande der einzelnen Knotenpunkte ergibt.

b) mit rechteckigem Querschnitt, wenn in dem Werthe für C, $m = 0$ gesetzt wird,

$$d_1 = -\frac{51,2}{65} + \sqrt{\frac{1628}{32,5} + \left(\frac{5,2}{65}\right)^2} = -0,79 + \sqrt{50,092 + 0,624}$$

$$= -0,79 + \sqrt{50,716} = -0,79 + 7,12 = 6,33 \text{ Met.,}$$

also eine Differenz von $6,68 - 6,33 = 0,35$ Met.

2) Für den Strompfeiler ergibt sich, wenn das Verhältniß

$$\frac{h_c}{d_s} = \frac{2}{1}$$

angenommen wird, aus Gleichung (336)

$$e'' = \frac{1}{2} \left(\frac{\frac{h_s}{d_s} - 2 \frac{f}{l}}{\frac{h_s}{d_s} + 2 \frac{f}{l}} \right) = 20 \left(\frac{2 - 2 \cdot \frac{5}{40}}{2 + 2 \cdot \frac{5}{40}} \right) = 15,55 \text{ Met.}$$

Dieser Abstand liegt zwischen den Abständen 14 und 16 Met. benachbarter Knotenpunkte, mithin ist wegen $m'' \lambda = m'' \cdot 2 = 14$,

$$m'' = \frac{14}{2} = 7.$$

Aus den Gleichungen (339) und (340) ergibt sich nun beziehungsweise

$$V = \frac{q}{4n} [n^2 + m''(m'' + 1) - n(2m'' + 1)] = \frac{4}{4 \cdot 10} (100 + 7 \cdot 8 - 10 \cdot 15) = 0,6 \text{ tons}$$

und

$$H = \frac{\lambda}{2f} \left[pn^2 + \frac{q}{2} (n^2 + n(2m'' + 1) - (m'' + 1)m'') \right] = \frac{2}{2 \cdot 5} \left[2,4 \cdot 100 + \frac{4}{2} (100 + 10 \cdot 15 - 7 \cdot 8) \right] = 125,6 \text{ tons.}$$

Werden diese Werthe eingeführt, so erhält man aus Gleichung (346)

$$A = \frac{g}{2} b (h_s + f + k) = \frac{2,5}{2} \cdot 2 (7,5 + 5 + 0,5) = 32,5,$$

aus Gleichung (347)

$$B = V + np + \frac{q}{2} (2m'' + 1) = 0,6 + 10 \cdot 2,4 + \frac{4}{2} \cdot 15 = 54,6$$

und aus Gleichung (348)

$$C = H(h_s + f) - V \cdot \frac{1}{2} - \frac{n^2}{2} p \lambda \left(\frac{h_s}{f} + 1 \right) - \frac{q \lambda}{2} (n(2m'' + 1) - (m'' + 1)m'')$$

$$= 125,6 (7,5 + 5) - 0,6 \cdot 20 - \frac{100}{2} \cdot 2,4 \cdot 2 \left(\frac{7,5}{5} + 1 \right) - \frac{4 \cdot 2}{2} (10 \cdot 15 - 7 \cdot 8) = 582,$$

mithin aus Gleichung (349)

$$d_s = -\frac{B}{2A} + \sqrt{\frac{C}{A} + \left(\frac{B}{2A}\right)^2} = -\frac{54,6}{65} + \sqrt{\frac{582}{32,5} + \left(\frac{54,6}{65}\right)^2} = 3,47 \text{ Met.}$$

Bildet man hieraus das Verhältniß $\frac{h_s}{d_s} = \frac{3,47}{7,5} = 2,16$, so folgt hieraus wieder eine hinreichende Annäherung an den nach Gleichung (337) angenommenen Werth $t = 2$, wie sich aus den beiden in Fig. 4 eingetragenen Verhältnissen $\frac{h_s}{d_s}$ erkennen läßt, wonach das durch die Berechnung erhaltene eine Veränderung in dem ungünstigsten Belastungszustande gleichfalls nicht herbeiführt.

Aus der empirischen Formel (210) ergibt sich

$$d_s = 0,762 + 0,147 \cdot h_s \sqrt[3]{\frac{1 + d_s}{h_s}}$$

$$= 0,762 + 0,147 \cdot 7,5 \sqrt[3]{\frac{43,5}{7,5}} = 2,74 \text{ Met.,}$$

d. h. eine Abmessung, welche hinter der oben gefundenen um $3,47 - 2,74 = 0,73$ Met. zurückbleibt.

Werden die gegebenen und hieraus ermittelten Größen aufgetragen, so ergibt sich die in Fig. 3 und 4, Taf. 8 enthaltene Darstellung.

Dritter Abschnitt.

Die hölzernen Stützbrücken.

A) Die Träger der hölzernen Stützbrücken.

Die hölzernen Stützbrücken sind sogenannte Hängwerkbrücken, wenn die Brückenbahn, bei beschränkter Constructionshöhe, unter und sogenannte Sprengwerkbrücken, wenn die Brückenbahn, bei beschränkter Constructionshöhe, über den Brückenträgern angebracht wird. Die Träger beider Brückengattungen sind aus geraden oder gebogenen Balken und aus vertical nebeneinander gestellten oder horizontal übereinander gelegten Bohlen gebildet worden. Da der Krümmungspfeil eines Balkens höchstens $\frac{1}{25}$ seiner Länge betragen darf, wenn seine Festigkeit durch die Biegung nicht leiden soll, so können gekrümmte Balken nur verhältnißmäßig geringe Widerstandsmomente entwickeln, während die Bohlenbogen wegen ihrer zahlreichen Stoßfugen leicht sich setzen und durch Feuchtigkeit leiden. Letzterer Mißstand tritt bei den der Nässe vorzugsweise ausgesetzten Hängwerkbrücken ein, weshalb man bei beschränkter Constructionshöhe den Balkenträgern aus einfachen oder verdübelten Balken bei geringerer und den Fachwerkträgern bei größerer Spannweite, bei unbeschränkter Constructionshöhe entweder den, der Nässe weniger ausgesetzten, Sprengwerkbrücken aus geraden Hölzern oder den Fachwerkträgern mit aufgelegter Brückenbahn den Vorzug giebt. Da die Balkenbrücken sowohl mit gewöhnlichen Balken, als mit Fachwerkträgern bereits behandelt*) und die übrigen Systeme der hölzernen Stützbrücken unvortheilhaft und deshalb mehr oder minder verlassen sind, so werden nachstehend nur die Sprengwerkbrücken mit geraden Hölzern im Zuge von Straßen berechnet. Diese gestatten zugleich die Anwendung einer größeren Zahl von schwächeren, je 2 bis 2,5 Met. von einander entfernten Tragrippen, welche also bei Straßenbrücken von 5 bis 7,5 Met. Breite, je 3 bis 5 beträgt.

Nimmt man die Entfernung der Knotenpunkte dieser Tragrippen zu 3 bis 5 Met. an, so erhalten dieselben bei Brücken von

6—10 Met. Spannweite 1 Paar Streben, s. Taf. 10, Fig. 1 und 2,
 10—20 " " 1—2 " " " 2 " 3,
 20—30 " " 2—3 " " " 3 " 4,
 wobei man zwischen die Köpfe des mittleren Strebenpaares nicht selten Spannriegel einschaltet. Die größte Anspruchnahme sowohl der Streben als der Spannriegel findet bei voller Belastung der Brücke statt, welche letztere man von der Hälfte jedes angrenzenden Feldes auf die einzelnen

*) Vergl. das 2. Heft dieses Werkes, Sp. 47 ff. und Sp. 52 ff.

Knotenpunkte concentrirt und hier nach den Richtungen der Streben und Spannriegel zerlegt denkt.

Bezeichnet Q die Gesamtbelastung einer Brückenöffnung, n die Zahl der gleichweit von einander entfernten Tragrippen, so ist die Gesamtbelastung einer mittleren Tragrippe

$$P = \frac{Q}{n - 1}, \dots \dots (350)$$

während jede Stirnrippe meist nur die Hälfte dieser Belastung zu tragen hat.

Besitzt die Tragrippe eine Länge l und n Knotenpunkte mit den Abständen $\lambda_1, \lambda_2, \dots$ von einander, s. Fig. 5, so ist die Gesamtbelastung des beliebigen mten Knotenpunktes

$$P_m = \frac{(\lambda_m + \lambda_{m+1})}{2l} \cdot P \dots \dots (351)$$

und des Auflagers

$$P_0 = \frac{\lambda_1}{2l} \cdot P \dots \dots (352)$$

Bezeichnet λ' den wagrechten Abstand des Schnittpunktes der Strebenaxen von einer Lothrechten durch den Kopf der ersten Strebe und k den Abstand dieses Schnittpunktes von der Aze des Spannriegels, s. Fig. 6, so ist die Druckspannung der beliebigen mten Strebe

$$S_m = P_m \cdot \frac{\sqrt{(\lambda' + \lambda_2 + \dots + \lambda_m)^2 + k^2}}{k} \dots \dots (353)$$

und die derselben entsprechende horizontale Componente

$$H_m = P_m \cdot \frac{(\lambda' + \lambda_2 + \dots + \lambda_m)}{k} \dots \dots (354)$$

Da diese Horizontaldrücke sämmtlich von dem Auflager nach der Mitte hin wirken, so erhält man im mten Knotenpunkte den gesammten Horizontaldruck

$$H = H_1 + H_2 + \dots + H_m \dots \dots (355)$$

Die Streben, Tramen und Spannriegel werden auf Ausbiegung (Knicken) beansprucht, daher ist, wenn

t das Trägheitsmoment ihres Querschnittes,
 λ deren freie Länge und

E den Elasticitätsmodul des angewandten Materiales bezeichnet, deren Anspruchnahme

$$K = N \cdot m \cdot \frac{Et}{\lambda^2}, \dots \dots (356)$$

worin der Sicherheitscoefficient für Holz $N = \frac{1}{10}$ und die der Befestigungsweise des Balkenstückes entsprechende Constante bei Festhaltung eines Endes, drehbarer Befestigung beider Enden und Festhaltung beider Enden, bezw. $m = \frac{\pi^2}{4}$, π^2 und $4\pi^2$ zu setzen ist.

Beispiel. Wird eine Brücke mit 2 Oeffnungen von je 17,5 Met. Spannweite und 7,5 Met. Breite, s. Taf. 10,

Fig. 15 bis 17, durch Menschengedränge mit 560 Kilogr. pr. \square Met., also mit $17,5 \cdot 7,5 \cdot 560 = 73500$ Kilogr. im Ganzen belastet und befestigt, bei Anordnung von 5 Tragrippen, ein Eigengewicht von 38370 Kilogr., so beträgt die Gesamtbelastung einer Brückenöffnung

$$Q = 73500 + 38370 = 111870 \text{ Kilogr.}$$

daher die Gesamtbelastung einer mittleren Tragrippe nach Gleichung (350)

$$P = \frac{111870}{4} = \text{rot. } 27970 \text{ Kilogr.}$$

Enthält jede Tragrippe 2 Strebenpaare mit einem Spannriegel in ihrer Mitte, also auf jeder Seite 3 Knotenpunkte, deren Entfernung $\lambda_1 = 2,5$, $\lambda_2 = 3,75$ und $\lambda_3 = 5$ Met. beträgt, i. Fig. 7, so ergibt sich aus Gleichung (352) die Belastung des Auflagers

$$P_0 = \frac{2,5}{2 \cdot 17,5} \cdot 27970 = 2000 \text{ Kilogr.},$$

die Belastung der beiden Strebeköpfe nach Gleichung (351) bzw.

$$P_1 = \frac{(2,5 + 3,75)}{2 \cdot 17,5} \cdot 27970 = 5000 \text{ Kilogr.}$$

und

$$P_2 = \frac{(3,75 + 5,00)}{2 \cdot 17,5} \cdot 27970 = 7000 \text{ Kilogr.}$$

Sind die Streben so angeordnet, daß $\lambda' = 2,75$ Met. und $k = 3,625$ Met. beträgt, so ergeben sich aus Gleichung (353) die Druckspannungen der beiden Streben

$$S_1 = 5000 \cdot \frac{\sqrt{2,75^2 + 3,625^2}}{3,625} = 6276 \text{ Kilogr.}$$

und

$$S_2 = 7000 \cdot \frac{\sqrt{(2,75 + 3,75)^2 + 3,625^2}}{3,625} = 14370 \text{ Kilogr.},$$

für die zweite Strebe

$$b = \sqrt[4]{\frac{6276}{0,0157}} = \text{rot. } 25 \text{ Centim. und } h = \frac{7}{5} \cdot 25 = 35 \text{ Centim.}$$

$$b = \sqrt[4]{\frac{14370}{0,0235}} = \text{rot. } 28 \text{ Centim. und } h = \frac{7}{5} \cdot 28 = 38 \text{ Centim.}$$

Wird weiter angenommen, daß das äußere Ende des Tramens von der Breite b und Höhe h mit dem Sattelholz verschraubt, also einerseits und der Spannriegel von der Breite b und Höhe h an beiden Enden festgehalten sei, so ist nach Gleichung (356) deren Druckspannung bzw.

$$H_1 = N \cdot \frac{\pi^2}{4} \cdot \frac{E h \cdot b^3}{\lambda_2^2 \cdot 12} \text{ und } H_2 = N \cdot 4 \pi^2 \cdot \frac{E h \cdot b^3}{\lambda_3^2 \cdot 12}.$$

Werden die Zahlenwerthe eingeführt, so ist für Kilogr. und Centim.

$$3793 = \frac{1}{10} \cdot \frac{3,14^2}{4} \cdot \frac{113000}{375^2 \cdot 12} \cdot h b^3$$

und

$$12552 = \frac{1}{10} \cdot 4 \cdot \frac{3,14^2}{500^2 \cdot 12} \cdot h b^3.$$

aus Gleichung (354) deren horizontale Componenten:

$$H_1 = 5000 \cdot \frac{2,75}{3,625} = 3793 \text{ Kilogr.}$$

und

$$H_2 = 7000 \cdot \frac{(2,75 + 3,75)}{3,625} = 12552 \text{ Kilogr.},$$

folglich nach Gleichung (355) deren Summe

$$H = 3793 + 12552 = 16345 \text{ Kilogr.}$$

Wird angenommen, daß das obere Ende der ersten Strebe durch eine Zange festgehalten und jedes Ende der zweiten Strebe drehbar befestigt sei, so ist nach Gleichung (356) deren Druckspannung

$$S_1 = N \cdot \frac{\pi^2}{4} \cdot \frac{E t}{\lambda^2} \text{ und } S_2 = N \cdot \pi^2 \cdot \frac{E t}{\lambda^2},$$

worin das Trägheitsmoment des rechteckigen Querschnittes, von der Breite b und Höhe h , $t = \frac{h b^3}{12}$ und bzw. $\lambda =$

$$\sqrt{\lambda'^2 + k^2} = \sqrt{2,75^2 + 3,625^2} = 4,55 \text{ Met. und } \lambda =$$

$$\sqrt{(\lambda' + \lambda_2)^2 + k^2} = \sqrt{(2,75 + 3,75)^2 + 3,625^2} = 7,44$$

Met. zu setzen ist. Werden die Zahlenwerthe eingeführt und hierbei $E = 113000$ Kilogr. pr. \square Centim. gesetzt, so ist für Kilogr. und Centim.

$$6276 = \frac{1}{10} \cdot \frac{3,14^2}{4} \cdot \frac{113000}{455^2 \cdot 12} \cdot h b^3$$

und

$$14370 = \frac{1}{10} \cdot \frac{3,14^2}{4} \cdot \frac{113000}{744^2 \cdot 12} \cdot h b^3.$$

Wird in beiden Gleichungen, worin b die kleinste Querschnittsdimension bezeichnet, $b = \frac{5}{7} h$ gesetzt, so ergibt sich für die erste Strebe

Wird in beiden Gleichungen $b = \frac{5}{7} h$ gesetzt, so ergibt sich für das freie Tramenstück

$$b = \sqrt[4]{\frac{3793}{0,0232}} = \text{rot. } 20 \text{ und } h = \frac{7}{5} \cdot 20 = \text{rot. } 30 \text{ Centim.}$$

für den Spannriegel

$$b = \sqrt[4]{\frac{12552}{0,208}} = \text{rot. } 16 \text{ und } h = \frac{7}{5} \cdot 16 = \text{rot. } 23 \text{ Centim.}$$

Wird eine Verdübelung des Spannriegels und Tramens, also eine Verbindung beider zu einem Balken an der Breite b und Höhe h und dessen Festhaltung an beiden Enden angenommen, so ist nach Gleichung (356)

$$H_1 + H_2 = N \cdot 4\pi^2 \cdot \frac{E \cdot h \cdot b^3}{L_3^2 \cdot 12}$$

$$b = \sqrt[4]{\frac{16345}{0,052}} = \text{rot. } 24 \text{ und } h = \frac{7}{5} \cdot 24 = \text{rot. } 34 \text{ Centim.}$$

Die Abmessungen $\frac{b}{h}$ des Tramens und Spannriegels in unverdübeltem und verdübeltem Zustande betragen nach dem Vorstehenden bezw. $\frac{20}{30}$, $\frac{16}{20}$ und $\frac{24}{34}$ Centim., welchen in der auf Taf. 10, Fig. 15—17 dargestellten Construction, zur Herstellung der erforderlichen Uebereinstimmung in der Breite, die Abmessung $\frac{30}{30}$ sowohl des Tramens, als des Spannriegels zu Grunde gelegt worden ist.

Erhalten die Bankette und die Fahrbahn bezw. einen doppelten Querböhlenbelag, welcher unmittelbar durch 9 Längsträger und mittelbar durch 8 auf den Tragrippen ruhende Querschwellen unterstützt wird, so sind diese sämtlichen Theile unter der Voraussetzung einer Belastung durch ein schwerstes Wagenrad, welches zu 6000 Kilogr. angenommen werden soll, wie folgt zu berechnen.

$$h = \sqrt[3]{\frac{6000}{0,286}} = \text{rot. } 28, \text{ woraus } b = \frac{5}{7} \cdot 28 = 20 \text{ Centim.}$$

Die Längsträger liegen da, wo sie gestoßen sind, frei auf den Querträgern und nach Fig. 9 auf $\frac{17,5 - 7 \cdot 0,2}{8}$ = 2 Met. frei, sind also im ungünstigsten Falle nach derselben Formel wie die Querträger zu berechnen. Demnach

$$h = \sqrt[3]{\frac{6000}{0,228}} = \text{rot. } 30 \text{ Centim., woraus } b = \frac{5}{7} \cdot 30 = 20 \text{ Centim.}$$

erhalten wird.

Die Querböhlen der Fahrbahn, deren Breite zu 25 Centim. angenommen wird, liegen an den Enden frei auf den Längsträgern und nach Fig. 10 zwischen zwei Längsträgern auf $\frac{7,5 - 9 \cdot 0,2}{8} = 0,71$ Met. frei. Steht nun ein Wagenrad von 6000 Kilogr. Gewicht in deren Mitte,

und, wenn die Zahlenwerthe eingeführt werden,

$$16345 = \frac{1}{10} \cdot 4 \cdot 3,14^2 \cdot \frac{113000}{500^2 \cdot 12} \cdot h \cdot b^3.$$

Wird hierin wieder $h = \frac{7}{5} \cdot b$ gesetzt, so erhält man

Die Querträger liegen mit den Enden frei auf den äußersten Längsträgern und nach Fig. 8 auf $\frac{7,5}{4} - 0,3 =$ rot. 1,6 Met. frei, sind also im ungünstigsten Falle als in ihrer Mitte durch 6000 Kilogr. belastete Träger mit einem festgehaltenen und einem freien Ende, sowie mit der Spannweite von 160 Centim. zu berechnen. Nun beträgt für diesen Fall*)

$$Q = 5,33 \cdot p \cdot \frac{b \cdot h^2}{61},$$

worin p die Druckfestigkeit des Holzes in Kilogr. pr. □ Centim. bedeutet. Werden die Zahlenwerthe eingeführt, so ist

$$6000 = 5,33 \cdot 72 \cdot \frac{b \cdot h^2}{6 \cdot 160}$$

und, wenn $b = \frac{5}{7} h$ gesetzt wird, die Höhe des Querträgers

ist, wenn die Zahlenwerthe eingeführt werden,

$$6000 = \frac{5,33 \cdot 72 \cdot b \cdot h^2}{6 \cdot 200}$$

und hierin, wenn $b = \frac{5}{7} h$ gesetzt wird,

so dient zur Berechnung dieselbe Formel. Werden sogleich die Zahlenwerthe eingeführt, so ist

$$6000 = \frac{5,33 \cdot 72 \cdot 25}{6 \cdot 71} \cdot h^2$$

*) Vergl. Heinzerling, Die angreifenden und widerstehenden Kräfte u. s. w., Berlin 1867. Seite 61, Nr. IV.

und hieraus

$$h = \sqrt{\frac{6000}{22,52}} = \text{rot. 17 Centim.}$$

Hiernach wurde der Bohlenbelag aus einer doppelten Lage Bohlen von 12 Centim. Stärke unten und 5 Centim. Stärke oben angenommen.

B) Die Pfeiler der hölzernen Stützbrücken.

I. Die Land- oder Endpfeiler.

Die Stärken der Land- oder Endpfeiler gesprengter, hölzerner Brücken hängen, wie diejenigen der gewölbten Brücken, entweder von dem größten Drucke der hinterfüllten Erde oder von dem größten Drucke der Ueberbauconstruction und dem in der gleichen Richtung wirkenden größten Ueberdrucke des Wassers ab und werden am sichersten nach dem relativ größten dieser beiden Horizontaldrucke derart bemessen, daß die Landpfeiler einem jeden derselben für sich allein einen genügenden Widerstand entgegensetzen können.

1) Die von dem größten Erd- und Wasserdrucke abhängigen Stärken der Landpfeiler

werden nach den Formeln (191) bis (200) in ähnlicher Weise wie diejenigen der gewölbten Brücken mit trapezförmigem oder rechteckigem Querschnitt bestimmt und die auf diese Weise gefundenen Formen so modificirt, wie dies die Ueberbauconstruction, insbesondere die Unterstüzung ihrer Streben und Horizontalbalken erfordert, worauf man das Stabilitätsmoment des Landpfeilers in dieser neuen Anordnung nochmals untersucht und mit dem Momente des größten Erd- drucks vergleicht. Bezeichnet man nämlich mit:

$f_1 f_2 \dots f_m$ die Flächen, in welche man den Querschnitt am zweckmäßigsten zerlegt,

$s_1 s_2 \dots s_m$ die Abstände ihrer Schwerpunkte von der Innenkante des Pfeilers,

so ist, wenn das Gewicht der Kubikeinheit Mauerwerk wieder g genannt wird, jenes Stabilitätsmoment:

$${}^eM = g(f_1 s_1 + f_2 s_2 + \dots + f_m s_m). \quad (357)$$

Bezeichnet

$$F = f_1 + f_2 + \dots + f_m \quad (358)$$

den Inhalt des Mauerquerschnitts, so ist der Abstand der Schwerlinie von der Innenkante des Pfeilers,

$$a = \frac{{}^eM}{F \cdot g} \quad (359)$$

und der Abstand des Punktes, worin die Resultante des Mauerweights und Erddrucks mit dem Momente eM die Basis des Pfeilers schneidet,

$$b = \frac{{}^eM}{F \cdot g}, \quad (360)$$

mithin der Abstand dieses Schnittpunktes von der Innenkante des Pfeilers

$$a - b = \frac{{}^eM - {}^eM}{F \cdot g} \quad (361)$$

2) Die von den größten Strebendrucken abhängigen Stärken der Landpfeiler.

Von jeder Tragrippe der Brücke, deren gegenseitiger Abstand c beträgt, wird an beiden Enden mit Bezug auf Gleichung (355) der Horizontaldruck der Streben

$$H^1 = \frac{1}{c}(H_1 + H_2 + \dots + H_m) \quad (362)$$

der Verticaldruck der Streben

$$V^1 = \frac{1}{c}(P_1 + P_2 + \dots + P_m) \quad (363)$$

und der Verticaldruck der Horizontalbalken

$$V^0 = \frac{P_0}{C} \quad (364)$$

auf die Tiefeneinheit des Landpfeilers ausgeübt. Bezeichnet nun

h' den Hebelsarm von H' in Bezug auf die Pfeilerbasis, $\left. \begin{matrix} v' \\ v^0 \end{matrix} \right\}$ den Abstand des Verticaldrucks $\left\{ \begin{matrix} V' \\ V^0 \end{matrix} \right\}$ von der Schwerlinie des Mauerkörpers und e den Abstand dieser letzteren von dem Punkte, wo die Resultante sämtlicher Kräfte die Pfeilerbasis schneidet, s. Fig. 11, so ergibt sich mit Bezug auf diesen Punkt die Momentengleichung

$H'h' - V'(v' + e) - V^0(v^0 + e) - gF \cdot e = 0$, wonach jene Resultante die Pfeilerbasis in einem Abstände

$$e = \frac{H'h' - V'v' - V^0v^0}{V' + V^0 + gF}, \quad (365)$$

von der Schwerlinie des Pfeilers oder in dem Abstände

$$i = d_u - (a + e) \quad (366)$$

von der Außenkante der Pfeilerbasis d_u schneidet.

II. Die Strom- oder Zwischenpfeiler.

Die Stärken der Strom- oder Zwischenpfeiler gesprengter hölzerner Brücken hängen theils von dem Stöße der Eis- massen oder anderer schwimmender Körper, theils von dem größten einseitigen Horizontaldrucke ab, welcher von der Ueberbauconstruction auf dieselben ausgeübt wird.

1) Die von dem Gistoße abhängige Stärke der Strompfeiler

kann, wie bei den Strompfeilern steinerner Brücken, annähernd aus Formel (210) bestimmt werden.

2) Die vom größten einseitigen Drucke abhängige Stärke der Strompfeiler.

Der größte einseitige Druck auf einen Strompfeiler findet Statt, wenn die Tragrippen einer Oeffnung voll belastet und in der folgenden entlastet sind. Behalten P_0 , V' und H_1' , h' , k und g ihre frühere Bedeutung, so besteht, wenn mit H'' und V'' bezw. der Horizontal- und halbe Verticaldruck einer entlasteten Tragrippe, mit a und b beziehungsweise der Abstand des Schnittpunkts der Strebenaxen und Mauerlatten von der Laibung des Pfeilers bezeichnet wird, s. Fig. 12, mit Bezug auf den Drehpunkt D die Momentengleichung

$$(H' - H'') h' - V'(d_s - a) - V'a' - V(d_s - b) - V_1 b - g \left(h' \cdot \frac{d_s^2}{2} + k \cdot \frac{d_0^2}{2} \right) = 0,$$

woraus, wenn der Kürze halber

$$D = h'(H' - H'') + a(V' - V'') + b(V^0 - V_1^0) - gk \cdot \frac{d_0^2}{2} \dots \dots \dots (367)$$

gesetzt wird, die Pfeilerstärke

$$d_s = - \frac{V' + V^0}{g h'} + \sqrt{\frac{2}{g h'} \cdot D + \left(\frac{V' + V^0}{g h'} \right)^2} \dots \dots \dots (368)$$

gefunden wird, welcher man zur Verminderung der Pressung an der Kante der Pfeilerbasis noch $\frac{d}{4}$ bis $\frac{d}{3}$ auf jeder Seite zulegt.

Hierin ist, wenn das Gewichtsverhältniß der unbelasteten zur belasteten Tragrippe mit α bezeichnet wird,

$$H'' = \alpha \cdot H', \quad V'' = \alpha \cdot V' \quad \text{und} \quad P_0' = \alpha \cdot P_0, \quad (369)$$

während die Abstände a und b , den erforderlichen Auflage- und Widerlagflächen entsprechend, anzunehmen sind.

$$^sM = 2400(16,79 + 20,20 + 6,20 + 1,58 + 0,24) = 108024 \text{ Kilogrmet.}$$

und

$$F = 5,47 + 9,62 + 5,04 + 2,43 + 0,90 = 23,46 \text{ □ Met.}$$

Werden diese und die Werthe von eM und von g in die Gleichung (359) gesetzt, so erhält man den Abstand

$$a = \frac{108024}{2400 \cdot 23,46} = 1,91 \text{ Met. und nach Gleichung (361)}$$

$$a - b = \frac{108024 - 51370}{2400 \cdot 23,46} = 0,91 \text{ Met.,}$$

$$H' = \frac{16345}{1,875} = \text{rot. } 8715, \quad V' = \frac{12000}{1,875} = \text{rot. } 6400 \quad \text{und} \quad V^0 = \frac{2000}{1,875} = \text{rot. } 1066 \text{ Kilogr.}$$

Die Pfeilerstärke wird dann nach dem relativ größten der beiden sub 1 und 2 ermittelten Werthe bemessen.

Beispiel. Beträgt für dieselbe Brücke

das Gewicht der hinterfüllten Erde $g = 1500$ Kilogr. pr. Kmet.,

deren Reibungswinkel $\rho = 36^\circ$,

deren Höhe $h = 9,25$ Met.,

so ist nach Gleichung (191) der größte Erddruck

$$H_{\max} = 1500 \cdot \frac{9,25^2}{2} \cdot \text{tg}^2 \cdot 27^\circ = 16660 \text{ Kilogr.}$$

und dessen Moment in Bezug auf die Pfeilerbasis

$$^eM = \frac{h}{3} \cdot H_{\max} = \frac{9,25}{3} \cdot 16660 = \text{rot. } 51370 \text{ Kgrm.}$$

Wird der Querschnitt des Landpfeilers vorläufig rechteckig angenommen, so ist nach Formel (197) die Stärke des Landpfeilers für die Tiefe 1

$$d = \sqrt{\frac{2}{3g} \cdot H_{\max}} = \sqrt{\frac{2}{3 \cdot 1500} \cdot 16660} = 2,15 \text{ Met.}$$

ein Werth, welcher noch einen Zusatz von etwa $\frac{d}{4}$ erhalten und zu $d = 2,77$ Met. angenommen werden soll.

Aus dem in Fig. 13 dargestellten, modificirten Querschnitte des Landpfeilers ergibt sich mit Bezug auf die Abmessungen der Figur

$$f_1 = \frac{8,75 \cdot 1,25}{2} = 5,47 \text{ m, } s_1 = \frac{1,25}{3} + 2,65 = 3,07 \text{ Met.,}$$

$$f_2 = 8,75 \cdot 1,1 = 9,62 \text{ " } s_2 = \frac{1,1}{2} + 1,55 = 2,10 \text{ "}$$

$$f_3 = 7,75 \cdot 0,65 = 5,04 \text{ " } s_3 = \frac{0,65}{2} + 0,90 = 1,27 \text{ "}$$

$$f_4 = 0,5 \cdot 4,87 = 2,43 \text{ " } s_4 = 0,25 + 0,40 = 0,65 \text{ "}$$

$$f_5 = \frac{4,5 \cdot 0,4}{2} = 0,90 \text{ " } s_5 = 6,4 \cdot \frac{2}{3} = 0,27 \text{ "}$$

mithin nach Gleichung (357) und (358) bezw.

woraus folgt, daß die Resultante die Basis des Pfeilers in einem noch hinreichenden Abstände von seiner Innenkante schneidet.

Beträgt die Entfernung zweier Tragrippen $c = 1,875$ Met., so ergeben sich aus den Gleichungen (362), (363) und (364) für die Tiefe 1 bezw. die Werthe

und, wenn die Werthe $h' = 4,47$, $v' = 0,76$ und $v^0 = 0,69$ aus Figur 13 entnommen werden, nach Gleichung (365) der Abstand

$$e = \frac{8715 \cdot 4,47 - 6400 \cdot 0,76 - 1066 \cdot 0,69}{6400 + 1066 + 2400 \cdot 23,46} = 0,523 \text{ Met.}$$

und nach Gleichung (366) der Abstand von der Außenkante der $d_u = 3,9$ Met. breiten Pfeilerbasis

$$i = 3,9 - (1,910 + 0,523) = 1,47 \text{ Met.},$$

woraus folgt, daß die Resultante sämtlicher Kräfte in hinreichender Entfernung von der Außenkante des Pfeilers dessen Basis schneidet.

Wird die Höhe des Strompfeilers $h_s = 4,47$ Met. und die Entfernung von Mitte zu Mitte der Pfeiler annähernd $l + d_s = 18,5$ Met. angenommen, so ergibt sich aus Gleichung (210)

$$d_s = 0,762 + 0,147 \cdot 4,47 \sqrt{\frac{18,5}{4,47}} = 1,81 \text{ Met.},$$

das Gewicht einer belasteten und entlasteten Tragrippe be-

$$D = H'(1 - \alpha)h' + aV'(1 - \alpha) + bV^0(1 - \alpha) - gk \cdot \frac{d_0^2}{2} = (1 - \alpha)(H'h' + aV' + bV^0) - gk \cdot \frac{d_0^2}{2} \\ = 0,657(8715 \cdot 4,47 + 6400 \cdot 0,75 + 1066 \cdot 0,82) - 2400 \cdot 3,625 \cdot \frac{1}{2} = 24972 \text{ Meterkilogr.}$$

Wird dieser, sowie der Werth $\frac{V_1 + G_0}{gh'} = \frac{6400 + 1066}{2400 \cdot 4,47} = 0,69$ und $\frac{2}{gh'} = \frac{2}{2400 \cdot 4,47} = \frac{1}{5364}$ in Gleichung (368) eingeführt, so ergibt sich die untere Stärke des Strompfeilers

$$d_s = -0,69 + \sqrt{\frac{24972}{5364} + 0,69^2} = 1,58 \text{ Met.},$$

mithin, wenn ein Zusatz von $\frac{d_s}{4} = \frac{1,58}{4} = 0,39$ gemacht wird, $d_s = \text{rot. } 2 \text{ Met.}$, welchen der oben gefundene Werth

trägt bezw. $P = 27970$ Kilogr. und $P' = \frac{38370}{4} = 9592$ Kilogr., daher ist $\alpha = \frac{P'}{P} = \frac{9592}{27970} = 0,343$ und nach den Gleichungen (369) $H'' = \alpha \cdot H' = 0,343 \cdot 8715 = \text{rot. } 2990$ Kilogr., $V'' = \alpha \cdot V' = 0,343 \cdot 6400 = \text{rot. } 2200$ Kilogr., $V_1^0 = \alpha \cdot V^0 = 0,343 \cdot 1066 = \text{rot. } 370$ Kilogr. Ferner ist $h' = 4,47$ Met., $a = 0,75$ Met., $b = 0,82$, $k = 3,625$ und $d_0 = 1$ Met., s. Fig. 14, mithin nach Relation (367)

von d_s übertrifft, mithin maßgebend ist. Nach vorstehenden statischen Ermittlungen wurde die in Fig. 15 bis 17 dargestellte Construction durchgeführt.

Zweite Abtheilung.

Die aufgehängten Brücken (Hängbrücken).

Die Träger der Hängbrücken, welche die Brückenbahn sammt der auf ihr befindlichen Belastung mittels Hängstangen aufnehmen und an je zwei höher liegenden Stützpunkten aufgehängt werden, sind entweder, wenn sie zu Fußstegen oder Straßenbrücken angewendet werden, nicht oder wenig versteifte oder, wenn sie zu Eisenbahn- oder Kanalbrücken verwendet werden, mehr oder minder versteifte. Wir unterscheiden daher hinsichtlich ihres Constructions-systems schlaffe und steife Hängbrücken.

Erster Abschnitt.

Die schlaffen Hängbrücken.

Die Tragkabel der schlaffen Hängbrücken und deren Berechnungen gestalten sich verschieden, je nachdem die Lastpunkte ihrer Brückenbahn sich in größern gegenseitigen Entfernungen befinden oder sehr nahe zusammen liegen. Daher

sind diejenigen mit isolirten und diejenigen mit nahe liegenden Belastungspunkten unterschieden.

1) Die schlaffen Hängbrücken mit isolirten Lastpunkten.

Bezeichnet V_1, V_2, \dots, V_m bezw. die Belastung in dem 1ten, 2ten, beliebigen mten und in dem letzten, nten Knotenpunkte, s. Taf. 8, Fig. 5,

x_m und y_m die zum mten Knotenpunkte gehörigen Abscissen, H die constante Horizontalspannung,

so ergibt sich die Form des Seil- oder Kettenpolygons aus

$$y_m - y_{m-1} = \frac{V_1 + V_2 + \dots + V_m}{H} (x_m - x_{m-1}). \quad (370)$$

Bedeutet

f die Pfeilhöhe der Kette und

l' den Abstand seines Schwerpunktes vom Ketten Scheitel,

so beträgt die Horizontalspannung

$$H = \frac{1}{f} (V_1 + V_2 + \dots + V_n) \left(\frac{1}{2} - l' \right). \quad (371)$$

und die Spannung im mten Ketten gliede:

$$T_m = \sqrt{H^2 + (V_1 + V_2 + \dots + V_m)^2}. \quad (372)$$

Sind die Lasten untereinander gleich und befinden sich, wie gewöhnlich, in gleichen Entfernungen, so ist, wenn mit

$p + q$ jene größte gesammte Belastung, mit λ jene durchweg gleiche Entfernung bezeichnet wird, nach Gleichung (370)

$$y_m - y_{m-1} = \frac{m(p + q)\lambda}{H}, \quad \dots \quad (373)$$

ferner, nach Gleichung (371)

$$H = \frac{n^2}{2} (p + q) \frac{\lambda}{f} \quad \dots \quad (374)$$

und das Gewicht des halben Systems

$$V = (p + q) \frac{(2n - 1)}{2}, \quad \dots \quad (375)$$

mithin die größte Spannung im höchsten Seil- oder Ketten gliede nach Gleichung (372)

$$T_n = \sqrt{H^2 + V^2}. \quad \dots \quad (376)$$

Beispiel. Beträgt bei einer solchen, für Fußverkehr bestimmten, polygonalen Hängbrücke $l = 60$ Met. und $n = 24$, also $\lambda = \frac{l}{2 \cdot 24} = 1,25$ Met., $f = 10$ Met. und $p + q = 250$ Kilogr., so ist nach Gleichung (374)

$$H = \frac{24^2}{2} \cdot 250 \cdot \frac{1,25}{10} = 9000 \text{ Kilogr.}$$

und nach Gleichung (375)

$$V = 250 \cdot \frac{47}{2} = 5875 \text{ Kilogr.,}$$

mithin nach Gleichung (376)

$$T_n = \sqrt{9000^2 + 5875^2} = 10724 \text{ Kilogr.}$$

2) Die schlaffen Hängbrücken mit nahe liegenden Lastpunkten.

Rücken die Lastpunkte sehr nahe zusammen, s. Fig. 7, und bezeichnet

q die über die laufende Einheit der Brücke gleichförmig vertheilte Last,

so wird in Gleichung (370) $y_m - y_{m-1} = dy$, $x_m - x_{m-1} = dx$, $V_1 + V_2 + \dots + V_m = gx$, daher

$$dy = \frac{g}{H} \cdot x dx$$

und durch Integration

$$y = \frac{g}{H} \int_0^x x dx = \frac{g}{2H} \cdot x^2. \quad \dots \quad (377)$$

Für $y = f$ und $x = \frac{l}{2}$ erhält man

$$f = \frac{g}{2H} \cdot \left(\frac{l}{2} \right)^2, \quad \dots \quad (378)$$

und hieraus

$$H = \frac{gl^2}{8f} \quad \dots \quad (379)$$

ferner durch Division von (378) in (377)

$$y = 4 \cdot \frac{f}{l^2} x^2. \quad \dots \quad (380)$$

Für die Abscisse x ist die Gesamtbelastung

$$V_x = gx = H \cdot \frac{dy}{dx} \quad \dots \quad (381)$$

und hierin durch Differentiation von (380)

$$\frac{dy}{dx} = 8 \cdot \frac{f}{l^2} \cdot x, \quad \dots \quad (382)$$

mithin die Tangentialspannung im Punkte (x, y)

$$T_x = H \sqrt{1 + \left(\frac{dy}{dx} \right)^2} = H \sqrt{1 + \left(\frac{8fx}{l^2} \right)^2}. \quad (383)$$

und im Punkte $\left(f, \frac{l}{2} \right)$, wenn der Werth von H aus Gleichung (379) eingeführt, die Reihe entwickelt und mit hinreichender Genauigkeit nur das erste und zweite Glied beibehalten wird,

$$T_{\frac{l}{2}} = H \left[1 + \left(\frac{4f}{l} \right)^2 \right]^{1/2} = gl \left(\frac{1}{8f} + \frac{f}{l} \right). \quad (384)$$

Beispiel. Erhält die Kettencurve einer für Straßenverkehr bestimmten Hängbrücke, s. Taf. 8, Fig. 6, von 7,5 Met. Breite und 350 Kilogr. pr. \square Met., also $7,5 \cdot 350 = 2625$ Kilogr. pr. lauf. Met. Verkehrsbelastung, die Spann-

weite $l = 60$ Met. und Pfeilhöhe $f = 10$ Met., so beträgt, wenn das Eigengewicht der ganzen Brücke zu 2375 Kilogr. pr. lauf. Met. angenommen wird, die Totalbelastung des lauf. Meter Tragwand

$$g = \frac{2625 + 2375}{2} = 2500 \text{ Kilogr.}$$

Werden diese Zahlenwerthe eingeführt, so erhält man aus Gleichung (379) bei voller Belastung die Horizontalspannung

$$T_{\frac{1}{2}} = H \sqrt{1 + \left(\frac{4f}{l}\right)^2} = 112500 \sqrt{1 + \left(\frac{4 \cdot 10}{60}\right)^2} = 145225 \text{ Kilogr.}$$

und annähernd

$$T_{\frac{1}{2}} = gl \left(\frac{1}{8f} + \frac{f}{l}\right) = 2500 \cdot 60 \left(\frac{60}{8 \cdot 10} + \frac{10}{60}\right) = 137500 \text{ Kilogr.}$$

Bezeichnet

Q den Querschnitt der Kette am Aufhängpunkte,

s die Zugfestigkeit des Eisens,

$L = l \left(1 + \frac{8f^2}{3l^2}\right)$ die Länge der parabolischen Kette,

γ das Gewicht der Kubikeinheit Eisen,

F den Quadratinhalt der Fahrbahn Tafel,

$p + q$ die ruhende und bewegte Belastung der laufenden Einheit Brücke,

so ist, da die Gesamtbelastung aus dem Gewichte der Ketten und der belasteten Brückenbahn besteht,

$$gl = Q\gamma l \left(1 + \frac{8f^2}{3l^2}\right) + F(p + q).$$

Hieraus erhält man den größten Kettenquerschnitt

$$Q = \frac{F(p + q)}{\frac{8lfs}{l^2 + 8f^2} - \gamma l \left(1 + \frac{8f^2}{3l^2}\right)} \quad (385)$$

$$Q = \frac{84,375(11 + 30)}{\frac{8 \cdot 37,5 \cdot 2,67 \cdot 200}{37,5^2 + 8 \cdot 2,67^2} - 0,25 \cdot 37,5 \left(1 + \frac{8 \cdot 2,67^2}{3 \cdot 37,5^2}\right)} = 32 \text{ } \square''.$$

ein Querschnitt, welcher mit der Ausführung übereinstimmt, da die 4 Tragketten der genannten Brücke je 4 Glieder von je 2" Höhe und 1" Breite, mithin einen Querschnitt

$$Q = 4 \cdot 4 \cdot 2 \cdot 1 = 32 \text{ } \square''$$

besitzen. Legt man diesen Querschnitt zu Grunde, so ergibt sich nach Gleichung (386) umgekehrt die Anspruchnahme der Tragketten

$$s = \left[0,25 \cdot 37,5 \left(1 + \frac{8 \cdot 2,67^2}{3 \cdot 37,5^2} + \frac{84,375}{32} (11 + 30)\right)\right] \left(\frac{37,5}{8 \cdot 2,67}\right) = 200 \text{ Ctr. pr. } \square''.$$

Für die Grenze der Spannweite einer Hängbrücke muß, wie aus Gleichung (385) folgt,

$$\frac{8lfs}{l^2 + 8f^2} < \gamma l \left(1 + \frac{8f^2}{3l^2}\right), \quad (387)$$

mithin $l < \frac{8lfs}{\gamma(l^2 + 8f^2) \left(1 + \frac{8f^2}{3l^2}\right)} < \frac{s}{\gamma} \cdot C. \quad (388)$

$$H = 2500 \cdot \frac{60^2}{8 \cdot 10} = 112500 \text{ Kilogr.}$$

und, wenn $x = \frac{l}{2} = 30$ Met. gesetzt wird, aus Gleichung (381) den Verticaldruck am Aufhängepunkt

$$V_{\frac{1}{2}} = g \cdot \frac{l}{2} = 2500 \cdot 30 = 75000 \text{ Kilogr.}$$

ferner aus Gleichung (384) die daselbst stattfindende Tangentialspannung genau

und, wenn es sich um Prüfung einer ausgeführten oder projectirten Brücke handelt, deren Querschnitt also bekannt ist, die Anspruchnahme des Materials für die Quadrateinheit

$$s = \left[\gamma l \left(1 + \frac{8f^2}{3l^2}\right) + \frac{F}{Q} (p + q)\right] \left(\frac{l}{8f} + \frac{f}{l}\right). \quad (386)$$

Beispiel. Bei der Sophienbrücke in Wien*) ist in österreichisch Maaß und Gewicht $l = 37,5^0$, $f = 2,67^0$,

daher $\frac{f}{l} = \frac{1}{14}$, $b = 2,25^0$, daher $F = bl = 2,25 \cdot 37,5 = 84,375 \text{ } \square^0$, ferner $p = 11 \text{ Ctr. pr. } \square^0$, $q = 30 \text{ Ctr. pr. } \square^0$. Nimmt man das Gewicht eines Ketten-gliedes von 1^0 Länge und $1 \text{ } \square''$ Querschnitt $\gamma = 0,25 \text{ Ctr.}$ und die Zugfestigkeit des Eisens $s = 200 \text{ Ctr. pr. } \square''$ an, so ergibt sich aus Gleichung (385)

sein, wenn der Kürze halber

$$C = \frac{8lf}{(l^2 + 8f^2) \left(1 + \frac{8f^2}{3l^2}\right)} \quad (389)$$

*) Vergl. Rebhann, Theorie d. Holz- und Eisenconstruktionen. Wien 1856.

gesetzt wird. Die äußerste Grenze der Spannweite wird folglich erhalten, wenn

$$l_{\max} = \frac{s}{\gamma} \cdot C \dots (390)$$

Die Pfeilverhältnisse der Hängbrücken bewegen sich in den Grenzen $\frac{f}{l} = \frac{1}{12}$ und $\frac{f}{l} = \frac{1}{18}$, während $s = 7000000$ bis 16000000 Kilogr. pr. □ Met. und $\gamma = 7790$ Kilogr. pr. Rmet. gesetzt werden kann. Hieraus sind für verschiedene Pfeilverhältnisse die folgenden möglichen Spannweiten in Meter berechnet.

$\frac{f}{l}$	C	l_{\max} für $\gamma = 7790$ Kilogr. pr. Rmet.	
		$s = 7000000$ Kilgr.	$s = 16000000$ Kilgr.
$\frac{1}{12}$	0,617	550	1267
$\frac{1}{13}$	0,577	518	1185
$\frac{1}{14}$	0,540	485	1109
$\frac{1}{15}$	0,508	456	1043
$\frac{1}{16}$	0,479	430	984
$\frac{1}{17}$	0,453	407	930
$\frac{1}{18}$	0,430	386	883

Wird die Horizontalspannung durch eine Spannketten mit dem Neigungswinkel φ_1 zum Horizont und der Spannung T_1 ; i. Fig. 8, aufgehoben, während die Tragkette am Aufhängpunkte den Neigungswinkel φ und die Tangentialspannung T besitzt, so sind entweder

a) die Ketten über dem Pfeiler befestigt und in diesem ungewöhnlichen Falle $T_1 = T$ und deren Resultante

$$R = 2T \sin\left(\frac{\varphi + \varphi'}{2}\right), \dots (391)$$

welche mit dem Lothe den Winkel

$$\beta = \frac{\varphi' - \varphi}{2} \dots (392)$$

einschließt, oder es sind wie gewöhnlich

b) die Ketten über dem Pfeiler auf einem Rollenstuhl, i. Fig. 10, oder Pendel, i. Fig. 9, beweglich

und in diesem Falle, wenn H_1 und H bezw. die Horizontalspannung der Spannketten und Tragkette bezeichnet, $H = H'$, mithin

$$T_1 = T \cdot \frac{\cos \varphi}{\cos \varphi_1} \dots (393)$$

Nimmt man als Beispiel die in Fig. 6, Taf. 8, dargestellte Hängbrücke wieder auf, so ergibt sich aus Gleichung (382), wenn darin $x = \frac{1}{2}$ gesetzt wird, die Tangente am Aufhängpunkte

$$\operatorname{tg} \varphi = 4 \frac{f}{l} = 4 \cdot \frac{10}{60} = \frac{2}{3},$$

woraus

$$\cos \varphi = \frac{1}{\sqrt{1 + \operatorname{tg}^2 \varphi}} = \frac{1}{\sqrt{1 + \frac{4}{9}}} = 0,832$$

gefunden wird. Für die Spannketten ist

$$\operatorname{tg} \varphi' = \frac{h_1}{l_1} = \frac{18,7}{23} = 0,813,$$

mithin

$$\cos \varphi' = \frac{1}{\sqrt{1 + \operatorname{tg}^2 \varphi'}} = \frac{1}{\sqrt{1 + 0,813^2}} = 0,776.$$

Da nach der früheren Berechnung die Spannung der Ketten am Aufhängpunkte $T = 10724$ Kilogr. beträgt, so ergibt sich aus Gleichung (393) der Zug in der Spannketten

$$T_1 = 10724 \cdot \frac{0,832}{0,776} = 11496 \text{ Kilogr.}$$

Dieselbe Beziehung findet auch bei Anordnung einer einhüftigen Tragkette an Stelle der Spannketten Statt, in welchem Falle dann T_1 die Tangentialspannung der ersten am Aufhängpunkte dargestellt. Wird T in ähnlicher Weise wie oben $T \frac{1}{2}$ bestimmt, so läßt sich auch für ein bekanntes φ der Werth φ_1 ermitteln.

Durch die größte einseitige Belastung einer unverschieften Hängbrücke entsteht eine Tendenz zur Horizontalverschiebung des Kettenseitels, welche in maximo

$$H_{\max} - H_{\min} = \frac{(p + q)l^2}{8f} - \frac{pl^2}{8f} = \frac{ql^2}{8f} \dots (393)$$

beträgt und welcher durch eine entsprechende Versteifung der Fahrbahn zu begegnen ist. Für eine Tragwand der in Fig. 7, Taf. 8, dargestellten Hängbrücke beträgt dieselbe beispielsweise

$$H_{\max} - H_{\min} = \frac{2625}{2} \cdot \frac{60^2}{8 \cdot 10} = 59063 \text{ Kilogr.}$$

Diese Tendenz zur wagrechten Verschiebung äußert sich bei Annahme eines Rollenstuhls oder umgekehrten Pendels unter den Aufhängpunkten nicht oder nur vermöge der wälzenden oder gleitenden Reibung jener beweglichen Zwischenmittel auf die Pfeiler, insofern dieselben durch die Last der Träger fast ausschließlich in lothrechttem Sinne beansprucht werden. Versteht man unter T und T_1 die größten, bei voller Belastung beider, auf einem Pfeiler ruhenden Trägerhälften eintretenden Kabelspannungen, so ist, wenn φ und φ' die obige Bedeutung behalten, der von denselben auf jeden Pfeiler ausgeübte lothrechte Druck

$$T \sin \varphi + T' \sin \varphi',$$

daher die geringste Stärke des Pfeilers, wenn mit b dessen

Länge, mit c dessen Dicke, mit p die zulässige Pressung der Flächeneinheit seines Baumaterials bezeichnet wird

$$c = \frac{T \sin \varphi + T' \sin \varphi'}{p b}$$

Auf das Anfermauerwerk der Brücke, s. Fig. 6, Taf. 8, wirkt aufwärts die Verticalkraft

$$V = T_1 \sin \varphi_1$$

und seitwärts nach der Brückenöffnung für die Horizontalkraft

$$H = T_1 \cos \varphi_1,$$

welcher ersteren durch eine hinreichende Belastung der Verankerungsplatte mittels Mauerwerk und welcher letzteren durch eine hinreichende Reibung auf der Erdsohle durch Verzahnungen oder Verpfählungen zu begegnen ist. In dem angezogenen Beispiele beträgt

$$\sin \varphi = \sqrt{1 - \cos^2 \varphi_1} = \sqrt{1 - 0,776^2} = 0,6325.$$

daher

$$V = T_1 \sin \varphi_1 = 11496 \cdot 0,6325 = 7271 \text{ Kilogr.}$$

und

$$H = T_1 \cos \varphi_1 = 11496 \cdot 0,776 = 8921 \text{ Kilogr.}$$

Wird die Spann- oder einhüftige Tragfette mit der Maximalspannung T_1 bei DE, Fig. 7, Taf. 8, senkrecht in das Verankerungsmauerwerk hinabgeführt, so hat der Landpfeiler sowohl ein dieser Spannung mindestens gleiches Gegengewicht, als auch ein ihrem Momente mindestens gleiches Stabilitätsmoment zu entwickeln.

Zweiter Abschnitt.

Die steifen Hängbrücken.

I. Allgemeine Anordnung der steifen Hängbrücken.

Um der Hängbrücke eine größere Festigkeit zu geben und sie dadurch vor den nachtheiligen Folgen allzuhastiger Schwankungen der Fahrbahn zu bewahren, hat man entweder

- nur deren Fahrbahn versteift (System Kendel, System Clark, System Köbling),
- nur deren Tragfabel versteift (System Wendelstadt-Schnirch), oder
- die ganze Tragwand der Brücke versteift (System Köpfe).

Nach dieser dritten Anordnung, welche an die Stelle jener combinirten Constructionen die rationellere Anordnung eines homogenen Systems setzt, wird ein, zugleich zur Unterstüzung der Fahrbahn dienender, grader Untergurt mit einem polygonalen Obergurt durch ein aus geneigten oder aus lothrechten und geneigten Stäben bestehendes Dreiecks-

system verbunden. Der so gestaltete Hängträger gleicht dem ähnlich angeordneten, in verticalem Sinne umgedrehten Stützträger und unterliegt, statisch betrachtet, denselben früher entwickelten Bedingungen wie dieser. Hiernach bedürfen auch die beiden steif construirten Bogenhälften dieses Hängträgers einer Unterbrechung ihres oberen Gurtes und, zur Vermeidung nachtheiliger, durch Temperaturwechsel und einseitige Belastungen entstehender Spannungen, beweglicher Verbindungen an ihren Stützpunkten, sowie an ihrer Berührungsstelle.

Auch für die Form des Obergurtes gelten die früher gemachten Voraussetzungen einer annähernd gleichförmig vertheilten Belastung bei entlastetem und voll belastetem Zustande, welcher wieder beziehungsweise der längstandauernde und quantitativ größte ist. Nach der bei der Stützbrücke gegebenen statischen Entwicklung empfiehlt sich daher für den polygonalen Gurt auch hier die Form eines der gemeinen Parabel eingeschriebenen Polygons.

Die Uebertragung der in der Zuggurtung aufgehängter Charnierbrücken entwickelten Spannungen auf die Verankerungsstellen kann entweder durch gerade Spannfetten direct, oder durch polygonal gestaltete Tragketten indirect bewirkt werden. Im letzteren Falle erscheinen die Tragketten als Spannfetten, welche gleichzeitig die Belastung einer Brückenbahn aufnehmen und deshalb mit der nöthigen Versteifung zu versehen sind. Hierdurch werden außer einer oder mehreren Mittelöffnungen zwei Seitenöffnungen, daher außer einem oder mehreren Hauptträgern zwei versteifte Seitenträger bedingt und die parabolische Charnierhängbrücke nimmt die in Fig. 20, Taf. 11, dargestellte Form und Anordnung an. Um die zwischen jenen Mittel- und diesen Seitenöffnungen erforderlichen Tragpfeiler einem Horizontalzuge nicht auszusetzen und zugleich den beiden, hier zusammentreffenden Trägern die erforderliche, durch Belastung und Temperaturveränderung bedingte, verticale Drehbewegung zu gestatten, können die Zuggurtungen jener Träger, wie dies bei der im Herbst 1869 vollendeten, versteiften Charnierbrücke über den Main bei Frankfurt geschehen ist, durch Lagerstühle, oder wie dies bei der über den Bahnhof zu Gotha erbauten Hängbrücke geschehen ist, durch umgekehrte Pendel unterstüzt werden, von welchen sich die ersteren auf Walzen oder Stelzen wagrecht verschieben können und einen großen wagrechten Drehbolzen aufnehmen, um welchen sich die an ihm aufgehängten Gurte in verticalen Ebenen drehen und von welchen sich die letzteren um einen auf dem Pfeiler befestigten Bolzen drehen, während der an ihrem oberen Ende befindliche Bolzen den an ihm aufgehängten Gurten eine ähnliche Drehbewegung gestattet. Unter dieser Voraussetzung werden durch die veränderlichen Belastungen der Mittelträger Drücke auf die lediglich durch ihr eigenes Gewicht belasteten Seitenträger ausgeübt, welche sich nur in der Richtung S, Fig. 1, Taf. 11,

der Verbindungslinien AE und BD ihrer Stützpunkte auf den Landpfeilern mit einem gemeinschaftlichen Drehbolzen äußern können, während die Belastungen der Seitenträger auf die Mittelträger ohne Einfluß bleiben und daher nur auf jene und deren Stützpunkte A und B, siehe Fig. 2, wirken. Die Theorie und statische Berechnung der Seitenträger, welche nicht nur unter dem Einflusse ihrer eigenen Belastung, sondern auch unter der Einwirkung der Mittelträgerbelastung stehen, weicht daher von derjenigen der Mittelträger ab, welche nur von ihrer eigenen Belastung angegriffen werden.

II. Statische Berechnung eines Seitenträgers der Charnierhängebrücken.

1) Bestimmung der Spannungen Z in den einzelnen Theilen des polygonalen Zugbandes.

a) Bei voller Belastung.

Bezeichnet

Z_m die Spannung des mten Polygonstückes mit dem Hebelarm z_m ,

b_m die Länge des mten Polygonstückes,

H die horizontale } Componente des vom Mittelträger in
V die verticale } der Richtung AE auf den Seiten-

T den Gegendruck im Stützpunkt E, s. Fig. 1,

n die Felderzahl des Seitenträgers,

λ die Feldlänge " "

f die Pfeilhöhe " "

k die Höhe des Trägers im Scheitel,

$p + q$ die volle Belastung durch Eigengewicht und Verkehr pro Knotenpunkt des Seiten- und Hauptträgers

so besteht für das beliebige mte Feld die Momentengleichung

$$Z_m z_m - Hk - Vm\lambda + Tm\lambda - q\lambda(1 + 2 + \dots + (m - 1)) = 0, \dots (394)$$

worin H, V, T und z_m noch unbekannt und wie folgt zu ermitteln sind. Mit Bezug auf den Stützpunkt A als Drehpunkt, siehe Fig. 1, erhält man bei voller Belastung

$$-Hf + (p + q)\lambda \left(1 + 2 + \dots + (n - 1) + \frac{n}{2} \right) = 0,$$

und hieraus, wenn die Reihe summiert wird,

$$H = \frac{n^2}{2} (p + q) \frac{\lambda}{f}; \dots (395)$$

ferner

$$-V \cdot n\lambda + Hf = 0,$$

und hieraus, wenn man den Werth von Hf einführt,

$$V = \frac{n}{2} (p + q), \dots (396)$$

endlich

$$Tn\lambda - (p + q)\lambda(1 + 2 + \dots + (n - 1)) = 0,$$

und hieraus, wenn die Reihe summiert wird,

$$T = \frac{(n - 1)}{2} (p + q). \dots (397)$$

Aus der Proportion

$$\frac{z_m}{k + y_m} = \frac{\lambda}{b_m}$$

folgt, wenn die Parabelordinate $y_m = f \frac{m^2}{n^2}$ gesetzt wird,

$$z_m = \left(k + f \cdot \frac{m^2}{n^2} \right) \frac{\lambda}{b_m}, \dots (398)$$

worin die Länge des mten Polygonstückes nach Gleichung (254)

$$b_m = \sqrt{\lambda^2 + \left(\frac{(2m - 1)f}{n^2} \right)^2} \dots (399)$$

gefunden wird.

Werden die Werthe von H, V, T und z_m aus den ihnen zugehörigen Gleichungen (395), (396), (397) und (398) in Gleichung (394) eingeführt und reducirt, so ergibt sich

$$Z_m = \frac{n^2}{2} (p + q) \frac{b_m}{f}. \dots (400)$$

Hiernach beträgt die Spannung im mten Polygonstück des vollbelasteten Seitenträgers genau ebensoviel, als die Spannung im mten Polygonstück des gleichfalls vollbelasteten Hauptträgers, woraus nach der früheren Schlussfolgerung hervorgeht, daß bei voller Belastung auch die polygonale Gurtung des Seitenträgers der Charnierbrücke diese ganze Last allein auf die festen Stützpunkte überträgt. Derjenige Theil Z_m^p jener Spannung Z_m , welcher durch das eigene Gewicht allein hervorgerufen wird, in welchem Falle in Gleichung (400) $q = 0$ zu setzen ist, beträgt mithin

$$Z_m^q = p \cdot \frac{n^2}{2} \cdot \frac{b_m}{f}, \dots (401)$$

während der in diesem Falle durch die Verkehrsbelastung im mten Polygonglied erzeugte Antheil an der Spannung

$$Z_m^p = q \cdot \frac{n^2}{2} \cdot \frac{b_m}{f} \dots (402)$$

beträgt.

b) Bei der größten einseitigen Belastung.

Führt man einen Schnitt $\alpha\beta$, s. Fig. 3, durch das mte Feld des Seitenträgers und bezeichnet mit

Z_m die von der Verkehrsbelastung q pro Knotenpunkt herrührende Spannung des mten Polygonstückes,

z_m deren Hebelarm in Bezug auf den Schnittpunkt D, S den von dem Mittelträger in der Richtung AE auf den Seitenträger ausgeübten Druck,

T den, durch eine Belastung des links von dem Schnitt $\alpha\beta$ gelegenen Seitenträgerstückes bei D erzeugten, verticalen Gegendruck,

U den, durch eine Belastung des rechts von dem Schnitt $\alpha\beta$ gelegenen Seitenträgers bei D erzeugten, verticalen Gegendruck,

s, t und u beziehungsweise die Hebelsarme der Drücke S, T und U,

so besteht für das linke Seitenträgerstück mit dem Drehpunkt D, s. Fig. 3^a, die Momentengleichung

$$Z_m z_m - Ss + Tt = 0, \text{ woraus } Z_m z_m = Ss - Tt$$

und für das rechte Seitenträgerstück mit dem Drehpunkt D, s. Fig. 3^b, die Momentengleichung

$$- Z_m z_m + Ss - Uu = 0, \text{ woraus } Z_m z_m = Ss - Uu.$$

In diesen beiden Gleichungen hat das Moment von S mit dem von Z_m das entgegengesetzte Vorzeichen, eine Belastung des Mittelträgers bringt mithin einen Zug in dem mten Polygonstück hervor. Dagegen haben die Momente von T und U mit demjenigen von Z_m das gleiche Vorzeichen, jede Belastung des Seitenträgers erzeugt mithin einen Druck in demselben Polygonstück. Die größte Druckspannung des letzteren entsteht also bei voller Belastung des Seitenträgers, die größte Zugspannung bei voller Belastung des Mittelträgers. Beide Belastungszustände sind in Fig. 4 dargestellt.

Nimmt man den Mittelträger belastet an und behalten H und V ihre frühere Bedeutung, so ist mit Bezug auf den Drehpunkt D und die Bezeichnungen der Figur 5

$$Z_m z_m - Hk - Vm\lambda = 0. \quad (403)$$

Bei voller Belastung der Mittelbrücke ergibt sich, wenn nur die Verkehrsbelastung q pro Knotenpunkt in Betracht gezogen wird, aus Gleichung (395)

$$H = \frac{n^2}{2} \cdot q \cdot \frac{\lambda}{f} \quad (404)$$

und aus Gleichung (396)

$$V = \frac{n}{2} \cdot q \quad (405)$$

$$- X_m x_m + H y_{m-1} - V(m-1)\lambda + T(m-1)\lambda - \lambda q(1 + 2 + \dots + (m-2)) = 0$$

und wenn die Werthe H, V, T und y_{m-1} beziehungsweise aus den Gleichungen (395), (396), (397) und (266) eingeführt werden, nach Summirung der letzteren Reihe:

$$X_m x_m = \frac{(p + q)\lambda}{2} \left((m-1)^2 - n(m-1) + (n-1)(m-1) - (m-1)(m-2) \right)$$

und hieraus nach einiger Reduction

$$X_m = 0. \quad (409)$$

Aus Gleichung (409) folgt, daß die horizontalen Gurtungsstücke des Seitenträgers bei voller Belastung der Brücke ohne Spannung sind, daß mithin

1) das gleichförmig vertheilte Eigengewicht

Werden diese Werthe von H und V in die Gleichung (403) eingeführt, so ergibt sich

$$Z_m^{\max} = \frac{n\lambda q}{2z_m} \left(\frac{nk}{f} + m \right),$$

und hieraus, wenn der Werth z_m aus Gleichung (398) eingeführt und aus Gleichung (401) die von dem Eigengewicht herrührende Spannung hinzugefügt wird, nach einiger Reduction:

$$Z_m^{\max} = \frac{n^2 \cdot b_m}{2f} \left(\frac{n^2 k + fm n}{n^2 k + fm^2} \cdot q + p \right). \quad (406)$$

Die größte Zugspannung ergänzt die größte Druckspannung Z_m^{\min} zu der durch Gleichung (402) dargestellten, durch die volle Verkehrsbelastung des Seitenträgers in dessen mtem Polygonstück erzeugten Spannung, daher ist

$$Z_m^{\min} = \frac{n^2}{2} \cdot \frac{b_m}{f} \cdot q - Z_m^{\max}, \quad (407)$$

und, wenn der Werth von Z_m^{\max} aus Gleichung (406) eingeführt und reducirt wird,

$$Z_m^{\min} = \frac{n^2}{2} \cdot \frac{b_m}{f} \left(p - \frac{fm(n-m)}{n^2 k + fm^2} q \right), \quad (408)$$

worin der Werth von b_m aus Gleichung (399) zu entnehmen ist.

2) Bestimmung der Spannungen X in den einzelnen Theilen der horizontalen Gurtung.

a) Bei voller Belastung.

Bezeichnet, wie früher:

X_m die Spannung des mten horizontalen Gurtungsstückes, x_m deren Hebelsarm,

y_{m-1} die Ordinate des (m-1)ten Knotenpunktes der Parabel,

k die Höhe des Trägers im Scheitel,

während n, λ , f, p und q ihre frühere Bedeutung behalten, so ergibt sich für das mte Feld und in Bezug auf den Durchschnittspunkt der mitdurchschnittenen Diagonal- und Polygonstange die Momentengleichung

auf die Spannung der horizontalen Gurtung ohne Einfluß bleibt, und daß

2) die Spannungen X_m^{\max} und X_m^{\min} , welche sich bei voller Belastung zu jener Spannung 0 ergänzen, numerisch gleich und nur hinsichtlich ihres Vorzeichens verschieden sind.

Bei Bestimmung der Spannungen in den horizontalen Gurtungsstücken durch die größten einseitigen Belastungen ist es daher ausreichend, nur die Maximal- oder Minimalspannung zu ermitteln.

b) Bei der größten einseitigen Belastung.

Führt man einen Schnitt $\alpha\beta$, s. Fig. 6, durch das mte Feld des Seitenträgers und bezeichnet mit

X_m die von der Verkehrsbelastung herrührende Spannung des mten Stückes der horizontalen Gurtung mit dem Hebelsarme x_m ,

S den von dem Mittelträger herrührenden Druck auf den Seitenträger,

T den durch eine Belastung des links von dem Schnitt $\alpha\beta$ gelegenen Seitenträgerstückes erzeugten Gegendruck,

U den durch eine Belastung des rechts von dem Schnitt $\alpha\beta$ gelegenen Seitenträgerstückes erzeugten Gegendruck,

s, t und u beziehungsweise die Hebelsarme der Drucke S, T und U,

so besteht für das linke Seitenträgerstück und den Drehpunkt D, s. Fig. 6^a, die Momentengleichung

$$-V_m x_m - S s + T t = 0, \text{ woraus } X_m x_m = -S s + T t,$$

ferner für das rechte Seitenträgerstück und den Drehpunkt D, s. Fig. 6^b, die Momentengleichung

$$+X_m x_m + S s - U u = 0, \text{ woraus } X_m x_m = -S s + U u.$$

Hierin hat das Moment von S mit dem von X_m das gleiche Vorzeichen, eine Belastung des Mittelträgers bringt mithin einen Druck in dem mten horizontalen Gurtungsstück hervor, dagegen haben die Momente von T und U das entgegengesetzte Vorzeichen von X_m , jede Belastung des Seitenträgers erzeugt mithin einen Zug in demselben Gurtungsstücke. Die größte Zugspannung des letzteren entsteht daher bei voller Belastung des Seitenträgers, während

$$Y_m y_m - H k + V \cdot v_m - T \cdot v_m + (p + q) \left[\frac{v_m}{2} + (v_m + \lambda) + (v_m + 2\lambda) + \dots + (v_m + (m-1)\lambda) \right] = 0. \quad (413)$$

Hierin ist mit Bezug auf A als Drehpunkt

$$T n \lambda - (p + q) \left[1 + 2 + \dots + (n-1) + \frac{n}{3} \right] \lambda = 0,$$

woraus

$$T = (p + q) \frac{n}{2} \dots \dots (414)$$

$$Y_m y_m = (p + q) \left[-\frac{n^2}{2} \cdot \frac{\lambda}{f} k + v_m \frac{(2m-1)}{2} + \frac{m(m-1)}{2} \lambda \right] = 0, \dots \dots (415)$$

worin

$$v_m = w_m - m \lambda$$

und

$$w_m = (k + y_m) \frac{\lambda}{y_m - y_{m-1}} = \left(k + f \frac{m^2}{n^2} \right) \frac{\lambda}{f \frac{m^2}{n^2} - f \frac{(m-1)^2}{n^2}} = \frac{n^2 k + m^2 f}{f(2m-1)} \lambda; \dots \dots (416)$$

der Mittelträger unbelastet bleibt, die größte Druckspannung desselben bei voller Belastung des Mittelträgers, während der Seitenträger unbelastet bleibt. Beide Belastungszustände sind in Fig. 7 dargestellt.

Für den letzteren Belastungszustand und das links von $\alpha\beta$ gelegene Seitenträgerstück, siehe Fig. 8, ergibt sich die Momentengleichung

$$-X_m x_m + H y_{m-1} - V(m-1)\lambda = 0,$$

worin H und V die in Gleichung (6) und (7) enthaltenen Werthe haben. Werden dieselben, sowie die Werthe

$$x_m = k + y_{m-1} = k + f \left(\frac{m-1}{n} \right)^2 \quad (410)$$

eingeführt und reducirt, so ergibt sich

$$X_m^{\min} = -\frac{n^2}{2} \cdot \frac{(m-1)(n-m+1)}{n^2 k + f(m-1)^2} \cdot q \lambda = -S, \quad (411)$$

mithin nach dem Früheren

$$X_m^{\max} = +S. \dots \dots (412)$$

3) Bestimmung der Spannungen Y in den Diagonalfstäben.

a) Bei voller Belastung.

Führt man den Schnitt $\alpha\beta$ durch das beliebige mte Feld und bezeichnet mit

Y_m die Spannung des Diagonalfstabes im mten Feld, mit y_m deren Hebelsarm für den Durchschnittspunkt D der

beiden mitdurchschnittenen Stangen als Drehpunkt, mit v_m den Abstand des Drehpunktes vom Trägermittel, mit T den vollen Gegendruck im Stützpunkte E, während H und V die durch Gleichung (495) und (496) dargestellten Werthe haben, so erfordert das Gleichgewicht gegen Drehung um den Durchschnittspunkt D der mit durchschnittenen Stangen, daß

ein Werth, welcher mit dem von V übereinstimmt. Da beide Drücke auch gleiche Hebelsarme haben, so fallen deren Momente in Gleichung (413) weg und man erhält aus derselben, wenn der Werth von H eingeführt und summiert wird,

mithin

$$v_m = \lambda \left(\frac{n^2 k + m^2 f}{f(2m - 1)} - m \right) = \lambda \left(\frac{n^2 k - m(m - 1)f}{f(2m - 1)} \right) \dots \dots \dots (417)$$

Wird letzterer Werth in Gleichung (415) eingeführt und durch y_m dividirt, so ergibt sich

$$Y_m = \frac{(p + q)\lambda}{2y_m} \left[-n^2 \frac{k}{f} + \frac{n^2 k - m(m - 1)f}{f} + m(m - 1) \right] = 0 \dots \dots \dots (418)$$

Aus Gleichung (418) folgt,

1) daß jede volle oder auch nur gleichförmig vertheilte Belastung, wie das Eigengewicht, auf die Spannung der Diagonalstäbe ohne Wirkung bleibt, weshalb auch bei Berechnung der durch die größten einseitigen Belastungen erzeugten Grenzspannungen der Diagonalstäbe die Belastung durch Eigengewicht unberücksichtigt bleiben kann,

2) daß zwei Belastungen, welche sich zur vollen Belastung ergänzen, successive zwei Spannungen hervorrufen, welche quantitativ gleich und nur durch ihre Vorzeichen verschieden sind, weshalb nur eine derselben numerisch zu bestimmen bleibt.

b) Bei den größten einseitigen Belastungen.

Bei Bestimmung derjenigen größten einseitigen Belastungen, welche die Grenzspannungen in den Diagonalstäben erzeugen, sind drei Fälle zu unterscheiden, je nachdem der durch die beiden, mit dem zu untersuchenden Diagonalstab gleichzeitig durchschnittenen, Stäbe bedingte Drehpunkt D, 1) wie in Fig. 11, links von dem Durchschnittspunkt F der Druckrichtung AE mit der wagrechten Gurtung liegt, in welchem Falle $A'D > A'F$, oder 2) wie in Fig. 13 zwischen diesem Punkt F und dem Punkt E' unter dem Scheitel, in welchem Falle $A'D < A'F$ und $> A'E'$ ist, oder endlich 3) wie in Figur 15, zwischen diesen Punkt E' und den Punkt A, unter dem Bogenanfang fällt, in welchem Falle $A'D < A'E'$ ist. Der Abstand $A'D$ des Drehpunktes S ergibt sich allgemein aus $(n - m)\lambda + w_m$, worin w_m den durch

$$Y_m y_m - Hk + V v_m + q[(v_m + \lambda) + (v_m + 2\lambda) + \dots + (v_m + (m - 1)\lambda)] - T v_m = 0, \dots (420)$$

worin H und V den in Gleichung (404) und (405), v_m den in Gleichung (417) enthaltenen Werth besigt, während sich aus einer einfachen Proportion

$$y_m = w_m \frac{k + y_{m-1}}{d_m} = \frac{(n^2 k + m^2 f)\lambda}{(2m - 1)f} \cdot \frac{k + f \frac{(m - 1)^2}{n^2}}{d_m} = \frac{(n^2 k + m^2 f)(n^2 k + f(m - 1)^2)}{f(2m - 1)n^2 \cdot d_m} \cdot \lambda, \dots (421)$$

worin

$$d_m = \sqrt{\lambda^2 + (k + y_{m-1})^2} = \sqrt{\lambda^2 + \left(k + f \frac{(m - 1)^2}{n^2} \right)^2} \dots \dots \dots (422)$$

zu setzen ist, und aus der Momentengleichung

$$T n \lambda - q \lambda [(n - 1) + (n - 2) + \dots + (n - (m - 1))] = 0$$

der Auflagerdruck

$$T = q \cdot \frac{(m - 1)(2n - m)}{2n}$$

Gleichung (275) gegebenen Werth hat, während der Abstand $E'F = \frac{1}{2} \cdot \frac{k}{f}$, mithin $A'F = \frac{1}{2} \left(1 + \frac{k}{f} \right)$ ist.

Erster Fall. Fällt der Drehpunkt D links von dem Durchschnittspunkt F der Druckrichtung AE mit der wagrechten Gurtung, so ist

$$(n - m)\lambda + w_m > \frac{1}{2} \left(1 + \frac{k}{f} \right) \dots (419)$$

Führt man den Schnitt $\alpha\beta$, s. Fig. 9, durch das beliebige mte Feld, welches vorstehender Bedingung noch entspricht, so ersieht sich aus der Figur, daß jede Belastung der Mittelbrücke im Punkte E einen Druck S erzeugt, welcher die gleiche Drehungsrichtung hat, wie die Spannung Y_m des Diagonalstabes desselben Feldes, mithin da diese rechts dreht, zur Spannung Y_m einen negativen Antheil liefert. Jede Belastung der Mittelbrücke erzeugt daher in dem betrachteten mten Diagonalstab eine Druckspannung. Jede Belastung des Trägerstückes $A\alpha\beta$ erzeugt in E einen Gegendruck T, welcher links dreht, während Y_m rechts dreht, wirkt mithin auf Zug des mten Diagonalstabes. Jede Belastung des Trägerstückes $E\alpha\beta$ erzeugt in A einen Gegendruck U, welcher links dreht, während Y_m ebenfalls links dreht, wirkt mithin wieder auf Druck des mten Diagonalstabes. Hiernach wird der Schnitt $\alpha\beta$ zu einer Belastungsscheide und es ergeben sich die in Fig. 10 dargestellten drei Belastungsabtheilungen, wovon zwei einen Druck erzeugen und eine auf Zug wirkt.

Mit Bezug auf Fig. 11 erhält man alsdann, wenn nur die beiden Druckabtheilungen berücksichtigt werden und $w_m - m\lambda = v_m$ gesetzt wird,

ergiebt. Werden die Werthe von H , V und T eingeführt, summirt, durch y_m dividirt und reducirt, so erhält man

$$Y_m^{\min} = - \frac{q}{y_m} \left[v_m \left(\frac{n^2 + m(m-1)}{2n} \right) + \frac{m(m-1)}{2} \lambda - \frac{n^2}{2} \cdot \frac{\lambda k}{f} \right] = - T_m. \quad (423)$$

Für das 1^{te} Feld, welches der Bedingung (418) entspricht, fallen selbstverständlich die Belastungen links von dem Schnitt $\alpha\beta$, sammt deren Auflagerbrücken, mithin in Gleichung (419) die beiden letzten Glieder weg und man erhält

$$Y_1^{\min} y_1 - Hk + Vv_1 = 0. \quad (424)$$

woraus nach Einführung der Werthe von H und V

$$Y_1^{\min} = - \frac{q}{y_1} \left(\frac{n}{2} v_1 - \frac{n^2}{2} \cdot \frac{\lambda k}{f} \right), \quad (425)$$

mithin, wenn in Gleichung (417) $m = 1$ gesetzt und der so erhaltene Werth

$$v_1 = \frac{n^2 \cdot k \lambda}{f} \quad (426)$$

in Gleichung (424) eingesetzt wird,

$$Y_1^{\min} = - \frac{q}{y_1} \cdot \frac{n^2 \lambda k}{2f} (n-1) = - T_1. \quad (427)$$

folgt. Nach der früher gezogenen Schlussfolgerung erhält man nun

$$Y_m^{\max} = T_m \quad (428)$$

und

$$Y_1^{\max} = T_1 \quad (429)$$

$$Y_m y_m^{\min} - T v_m + q[(v_m + \lambda) + (v_m + 2\lambda) + \dots + (v_m + (m-1)\lambda)] = 0, \quad (431)$$

worin T den durch Gleichung (422) dargestellten Werth hat. Wird dieser Werth eingeführt und summirt, so erhält man

$$Y_m^{\min} y_m - q \cdot \frac{(m-1)(2n-m)}{2n} v_m + q \left[(m-1)v_m + \frac{m(m-1)}{2} \lambda \right] = 0,$$

mithin, wenn der Werth von v_m aus Gleichung (417) eingeführt, durch y_m dividirt und reducirt wird,

$$Y_m^{\min} = - \frac{m(m-1)}{2n} \cdot \frac{\lambda}{y_m} \cdot q \left(n + \frac{n^2 k - fm(m-1)}{f(2m-1)} \right) = - U, \quad (432)$$

mithin nach dem Früheren auch

$$Y_m^{\max} = U. \quad (433)$$

Dritter Fall. Fällt der Drehpunkt D zwischen den Punkt E_1 unter dem Scheitel und den Punkt A_1 unter dem Bogenanfang, so ist

$$(n-m)\lambda + w_m < \frac{1}{2}. \quad (434)$$

Hier bleibt die Drehungsrichtung des von einer Belastung der Mittelbrücke auf den Punkt D ausgeübten Druckes S dieselbe wie im vorigen Falle. Da mithin S links und Y_m rechts dreht, so übt jede Belastung der Mittelbrücke auf den m ten Diagonalstab einen Zug aus. Dagegen bringt nunmehr jede Belastung des Stückes $A\alpha\beta$ einen Druck D hervor, welcher rechts dreht, mithin, da Y_m ebenfalls rechts

Zweiter Fall. Fällt der Drehpunkt D zwischen den Durchschnittspunkt F der Druckrichtung AE mit der wagrechten Gurtung und den Punkt E_1 unter dem Scheitel, so ist

$$(n-m)\lambda + w_m < \frac{1}{2} l \left(1 + \frac{k}{f} \right). \quad (430)$$

In diesem Falle verwandelt sich nun die Drehungsrichtung des von einer Belastung der Mittelbrücke auf den Punkt D ausgeübten Druckes R in die entgegengesetzte, da sie nunmehr um den durch den Durchschnittspunkt des verlängerten m ten Polygonstückes mit der geraden Gurtung gegebenen Drehpunkt D links, während Y_m rechts dreht. Jede Belastung der Mittelbrücke übt daher auf den m ten Diagonalstab einen Zug aus. Die Belastungen rechts und links von dem Schnitt $\alpha\beta$ bringen aus den bei Betrachtung des vorhergehenden Falles angeführten Gründen beziehungsweise einen Druck und einen Zug auf den betrachteten Diagonalstab hervor, weshalb sich die in Fig. 12 dargestellten Belastungsabtheilungen bilden. Behält man nun die Druckabtheilung bei, so ergibt sich mit Bezug auf Fig. 13

dreht ein negatives Glied in die Gleichung liefert und in dem m ten Diagonalstab eine Druckspannung erzeugt. Da jede Belastung des Stückes $E\alpha\beta$ einen Druck U hervorbringt, welcher links dreht, mithin da Y_m ebenfalls links dreht, ein negatives Glied in die Gleichung für Y_m liefert, mithin in dem betrachteten Diagonalstab ebenfalls eine Druckspannung erzeugt. Auf diese Weise bilden sich die in Fig. 14 dargestellten Belastungsabtheilungen.

Behält man nun die volle Belastung der Mittelbrücke bei, so ergibt sich mit Bezug auf Fig. 15

$$Y_m^{\max} y_m - Hk - V(m\lambda - w_m) = 0, \quad (435)$$

worin H , V und w_m die in den Gleichungen (404), (405) und (416) enthaltenen Werthe haben. Werden dieselben in Gleichung (435) eingesetzt und durch y_m dividirt, so ergibt sich

$$Y_m^{\max} = \frac{n}{2} \cdot \frac{\lambda}{y_m} \cdot q \left[n \cdot \frac{k}{f} + m - \frac{n^2 k + fm^2}{f(2m-1)} \right] = \frac{n}{2} \cdot \frac{\lambda}{f} \cdot \frac{q}{y_m} \left[\frac{nk(m-n-1) + m(m-1)f}{2m-1} \right] = S, \quad (436)$$

woraus nach dem Früheren folgt:

$$Y_m^{\min} = -S \dots \dots (437)$$

4. Bestimmung der Spannungen W in den Verticalstäben.

a) Bei voller Belastung.

Führt man den Schnitt $\alpha\beta$ durch das beliebige m te Feld und bezeichnet mit

$$-W_m w_m - Hk + V v_m - T v_m + (p + q) \left[\frac{v_m}{2} + (v_m + \lambda + (v_m + 2\lambda + \dots (v_m + m\lambda)) \right] = 0. \quad (438)$$

Hierin ist nach Gleichung (396) und (414) $V = T$, mithin verschwinden deren Momente und man erhält, wenn

$$-W_m w_m - \frac{n^2}{2} \left(\frac{\lambda k}{f} + (p + q) \left[\frac{(2m + 1)}{2} v_m + \frac{m(m + 1)}{2} \lambda \right] \right) = 0,$$

woraus, wenn der Werth v_m aus Gleichung (417) eingeführt und durch w_m dividirt wird, folgt:

$$W_m = -\frac{\lambda(p + q)}{2 w_m} \left[\frac{n^2 k}{f} - \frac{n^2 k + m(m - 1)f}{(2m - 1)f} (2m + 1) - m(m + 1) \right].$$

Setzt man aus Gleichung (416) den Werth von w_m ein und reducirt, so erhält man

$$W_m = (p + q) \dots \dots (439)$$

woraus folgt:

1) daß bei voller Belastung der Brücke auch jeder Verticalpfosten des Seitenträgers einer Spannung ausgesetzt ist, welche der vollen Belastung je eines Knotenpunktes numerisch gleich ist, daß ferner für $q = 0$ jeder Verticalpfosten einen Druck erfährt, welcher der Belastung p durch das Eigengewicht pro Knotenpunkt entspricht. Hieraus folgt, daß das Eigengewicht bei Berechnung der Grenzspannungen vorläufig ganz außer Acht gelassen werden kann, wenn jeder berechneten Grenzspannung nachträglich die durch das Eigengewicht veranlaßte Zugspannung hinzugefügt wird.

Wenn man sich die Hälfte $\frac{P}{2}$ desselben in dem oberen, die andere Hälfte $\frac{P}{2}$ in dem unteren, in der Fahrbahn gelegenen Endpunkte des Pfostens angreifend denken kann, wodurch derselbe eine Zugspannung $\frac{P}{2}$ erfährt, so ist alsdann jeder berechneten Grenzspannung der Werth $\frac{P}{2}$ hinzuzufügen.

2) daß, wenn bei der vollen Belastung des Trägers jeder Verticalpfosten eine Spannung q durch den Verkehr erfährt, eine durch diesen Verkehr hervorgebrachte Grenzspannung die andere zu q ergänzen muß, oder daß die Beziehung besteht

$$W_m^{\max} + W_m^{\min} = q \dots \dots (440)$$

W_m die Spannung des m ten Verticalstabes, mit

w_m deren Hebelarm für den Durchschnittspunkt der mit durchschnittenen Stangen, mit

v_m den Abstand des Drehpunktes vom Trägermittel, während H , V und T die sub 3^a angegebene Bedeutung haben, so erfordert das Gleichgewicht gegen Drehung um D , daß

der Werth von H eingeführt und der Factor von $p + q$ summiert wird:

Es genügt daher auch hier die Berechnung nur einer, von der Verkehrsbelastung herrührenden Grenzspannung, um die andere unmittelbar daraus abzuleiten.

b) Bei den größten einseitigen Belastungen.

Bei Ermittlung derjenigen größten einseitigen Belastungen, welche die Grenzspannungen in den Verticalpfosten erzeugen, sind dieselben drei Fälle zu unterscheiden, welche bei Bestimmung der Grenzspannungen in den Diagonalen unterschieden worden sind.

Wie ein Blick auf die Figur 17 lehrt, kommt das Moment dieser Spannungen als negatives Glied — also mit dem entgegengesetzten Zeichen, wie das Moment der Grenzspannungen in den Diagonalstäben — in die Momentengleichung, während die Vorzeichen aller übrigen Glieder unverändert bleiben. Es folgt hieraus, daß die Wirkungen auf Zug oder Druck der Verticalstäbe in allen drei Fällen die entgegengesetzten derer sein müssen, welche unter 3^b gefunden wurden. Aus derselben Figur erkennt man ferner, daß die Lage des Drehpunktes für jeden m ten Verticalstab dieselbe bleibt, wie für jeden m ten Diagonalstab, und daß sich wegen der geneigten Lage der Schnittlinie, beziehungsweise Belastungsscheide $\alpha\beta$ nur die Zahl der als belastet anzunehmenden Knotenpunkte in den entsprechenden Fällen um einen ändert und zwar, wenn das links von dem Schnitt $\alpha\beta$ befindliche Trägerstück in Betracht gezogen wird, um einen vermehrt. Hiernach ergeben sich aus den sub 3^b entwickelten und in Fig. 10, 12 und 14 dargestellten Belastungsweisen die im Folgenden anzunehmenden Belastungen durch Führung des schrägen Schnittes $\alpha\beta$ und Vertauschung der Beziehungen max. mit min. und min. mit max., wie dies

z. B. für die beiden ersten Fälle in den Figuren 16 und 18 dargestellt ist.

Erster Fall.

$$(n - m)\lambda + w_m > \frac{1}{2} \left(1 + \frac{k}{f} \right).$$

Nach dem vorher Gesagten wirkt hier, nach Fig. 16, jede

$$- W_m w_m - Hk + V v_m - T v_m + q[(v_m + \lambda) + (v_m + 2\lambda) + \dots (v_m + m\lambda)] = 0, \dots (441)$$

Hierin ist mit Bezug auf den Punkt A_1 als Drehpunkt

$$T n \lambda - q \lambda [(n - 1) + (n - 2) + \dots (n - m)] = 0,$$

woraus, wenn summirt und reducirt wird,

$$T = \frac{m(2n - m - 1)}{2n} \cdot q. \dots (442)$$

$$W_m^{\max} = \frac{q}{w_m} \left[(w_m - m\lambda) \left(\frac{n}{2} + \frac{m(m+1)}{2n} \right) + \frac{m(m+1)}{2} \lambda - \frac{n^2}{2} \frac{\lambda k}{f} \right] = qA, \dots (443)$$

mithin, wenn der Factor von q der Kürze halber A gesetzt wird, nach der obigen Schlussfolgerung und Gleichung (440)

$$W_m^{\min} = q - q \cdot A = -q(A - 1), \dots (444)$$

und wenn das Eigengewicht berücksichtigt wird,

$$W_m^{\max} = qA + \frac{p}{2} \dots (445)$$

und

$$W_m^{\min} = -q(A - 1) + \frac{p}{2}. \dots (446)$$

Der Pfosten in der Mitte des Trägers erfährt höchstens die Zugspannung der auf ihm ruhenden vollen Belastung $\frac{p+q}{2}$, und wenn das Eigengewicht wieder zur Hälfte oben, zur Hälfte unten angreifend gedacht, d. h. hierin $\frac{p}{2}$ statt p gesetzt wird, die größte Zugspannung

$$- W_m^{\max} w_m - T v_m + q[(v_m + \lambda) + (v_m + 2\lambda) + \dots (v_m + m\lambda)] = 0. \dots (448)$$

Hierin ist mit Bezug auf den Punkt A_1 als Drehpunkt

$$T n \lambda - q \lambda [(n - 1) + (n - 2) + \dots (n - m)] = 0,$$

woraus, wenn summirt und reducirt wird,

$$T = \frac{q}{n} \cdot \frac{m(2n - m - 1)}{2} \dots (449)$$

Wird dieser Werth in Gleichung (448) eingeführt und $w_m - m\lambda$ statt v_m gesetzt, so ergibt sich, wenn durch w_m dividirt und reducirt wird,

$$W_m^{\max} = \frac{q}{w_m} \cdot \frac{m(m+1)}{2n} (w_m + (n - m)\lambda) = qB, (450)$$

wenn der Factor von q der Kürze halber B gesetzt wird, mithin nach Gleichung (440)

$$W_m^{\min} = q - qB = -q(B - 1), \dots (451)$$

und wenn das Eigengewicht berücksichtigt wird,

Belastung der Mittelbrücke, sowie der Seitenbrücke links vom Schnitt $\alpha\beta$ auf Zug, dagegen jede Belastung der Seitenbrücke rechts vom Schnitt $\alpha\beta$ auf Druck des m ten Verticalstabes. Behält man nur die ersteren Belastungen bei, so erzeugen sie die größte Zugspannung jenes Stabes. Unter Hinweis auf Fig. 17 ergibt sich alsdann die Gleichung

Wird vorstehender Ausdruck, sowie der Werth H und V aus Gleichung (404) und (405) in Gleichung (440) eingeführt, $w_m - m\lambda$ statt v_m gesetzt und durch w_m dividirt, so ergibt sich

$$W_0^{\max} = \frac{\frac{p}{2} + q}{2} = \frac{1}{2} \left(\frac{p}{2} + q \right). \dots (447)$$

Zweiter Fall.

$$(n - m)\lambda + w_m < \frac{1}{2} \left(1 + \frac{k}{f} \right) > \frac{1}{2}.$$

Nach Figur 8 wirkt hier jede Belastung der Mittelbrücke, sowie das rechts vom Schnitt $\alpha\beta$ gelegene Stück der Seitenbrücke auf Druck, dagegen jede Belastung des links vom Schnitt $\alpha\beta$ gelegenen Stückes der Seitenbrücke auf Zug des m ten Verticalstabes. Behält man die auf Zug wirkende Belastung bei, so ergibt sich die der Gleichung (431) analoge Beziehung

$$W_m^{\max} = qB + \frac{p}{2} \dots (452)$$

und

$$W_m^{\min} = -q(B - 1) + \frac{p}{2}. \dots (453)$$

Dritter Fall.

$$(n - m)\lambda + w_m < \frac{1}{2}.$$

kehrt man in Fig. 14 die Bezeichnung $\max.$ in $\min.$ und $\min.$ in $\max.$ um, so erhält man die Belastungszustände, welche in dem vorliegenden Falle die größten Anstrengungen des m ten Verticalstabes bedingen. Die volle Belastung der Mittelbrücke bringt mithin den größten Druck, die volle Belastung der Seitenbrücke den größten Zug in demselben

hervor. Nimmt man nun die Mittelbrücke als belastet an, so ergibt sich die der Gleichung (435) analoge Beziehung

$$-W_m^{\min} w_m - Hk - V(m\lambda - w_m) = 0, \quad (454)$$

$$W_m^{\min} = -\frac{n}{2} q \left[\frac{kn(2m - n - 1) + fm(m - 1)}{n^2 k + m^2 f} \right] = -qC, \quad \dots \dots \dots (455)$$

wenn der Factor von q der Kürze halber mit C bezeichnet wird, woraus nach Gleichung (440) folgt:

$$W_m^{\max} = q + qC = q(C + 1), \quad \dots \dots (456)$$

und wenn das Eigengewicht berücksichtigt wird,

$$W_m^{\min} = -qC + \frac{P}{2} \quad \dots \dots (457)$$

und

$$W_m^{\max} = q(C + 1) + \frac{P}{2} \quad \dots \dots (458)$$

III. Statische Berechnung eines Mittelträgers der Charnierhängbrücke.

Der Mittelträger der parabolischen Charnierhängbrücke, welcher nur durch seine eigene Belastung beansprucht wird, gleicht in statischer Beziehung einem Träger der gestützten Charnierhängbrücke mit vertical aufwärts wirkenden Belastungen p und q. Hierdurch nehmen nicht nur diese Belastungen, sondern auch die von ihrer Richtung abhängigen und durch sie bedingten verticalen und horizontalen Componenten des Scheiteldrucks die entgegengesetzte Richtung, mithin sämtliche Momente derselben das entgegengesetzte Vorzeichen an, während das Vorzeichen des Momentes der gesuchten Spannung in deren Momentengleichung sich nicht ändert. Hieraus folgt, daß diese Spannung numerisch

$$Z_m^{\max} = \frac{n^2}{2} b_m \left[\frac{q}{n^2 k + m^2 f} \left\{ \left(\frac{m}{n} + \frac{k}{f} \right) \frac{n^2}{2} - \frac{n(2m'' + 1) - m''(m'' + 1)}{2} \left(\frac{m}{n} - \frac{k}{f} \right) + m(2m'' + 1) - m''(m'' + 1) \right\} + \frac{P}{f} \right], \quad (460)$$

die größte Druckspannung, wenn m' bekannt ist, aus Gleichung (261)

$$Z_m^{\min} = -\frac{n^2}{2} b_m \left[\frac{2}{n^2 k + m^2 f} \left(\frac{(n - m')(n - m' + 1)}{2} \left(\frac{m}{n} - \frac{k}{f} \right) - (m - m')(m - m' + 1) \right) - \frac{P}{f} \right]. \quad (461)$$

2) Bestimmung der Grenzspannungen X in den horizontalen Gurtungsstücken.

Der Abstand der Belastungsscheide vom Trägermittel beträgt nach Gleichung (268)

$$e = \lambda \cdot \frac{n(m - 1)(n - m + 1)}{2n^2 - (m - 1)(n + m - 1)}, \quad \dots \dots (462)$$

woraus sich wieder der Abstand m'λ desjenigen Knotenpunktes vom Trägermittel ergibt, welcher sammt allen zwei

$$X_m^{\max} = \pm \frac{q\lambda}{2x_m} \left[\frac{(n - m')(n - m' + 1)(m - 1)(n + m - 1)}{2n^2} - (m - m')(m - m' - 1) \right]. \quad \dots \dots (464)$$

worin H, V und w_m die durch Gleichung (404), (405) und (416) gegebenen Werthe haben. Führt man diese in Gleichung (454) ein, so ergibt sich nach gehöriger Reduction

dieselbe bleibt und nur ihr Vorzeichen ändert, mithin sich Druck in Zug und Zug in Druck verwandelt.

Es erübrigt daher hier nur, die zur Berechnung der Spannungen im gestützten parabolischen Träger dienenden Formeln mit jener der aufgehängten parabolischen Charnierbrücke entsprechenden Vertauschung der Vorzeichen zusammenzustellen.

1) Bestimmung der Grenzspannungen Z in den Polygonstücken.

Der Abstand der Belastungsscheide vom Trägermittel beträgt nach Gleichung (257)

$$e = \lambda \cdot \frac{nk + mf}{k + \left(\frac{2n - m}{n} \right) f}, \quad \dots \dots (459)$$

woraus sich die Abstände m'λ und m''λ derjenigen Knotenpunkte vom Trägermittel ergeben, welche bis zu dem ihnen entsprechenden linken und rechten Auflager belastet sein müssen, um jene Grenzspannungen zu erzeugen. Nur wenn die Belastungsscheide zufällig mit einem Knotenpunkte zusammenrifft, ist die Belastung dieses Knotenpunktes ohne Einfluß auf die Spannung des mten Polygonstückes und bedarf keiner weiteren Berücksichtigung.

Die größte Zugspannung ergibt sich, wenn m'' bekannt ist, aus Gleichung (265)

sehen ihm und dem ihm entsprechenden Auflager gelegenen Knotenpunkten belastet sein muß, um eine der in der horizontalen Gurtung für Zug und Druck numerisch gleichen Grenzspannungen zu erzeugen.

Diese Grenzspannungen ergeben sich, wenn m' bekannt und nach Gleichung (266) der Hebelarm von X_m

$$x_m = k + f \left(\frac{m - 1}{n} \right)^2 \quad \dots \dots (463)$$

zuvor berechnet ist, aus Gleichung (271)

3) Bestimmung der Grenzspannungen Y in den Diagonalen.

Hier sind drei Fälle zu unterscheiden:

Erster Fall. Der in dem Durchschnittspunkt der verlängerten, mit dem mten Diagonalstab gleichzeitig durchschnittenen Stäbe gelegene Drehpunkt fällt außerhalb und jenseits der beiden Durchschnittspunkte der durch die Kämpfercharniere und das Scheitelcharnier gehenden zwei Druckrichtungen mit der horizontalen Gurtung, oder es ist

$$(n - m)\lambda + w_m > \frac{1}{2} \left(1 + \frac{k}{f}\right). \quad (465)$$

$$Y_m^{\max} = \pm \frac{q}{y_m} \cdot \frac{(n - m)(n - m + 1)}{4} \left(\frac{w_m - m\lambda}{n} + \frac{k\lambda}{f}\right). \quad (469)$$

Zweiter Fall. Der in dem Durchschnittspunkt der verlängerten, mit dem mten Diagonalstab gleichzeitig durchschnittenen Stäbe gelegene Drehpunkt fällt zwischen die beiden Durchschnittspunkte der durch die Kämpfercharniere und das Scheitelcharnier gehenden zwei Druckrichtungen mit der horizontalen Gurtung oder es ist:

$$(n - m)\lambda + w_m < \frac{1}{2} \left(1 + \frac{k}{f}\right) \quad (470)$$

In diesem Falle erhält man nach Gleichung (290) den Abstand der Belastungsscheide vom Trägermittel

$$Y_m^{\max} = \pm \frac{q(m - m')}{y_m} \left[\frac{(2n - m - m' + 1)}{4} \left(\frac{m\lambda - w_m}{n} - \frac{k\lambda}{f}\right) + u_m + \frac{(m - m' - 1)}{2} \lambda \right]. \quad (473)$$

Dritter Fall. Der in dem Durchschnittspunkt der verlängerten, mit dem mten Diagonalstab gleichzeitig durchschnittenen Stäbe gelegene Drehpunkt fällt außerhalb und diesseits der beiden Durchschnittspunkte der durch die Kämpfercharniere und das Scheitelcharnier gehenden zwei Druckrichtungen mit der horizontalen Gurtung, oder es ist

$$(n - m)\lambda + w_m < \frac{1}{2} \left(1 - \frac{k}{f}\right). \quad (474)$$

$$Y_m^{\max} = \pm \frac{q}{y_m} \left[\frac{(n - m')(n - m' + 1)}{4} \left(\frac{m\lambda - w_m}{n} - \frac{k\lambda}{f}\right) + (m - m') \frac{(m - m' - 1)}{2} \lambda \right]. \quad (475)$$

4) Bestimmung der Grenzspannungen W in den Verticalen.

Hier sind die unter 3 angeführten, durch die Ungleichungen (465), (470) und (474) dargestellten drei Fälle zu unterscheiden.

$$W_m^{\max} = q \left[\frac{(n - m)(n - m - 1)}{4 w_m} \left(\frac{w_m - m\lambda}{n} + \frac{k\lambda}{f}\right) + 1 \right] = q[A + 1] \quad (476)$$

und

$$W_m^{\min} = -W_m^{\max} + q = -qA. \quad (477)$$

In diesem Falle erhält man, wenn zuvor aus den Gleichungen (275), (286) und (285)

$$w_m = \frac{n^2 k + m^2 f}{f(2m - 1)} \cdot \lambda \quad (466)$$

$$d_m = \sqrt{\lambda^2 + \left(k + f \left(\frac{m - 1}{n}\right)^2\right)^2} \quad (467)$$

und

$$y_m = w_m \frac{f \left(\frac{m - 1}{n}\right)^2 + k}{d_m} \quad (468)$$

berechnet ist, aus Gleichung (284) und (287) die Grenzspannungen:

$$e = \left(n - \frac{2}{\frac{k + f}{f(n - m)} + \frac{1}{2m - 1}} \right) \lambda \quad (471)$$

und hieraus den Abstand $m'\lambda$ desjenigen Knotenpunktes vom Trägermittel, von welchem ab alle Knotenpunkte links, ihn selbst inbegriffen, bis zu dem Schnitt durch das mte Feld belastet sein müssen, um die größte Druckspannung im mten Diagonalstab zu erzeugen.

Ist zuvor aus den Gleichungen (468) und (466) Y_m und w_m und mit Hilfe des letzteren nach Gleichung (294) der Abstand

$$u_m = w_m - (m - m')\lambda \quad (472)$$

berechnet, so ergibt sich aus Gleichung (293) und (295)

Ist der Abstand e der Belastungsscheide vom Trägermittel wie im vorhergehenden Fall aus Gleichung (471) und hiernach der ihr entsprechende Abstand λ , ferner aus der Gleichung (466), (472) und (468) beziehungsweise der Werth w_m , u_m und y_m bestimmt, so ergibt sich aus Gleichung (300) und (301) die Grenzspannung

Erster Fall.

$$(n - m)\lambda + w_m > \frac{1}{2} \left(1 + \frac{k}{f}\right).$$

Ist aus Gleichung (466) zuvor w_m bestimmt, so ergibt sich ohne Berücksichtigung des Eigengewichts aus Gleichung (307)

Mit Berücksichtigung des Eigengewichtes erhält man

$$W_m^{\max} = q[A + 1] + \frac{P}{2} \dots (478)$$

und

$$W_m^{\min} = -qA + \frac{P}{2} \dots (479)$$

Ein Ständer in der Mitte der Träger erfährt höchstens die Zugspannung der auf ihm ruhenden vollen Belastung $\frac{P+q}{2}$ und, wenn das Eigengewicht wieder zur Hälfte oben, zur Hälfte unten angreifend gedacht wird, die größte Zugspannung

$$W_m^{\max} = \frac{q(m - m' + 1)}{w_m} \left[\frac{(2n - m - m')}{4} \left(\frac{m\lambda - w_m}{4} - \frac{k\lambda}{f} \right) + u_m + \frac{(m - m')\lambda}{2} \right] = qB, \quad (481)$$

und aus Gleichung (315)

$$W_m^{\min} = -W_m^{\max} + q = -q(B - 1) \quad (482)$$

und mit Berücksichtigung des Eigengewichtes

$$W_m^{\max} = qB + \frac{P}{2} \dots (483)$$

und

$$W_m^{\min} = -q(B - 1) + \frac{P}{2} \dots (484)$$

$$W_m^{\max} = \frac{q}{w_m} \left[\frac{(n - m')(n - m' + 1)}{4} \left(\frac{m\lambda - w_m}{n} - \frac{k\lambda}{f} \right) + (m - m' + 1) \left(u_m + \frac{(m - m')\lambda}{2} \right) \right] = qC \quad (485)$$

und aus Gleichung (320)

$$W_m^{\min} = -W_m^{\max} + q = -q(C - 1) \quad (486)$$

und mit Berücksichtigung des Eigengewichtes

$$W_m^{\max} = qC + \frac{P}{2} \dots (487)$$

und

$$W_m^{\min} = -q(C - 1) + \frac{P}{2} \dots (488)$$

IV. Berechnung der Spannungen in den einzelnen Gliedern eines Seitenträgers der aufgehängten parabolischen Charnierbrücke.

Die vorstehend entwickelten Formeln gelten allgemein und liefern fertige Resultate. Um deren leichte Anwend-

$$W_0^{\max} = \frac{\frac{P}{2} + q}{2} = \frac{1}{2} \left(\frac{P}{2} + q \right) \dots (480)$$

Zweiter Fall.

$$(n - m)\lambda + w_m < \left(1 + \frac{k}{f} \right) \\ > \left(1 - \frac{k}{f} \right)$$

Ist aus Gleichung (471), (466) und (472) beziehungsweise m' , w_m und u_m bestimmt, so ergibt sich ohne Berücksichtigung des Eigengewichtes aus Gleichung (314):

Dritter Fall.

$$(n - m)\lambda + w_m < \frac{1}{2} \left(1 - \frac{k}{f} \right)$$

Ist wieder aus Gleichung (471), (466) und (472), beziehungsweise m' , w_m und u_m bestimmt, so ergibt sich ohne Berücksichtigung des Eigengewichtes aus Gleichung (319)

barkeit, sowie den Gang der Rechnung an einem praktischen Beispiele zu zeigen, soll der in Figur 19 dargestellte Träger, links bei Fig. 19^a mit den in dem vorhergehenden Abschnitt gewählten Bezeichnungen, rechts bei Fig. 19^b mit den Zahlenwerten von $\frac{1}{2}$, f , k und λ , sowie den nach Gleichung (399) (410) und (415) berechneten Abmessungen von b_m , $k + y_{m-1}$ und d_m versehen, mit einer Belastung

$$p = 20 \text{ tons durch Eigengewicht,}$$

$$q = 12 \text{ " " Verkehr}$$

für jeden Knotenpunkt angenommen werden.

1) Berechnung der Grenzspannungen Z in den Polygonstücken nach Gleichung (406) und (408).

a) Berechnung der Maximalspannungen Z_m^{\max} nach Gleichung (406).

$$Z_m^{\max} = \frac{n^2 b_m}{2f} \left(\frac{n^2 k + f m n}{n^2 k + f m^2} \cdot q + p \right)$$

$$\text{Für } m = 1 \text{ ist } Z_1^{\max} = \frac{100}{2 \cdot 15} \cdot 6,000 \left[\frac{100 \cdot 1,5 + 15 \cdot 1 \cdot 10}{100 \cdot 1,5 + 15 \cdot 1 \cdot 1} \cdot 12 + 20 \right] = 836,80 \text{ tons.}$$

$$\begin{aligned}
 \text{Für } m = 2 \text{ ist } Z_2^{\max} &= \frac{100}{2 \cdot 15} \cdot 6,015 \left[\frac{100 \cdot 1,5 + 15 \cdot 2 \cdot 10}{100 \cdot 1,5 + 15 \cdot 2 \cdot 2} \cdot 12 + 20 \right] = 916,48 \text{ tons.} \\
 \text{" } m = 3 \text{ " } Z_3^{\max} &= \frac{100}{2 \cdot 15} \cdot 6,045 \left[\frac{100 \cdot 1,5 + 15 \cdot 3 \cdot 10}{100 \cdot 1,5 + 15 \cdot 3 \cdot 3} \cdot 12 + 20 \right] = 913,20 \text{ " } \\
 \text{" } m = 4 \text{ " } Z_4^{\max} &= \frac{100}{2 \cdot 15} \cdot 6,087 \left[\frac{100 \cdot 1,5 + 15 \cdot 4 \cdot 10}{100 \cdot 1,5 + 15 \cdot 4 \cdot 4} \cdot 12 + 20 \right] = 873,28 \text{ " } \\
 \text{" } m = 5 \text{ " } Z_5^{\max} &= \frac{100}{2 \cdot 15} \cdot 6,147 \left[\frac{100 \cdot 1,5 + 15 \cdot 5 \cdot 10}{100 \cdot 1,5 + 15 \cdot 5 \cdot 5} \cdot 12 + 20 \right] = 830,25 \text{ " } \\
 \text{" } m = 6 \text{ " } Z_6^{\max} &= \frac{100}{2 \cdot 15} \cdot 6,219 \left[\frac{100 \cdot 1,5 + 15 \cdot 6 \cdot 10}{100 \cdot 1,5 + 15 \cdot 6 \cdot 6} \cdot 12 + 20 \right] = 793,12 \text{ " } \\
 \text{" } m = 7 \text{ " } Z_7^{\max} &= \frac{100}{2 \cdot 15} \cdot 6,306 \left[\frac{100 \cdot 1,5 + 15 \cdot 7 \cdot 10}{100 \cdot 1,5 + 15 \cdot 7 \cdot 7} \cdot 12 + 20 \right] = 762,39 \text{ " } \\
 \text{" } m = 8 \text{ " } Z_8^{\max} &= \frac{100}{2 \cdot 15} \cdot 6,405 \left[\frac{100 \cdot 1,5 + 15 \cdot 8 \cdot 10}{100 \cdot 1,5 + 15 \cdot 8 \cdot 8} \cdot 12 + 20 \right] = 738,30 \text{ " } \\
 \text{" } m = 9 \text{ " } Z_9^{\max} &= \frac{100}{2 \cdot 15} \cdot 6,576 \left[\frac{100 \cdot 1,5 + 15 \cdot 9 \cdot 10}{100 \cdot 1,5 + 15 \cdot 9 \cdot 9} \cdot 12 + 20 \right] = 721,10 \text{ " } \\
 \text{" } m = 10 \text{ " } Z_{10}^{\max} &= \frac{100}{2 \cdot 15} \cdot 6,639 \left[\frac{100 \cdot 1,5 + 15 \cdot 10 \cdot 10}{100 \cdot 1,5 + 10 \cdot 10 \cdot 10} \cdot 12 + 20 \right] = 708,16 \text{ " }
 \end{aligned}$$

b) Berechnung der Minimalspannungen Z_m^{\min} nach Gleichung (408).

$$Z_m^{\min} = \frac{n^2}{2} \cdot \frac{b_m}{f} \left(p - \frac{fm(n-m)}{n^2k + fm^2} \cdot q \right).$$

$$\begin{aligned}
 \text{Für } m = 1 \text{ ist } Z_1^{\min} &= \frac{50}{15} \cdot 6,000 \left[20 - \frac{15 \cdot 1 \cdot 9}{100 \cdot 1,5 + 15 \cdot 1 \cdot 1} \cdot 12 \right] = 203,80 \text{ tons.} \\
 \text{" } m = 2 \text{ " } Z_2^{\min} &= \frac{50}{15} \cdot 6,015 \left[20 - \frac{15 \cdot 2 \cdot 8}{100 \cdot 1,5 + 15 \cdot 2 \cdot 2} \cdot 12 \right] = 125,99 \text{ " } \\
 \text{" } m = 3 \text{ " } Z_3^{\min} &= \frac{50}{15} \cdot 6,045 \left[20 - \frac{15 \cdot 3 \cdot 7}{100 \cdot 1,5 + 15 \cdot 3 \cdot 3} \cdot 12 \right] = 135,81 \text{ " } \\
 \text{" } m = 4 \text{ " } Z_4^{\min} &= \frac{50}{15} \cdot 6,087 \left[20 - \frac{15 \cdot 4 \cdot 6}{100 \cdot 1,5 + 15 \cdot 4 \cdot 4} \cdot 12 \right] = 181,07 \text{ " } \\
 \text{" } m = 5 \text{ " } Z_5^{\min} &= \frac{50}{15} \cdot 6,147 \left[20 - \frac{15 \cdot 5 \cdot 5}{100 \cdot 1,5 + 15 \cdot 5 \cdot 5} \cdot 12 \right] = 234,24 \text{ " } \\
 \text{" } m = 6 \text{ " } Z_6^{\min} &= \frac{50}{15} \cdot 6,219 \left[20 - \frac{15 \cdot 6 \cdot 4}{100 \cdot 1,5 + 15 \cdot 6 \cdot 6} \cdot 12 \right] = 484,60 \text{ " } \\
 \text{" } m = 7 \text{ " } Z_7^{\min} &= \frac{50}{15} \cdot 6,306 \left[20 - \frac{15 \cdot 7 \cdot 3}{100 \cdot 1,5 + 15 \cdot 7 \cdot 7} \cdot 12 \right] = 330,60 \text{ " } \\
 \text{" } m = 8 \text{ " } Z_8^{\min} &= \frac{50}{15} \cdot 6,405 \left[20 - \frac{15 \cdot 8 \cdot 2}{100 \cdot 1,5 + 15 \cdot 8 \cdot 8} \cdot 12 \right] = 371,66 \text{ " } \\
 \text{" } m = 9 \text{ " } Z_9^{\min} &= \frac{50}{15} \cdot 6,516 \left[20 - \frac{15 \cdot 9 \cdot 1}{100 \cdot 1,5 + 15 \cdot 9 \cdot 9} \cdot 12 \right] = 408,34 \text{ " } \\
 \text{" } m = 10 \text{ " } Z_{10}^{\min} &= \frac{50}{15} \cdot 6,639 \left[20 - \frac{15 \cdot 10 \cdot 0}{100 \cdot 1,5 + 15 \cdot 10 \cdot 10} \cdot 12 \right] = 442,60 \text{ " }
 \end{aligned}$$

2) Berechnungen der Grenzspannungen X in den geraden Gurtungsstücken nach der Gleichung (411) und (412).

$$X_{\min}^{\max} = \pm \frac{n^2}{2} \cdot \frac{(m-1)(n-m+1)}{n^2k + f(m-1)^2} \cdot q \lambda.$$

Für $m = 1$ ist $X_1^{\max} = \pm 50 \cdot 0.12 = \pm 0$ tons.

„ $m = 2$ „ $X_2^{\max} = \pm 50 \cdot \frac{6.1.9}{100.1.5 + 15.1.1} \cdot 12 = \pm 196,20$ tons.

„ $m = 3$ „ $X_3^{\max} = \pm 50 \cdot \frac{6.2.8}{100.1.5 + 15.2.2} \cdot 12 = \pm 274,20$ „

„ $m = 4$ „ $X_4^{\max} = \pm 50 \cdot \frac{6.3.7}{100.1.5 + 15.3.3} \cdot 12 = \pm 265,20$ „

„ $m = 5$ „ $X_5^{\max} = \pm 50 \cdot \frac{6.4.6}{100.1.5 + 15.4.4} \cdot 12 = \pm 221,52$ „

„ $m = 6$ „ $X_6^{\max} = \pm 50 \cdot \frac{6.5.5}{100.1.5 + 15.5.5} \cdot 12 = \pm 171,36$ „

„ $m = 7$ „ $X_7^{\max} = \pm 50 \cdot \frac{6.6.4}{100.1.5 + 16.6.6} \cdot 12 = \pm 125,16$ „

„ $m = 8$ „ $X_8^{\max} = \pm 50 \cdot \frac{6.7.3}{100.1.5 + 15.7.7} \cdot 12 = \pm 85,44$ „

„ $m = 9$ „ $X_9^{\max} = \pm 50 \cdot \frac{6.8.2}{100.1.5 + 15.8.8} \cdot 12 = \pm 51,84$ „

„ $m = 10$ „ $X_{10}^{\max} = \pm 50 \cdot \frac{6.9.1}{100.1.5 + 15.9.9} \cdot 12 = \pm 23,64$ „

3) Berechnung der Grenzspannungen Y in den Diagonalstäben nach den Gleichungen (423) und (427), (432) und (436).

a) Berechnung der Werte d_m , w_m und y_m nach Gleichung (422), (416) und (421).

$$d_m = \sqrt{\lambda^2 + \left(k + f \frac{(m-1)^2}{n^2}\right)^2}; \quad w_m = \frac{n^2 k + m^2 f}{f(2m-1)} \cdot \lambda; \quad y_m = \frac{(n^2 k + m^2 f) \lambda}{(2m-1)f} \cdot \frac{k + f \frac{(m-1)^2}{n^2}}{d_m}$$

Für $m = 1$ ist $d_1 = \sqrt{36 + \left(1,5 + 15 \cdot \frac{0}{100}\right)^2} = 6,18; w_1 = 6 \left(\frac{150 + 15 \cdot 1}{15 \cdot 1}\right) = 66,00; y_1 = 66,00 \cdot \frac{1,5 + 15 \cdot \frac{0}{100}}{6,18} = 15,97$ Met.

„ $m = 2$ „ $d_2 = \sqrt{36 + \left(1,5 + 15 \cdot \frac{1}{100}\right)^2} = 6,21; w_2 = 6 \left(\frac{150 + 15 \cdot 4}{15 \cdot 3}\right) = 27,96; y_2 = 27,96 \cdot \frac{1,5 + 15 \cdot \frac{1}{100}}{6,21} = 7,41$ „

„ $m = 3$ „ $d_3 = \sqrt{36 + \left(1,5 + 15 \cdot \frac{2}{100}\right)^2} = 6,36; w_3 = 6 \left(\frac{150 + 15 \cdot 9}{15 \cdot 5}\right) = 22,80; y_3 = 32,80 \cdot \frac{1,5 + 15 \cdot \frac{4}{100}}{6,36} = 7,53$ „

„ $m = 4$ „ $d_4 = \sqrt{36 + \left(1,5 + 15 \cdot \frac{3}{100}\right)^2} = 6,63; w_4 = 6 \left(\frac{150 + 15 \cdot 16}{15 \cdot 7}\right) = 22,29; y_4 = 22,29 \cdot \frac{1,5 + 15 \cdot \frac{9}{100}}{6,63} = 9,58$ „

„ $m = 5$ „ $d_5 = \sqrt{36 + \left(1,5 + 15 \cdot \frac{4}{100}\right)^2} = 7,14; w_5 = 6 \left(\frac{150 + 15 \cdot 25}{15 \cdot 9}\right) = 23,34; y_5 = 23,34 \cdot \frac{1,5 + 15 \cdot \frac{16}{100}}{7,14} = 12,72$ „

„ $m = 6$ „ $d_6 = \sqrt{36 + \left(1,5 + 15 \cdot \frac{5}{100}\right)^2} = 7,30; w_6 = 6 \left(\frac{150 + 15 \cdot 36}{15 \cdot 11}\right) = 25,08; y_6 = 25,08 \cdot \frac{1,5 + 15 \cdot \frac{25}{100}}{7,30} = 16,53$ „

„ $m = 7$ „ $d_7 = \sqrt{36 + \left(1,5 + 15 \cdot \frac{6}{100}\right)^2} = 9,15; w_7 = 6 \left(\frac{150 + 15 \cdot 49}{15 \cdot 13}\right) = 27,24; y_7 = 27,24 \cdot \frac{1,5 + 15 \cdot \frac{36}{100}}{9,15} = 20,50$ „

$$\begin{aligned} \text{Für } m = 8 \text{ ist } d_8 &= \sqrt{36 + \left(1,5 + 15 \cdot \frac{7}{100}\right)^2} = 10,63; w_8 = 6 \left(\frac{150 + 15 \cdot 64}{15 \cdot 15}\right) = 29,61; y_8 = 29,61 \frac{1,5 + 15 \cdot \frac{49}{100}}{10,63} = 24,48 \text{ tons.} \\ \text{„ } m = 9 \text{ „ } d_9 &= \sqrt{36 + \left(1,5 + 15 \cdot \frac{8}{100}\right)^2} = 12,63; w_9 = 6 \left(\frac{150 + 15 \cdot 81}{15 \cdot 17}\right) = 32,13; y_9 = 32,13 \frac{1,5 + 15 \cdot \frac{64}{100}}{12,63} = 28,26 \text{ „} \\ \text{„ } m = 10 \text{ „ } d_{10} &= \sqrt{36 + \left(1,5 + 15 \cdot \frac{9}{100}\right)^2} = 14,91; w_{10} = 6 \left(\frac{150 + 15 \cdot 100}{15 \cdot 19}\right) = 34,74; y_{10} = 34,74 \frac{1,5 + 15 \cdot \frac{81}{100}}{14,91} = 31,80 \text{ „} \end{aligned}$$

b) Berechnung der Werthe $n\lambda$, $\frac{1}{2} \left(1 + \frac{k}{f}\right)$ und $(n - m)\lambda + w_m$ zur Bestimmung der drei Fälle.

Die constanten Werthe sind $n\lambda = 60$ Met. und $\frac{1}{2} \left(1 + \frac{k}{f}\right) = 60 \left(1 + \frac{1,5}{15}\right) = 66$ Met.

Für $m = 1$ ist	$(n - m)\lambda + w_m$	$= 54 + 66,00 = 120,00 > 66.$
„ $m = 2$ „	„	$= 48 + 27,96 = 75,96 > 66.$
„ $m = 3$ „	„	$= 42 + 22,80 = 64,80 < 66.$
„ $m = 4$ „	„	$= 36 + 22,29 = 58,29 < 60.$
„ $m = 5$ „	„	$= 30 + 23,34 = 53,34 < 60.$
„ $m = 6$ „	„	$= 24 + 25,08 = 49,08 < 60.$
„ $m = 7$ „	„	$= 18 + 27,24 = 45,24 < 60.$
„ $m = 8$ „	„	$= 12 + 29,61 = 41,61 < 60.$
„ $m = 9$ „	„	$= 6 + 32,13 = 38,13 < 60.$
„ $m = 10$ „	„	$= 0 + 34,74 = 34,74 < 60.$

c) Berechnung der Grenzspannungen Y .

Erster Fall, wo $(n - m)\lambda + w_m < \frac{1}{2} \left(1 + \frac{k}{f}\right)$ nach den Gleichungen (427) und (423).

$$Y_{\min}^{\max} = \pm \frac{q}{y_1} \cdot \frac{n^2 \lambda k}{2f} (n - 1); Y_{\min}^{\max} = \pm \frac{q}{y_m} \left[y_m \left(\frac{n^2 + m(m - 1)}{2n} \right) + \frac{m(m - 1)}{2} \lambda - \frac{n^2}{2} \cdot \frac{\lambda k}{f} \right].$$

$$\text{Für } m = 1 \text{ ist } Y_{\min}^{\max} = \pm \frac{12}{15,97} \cdot \frac{50 \cdot 6 \cdot 1,5 \cdot 9}{15} = \pm 202,88 \text{ tons.}$$

$$\text{„ } m = 2 \text{ „ } Y_{\min}^{\max} = \pm \frac{12}{7,41} \left[16 \left(\frac{100 + 2 \cdot 1}{20} \right) + \frac{2 \cdot 1}{2} \cdot 6 - 50 \cdot \frac{5 \cdot 1,5}{15} \right] = \pm 93,31 \text{ tons.}$$

Zweiter Fall, wo $(n - m)\lambda + w_m \begin{cases} < \frac{1}{2} \left(1 + \frac{k}{f}\right) \\ > n\lambda \end{cases}$ nach Gleichung (432).

$$Y_{\min}^{\max} = \pm \frac{m(m - 1)\lambda \cdot q}{2n \cdot y_m} \left(n + \frac{n^2 k - fm(m - 1)}{f(2m - 1)} \right).$$

$$\text{Für } m = 3 \text{ ist } Y_{\min}^{\max} = \pm \frac{3 \cdot 2 \cdot 6 \cdot 12}{2 \cdot 10 \cdot 7,53} \left(10 + \frac{100 \cdot 1,5 - 15 \cdot 3 \cdot 2}{15 \cdot 5} \right) = \pm 30,98 \text{ tons.}$$

Dritter Fall, wo $(n - m)\lambda + w_m < n\lambda$ nach Gleichung (436).

$$Y_{\min}^{\max} = \pm \frac{n \cdot \lambda \cdot q}{2 \cdot f \cdot y_m} \left[\frac{nk(2m - n - 1) + m(m - 1)f}{2m - 1} \right].$$

$$\begin{aligned} \text{Für } m = 4 \text{ ist } Y_{4 \text{ max}} &= \pm \frac{5.6.12}{15.9.58} \left(\frac{-15.3 + 4.3.15}{7} \right) = \pm 48,20 \text{ tons.} \\ \text{„ } m = 5 \text{ „ } Y_{5 \text{ max}} &= \pm \frac{5.6.12}{15.12.72} \left(\frac{-15.1 + 5.4.15}{9} \right) = \pm 59,52 \text{ „} \\ \text{„ } m = 6 \text{ „ } Y_{6 \text{ max}} &= \pm \frac{5.6.12}{15.16.53} \left(\frac{15.1 + 6.5.15}{11} \right) = \pm 61,20 \text{ „} \\ \text{„ } m = 7 \text{ „ } Y_{7 \text{ max}} &= \pm \frac{5.6.12}{15.20.50} \left(\frac{15.3 + 7.6.15}{13} \right) = \pm 60,72 \text{ „} \\ \text{„ } m = 8 \text{ „ } Y_{8 \text{ max}} &= \pm \frac{5.6.12}{15.24.48} \left(\frac{15.5 + 8.7.15}{15} \right) = \pm 59,78 \text{ „} \\ \text{„ } m = 9 \text{ „ } Y_{9 \text{ max}} &= \pm \frac{5.6.12}{15.28.26} \left(\frac{15.7 + 9.8.15}{17} \right) = \pm 59,24 \text{ „} \\ \text{„ } m = 10 \text{ „ } Y_{10 \text{ max}} &= \pm \frac{5.6.12}{15.31.80} \left(\frac{15.9 + 10.9.15}{19} \right) = \pm 58,61 \text{ „} \end{aligned}$$

4) Berechnung der Grenzspannungen W in den Verticalstäben nach den Gleichungen (443) bis (447), (450) bis (453) und (455) bis (458).

a) Ohne Berücksichtigung des Eigengewichts nach den Gleichungen (443) und (444), (450) und (451), (455) und (456).

Erster Fall, wo $(n - m)\lambda + w_m < \frac{1}{2} \left(1 + \frac{k}{f} \right)$ nach den Gleichungen (443) und (444).

$$W_m \text{ max} = \frac{q}{w_m} \left[(w_m - m\lambda) \left(\frac{n}{2} + \frac{m(m+1)}{2n} \right) + \frac{m(m+1)}{2} \lambda - \frac{n^2}{2} \cdot \frac{\lambda k}{f} \right] \text{ und } W_m \text{ min} = q - W_m \text{ max.}$$

$$\begin{aligned} \text{Für } m = 1 \text{ ist } W_1 \text{ max} &= \frac{12}{66} \left[60 \left(5 + \frac{1.2}{20} \right) + 6 \cdot \frac{1.2}{2} - 50 \cdot \frac{6.1.5}{15} \right] = 51,32 \text{ tons, daher } W_1 \text{ min} = 12 - 51,32 = -39,32 \text{ tons.} \\ \text{„ } m = 2 \text{ „ } W_2 \text{ max} &= \frac{12}{28} \left[16 \left(5 + \frac{2.3}{20} \right) + 6 \cdot \frac{2.3}{2} - 50 \cdot \frac{6.1.5}{15} \right] = 31,16 \text{ „ „ } W_2 \text{ min} = 12 - 31,16 = -19,16 \text{ „} \end{aligned}$$

Zweiter Fall, wo $(n - m)\lambda + w_m \begin{cases} < \frac{1}{2} \left(1 + \frac{k}{f} \right) \\ > n\lambda \end{cases}$ nach Gleichung (450) und (451).

$$W_m \text{ max} = \frac{q}{w_m} \cdot \frac{m(m+1)}{2n} (w_m + (n - m)\lambda) \text{ und } W_m \text{ min} = q - W_m \text{ max.}$$

$$\text{Für } m = 3 \text{ ist } W_3 \text{ max} = 12 \cdot \frac{3.4}{2.10.22,8} (7.6 + 22,8) = 20,48 \text{ tons, daher } W_3 \text{ min} = 12 - 20,48 = -8,48 \text{ tons.}$$

Dritter Fall, wo $(n - m)\lambda + w_m < n\lambda$ nach Gleichung (455) und (456).

$$W_m \text{ min} = -\frac{n}{2} q \left[\frac{k n (2m - n - 1) + f m (m - 1)}{n^2 k + m^2 f} \right] \text{ und } W_m \text{ max} = q - W_m \text{ min.}$$

$$\begin{aligned} \text{Für } m = 4 \text{ ist } W_4 \text{ min} &= -5.12 \left(\frac{-1.5.10.3 + 15.4.3}{100.1,5 + 16.15} \right) = -20,76 \text{ tons, daher } W_4 \text{ max} = 12 + 20,76 = 32,76 \text{ tons.} \\ \text{„ } m = 5 \text{ „ } W_5 \text{ min} &= -5.12 \left(\frac{-1.5.10.1 + 15.5.4}{100.1,5 + 16.15} \right) = -32,58 \text{ „ „ } W_5 \text{ max} = 12 + 32,58 = 44,58 \text{ „} \\ \text{„ } m = 6 \text{ „ } W_6 \text{ min} &= -5.12 \left(\frac{1.5.10.1 + 15.6.5}{100.1,5 + 36.15} \right) = -40,44 \text{ „ „ } W_6 \text{ max} = 12 + 40,44 = 52,44 \text{ „} \\ \text{„ } m = 7 \text{ „ } W_7 \text{ min} &= -5.12 \left(\frac{1.5.10.3 + 15.7.6}{100.1,5 + 49.15} \right) = -45,72 \text{ „ „ } W_7 \text{ max} = 12 + 45,72 = 57,72 \text{ „} \end{aligned}$$

Für $m = 8$ ist $W_8^{\min} = -5,12 \left(\frac{1,5 \cdot 10 \cdot 5 + 15 \cdot 8 \cdot 7}{100 \cdot 1,5 + 64 \cdot 15} \right) = -49,44$ tons, daher $W_8^{\max} = 12 + 49,44 = 61,44$ tons.
 „ $m = 9$ „ $W_9^{\min} = -5,12 \left(\frac{1,5 \cdot 10 \cdot 7 + 15 \cdot 9 \cdot 8}{100 \cdot 1,5 + 81 \cdot 15} \right) = -52,08$ „ „ $W_9^{\max} = 12 + 52,08 = 64,08$ „
 „ $m = 10$ „ $W_{10}^{\min} = -5,12 \left(\frac{1,5 \cdot 10 \cdot 9 + 15 \cdot 10 \cdot 9}{100 \cdot 1,5 + 100 \cdot 15} \right) = -54,00$ „ „ $W_{10}^{\max} = 12 + 54,00 = 66,00$ „

b) Mit Berücksichtigung des Eigengewichts nach den Gleichungen (447), (445) und (446), (452) und (453), (458) und (457).

$$W_0^{\max} = \frac{1}{2} \left(q + \frac{p}{2} \right) = \frac{1}{2} \left(12 + \frac{20}{2} \right) = 11 \text{ tons. nach Gleichung (447).}$$

$$\begin{aligned} W_1^{\max} &= 51,32 + \frac{20}{2} = 61,32 \text{ tons.} & W_1^{\min} &= -39,32 + \frac{20}{2} = -29,32 \text{ tons.} \\ W_2^{\max} &= 31,06 + \frac{20}{2} = 41,16 \text{ „} & W_2^{\min} &= -19,16 + \frac{20}{2} = -9,16 \text{ „} \\ W_3^{\max} &= 20,48 + \frac{20}{2} = 30,48 \text{ „} & W_3^{\min} &= -8,48 + \frac{20}{2} = +1,52 \text{ „} \end{aligned}$$

nach den Gleichungen
(445) und (446).

$$\begin{aligned} W_4^{\max} &= 32,76 + \frac{20}{2} = 42,76 \text{ „} & W_4^{\min} &= -20,76 + \frac{20}{2} = -10,76 \text{ „} \\ W_5^{\max} &= 44,58 + \frac{20}{2} = 54,58 \text{ „} & W_5^{\min} &= -32,58 + \frac{20}{2} = -22,58 \text{ „} \end{aligned}$$

nach den Gleichungen
(458) und (457).

$$\begin{aligned} W_6^{\max} &= 52,44 + \frac{20}{2} = 62,44 \text{ „} & W_6^{\min} &= -40,44 + \frac{20}{2} = -30,44 \text{ „} \\ W_7^{\max} &= 57,72 + \frac{20}{2} = 67,72 \text{ „} & W_7^{\min} &= -45,72 + \frac{20}{2} = -35,72 \text{ „} \end{aligned}$$

nach den Gleichungen
(458) und (457).

$$\begin{aligned} W_8^{\max} &= 61,44 + \frac{20}{2} = 71,44 \text{ „} & W_8^{\min} &= -49,44 + \frac{20}{2} = -39,44 \text{ „} \\ W_9^{\max} &= 64,08 + \frac{20}{2} = 74,08 \text{ „} & W_9^{\min} &= -52,08 + \frac{20}{2} = -42,08 \text{ „} \\ W_{10}^{\max} &= 66,00 + \frac{20}{2} = 76,00 \text{ „} & W_{10}^{\min} &= -54,00 + \frac{20}{2} = -44,00 \text{ „} \end{aligned}$$

V. Berechnung der Spannungen in den einzelnen Gliedern des Hauptträgers einer aufgehängten parabolischen Charnierbrücke.

1. Berechnung der Grenzspannungen Z in den Polygonstücken nach Gleichung (460) und (461).

a. Berechnung der Lage der Belastungsscheiden nach Gleichung (459).

$$e = \lambda \cdot \frac{nk + mf}{k + \left(\frac{2n - m}{n} \right) f}$$

Für $m = 1$ ist $e = \lambda \cdot \frac{2}{2} = \lambda \cdot 1,0$, daher $m' = 1$ und $m'' = 0$,

„ $m = 2$ „ $e = \lambda \cdot \frac{3}{1,9} = \lambda \cdot 1,5$, „ $m' = 2$ „ $m'' = 1$,

„ $m = 3$ „ $e = \lambda \cdot \frac{4}{1,8} = \lambda \cdot 2,2$, „ $m' = 3$ „ $m'' = 2$,

„ $m = 4$ „ $e = \lambda \cdot \frac{5}{1,7} = \lambda \cdot 2,9$, „ $m' = 3$ „ $m'' = 2$,

$$\text{Für } m = 5 \text{ ist } e = \lambda \cdot \frac{6}{1,6} = \lambda \cdot 3,7, \text{ daher } m' = 4 \text{ und } m'' = 3,$$

$$,, \quad m = 6 \quad ,, \quad e = \lambda \cdot \frac{7}{1,5} = \lambda \cdot 4,6, \quad ,, \quad m' = 5 \quad ,, \quad m'' = 4,$$

$$,, \quad m = 7 \quad ,, \quad e = \lambda \cdot \frac{8}{1,4} = \lambda \cdot 5,7, \quad ,, \quad m' = 6 \quad ,, \quad m'' = 5,$$

$$,, \quad m = 8 \quad ,, \quad e = \lambda \cdot \frac{9}{1,3} = \lambda \cdot 6,9, \quad ,, \quad m' = 7 \quad ,, \quad m'' = 6,$$

$$,, \quad m = 9 \quad ,, \quad e = \lambda \cdot \frac{10}{1,2} = \lambda \cdot 8,3, \quad ,, \quad m' = 9 \quad ,, \quad m'' = 8,$$

$$,, \quad m = 10 \quad ,, \quad e = \lambda \cdot \frac{11}{1,1} = \lambda \cdot 10, \quad ,, \quad m' = 10 \quad ,, \quad m'' = 9.$$

b) Berechnung der Maximalspannungen Z_m^{\max} nach Gleichung (460).

$$Z_m^{\max} = \frac{n^2}{2} b_m \left[\frac{q}{n^2 k + m^2 f} \left\{ \left(\frac{m}{n} + \frac{k}{f} \right) \frac{n^2}{2} - \frac{n(2m'' + 1) - m''(m'' + 1)}{2} \left(\frac{m}{n} - \frac{k}{f} \right) + m(2m'' + 1) - m''(m'' + 1) \right\} + \frac{p}{f} \right].$$

$$\text{Für } m = 1 \text{ und } m'' = 0 \text{ ist } Z_1^{\max} = 50 \cdot 6,000 \left[\frac{12}{150 + 15 \cdot 1} \left(50 \cdot \frac{2}{10} - \frac{(10 - 0)}{2} \cdot \frac{0}{10} + 1 - 0 \right) + \frac{20}{15} \right] = 640,00 \text{ tons.}$$

$$,, \quad m = 2 \quad ,, \quad m'' = 1 \quad ,, \quad Z_2^{\max} = 50 \cdot 6,015 \left[\frac{12}{150 + 15 \cdot 4} \left(50 \cdot \frac{3}{10} - \frac{(30 - 2)}{2} \cdot \frac{1}{10} + 6 - 2 \right) + \frac{20}{15} \right] = 704,75 \quad ,,$$

$$,, \quad m = 3 \quad ,, \quad m'' = 2 \quad ,, \quad Z_3^{\max} = 50 \cdot 6,045 \left[\frac{12}{150 + 15 \cdot 9} \left(50 \cdot \frac{4}{10} - \frac{(50 - 6)}{2} \cdot \frac{2}{10} + 15 - 6 \right) + \frac{20}{15} \right] = 715,14 \quad ,,$$

$$,, \quad m = 4 \quad ,, \quad m'' = 2 \quad ,, \quad Z_4^{\max} = 50 \cdot 6,087 \left[\frac{12}{150 + 15 \cdot 16} \left(50 \cdot \frac{5}{10} - \frac{(50 - 6)}{2} \cdot \frac{3}{10} + 20 - 6 \right) + \frac{20}{15} \right] = 710,66 \quad ,,$$

$$,, \quad m = 5 \quad ,, \quad m'' = 3 \quad ,, \quad Z_5^{\max} = 50 \cdot 6,147 \left[\frac{12}{150 + 15 \cdot 25} \left(50 \cdot \frac{6}{10} - \frac{(70 - 12)}{2} \cdot \frac{4}{10} + 35 - 12 \right) + \frac{20}{15} \right] = 702,29 \quad ,,$$

$$,, \quad m = 6 \quad ,, \quad m'' = 4 \quad ,, \quad Z_6^{\max} = 50 \cdot 6,219 \left[\frac{12}{150 + 15 \cdot 36} \left(50 \cdot \frac{7}{10} - \frac{(90 - 20)}{2} \cdot \frac{5}{10} + 54 - 20 \right) + \frac{20}{15} \right] = 691,54 \quad ,,$$

$$,, \quad m = 7 \quad ,, \quad m'' = 5 \quad ,, \quad Z_7^{\max} = 50 \cdot 6,306 \left[\frac{12}{150 + 15 \cdot 49} \left(50 \cdot \frac{8}{10} - \frac{(110 - 30)}{2} \cdot \frac{6}{10} + 77 - 30 \right) + \frac{20}{15} \right] = 690,41 \quad ,,$$

$$,, \quad m = 8 \quad ,, \quad m'' = 6 \quad ,, \quad Z_8^{\max} = 50 \cdot 6,405 \left[\frac{12}{150 + 15 \cdot 64} \left(50 \cdot \frac{9}{10} - \frac{(130 - 42)}{2} \cdot \frac{7}{10} + 104 - 42 \right) + \frac{20}{15} \right] = 691,73 \quad ,,$$

$$,, \quad m = 9 \quad ,, \quad m'' = 8 \quad ,, \quad Z_9^{\max} = 50 \cdot 6,516 \left[\frac{12}{150 + 15 \cdot 81} \left(50 \cdot \frac{10}{10} - \frac{(170 - 72)}{2} \cdot \frac{8}{10} + 153 - 72 \right) + \frac{20}{15} \right] = 697,11 \quad ,,$$

$$,, \quad m = 10 \quad ,, \quad m'' = 9 \quad ,, \quad Z_{10}^{\max} = 50 \cdot 6,639 \left[\frac{12}{150 + 15 \cdot 100} \left(50 \cdot \frac{11}{10} - \frac{(190 - 90)}{2} \cdot \frac{9}{10} + 190 - 90 \right) + \frac{20}{15} \right] = 708,05 \quad ,,$$

c. Berechnung der Minimalspannungen Z_m^{\min} nach Gleichung (461).

$$Z_m^{\min} = - \frac{n^2}{2} b_m \left[\frac{q}{n^2 k + m^2 f} \left(\frac{(n - m')(n - m' + 1)}{2} \left(\frac{m}{n} - \frac{k}{f} \right) - (m - m')(m - m' + 1) \right) - \frac{p}{f} \right].$$

$$\text{Für } m = 1 \text{ und } m' = 1 \text{ ist } Z_1^{\min} = - 50 \cdot 6,000 \left[\frac{12}{150 + 15 \cdot 1} \left(\frac{9 \cdot 10}{2} \cdot 0 - 0 \right) - \frac{20}{15} \right] = + 400,00 \text{ tons.}$$

$$,, \quad m = 2 \quad ,, \quad m' = 2 \quad ,, \quad Z_2^{\min} = - 50 \cdot 6,015 \left[\frac{12}{150 + 15 \cdot 4} \left(\frac{8 \cdot 9}{2} \cdot \frac{1}{10} - 0 \right) - \frac{20}{15} \right] = 309,05 \quad ,,$$

$$,, \quad m = 3 \quad ,, \quad m' = 3 \quad ,, \quad Z_3^{\min} = - 50 \cdot 6,045 \left[\frac{12}{150 + 15 \cdot 9} \left(\frac{7 \cdot 8}{2} \cdot \frac{2}{10} - 0 \right) - \frac{20}{15} \right] = 328,86 \quad ,,$$

Für $m = 4$ und $m' = 3$ ist $Z_4^{\min} = -50.6,087 \left[\frac{12}{150 + 15.16} \left(\frac{7.8}{2} \cdot \frac{3}{10} - 0 \right) - \frac{20}{15} \right] = 327,17$ tons.

„ $m = 5$ „ $m' = 4$ „ $Z_5^{\min} = -50.6,147 \left[\frac{12}{150 + 15.25} \left(\frac{6.7}{2} \cdot \frac{4}{10} - 1.2 \right) - \frac{20}{15} \right] = 350,68$ „

„ $m = 6$ „ $m' = 5$ „ $Z_6^{\min} = -50.6,219 \left[\frac{12}{150 + 15.36} \left(\frac{5.6}{2} \cdot \frac{5}{10} - 1.2 \right) - \frac{20}{15} \right] = 384,95$ „

„ $m = 7$ „ $m' = 6$ „ $Z_7^{\min} = -50.6,306 \left[\frac{12}{150 + 15.49} \left(\frac{4.5}{2} \cdot \frac{6}{10} - 1.2 \right) - \frac{20}{15} \right] = 410,78$ „

„ $m = 8$ „ $m' = 7$ „ $Z_8^{\min} = -50.6,405 \left[\frac{12}{150 + 15.64} \left(\frac{3.4}{2} \cdot \frac{7}{10} - 1.2 \right) - \frac{20}{15} \right] = 410,36$ „

„ $m = 9$ „ $m' = 9$ „ $Z_9^{\min} = -50.6,516 \left[\frac{12}{150 + 15.81} \left(\frac{1.2}{2} \cdot \frac{8}{10} - 1.2 \right) - \frac{20}{15} \right] = 431,01$ „

„ $m = 10$ „ $m' = 10$ „ $Z_{10}^{\min} = -50.6,639 \left[\frac{12}{150 + 15.100} \left(0 - 0 \right) - \frac{20}{15} \right] = 442,49$ „

2. Berechnung der Grenzspannungen X in den horizontalen Gurtungsstücken nach Gleichung (464).

a. Berechnung der Lagen der Belastungsscheiden nach Gleichung (462) und der Werthe x_m nach Gleichung (463).

$$e = \lambda \cdot \frac{n(m-1)(n-m+1)}{2n^2 - (m-1)(n+m-1)} \quad x_m = k + f \left(\frac{m-1}{n} \right)^2.$$

Für $m = 1$ ist $e = \lambda \cdot \frac{10 \cdot 0 \cdot 10}{200 - 0 \cdot 10} = \lambda \cdot 0,00$, daher $m' = 1$; $x_1 = 1,5 + 15 \cdot \frac{0}{100} = 1,50$ Met.

„ $m = 2$ „ $e = \lambda \cdot \frac{10 \cdot 1 \cdot 9}{200 - 1 \cdot 11} = \lambda \cdot 0,47$, „ $m' = 1$; $x_2 = 1,5 + 15 \cdot \frac{1}{100} = 1,65$ „

„ $m = 3$ „ $e = \lambda \cdot \frac{10 \cdot 2 \cdot 8}{200 - 2 \cdot 12} = \lambda \cdot 0,90$, „ $m' = 1$; $x_3 = 1,5 + 15 \cdot \frac{4}{100} = 2,10$ „

„ $m = 4$ „ $e = \lambda \cdot \frac{10 \cdot 3 \cdot 7}{200 - 3 \cdot 13} = \lambda \cdot 1,30$, „ $m' = 2$; $x_4 = 1,5 + 15 \cdot \frac{9}{100} = 2,85$ „

„ $m = 5$ „ $e = \lambda \cdot \frac{10 \cdot 4 \cdot 6}{200 - 4 \cdot 14} = \lambda \cdot 1,60$, „ $m' = 2$; $x_5 = 1,5 + 15 \cdot \frac{16}{100} = 3,90$ „

„ $m = 6$ „ $e = \lambda \cdot \frac{10 \cdot 5 \cdot 5}{200 - 5 \cdot 15} = \lambda \cdot 2,00$, „ $m' = 3$; $x_6 = 1,5 + 15 \cdot \frac{25}{100} = 5,25$ „

„ $m = 7$ „ $e = \lambda \cdot \frac{10 \cdot 6 \cdot 4}{200 - 6 \cdot 16} = \lambda \cdot 2,30$, „ $m' = 3$; $x_7 = 1,5 + 15 \cdot \frac{36}{100} = 6,90$ „

„ $m = 8$ „ $e = \lambda \cdot \frac{10 \cdot 7 \cdot 3}{200 - 7 \cdot 17} = \lambda \cdot 2,50$, „ $m' = 3$; $x_8 = 1,5 + 15 \cdot \frac{49}{100} = 8,85$ „

„ $m = 9$ „ $e = \lambda \cdot \frac{10 \cdot 8 \cdot 2}{200 - 8 \cdot 18} = \lambda \cdot 2,80$, „ $m' = 3$; $x_9 = 1,5 + 15 \cdot \frac{64}{100} = 11,10$ „

„ $m = 10$ „ $e = \lambda \cdot \frac{10 \cdot 9 \cdot 1}{200 - 9 \cdot 19} = \lambda \cdot 3,10$, „ $m' = 4$; $x_{10} = 1,5 + 15 \cdot \frac{81}{100} = 13,65$ „

b. Berechnung der Grenzspannungen X nach Gleichung (464).

$$X_{m \min}^{\max} = \pm \frac{q \lambda}{2 x_m} \left[\frac{(n-m')(n-m'+1)(m-1)(n+m-1)}{2n^2} - (m-m')(m-m'-1) \right].$$

Für $m = 1$ und $m' = 1$ ist $X_{1 \min}^{\max} = \pm \frac{12.6}{2 \cdot 1,50} \left[\frac{9 \cdot 10 \cdot 0 \cdot 10}{200} - 0 \cdot -1 \right] = \pm 0$ tons.

$$\begin{aligned}
 \text{Für } m = 2 \text{ und } m' = 2 \text{ ist } X_{2 \min}^{\max} &= \pm \frac{16.6}{2.1,65} \left[\frac{9.10.1.11}{200} - 1.0 \right] = \pm 108,00 \text{ tons.} \\
 \text{" } m = 3 \text{ " } m' = 1 \text{ " } X_{3 \min}^{\max} &= \pm \frac{12.6}{2.2,10} \left[\frac{9.10.2.12}{200} - 2.1 \right] = \pm 150,84 \text{ " } \\
 \text{" } m = 4 \text{ " } m' = 2 \text{ " } X_{4 \min}^{\max} &= \pm \frac{12.6}{2.2,85} \left[\frac{8.9.3.13}{200} - 2.1 \right] = \pm 152,07 \text{ " } \\
 \text{" } m = 5 \text{ " } m' = 2 \text{ " } X_{5 \min}^{\max} &= \pm \frac{12.6}{2.3,90} \left[\frac{8.9.4.14}{200} - 3.2 \right] = \pm 130,71 \text{ " } \\
 \text{" } m = 6 \text{ " } m' = 3 \text{ " } X_{6 \min}^{\max} &= \pm \frac{12.6}{2.5,25} \left[\frac{7.8.5.15}{200} - 3.2 \right] = \pm 102,84 \text{ " } \\
 \text{" } m = 7 \text{ " } m' = 3 \text{ " } X_{7 \min}^{\max} &= \pm \frac{12.6}{2.6,90} \left[\frac{7.8.6.16}{200} - 4.3 \right] = \pm 77,76 \text{ " } \\
 \text{" } m = 8 \text{ " } m' = 3 \text{ " } X_{8 \min}^{\max} &= \pm \frac{12.6}{2.8,85} \left[\frac{7.8.7.17}{200} - 5.4 \right] = \pm 54,18 \text{ " } \\
 \text{" } m = 9 \text{ " } m' = 3 \text{ " } X_{9 \min}^{\max} &= \pm \frac{16.6}{2.11,10} \left[\frac{7.8.8.18}{200} - 6.5 \right] = \pm 33,45 \text{ " } \\
 \text{" } m = 10 \text{ " } m' = 4 \text{ " } X_{10 \min}^{\max} &= \pm \frac{12.6}{2.13,65} \left[\frac{6.7.9.19}{200} - 6.5 \right] = \pm 15,57 \text{ " }
 \end{aligned}$$

3. Berechnung der Grenzspannungen Y in den Diagonalstäben nach den Gleichungen (469), (473) und (475).

a. Berechnung der Lage der Belastungsscheiden nach Gleichung (471).

$$e = \lambda \left(n - \frac{2}{\frac{k+f}{f(n-m) + \frac{kn^2 + fm^2}{2m-1}} + \frac{1}{n}} \right)$$

$$\begin{aligned}
 \text{Für } m = 1 \text{ ist } e &= \lambda \cdot \left[10 - \frac{2}{\frac{16,5}{15.9 + (150 + 15) \frac{1}{1}} + \frac{1}{10}} \right] = \lambda \cdot -8,00 \\
 \text{" } m = 2 \text{ " } e &= \lambda \cdot \left[10 - \frac{2}{\frac{16,5}{15.8 + (150 + 15) \frac{1}{3}} + \frac{1}{10}} \right] = \lambda \cdot -0,70 \\
 \text{" } m = 3 \text{ " } e &= \lambda \cdot \left[10 - \frac{2}{\frac{16,5}{15.7 + (150 + 15) \frac{1}{5}} + \frac{1}{10}} \right] = \lambda \cdot 0,10, \text{ daher } m_1 = 1. \\
 \text{" } m = 4 \text{ " } e &= \lambda \cdot \left[10 - \frac{2}{\frac{16,5}{15.6 + (150 + 15) \frac{1}{7}} + \frac{1}{10}} \right] = \lambda \cdot 0,70, \text{ " } m_1 = 1. \\
 \text{" } m = 5 \text{ " } e &= \lambda \cdot \left[10 - \frac{2}{\frac{16,5}{15.5 + (150 + 15) \frac{1}{9}} + \frac{1}{10}} \right] = \lambda \cdot 1,10, \text{ " } m_1 = 2. \\
 \text{" } m = 6 \text{ " } e &= \lambda \cdot \left[10 - \frac{2}{\frac{16,5}{15.4 + (150 + 15) \frac{1}{11}} + \frac{1}{10}} \right] = \lambda \cdot 1,46, \text{ " } m_1 = 2. \\
 \text{" } m = 7 \text{ " } e &= \lambda \cdot \left[10 - \frac{2}{\frac{16,5}{15.3 + (150 + 15) \frac{1}{13}} + \frac{1}{10}} \right] = \lambda \cdot 1,70, \text{ " } m_1 = 2.
 \end{aligned}$$

Wenn e negativ, kommt m' nicht vor.

$$\text{Für } m = 8 \text{ ist } e = \lambda \cdot \left[10 - \frac{2}{\frac{16,5}{15 \cdot 2 + (150 + 15)^{1/15}} + \frac{1}{10}} \right] = \lambda \cdot 2,30, \text{ daher } m_1 = 3.$$

$$\text{„ } m = 9 \text{ „ } e = \lambda \cdot \left[10 - \frac{2}{\frac{16,5}{15 \cdot 1 + (150 + 15)^{1/17}} + \frac{1}{10}} \right] = \lambda \cdot 2,70, \text{ „ } m_1 = 3.$$

$$\text{„ } m = 10 \text{ „ } e = \lambda \cdot \left[10 - \frac{2}{\frac{16,5}{15 \cdot 0 + (150 + 15)^{1/19}} + \frac{1}{10}} \right] = \lambda \cdot 3,10, \text{ „ } m_1 = 4.$$

b. Berechnung der Werthe d_m , w_m , y_m und u_m nach den Gleichungen (467), (466), (468) und (472).

$$d_m = \sqrt{\lambda^2 + \left(k + f \left(\frac{m-1}{n} \right)^2 \right)^2}; \quad w_m = \frac{n^2 k + m^2 f}{f(2m-1)} \cdot \lambda; \quad y_m = w_m \frac{f \left(\frac{m-1}{n} \right)^2 + k}{d_m}; \quad u_m = w_m - (m-m') \lambda.$$

$$\text{Für } m = 1 \text{ ist } d_1 = \sqrt{36 + \left(1,5 + 15 \cdot \frac{0}{100} \right)^2} = 6,18; \quad w_1 = 6 \left(\frac{150 + 15 \cdot 1}{15 \cdot 1} \right) = 66,00.$$

$$y_1 = 66,00 \frac{\left(1,5 + 15 \cdot \frac{0}{100} \right)}{6,18} = 15,97; \quad u_1 \text{ kommt in Gleichung (469) nicht vor.}$$

$$\text{„ } m = 2 \text{ „ } d_2 = \sqrt{36 + \left(1,5 + 15 \cdot \frac{1}{100} \right)^2} = 6,21; \quad w_2 = 6 \left(\frac{150 + 15 \cdot 4}{15 \cdot 3} \right) = 27,96.$$

$$y_2 = 27,96 \frac{\left(1,5 + 15 \cdot \frac{1}{100} \right)}{6,21} = 7,41; \quad u_2 \text{ kommt in Gleichung (469) nicht vor.}$$

$$\text{„ } m = 3 \text{ „ } d_3 = \sqrt{36 + \left(1,5 + 15 \cdot \frac{4}{100} \right)^2} = 6,36; \quad w_3 = 6 \left(\frac{150 + 15 \cdot 9}{15 \cdot 5} \right) = 22,80.$$

$$y_3 = 22,80 \frac{\left(1,5 + 15 \cdot \frac{9}{100} \right)}{6,36} = 7,53; \quad u_3 = 22,80 - 2 \cdot 6 = 10,80.$$

$$\text{„ } m = 4 \text{ „ } d_4 = \sqrt{36 + \left(1,5 + 15 \cdot \frac{9}{100} \right)^2} = 6,63; \quad w_4 = 6 \left(\frac{150 + 15 \cdot 16}{15 \cdot 7} \right) = 22,29.$$

$$y_4 = 22,29 \frac{\left(1,5 + 15 \cdot \frac{9}{100} \right)}{6,63} = 9,58; \quad u_4 = 22,29 - 3 \cdot 6 = 4,29.$$

$$\text{„ } m = 5 \text{ „ } d_5 = \sqrt{36 + \left(1,5 + 15 \cdot \frac{16}{100} \right)^2} = 7,14; \quad w_5 = 6 \left(\frac{150 + 15 \cdot 25}{15 \cdot 9} \right) = 23,34.$$

$$y_5 = 23,34 \frac{\left(1,5 + 15 \cdot \frac{16}{100} \right)}{7,14} = 12,72; \quad u_5 = 23,34 - 3 \cdot 6 = 5,34.$$

$$\text{„ } m = 6 \text{ „ } d_6 = \sqrt{36 + \left(1,5 + 15 \cdot \frac{25}{100} \right)^2} = 7,95; \quad w_6 = 6 \left(\frac{150 + 15 \cdot 36}{15 \cdot 11} \right) = 28,08.$$

$$y_6 = 28,08 \frac{\left(1,5 + 15 \cdot \frac{25}{100} \right)}{7,95} = 16,53; \quad u_6 = 28,08 - 4 \cdot 6 = 1,08.$$

$$\text{Für } m = 7 \text{ ist } d_7 = \sqrt{36 + \left(1,5 + 15 \cdot \frac{36}{100}\right)^2} = 9,15; w_7 = 6 \left(\frac{150 + 15 \cdot 49}{15 \cdot 13}\right) = 27,24.$$

$$y_7 = 27,24 \frac{\left(1,5 + 15 \cdot \frac{36}{100}\right)}{9,15} = 20,50; \quad u_7 = 27,24 - 5 \cdot 6 = - 2,76.$$

$$\text{„ } m = 8 \text{ „ } d_8 = \sqrt{36 + \left(1,5 + 15 \cdot \frac{49}{100}\right)^2} = 10,68; w_8 = 6 \left(\frac{150 + 15 \cdot 64}{15 \cdot 15}\right) = 28,61.$$

$$y_8 = 29,61 \frac{\left(1,5 + 15 \cdot \frac{49}{100}\right)}{10,68} = 24,48; \quad u_8 = 29,61 - 5 \cdot 6 = - 0,39.$$

$$\text{„ } m = 9 \text{ „ } d_9 = \sqrt{36 + \left(1,5 + 15 \cdot \frac{64}{100}\right)^2} = 12,63; w_9 = 6 \left(\frac{150 + 15 \cdot 81}{15 \cdot 17}\right) = 32,13.$$

$$y_9 = 32,13 \frac{\left(1,5 + 15 \cdot \frac{64}{100}\right)}{12,63} = 28,26; \quad u_9 = 32,13 - 6 \cdot 6 = - 3,87.$$

$$\text{„ } m = 10 \text{ „ } d_{10} = \sqrt{36 + \left(1,5 + 15 \cdot \frac{81}{100}\right)^2} = 14,91; w_{10} = 6 \left(\frac{150 + 15 \cdot 100}{15 \cdot 19}\right) = 34,74.$$

$$y_{10} = 34,74 \frac{\left(1,5 + 15 \cdot \frac{81}{100}\right)}{14,91} = 31,80; \quad u_{10} = 34,74 - 6 \cdot 6 = - 1,26.$$

c. Berechnung der Werthe $\frac{1}{2} \left(1 \pm \frac{k}{f}\right)$ und $(n - m)\lambda + w_m$ zur Bestimmung der drei Fälle.

$$\text{Der constante Werth } \frac{1}{2} \left(1 \pm \frac{k}{f}\right) = 60 \left(1 \pm \frac{1,5}{15}\right) = \left\{ \begin{array}{l} 66 \\ 54 \end{array} \right\}.$$

$$\text{Für } m = 1 \text{ ist } (n - m)\lambda + w_m = 54 + 66,00 = 120,00 > 66.$$

$$\text{„ } m = 2 \text{ „ } (n - m)\lambda + w_m = 48 + 27,96 = 75,96 > 66.$$

$$\text{„ } m = 3 \text{ „ } (n - m)\lambda + w_m = 42 + 22,80 = 64,80 < 66.$$

$$\text{„ } m = 4 \text{ „ } (n - m)\lambda + w_m = 36 + 22,29 = 58,29 < 66.$$

$$\text{„ } m = 5 \text{ „ } (n - m)\lambda + w_m = 30 + 23,34 = 53,34 < 66.$$

$$\text{„ } m = 6 \text{ „ } (n - m)\lambda + w_m = 24 + 28,08 = 52,08 < 66.$$

$$\text{„ } m = 7 \text{ „ } (n - m)\lambda + w_m = 18 + 27,24 = 45,24 < 66.$$

$$\text{„ } m = 8 \text{ „ } (n - m)\lambda + w_m = 12 + 29,61 = 41,61 < 66.$$

$$\text{„ } m = 9 \text{ „ } (n - m)\lambda + w_m = 6 + 32,13 = 38,13 < 66.$$

$$\text{„ } m = 10 \text{ „ } (n - m)\lambda + w_m = 0 + 34,74 = 34,74 < 66.$$

d. Berechnung der Grenzspannungen Y nach Gleichung (469), (473) und (475).

Erster Fall, wo $(n - m)\lambda + w_m > \frac{1}{2} \left(1 + \frac{k}{f}\right)$ nach Gleichung (469).

$$Y_{\min}^{\max} = \pm \frac{q}{y_m} \cdot \frac{(n - m)(n - m + 1)}{4} \left[\frac{w_m - m\lambda}{n} + \frac{k\lambda}{f} \right].$$

$$\text{Für } m = 1 \text{ ist } Y_{1 \min}^{\max} = \pm \frac{12}{15,97} \cdot \frac{9 \cdot 10}{4} \left(\frac{66 - 6 \cdot 1}{10} + \frac{1,5 \cdot 6}{15} \right) = \pm 111,60 \text{ tons.}$$

$$\text{„ } m = 2 \text{ „ } Y_{2 \min}^{\max} = \pm \frac{12}{7,41} \cdot \frac{8 \cdot 9}{4} \left(\frac{27,96 - 6 \cdot 2}{10} + \frac{1,5 \cdot 6}{15} \right) = \pm 64,16 \text{ „}$$

Zweiter Fall, wo $(n - m)\lambda + w_m \begin{cases} < \frac{1}{2} \left(1 + \frac{k}{f}\right) \\ > \frac{1}{2} \left(1 - \frac{k}{f}\right) \end{cases}$ nach Gleichung (473).

$$Y_{m \min}^{\max} = \pm \frac{q(m - m')}{y_m} \left[\frac{(2n - m - m' + 1)}{4} \left(\frac{m\lambda - w_m}{n} - \frac{k\lambda}{f} \right) + u_m + \frac{(m - m' - 1)}{2} \cdot \lambda \right].$$

Für $m = 3$ ist $m' = 1$ und $Y_{3 \min}^{\max} = \pm \frac{12 \cdot 2}{7,53} \left[\frac{(20 - 3)}{4} \left(\frac{18 - 22,80}{10} - \frac{1,5 \cdot 6}{15} \right) + 10,80 + \frac{1 \cdot 6}{2} \right] = \pm 29,34$ tons.

„ $m = 4$ „ $m' = 1$ „ $Y_{4 \min}^{\max} = \pm \frac{12 \cdot 3}{9,58} \left[\frac{(20 - 4)}{4} \left(\frac{24 - 22,29}{10} - \frac{1,5 \cdot 6}{15} \right) + 4,29 + \frac{2 \cdot 6}{2} \right] = \pm 32,31$ „

Dritter Fall, wo $(n - m)\lambda + w_m < \frac{1}{2} \left(1 - \frac{k}{f}\right)$, nach Gleichung (475).

$$Y_{m \min}^{\max} = \pm \frac{q}{y_m} \left[\frac{(n - m')(n - m' + 1)}{4} \left(\frac{m\lambda - w_m}{n} - \frac{k\lambda}{f} \right) + (m - m') \left(u_m + \frac{(m - m' - 1)}{2} \cdot \lambda \right) \right].$$

Für $m = 5$ ist $m' = 2$ und $Y_{5 \min}^{\max} = \pm \frac{12}{12,72} \left[\frac{8 \cdot 9}{4} \left(\frac{30 - 23,34}{10} - \frac{1,5 \cdot 6}{15} \right) + 3 \left(5,34 + \frac{2 \cdot 6}{2} \right) \right] = \pm 33,18$ ts.

„ $m = 6$ „ $m' = 2$ „ $Y_{6 \min}^{\max} = \pm \frac{12}{16,53} \left[\frac{8 \cdot 9}{4} \left(\frac{36 - 28,08}{10} - \frac{1,5 \cdot 6}{15} \right) + 4 \left(1,08 + \frac{3 \cdot 6}{2} \right) \right] = \pm 35,70$ „

„ $m = 7$ „ $m' = 2$ „ $Y_{7 \min}^{\max} = \pm \frac{12}{20,50} \left[\frac{8 \cdot 9}{4} \left(\frac{42 - 27,24}{10} - \frac{1,5 \cdot 6}{15} \right) + 5 \left(-2,76 + \frac{4 \cdot 6}{2} \right) \right] = \pm 36,24$ „

„ $m = 8$ „ $m' = 3$ „ $Y_{8 \min}^{\max} = \pm \frac{12}{24,48} \left[\frac{7 \cdot 8}{4} \left(\frac{48 - 29,61}{10} - \frac{1,5 \cdot 6}{15} \right) + 5 \left(-0,39 + \frac{5 \cdot 6}{2} \right) \right] = \pm 36,90$ „

„ $m = 9$ „ $m' = 3$ „ $Y_{9 \min}^{\max} = \pm \frac{12}{28,26} \left[\frac{7 \cdot 8}{4} \left(\frac{54 - 32,13}{10} - \frac{1,5 \cdot 6}{15} \right) + 6 \left(-3,87 + \frac{5 \cdot 6}{2} \right) \right] = \pm 37,77$ „

„ $m = 10$ „ $m' = 4$ „ $Y_{10 \min}^{\max} = \pm \frac{12}{31,80} \left[\frac{6 \cdot 7}{4} \left(\frac{60 - 34,74}{10} - \frac{1,5 \cdot 6}{15} \right) + 6 \left(-1,26 + \frac{5 \cdot 6}{2} \right) \right] = \pm 38,73$ „

4. Berechnung der Grenzspannungen in den Verticalankern.

a. Ohne Berücksichtigung des Eigengewichts.

Erster Fall, wo $(n - m)\lambda + w_m > \frac{1}{2} \left(1 + \frac{k}{f}\right)$, nach den Gleichungen (476) und (477).

$$W_m \max = q \left[\frac{(n - m)(n - m - 1)}{4 w_m} \left(\frac{w_m - m\lambda}{n} + \frac{k\lambda}{f} \right) + 1 \right]. \quad W_m \min = q - W_m \max.$$

Für $m = 1$ ist $W_1 \max = 12 \left[\frac{9 \cdot 8}{4 \cdot 66} \left(\frac{66 - 6 \cdot 1}{10} + \frac{6}{10} \right) + 1 \right] = 33,6$ tons, daher $W_1 \min = -33,6 + 12 = -21,6$ tons.

„ $m = 2$ „ $W_2 \max = 12 \left[\frac{4 \cdot 27,96}{8 \cdot 7} \left(\frac{27,96 - 6 \cdot 2}{10} + \frac{6}{10} \right) + 1 \right] = 25,17$ „ „ $W_2 \min = -25,17 + 12 = -13,17$ „

Zweiter Fall, wo $(n - m)\lambda + w_m \begin{cases} < \frac{1}{2} \left(1 + \frac{k}{f}\right) \\ > \frac{1}{2} \left(1 + \frac{k}{f}\right) \end{cases}$, nach den Gleichungen (481) und (482).

$$W_m \max = \frac{q(m - m' + 1)}{w_m} \left[\frac{(2n - m - m')}{4} \left(\frac{m\lambda - w_m}{n} - \frac{k\lambda}{f} \right) + u_m + \frac{(m - m')\lambda}{2} \right]. \quad W_m \min = q - W_m \max.$$

Für $m = 3$ ist $m' = 1$ und $W_3 \max = \frac{12 \cdot 3}{22,8} \left[\frac{16}{4} \left(\frac{18 - 22,8}{10} - \frac{6}{10} \right) + 10,8 + \frac{2 \cdot 6}{2} \right] = 19,70$ tons,

daher $W_3 \min = -19,70 + 12 = -7,70$ tons.

$$\text{Für } m = 4 \text{ ist } m' = 1 \text{ und } W_4^{\max} = \frac{12.4}{22,29} \left[\frac{15}{4} \left(\frac{24 - 22,29}{10} - \frac{6}{10} \right) + 4,29 + \frac{3.6}{2} \right] = 25,14 \text{ tons,}$$

$$\text{daher } W_4^{\min} = -25,14 + 12 = -13,14 \text{ tons}$$

Dritter Fall, wo $(n - m)\lambda < \frac{1}{2} \left(1 - \frac{k}{f} \right)$, nach den Gleichungen (485) und (486).

$$W_m^{\max} = \frac{q}{w_m} \left[\frac{(n - m')(n - m' + 1)}{4} \left(\frac{m\lambda - w_m}{n} - \frac{k\lambda}{f} \right) + (m - m' + 1) \left(u_m + \frac{(m - m')\lambda}{2} \right) \right] W_m^{\min} = q - W_m^{\max}.$$

$$\text{Für } m = 5 \text{ ist } m' = 2 \text{ und } W_5^{\max} = \frac{12}{23,34} \left[\frac{8.9}{4} \left(\frac{30 - 23,34}{10} - \frac{6}{10} \right) + 4 \left(5,34 + \frac{3.6}{2} \right) \right] = 30,09 \text{ tons,}$$

$$\text{daher } W_5^{\min} = -30,09 + 12 = -18,09 \text{ tons.}$$

$$\text{„ } m = 6 \text{ „ } m' = 2 \text{ „ } W_6^{\max} = \frac{12}{28,08} \left[\frac{8.9}{4} \left(\frac{36 - 28,08}{10} - \frac{6}{10} \right) + 5 \left(1,08 + \frac{4.6}{2} \right) \right] = 35,52 \text{ „}$$

$$\text{daher } W_6^{\min} = -35,52 + 12 = -23,52 \text{ tons.}$$

$$\text{„ } m = 7 \text{ „ } m' = 3 \text{ „ } W_7^{\max} = \frac{12}{27,24} \left[\frac{8.9}{4} \left(\frac{42 - 27,24}{10} - \frac{6}{10} \right) + 6 \left(-2,76 + \frac{5.6}{2} \right) \right] = 39,30 \text{ „}$$

$$\text{daher } W_7^{\min} = -39,30 + 12 = -27,30 \text{ tons.}$$

$$\text{„ } m = 8 \text{ „ } m' = 3 \text{ „ } W_8^{\max} = \frac{12}{29,61} \left[\frac{7.8}{4} \left(\frac{48 - 29,61}{10} - \frac{6}{10} \right) + 6 \left(-0,39 + \frac{5.6}{2} \right) \right] = 42,60 \text{ „}$$

$$\text{daher } W_8^{\min} = -42,60 + 12 = -30,60 \text{ tons.}$$

$$\text{„ } m = 9 \text{ „ } m' = 3 \text{ „ } W_9^{\max} = \frac{12}{32,13} \left[\frac{7.8}{4} \left(\frac{54 - 32,13}{10} - \frac{6}{10} \right) + 6 \left(-3,87 + \frac{6.6}{2} \right) \right] = 45,24 \text{ „}$$

$$\text{daher } W_9^{\min} = -45,24 + 12 = -33,24 \text{ tons.}$$

$$\text{„ } m = 10 \text{ „ } m' = 4 \text{ „ } W_{10}^{\max} = \frac{12}{34,74} \left[\frac{6.7}{4} \left(\frac{60 - 34,74}{10} - \frac{6}{10} \right) + 7 \left(-1,27 + \frac{6.6}{2} \right) \right] = 47,46 \text{ „}$$

$$\text{daher } W_{10}^{\min} = -47,46 + 12 = -35,46 \text{ tons.}$$

b. Mit Berücksichtigung des Eigengewichts nach den Gleichungen (480), (478 und 479), (483 und 484), sowie (487 und 488).

$$W_0^{\max} = \frac{1}{2} (10 + 12) = 11,00 \text{ tons, nach Gleichung (480).}$$

$W_1^{\max} = 33,60 + 10 = 43,60 \text{ tons.}$	$W_1^{\min} = -21,60 + 10 = -11,60 \text{ tons.}$	} nach den Gleichungen (478) und (479).
$W_2^{\max} = 25,17 + 10 = 35,17 \text{ „}$	$W_2^{\min} = -13,17 + 10 = -3,17 \text{ „}$	
$W_3^{\max} = 19,70 + 10 = 29,70 \text{ „}$	$W_3^{\min} = -7,70 + 10 = +2,30 \text{ „}$	} nach den Gleichungen (483) und (484).
$W_4^{\max} = 25,14 + 10 = 35,14 \text{ „}$	$W_4^{\min} = -13,14 + 10 = -3,14 \text{ „}$	
$W_5^{\max} = 30,09 + 10 = 40,09 \text{ „}$	$W_5^{\min} = -42,09 + 10 = -32,09 \text{ „}$	} nach den Gleichungen (487) und (488).
$W_6^{\max} = 35,52 + 10 = 45,52 \text{ „}$	$W_6^{\min} = -23,52 + 10 = -13,52 \text{ „}$	
$W_7^{\max} = 49,30 + 10 = 49,30 \text{ „}$	$W_7^{\min} = -27,30 + 10 = -17,30 \text{ „}$	
$W_8^{\max} = 42,60 + 10 = 52,60 \text{ „}$	$W_8^{\min} = -30,60 + 10 = -20,60 \text{ „}$	
$W_9^{\max} = 45,24 + 10 = 55,24 \text{ „}$	$W_9^{\min} = -33,24 + 10 = -23,24 \text{ „}$	
$W_{10}^{\max} = 47,46 + 10 = 57,46 \text{ „}$	$W_{10}^{\min} = -35,46 + 10 = -25,46 \text{ „}$	

Die vorstehend für die Brückenträger gewonnenen Resultate sind in Fig. 20 und zwar für die Seitenträger in Fig. 20^a und für den Mittelträger in Figur 20^b übersichtlich zusammengestellt.



Fig. 1.

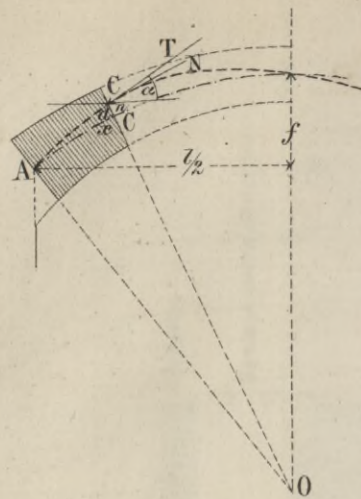


Fig. 2.

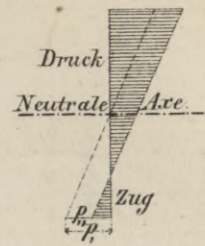


Fig. 5.

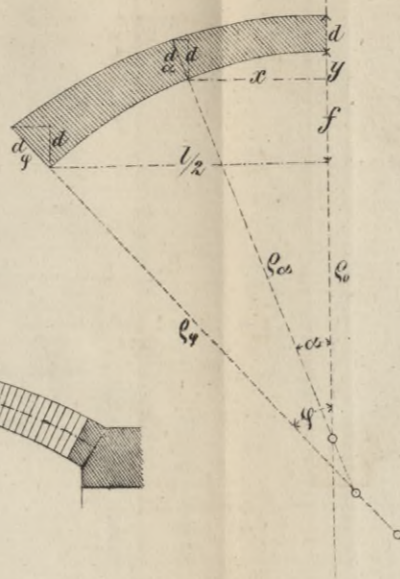


Fig. 6.

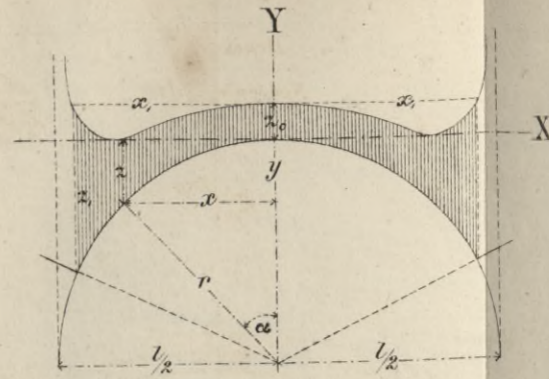


Fig. 7.

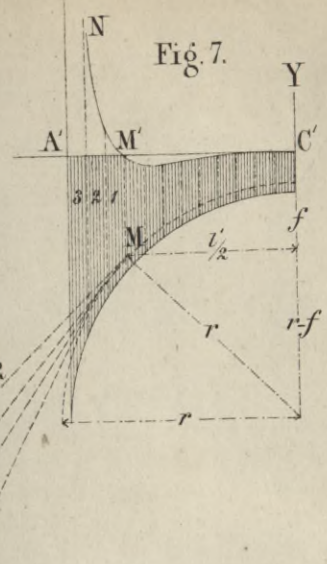


Fig. 8.

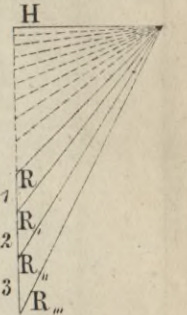


Fig. 3.

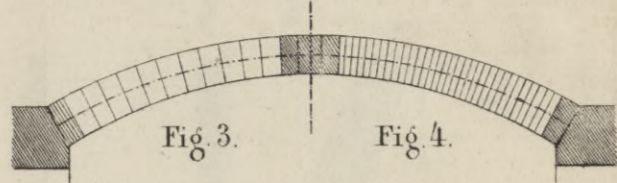


Fig. 4.

Fig. 9.

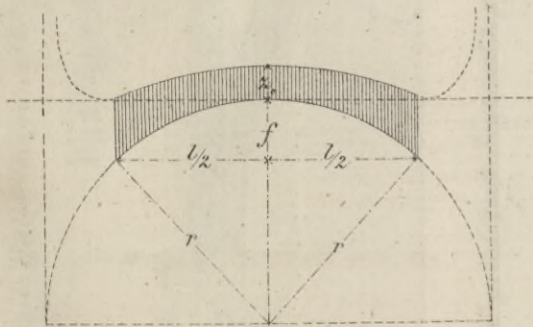


Fig. 10.

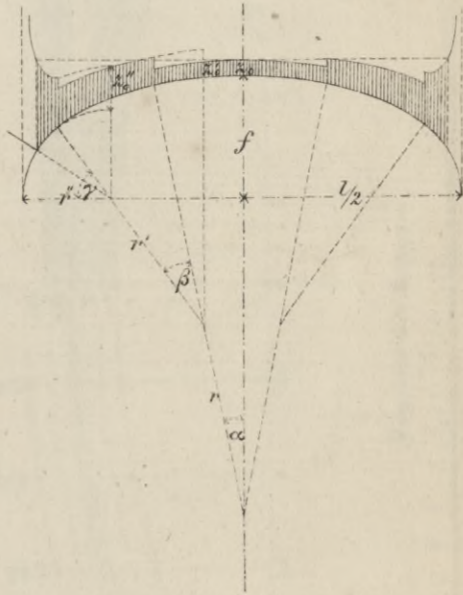


Fig. 11.

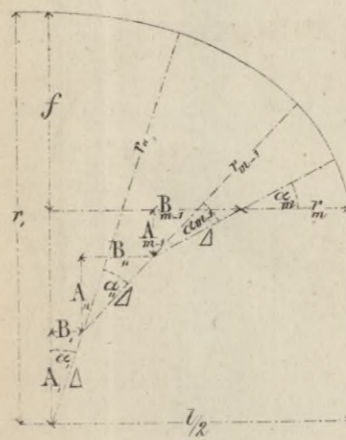


Fig. 12.

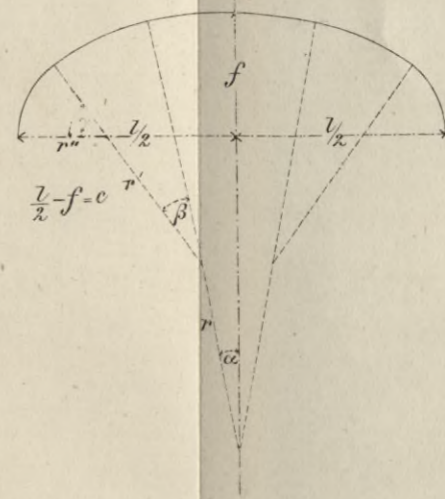


Fig. 13.

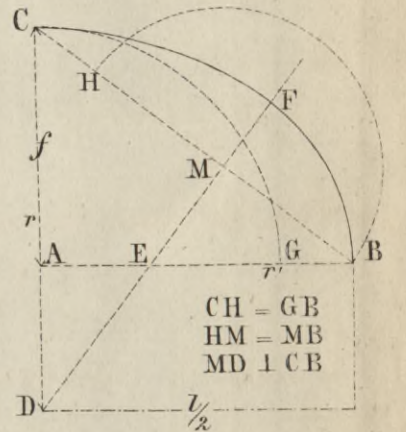


Fig. 14.

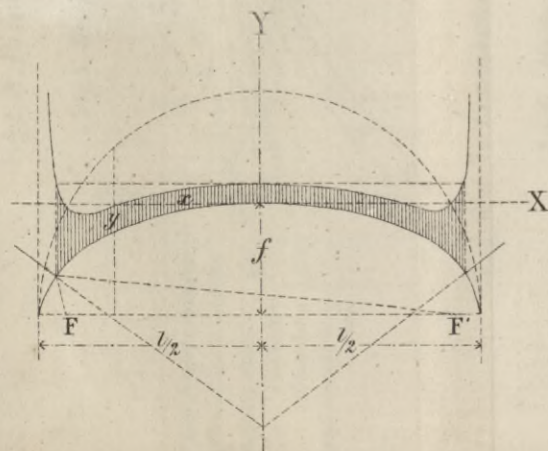


Fig. 15.

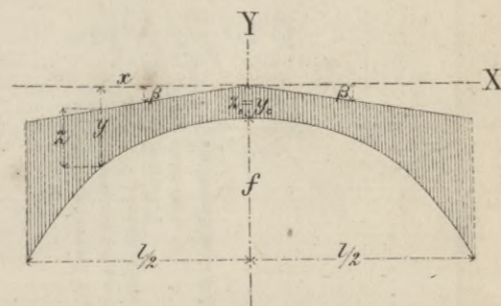


Fig. 16.

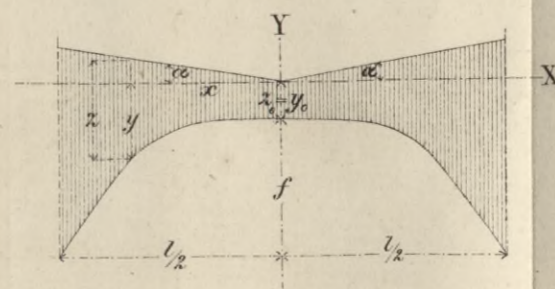


Fig. 17.

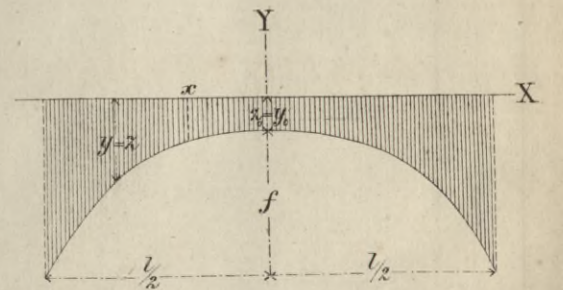


Fig. 1-3. Eisenbahnviaduct mit Halbkreisgewölbe aus Ziegeln.

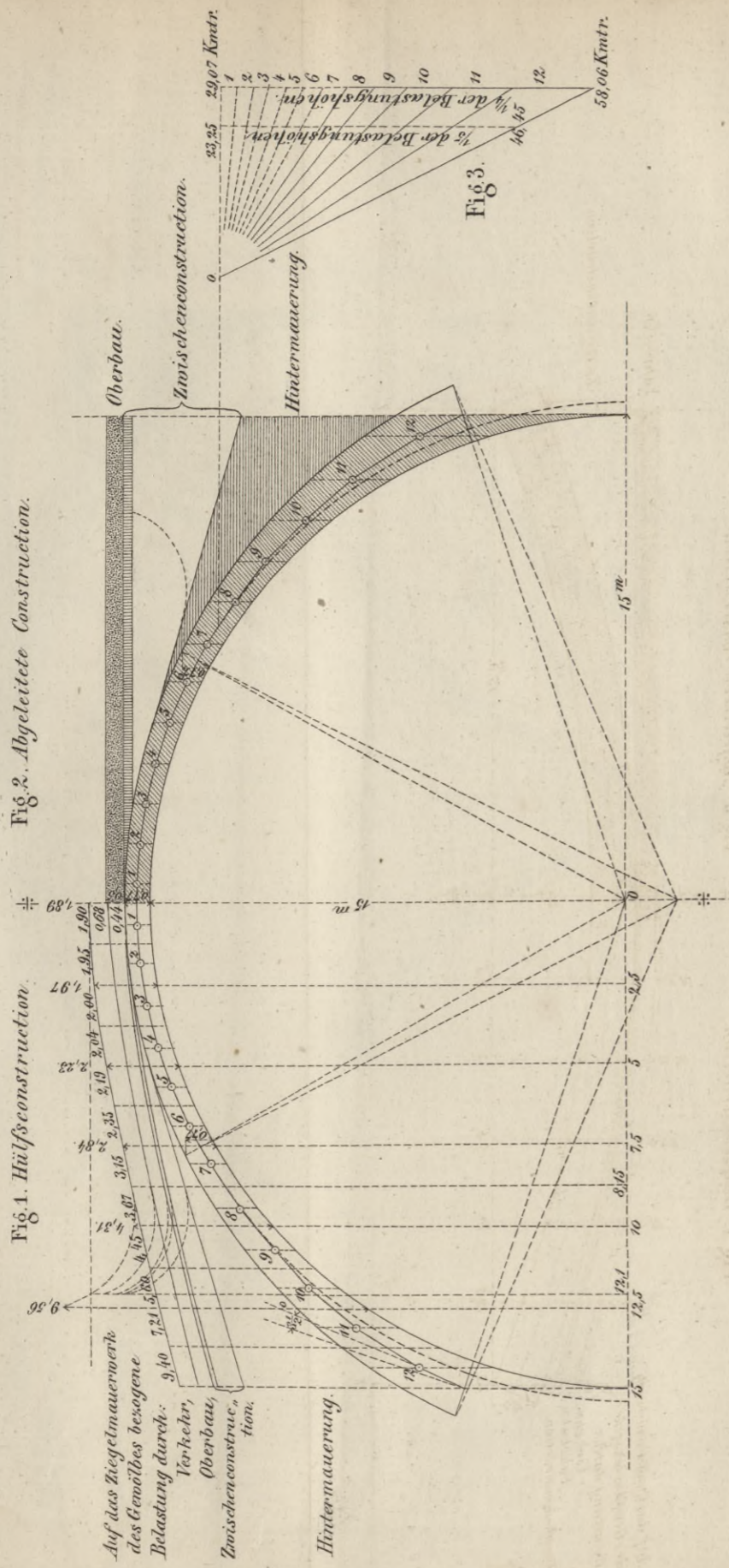


Fig. 4 u. 5. Gepflasterte Strassenbrücke mit Segmentbogen- u. Kreisgewölbe aus Quadern.

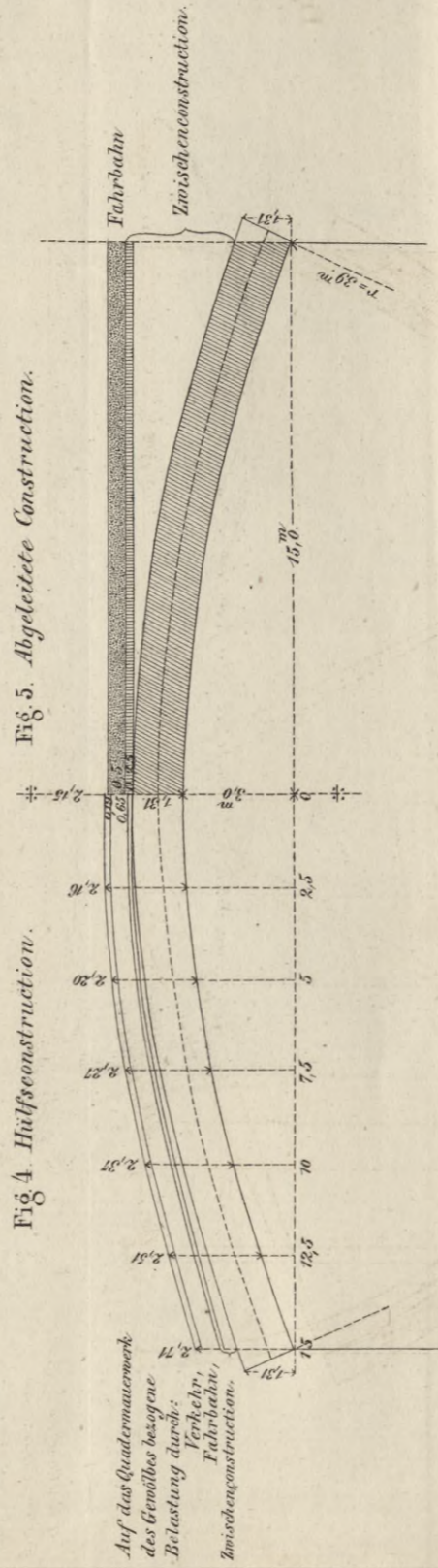
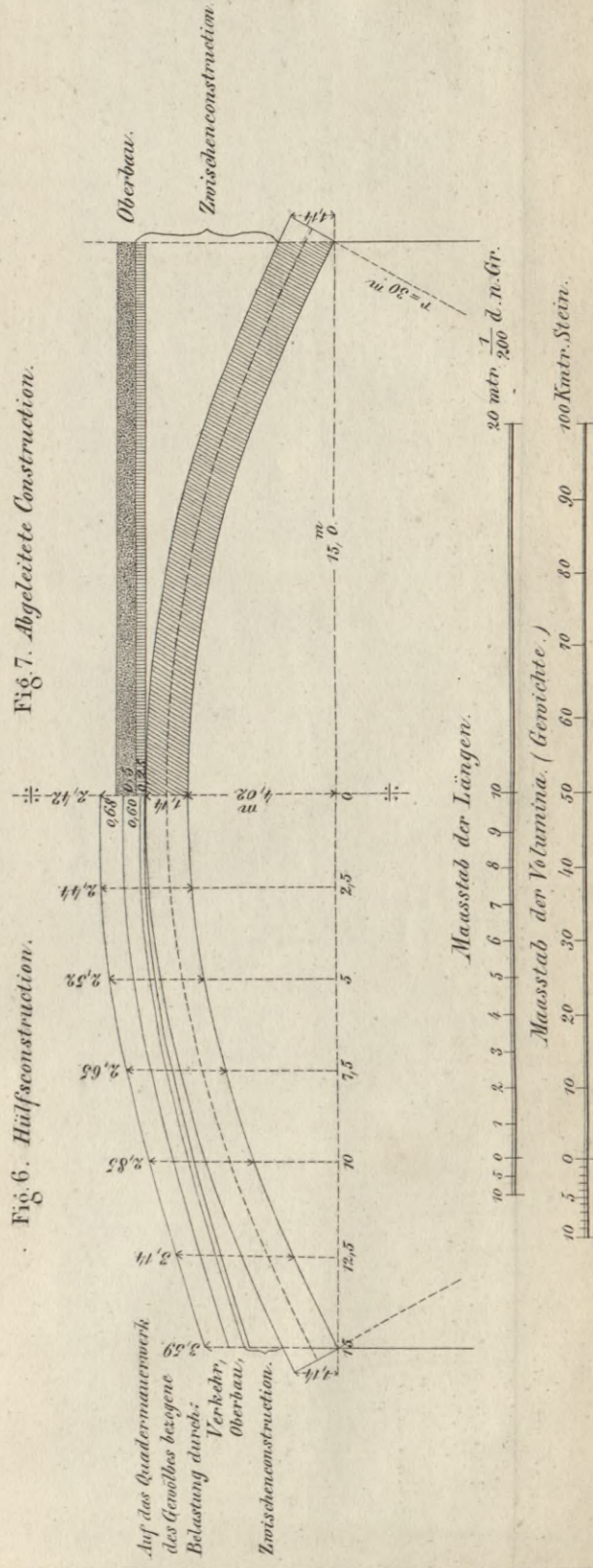


Fig. 6 u. 7. Eisenbahnbrücke mit 60° gradigem Segmentbogen- u. Kreisgewölbe aus Quadern.



THE UNIVERSITY OF CHICAGO

LIBRARY



By the University of Chicago Press, Chicago, Ill.

Fig. 1 u. 2. Gepflasterte Strassenbrücke mit Korbbogengewölbe aus Quadern.

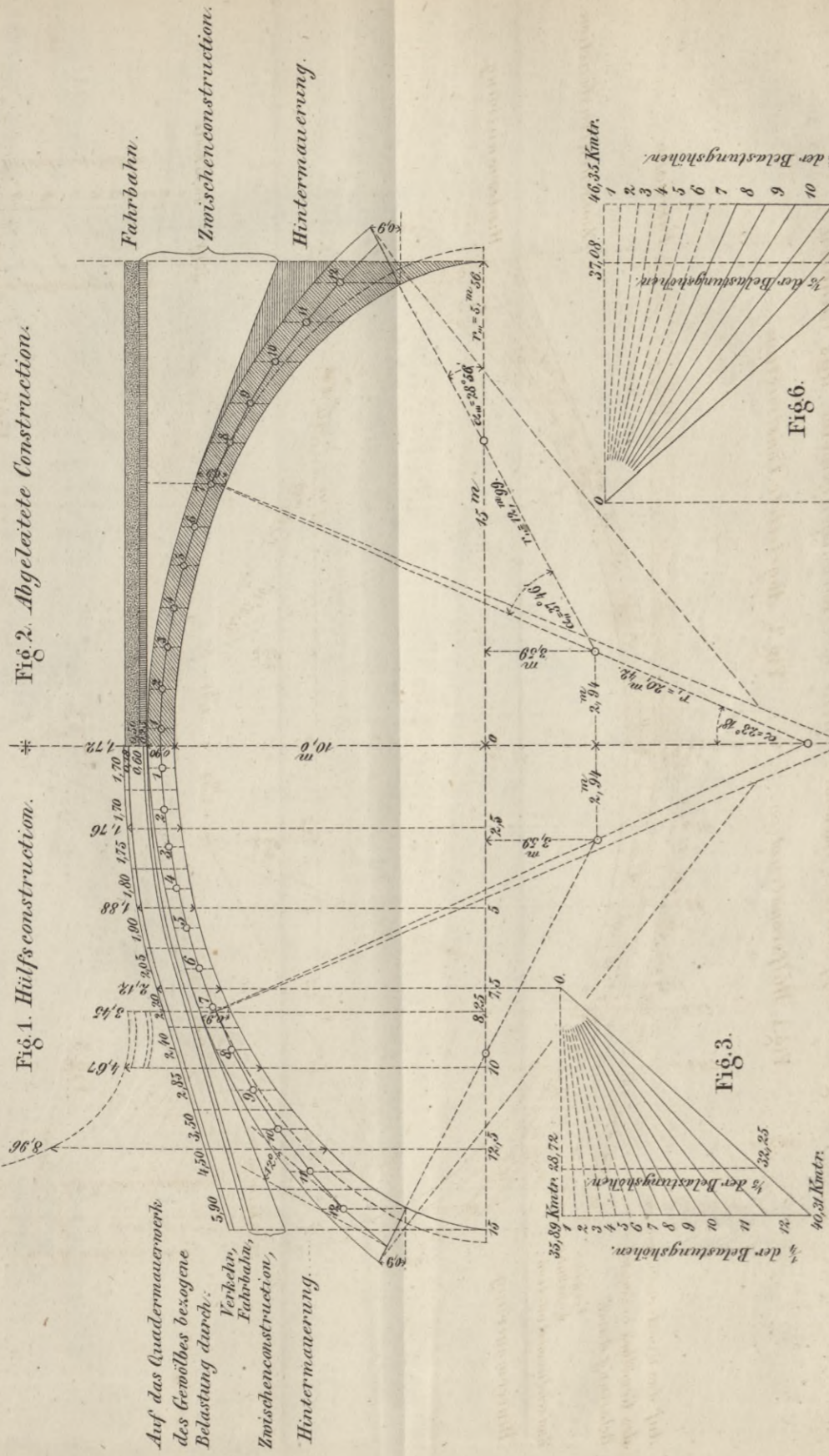


Fig. 1. Hilfsconstruction.

Fig. 2. Abgeleitete Construction.

Auf das Quadermauerwerk
des Gewölbes bezogene
Belastung durch:
Verkehr,
Fahrbahn,
Zwischenconstruction,
Hintermauerung.

Fig. 3.

Fig. 6.

Fig. 4-7. Eisenbahnbrücke mit elliptischem Gewölbe aus Quadern.

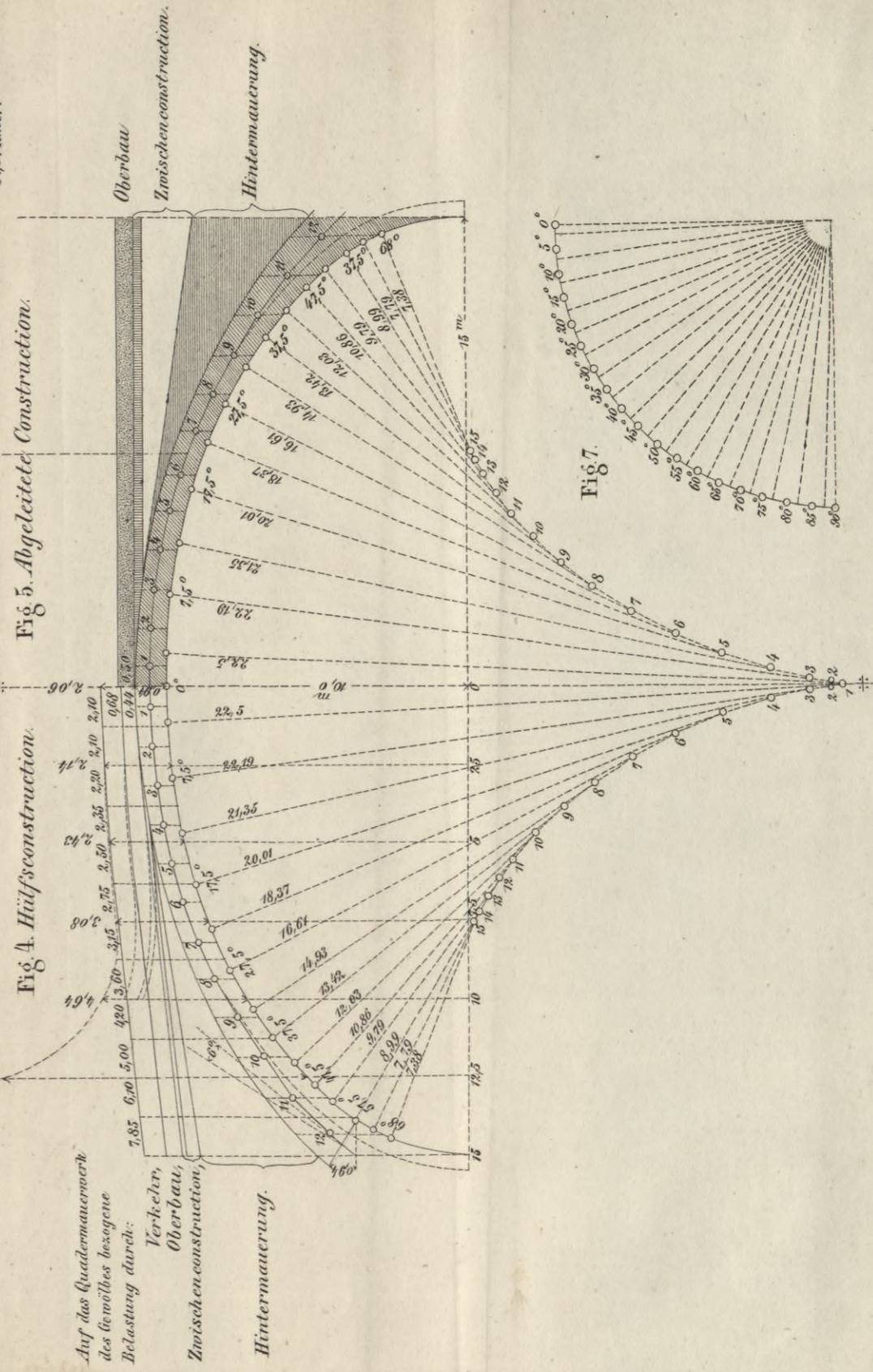


Fig. 4. Hilfsconstruction.

Fig. 5. Abgeleitete Construction.

Fig. 6.

Fig. 7.

Auf das Quadermauerwerk
des Gewölbes bezogene
Belastung durch:
Verkehr,
Oberbau,
Zwischenconstruction,
Hintermauerung.

Maasstab der Längen.

20 mtr. $\frac{1}{200}$ d. n. Gr.

Maasstab der Volumina (Gewichte).

100 Kntm Stein.

Fig. 1-3. Eisenbahnbrücke mit Aklinoidegewölbe aus Quadern.

Fig. 1. Hilfsconstruction.

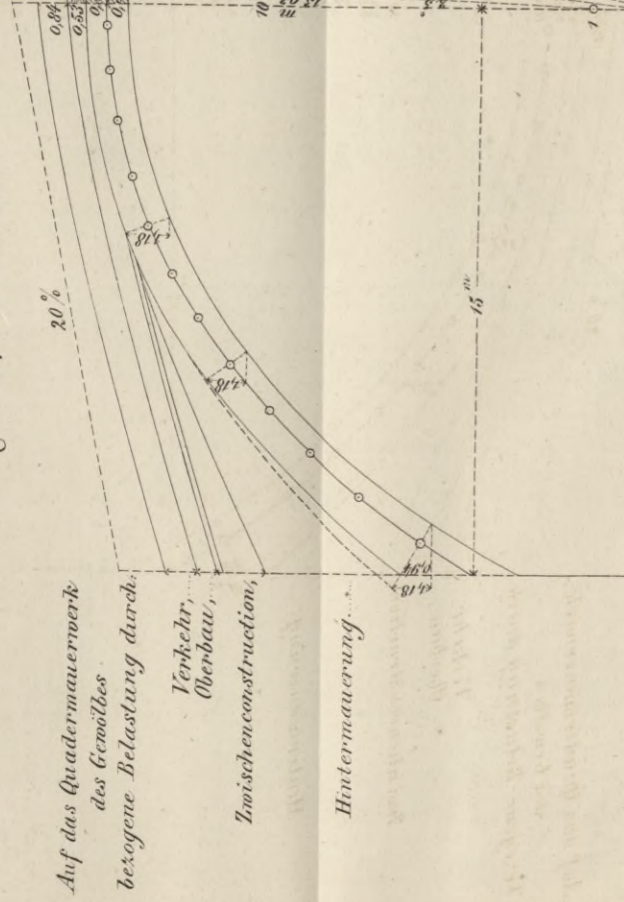


Fig. 2. Abgeleitete Construction.

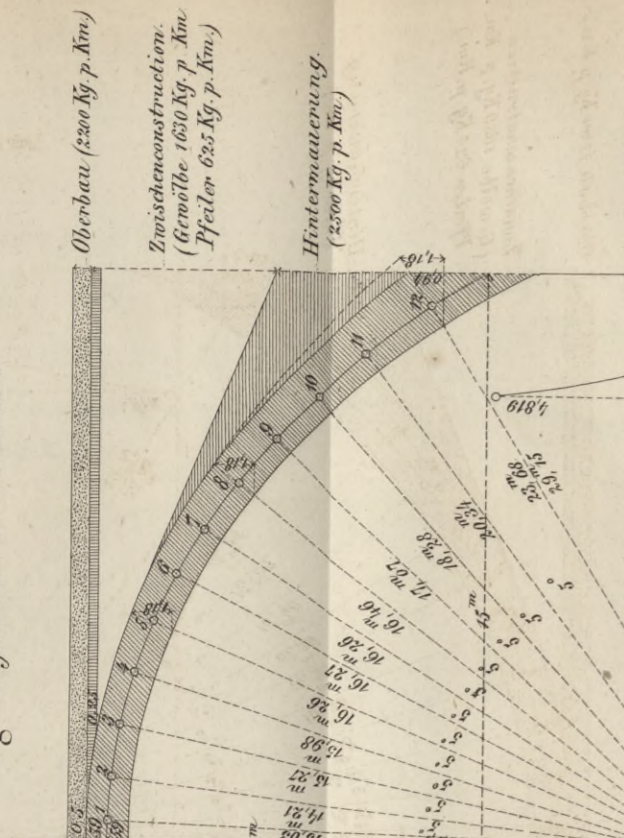


Fig. 3.

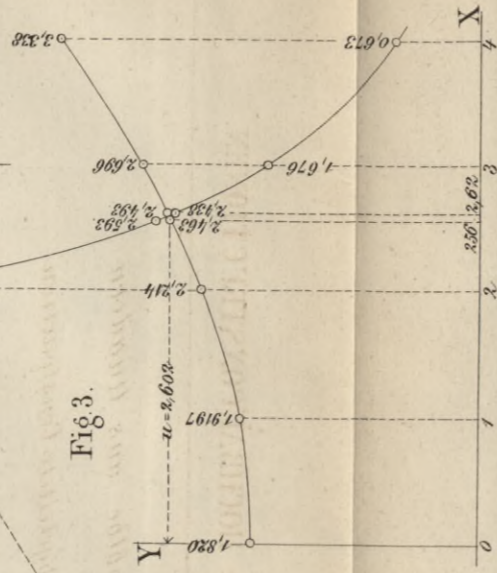


Fig. 4 u. 5. Eisenbahnbrücke mit Aklinoidegewölbe aus Quadern.

Fig. 4. Hilfsconstruction.

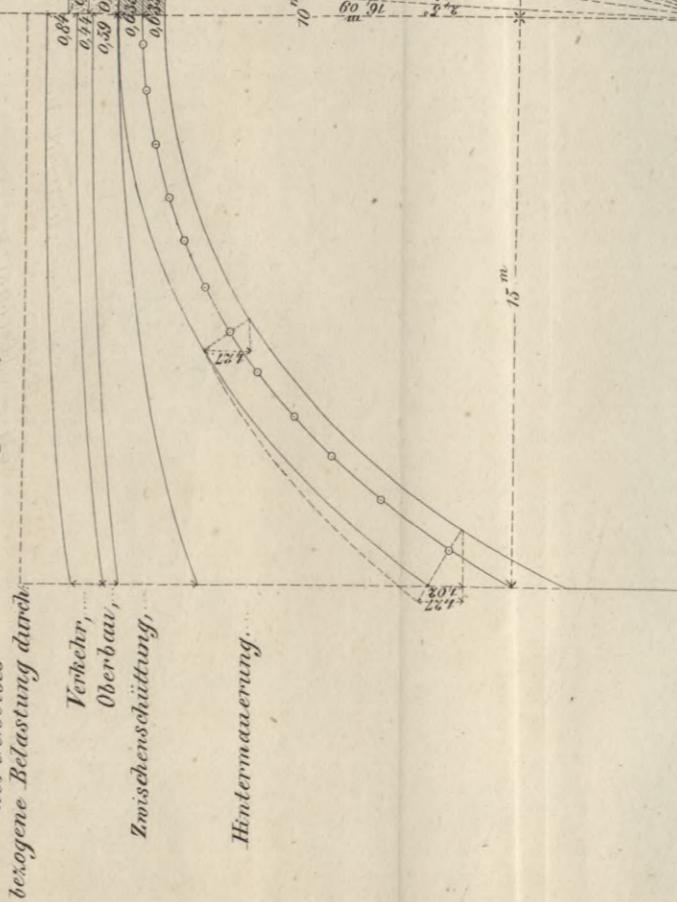
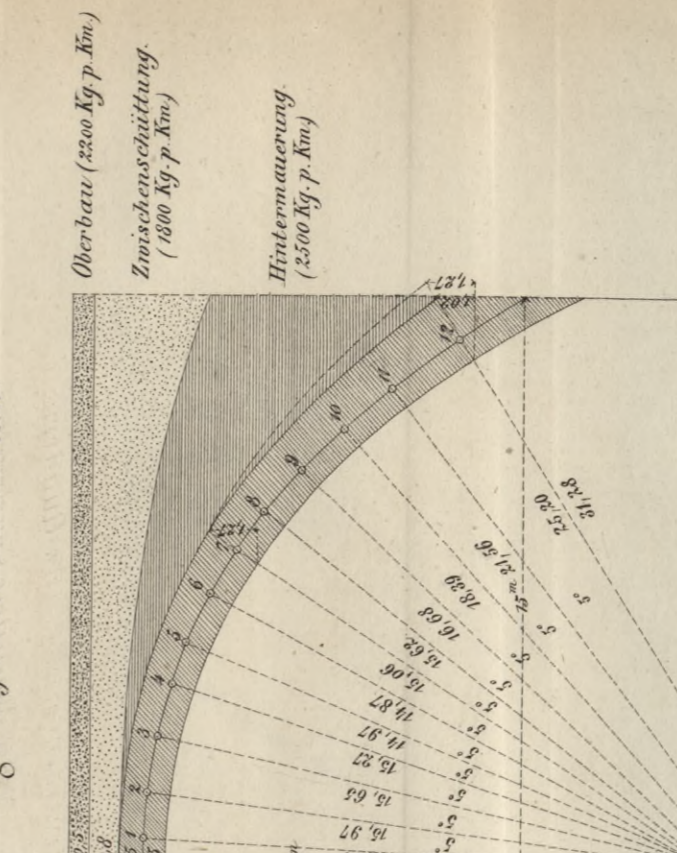
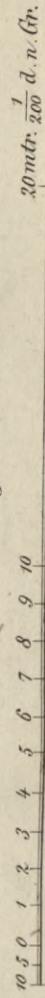


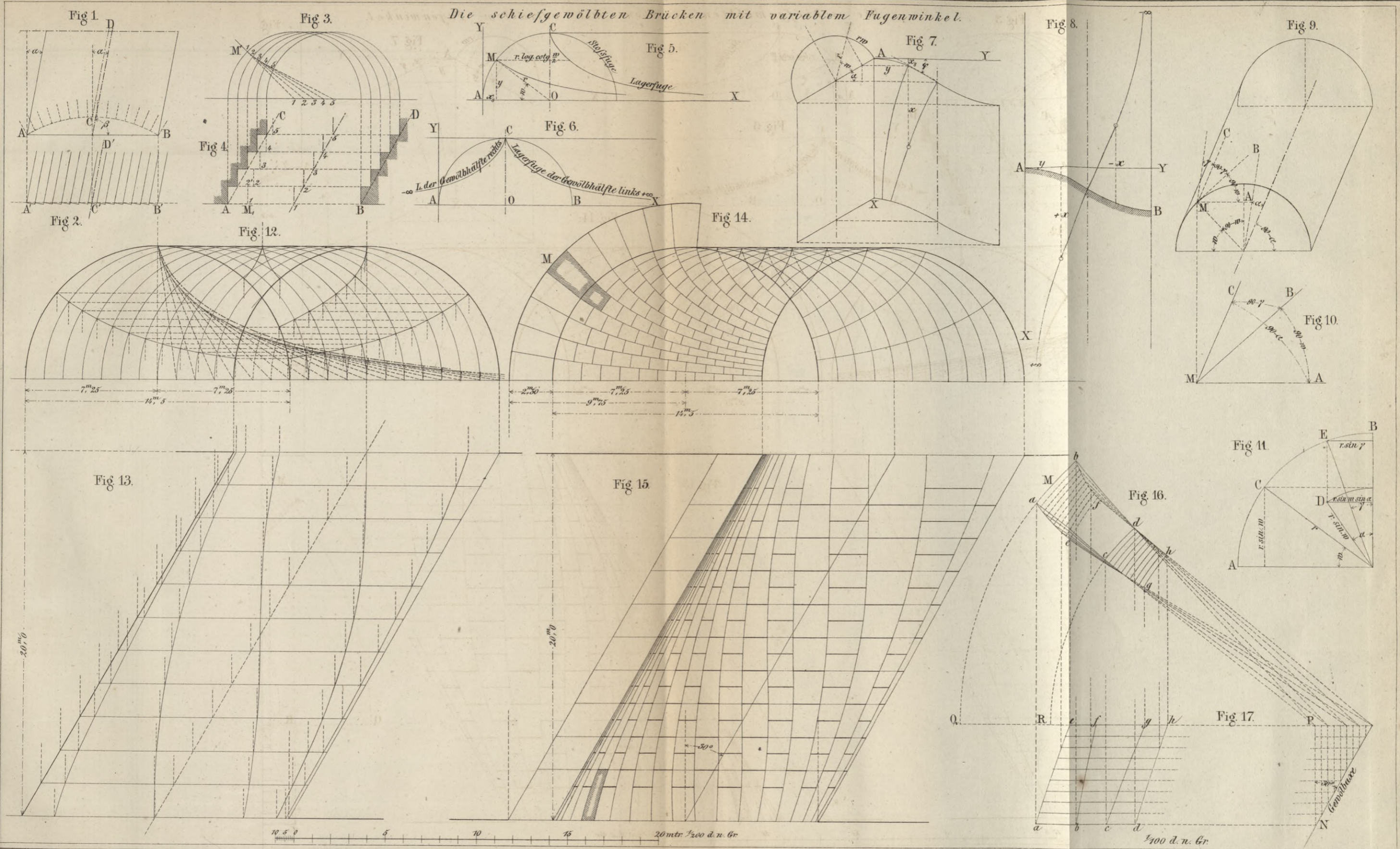
Fig. 5. Abgeleitete Construction.

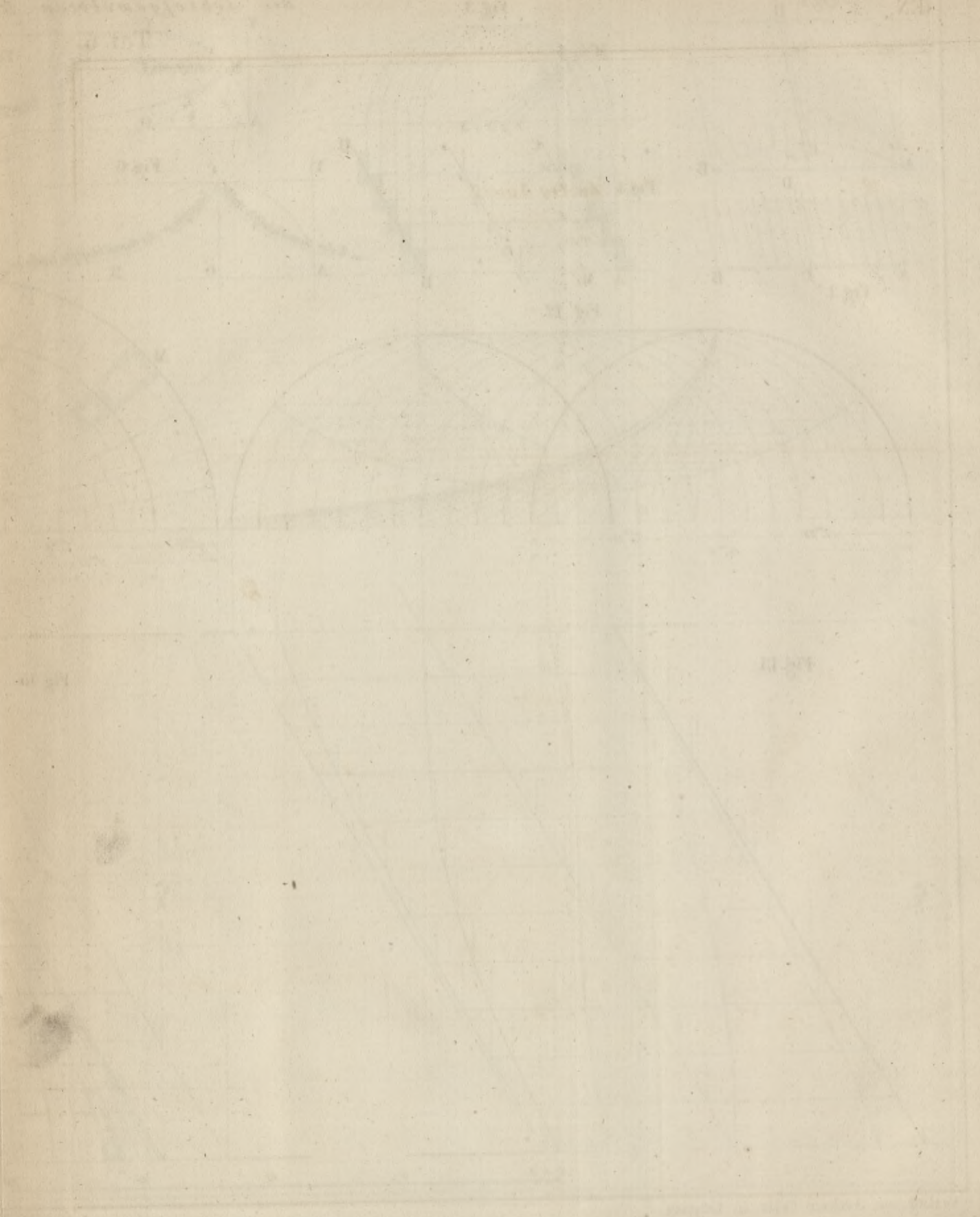
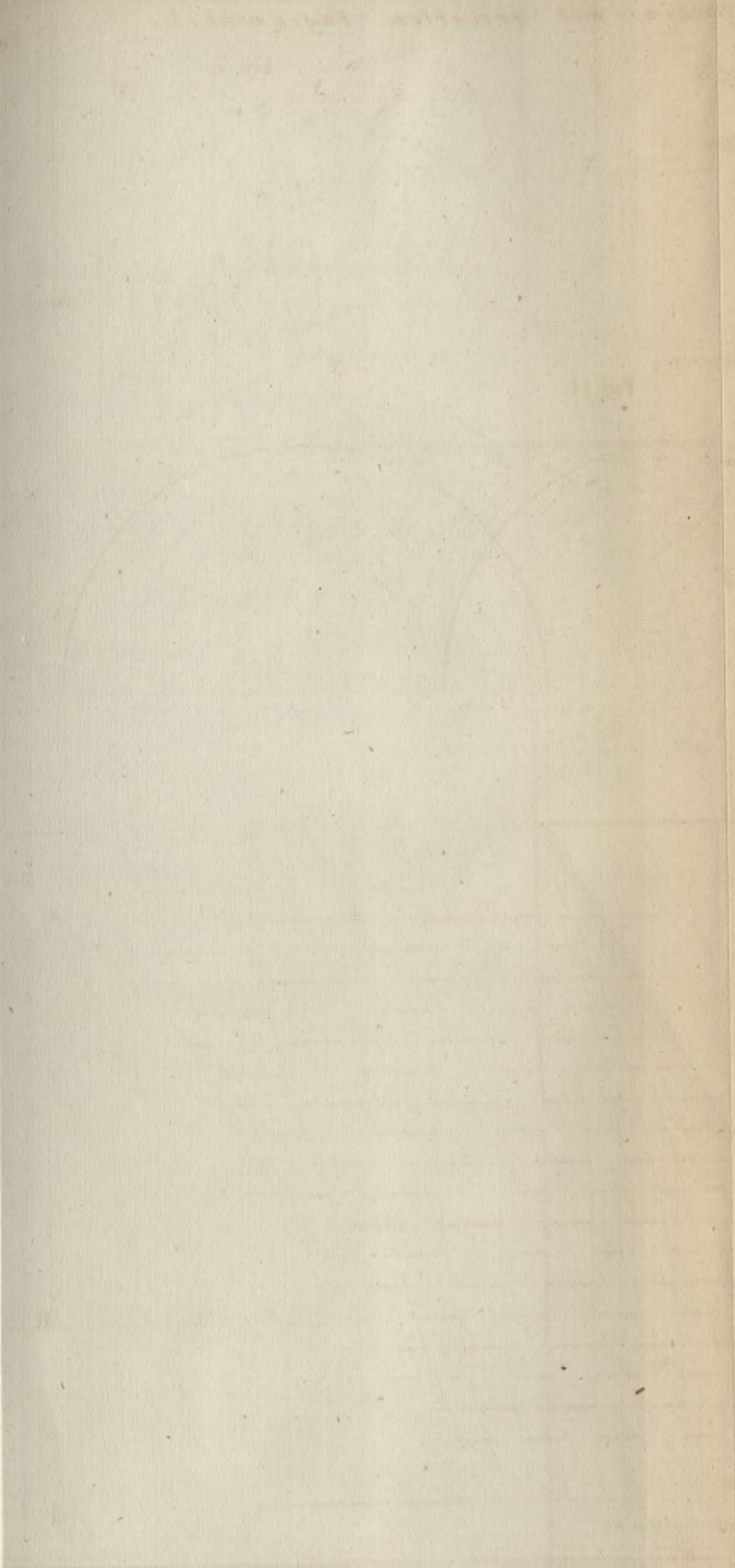
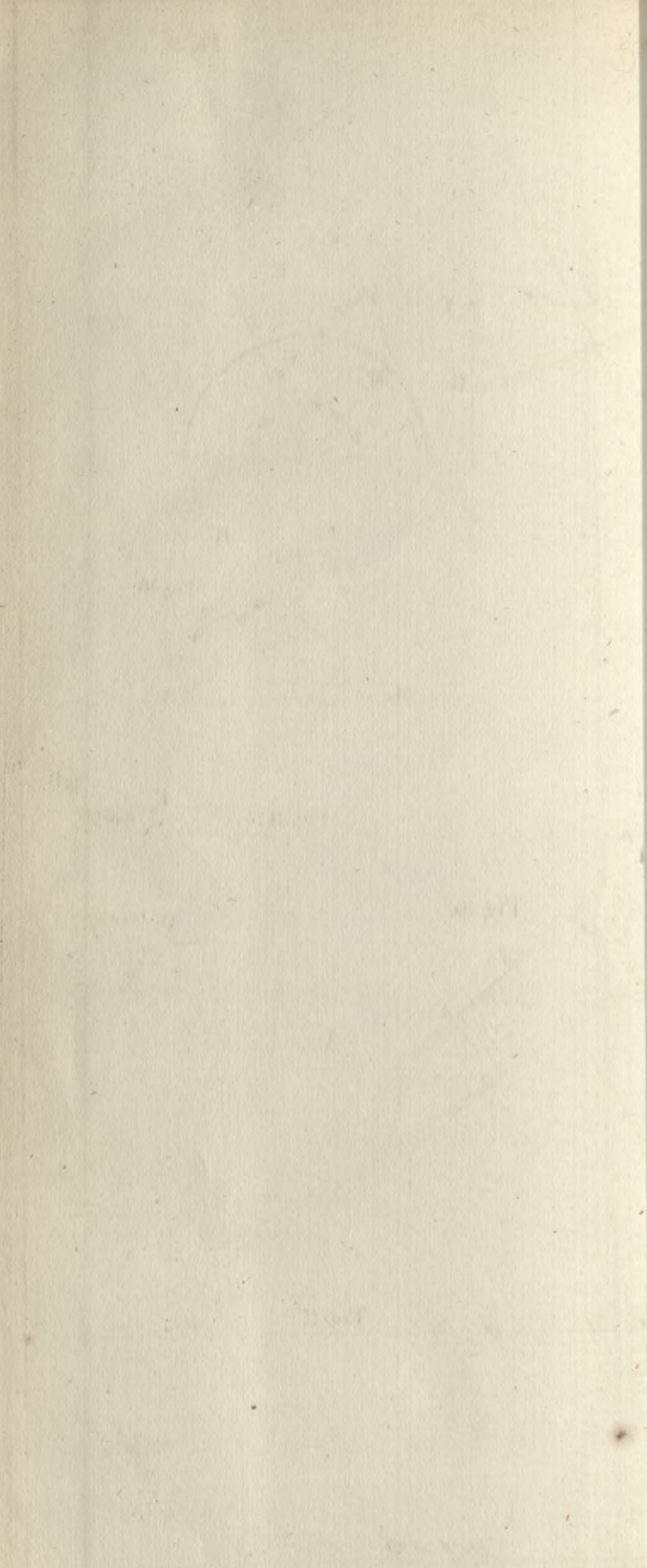


Maasstab der Längen.



Die schiefgewölbten Brücken mit variablem Fugenwinkel.



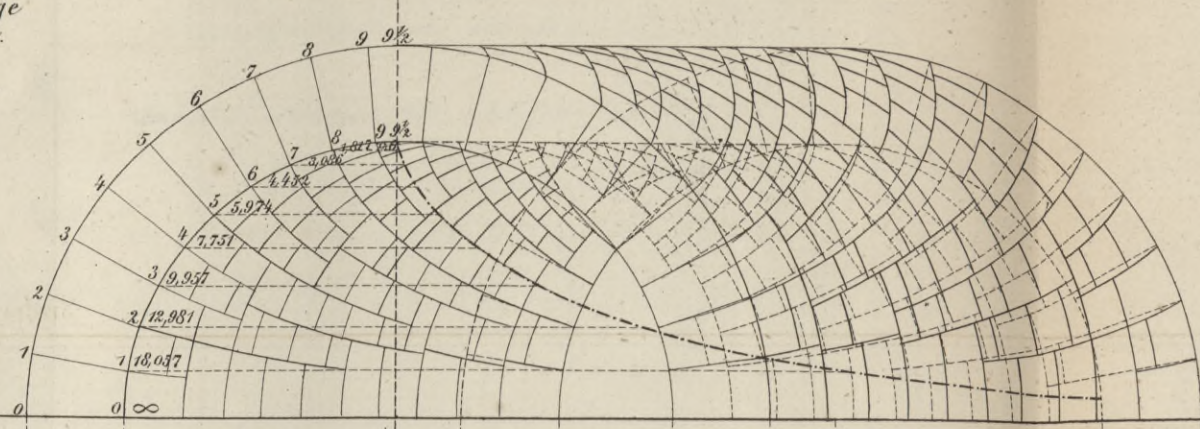


1. Die schiefgewölbten Brücken mit variablem Fugenwinkel.

Zu Fig. 1.
Abscissen der Lagerfuge
in der Verticalprojection.

Nr	t	x _s	x
9½	0,000	7,250	7,250
9	0,000	6,651	7,251
8	1,917	5,470	7,237
7	3,086	4,338	7,424
6	4,452	3,285	7,757
5	5,074	2,340	8,314
4	7,751	1,529	9,280
3	9,957	0,874	10,831
2	12,981	0,393	13,374
1	18,057	0,099	18,156
0	∞	0,000	00

Fig. 1. Verticalprojection des schiefen Brückengewölbes.



Zu Fig. 6.

Nr	w	γ
9½	90° 06' 00"	30° 00' 00"
9	85° 15' 46"	29° 53' 10"
8	75° 47' 22"	28° 59' 34"
7	66° 18' 52"	27° 14' 59"
6	56° 50' 28"	24° 44' 14"
5	47° 22' 06"	21° 34' 03"
4	37° 33' 41"	17° 53' 26"
3	28° 25' 16"	13° 46' 02"
2	18° 56' 50"	9° 20' 32"
1	9° 28' 25"	4° 43' 10"
0	0° 00' 00"	0° 00' 00"

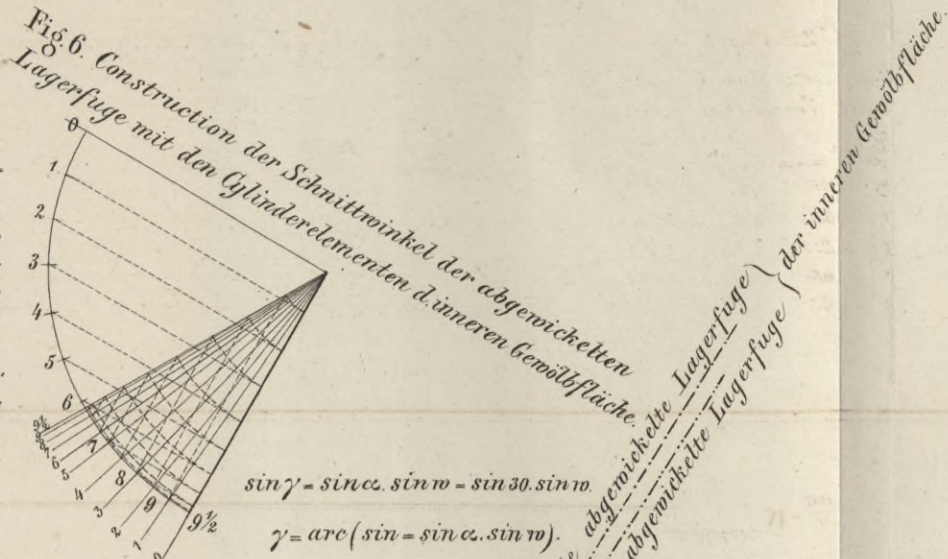


Fig. 7. Reihe der Schnittwinkel der abgewinkelten Lagerfuge mit den Cylinderelementen der inneren Gewölfläche.



Fig. 2. Horizontalprojection des schiefen Brückengewölbes



$t = r \cdot \log \cot \frac{w}{2}$
 $x_s = r(1 - \cos w)$
 $x = t + x_s$

Zu Fig. 5 und 8.
Abscissen der abgewinkelten Lagerfuge
der inneren Gewölfläche der äusseren Gewölfläche.

Nr	t	x _s	x	t	x _s	x
9½	0,00	3,625	3,625	0,00	4,875	4,875
9	1,20	3,325	4,525	1,20	4,472	5,672
8	3,63	2,735	6,365	3,36	3,678	7,043
7	6,16	2,169	8,329	6,16	2,916	9,076
6	8,90	1,643	10,543	8,90	2,209	11,149
5	11,95	1,170	13,120	11,95	1,577	13,527
4	15,50	0,765	16,265	15,50	1,028	16,528
3	19,92	0,437	20,357	19,92	0,587	20,507
2	25,98	0,196	26,176	25,98	0,264	26,244
1	30,12	0,049	36,169	36,12	0,087	36,187
0	∞	0,000	∞	∞	0,000	∞

$t = \frac{r}{\sin \alpha} \log \cot \frac{w}{2}$
 $x_s = r \sin \alpha (1 - \cos w)$
 $x = t + x_s$

$t = \frac{r}{\sin \alpha} \log \cot \frac{w}{2}$
 $x_s = r \sin \alpha (1 - \cos w)$
 $x = t + x_s$

Fig. 3 u. 4. Elliptische Normalquerschnitte
der inneren und äusseren Gewölfläche.

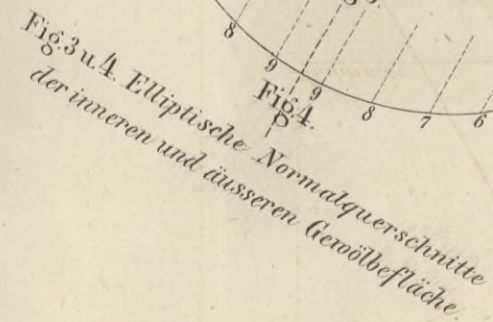


Fig. 5. Abwicklung der inneren Gewölfläche.

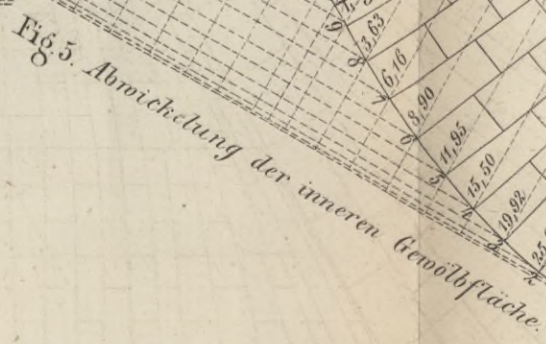


Fig. 8. Abwicklung der äusseren Gewölfläche.

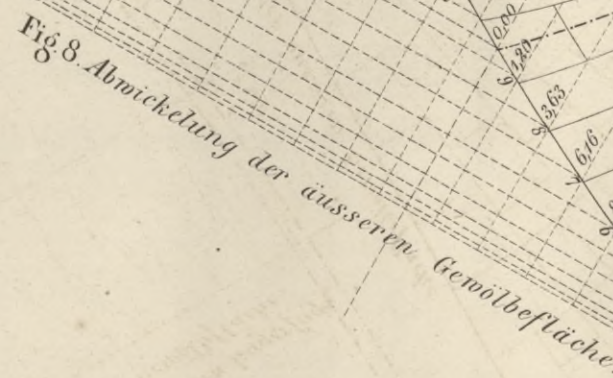


Fig. 11.

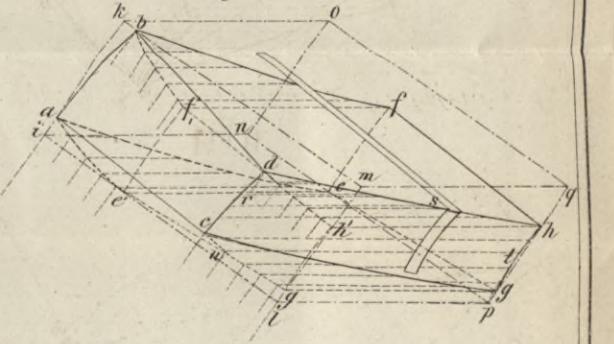


Fig. 9-11. Bearbeitung der Wölbsteine.

Fig. 9.

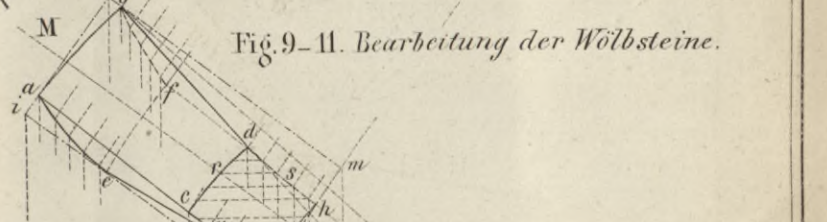
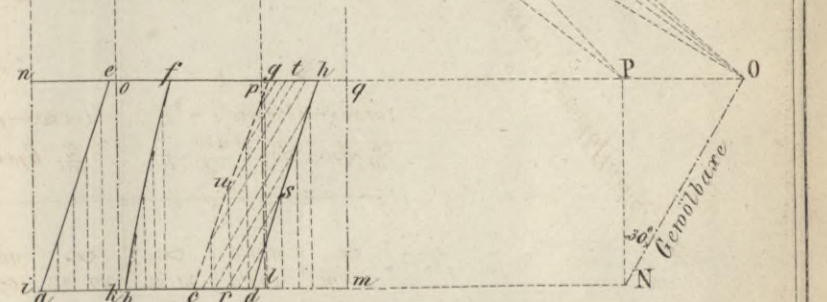
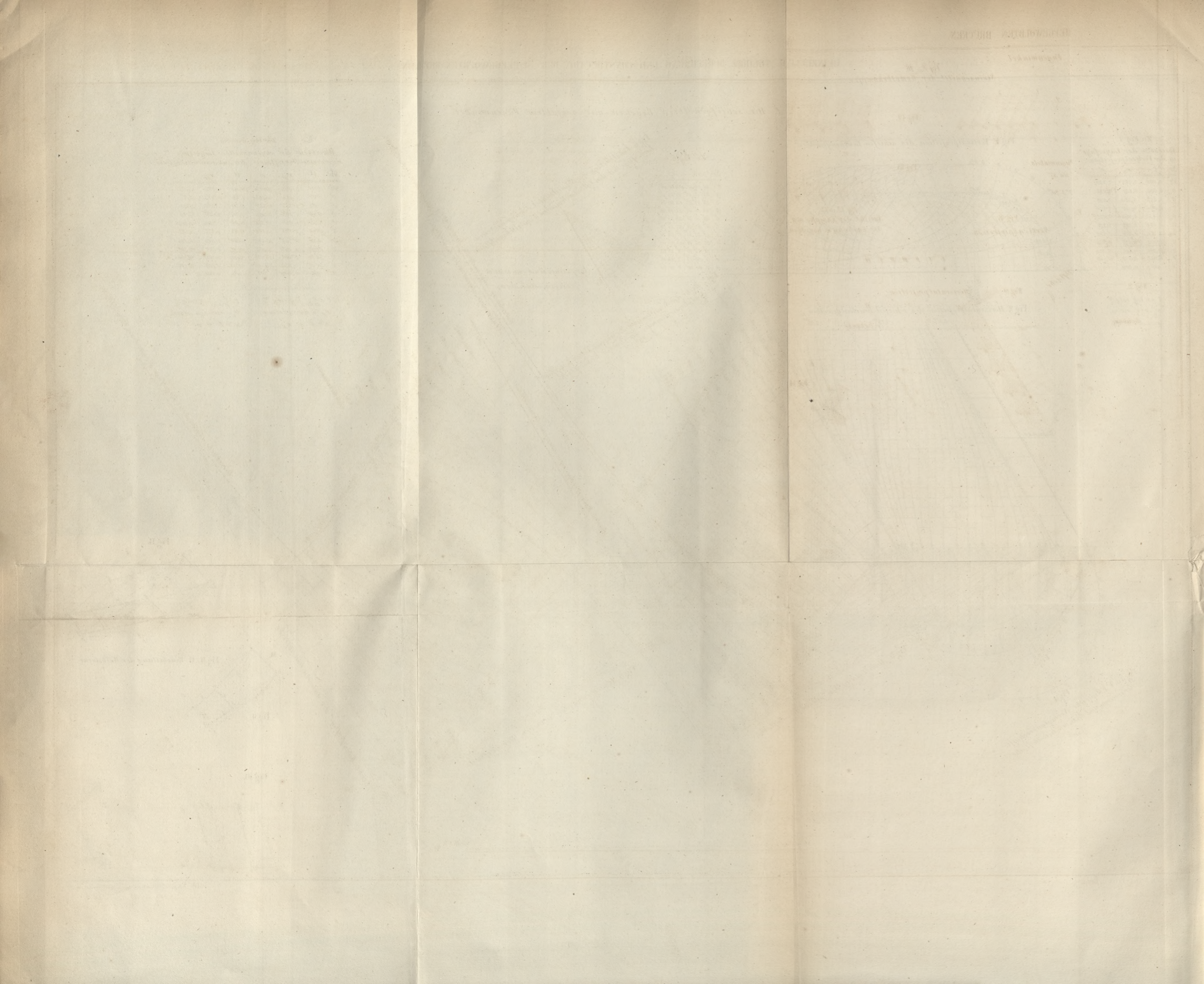


Fig. 10.



10 5 0 5 10 20 30 Meter. M = 1/200



2. Die schiefgewölbten Brücken mit constantem Fugenwinkel.

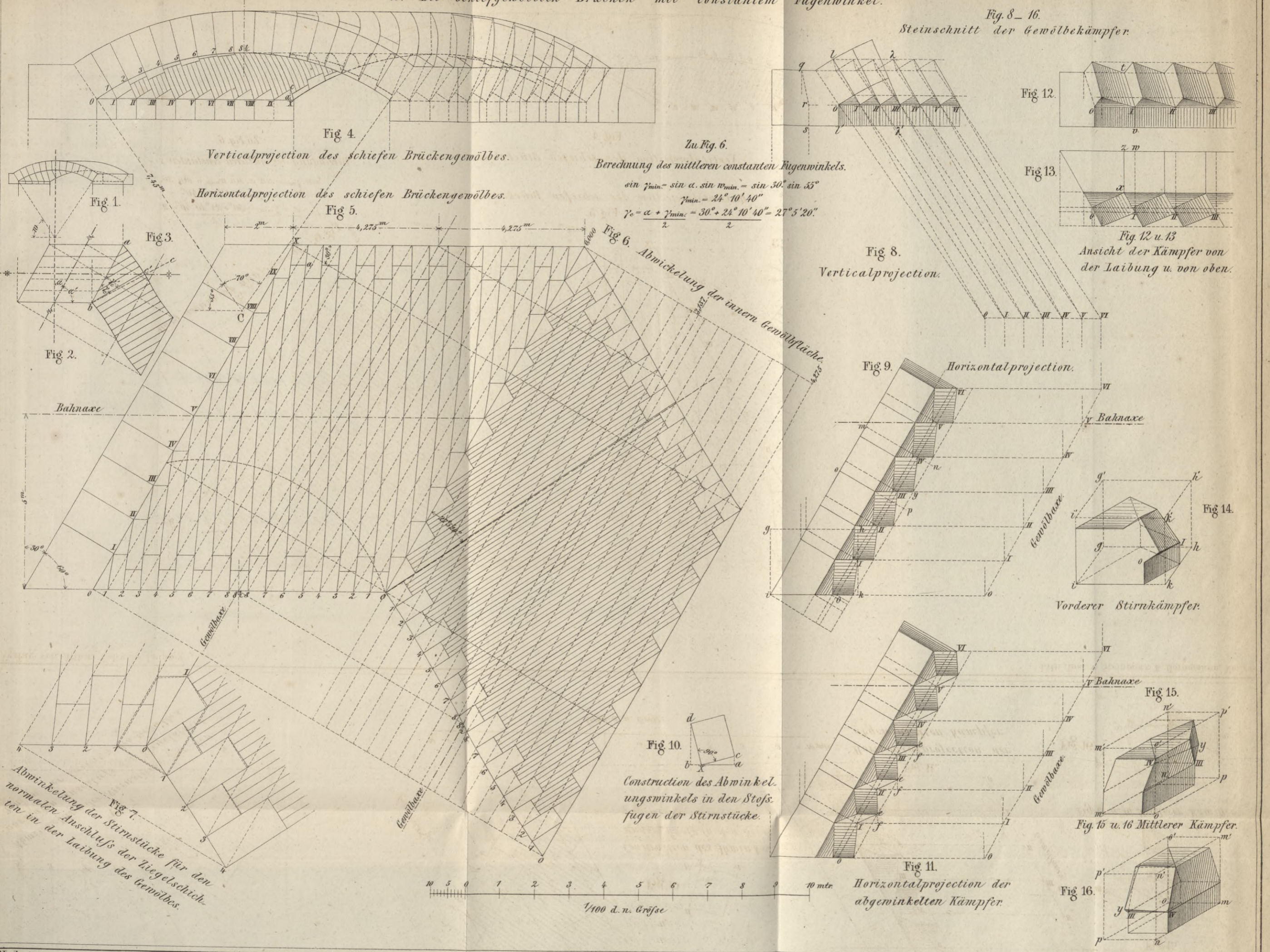


Fig. 4. Verticalprojection des schiefen Brückengewölbes.

Fig. 5. Horizontalprojection des schiefen Brückengewölbes.

Zu Fig. 6.
Berechnung des mittleren constanten Fugenwinkels.
 $\sin \gamma_{\min} = \sin \alpha \cdot \sin w_{\min} = \sin 30^\circ \cdot \sin 55^\circ$
 $\gamma_{\min} = 24^\circ 10' 40''$
 $\gamma_c = \alpha + \gamma_{\min} = 30^\circ + 24^\circ 10' 40'' = 27^\circ 5' 20''$

Fig. 6. Abwickelung der innern Gewölfläche.

Fig. 9. Horizontalprojection.

Fig. 8. Verticalprojection.

Fig. 8-16. Steinschnitt der Gewölbekämpfer.

Fig. 12 u. 13. Ansicht der Kämpfer von der Laibung u. von oben.

Fig. 14. Vorderer Stirnkämpfer.

Fig. 15.

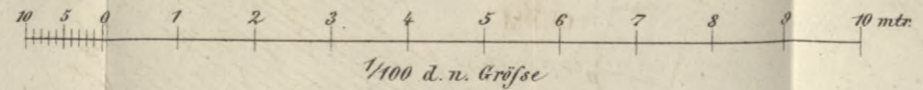
Fig. 15 u. 16. Mittlerer Kämpfer.

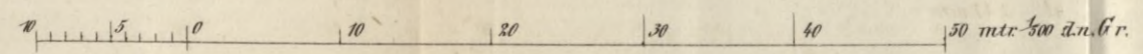
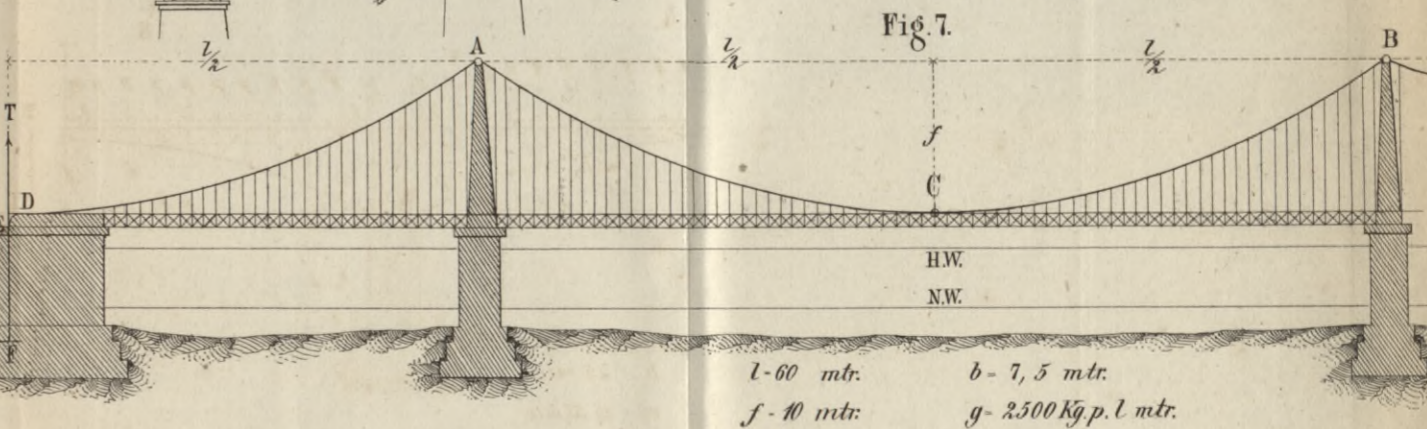
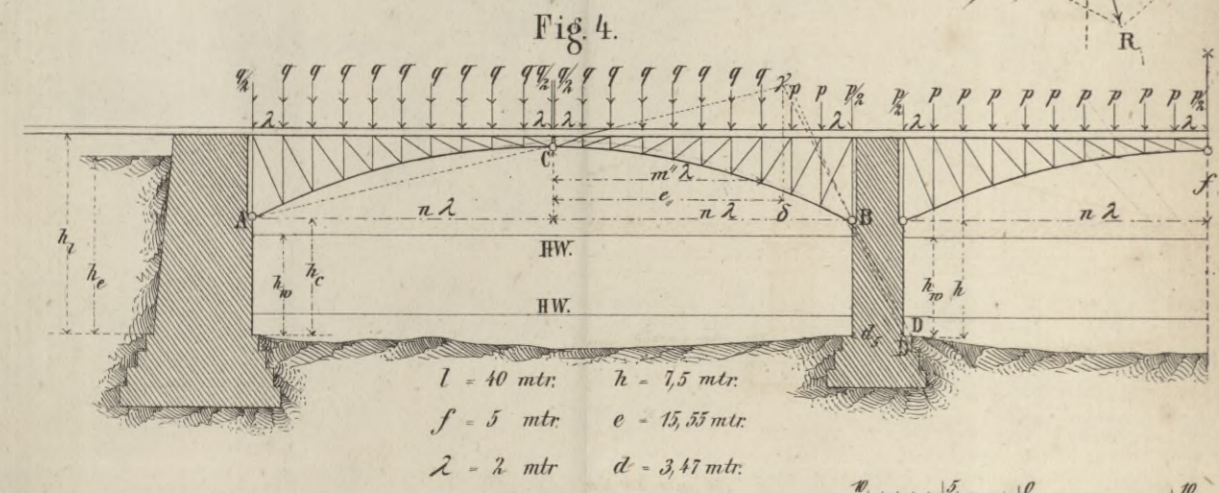
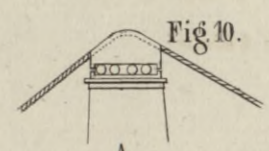
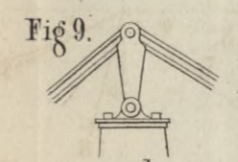
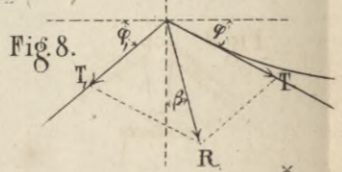
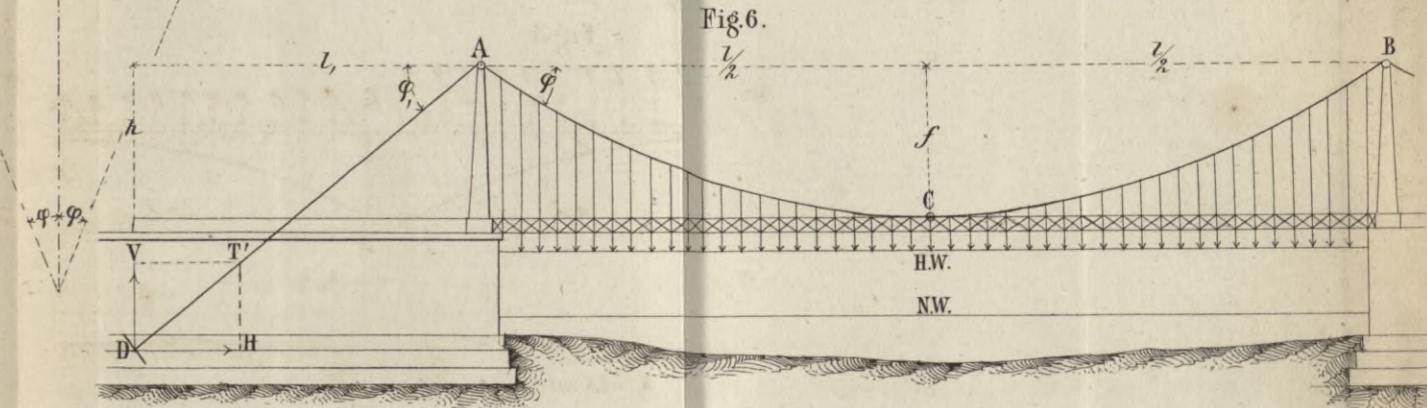
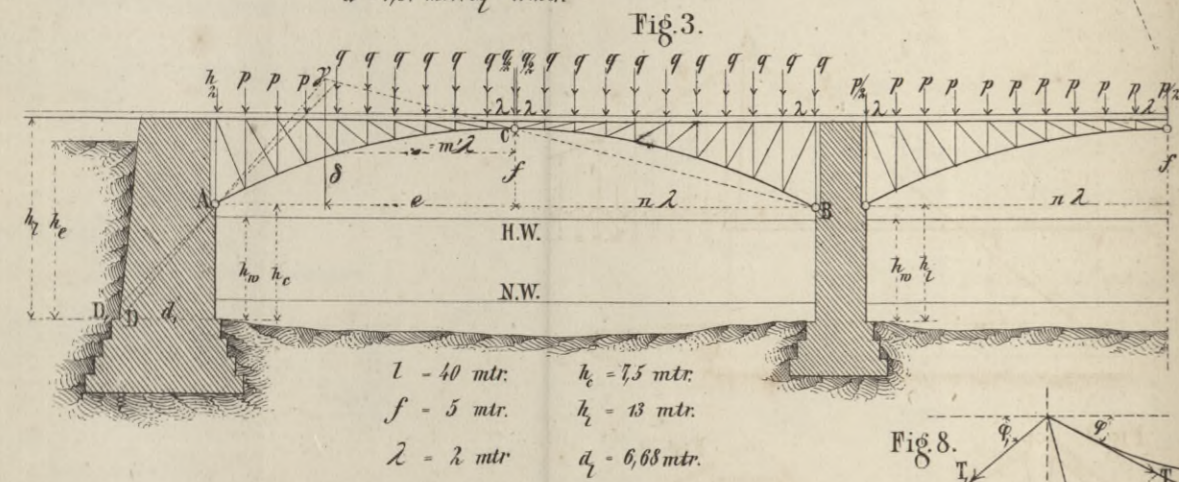
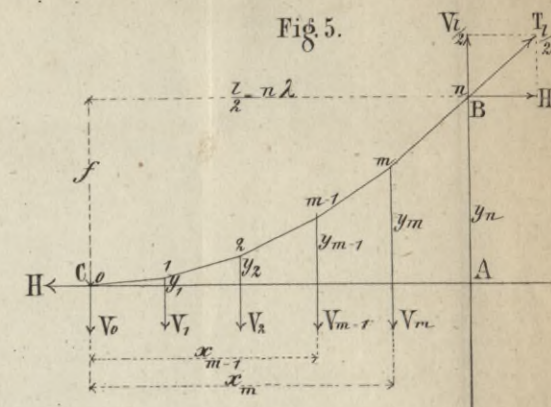
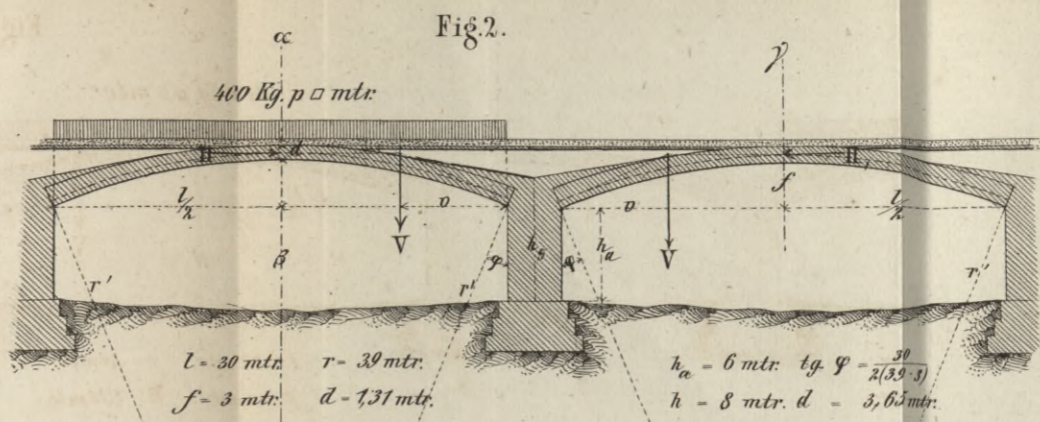
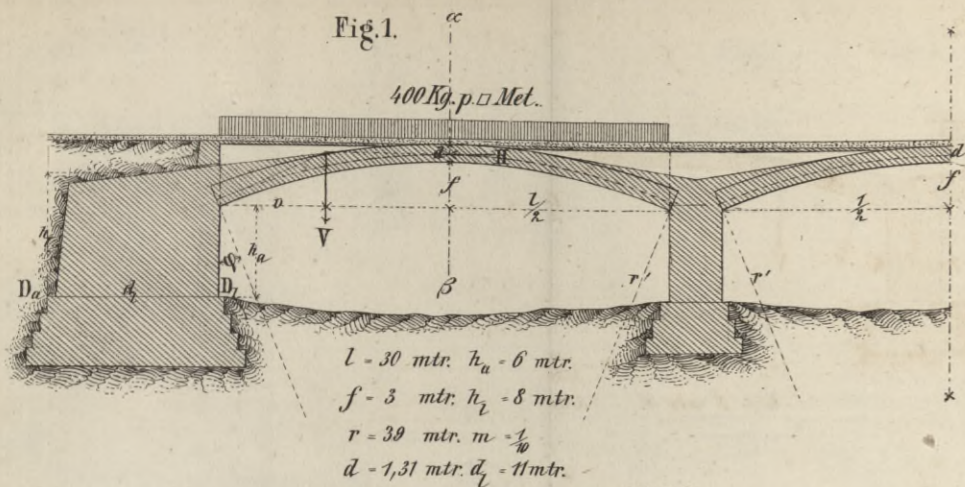
Fig. 16.

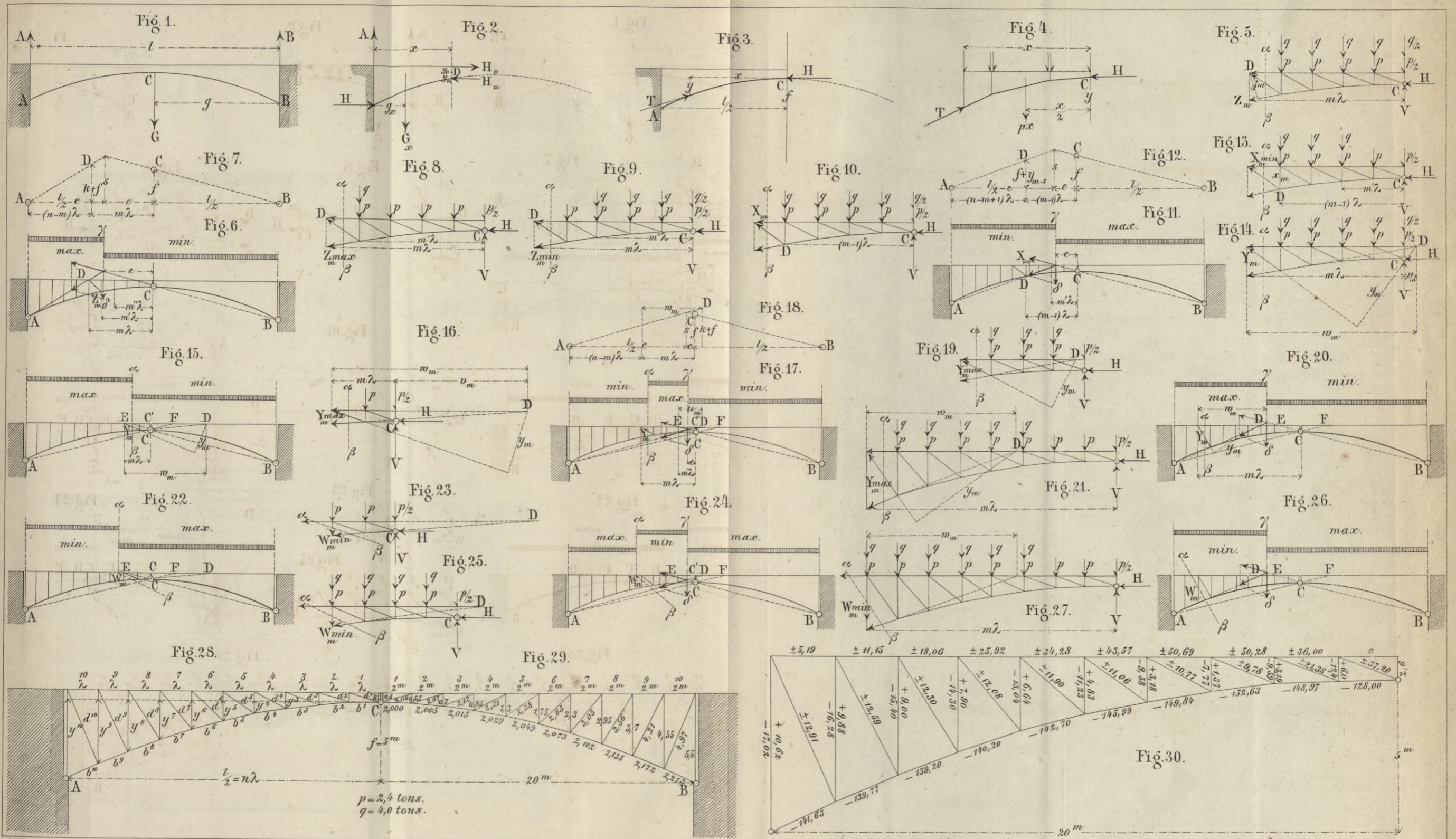
Fig. 7. Abwinkelung der Stirnstücke für den normalen Anschluß der Tiegelschichten in der Laibung des Gewölbes.

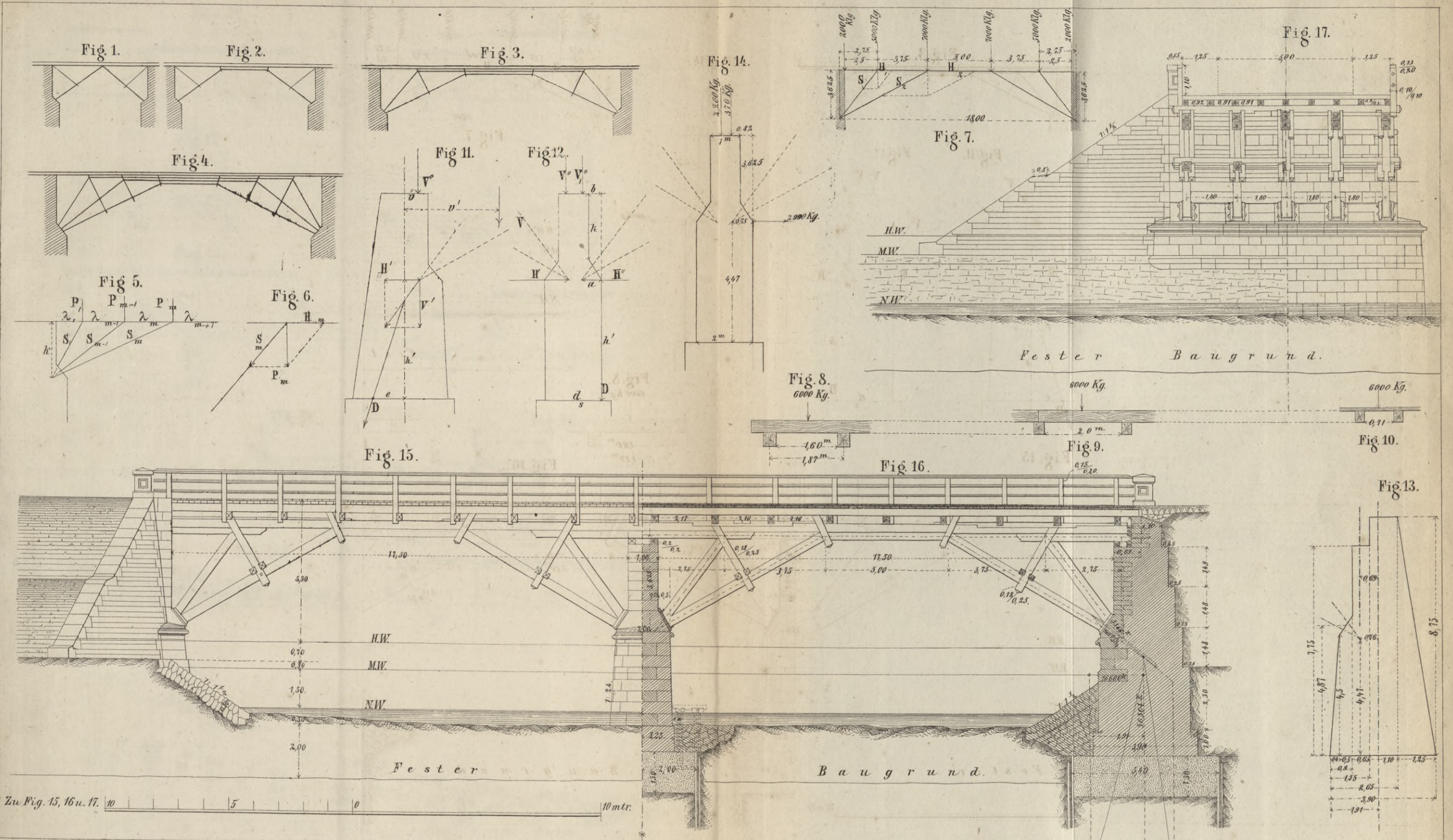
Fig. 10. Construction des Abwinkelungswinkels in den Stößen der Stirnstücke.

Fig. 11. Horizontalprojection der abgewinkelten Kämpfer.

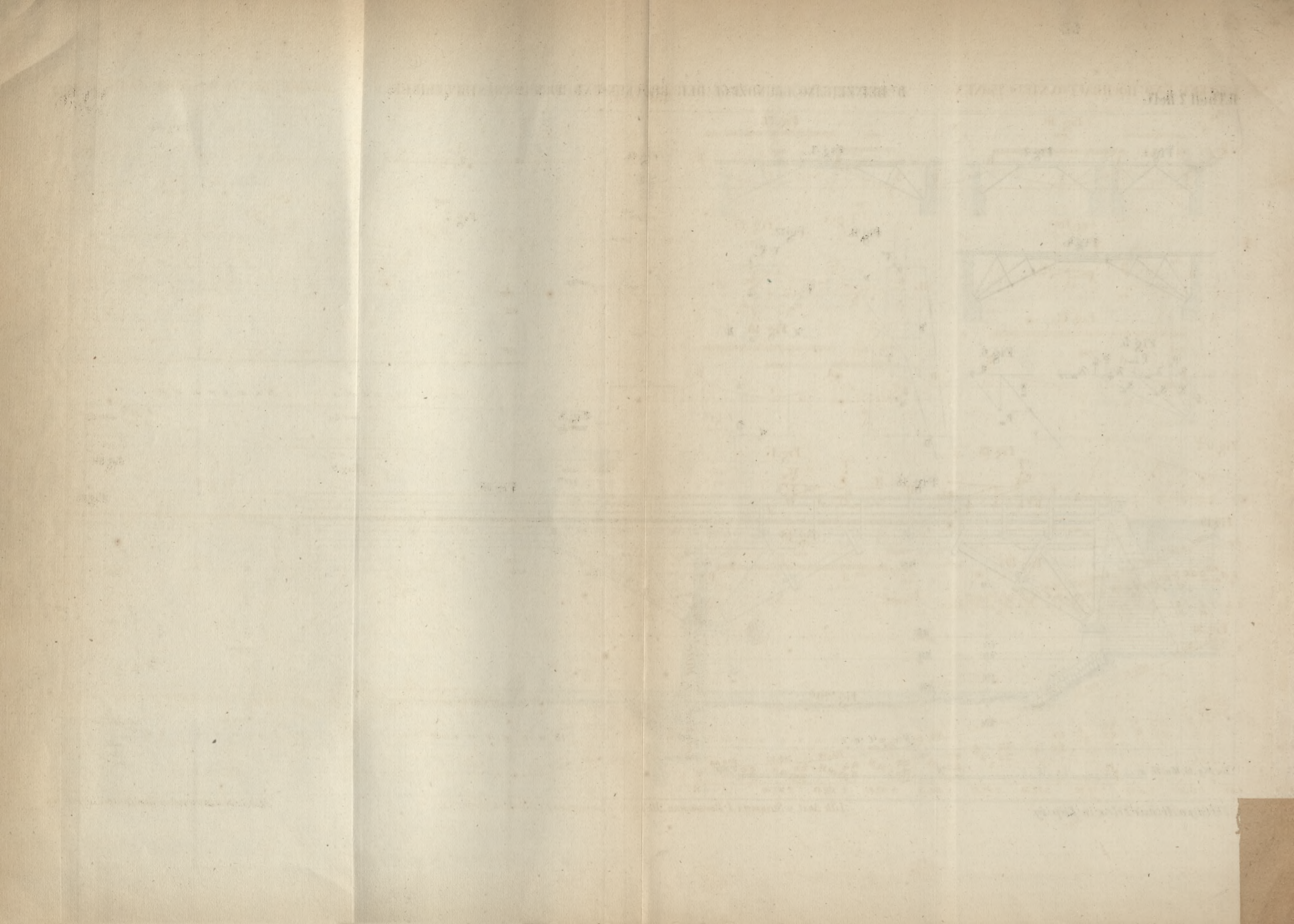


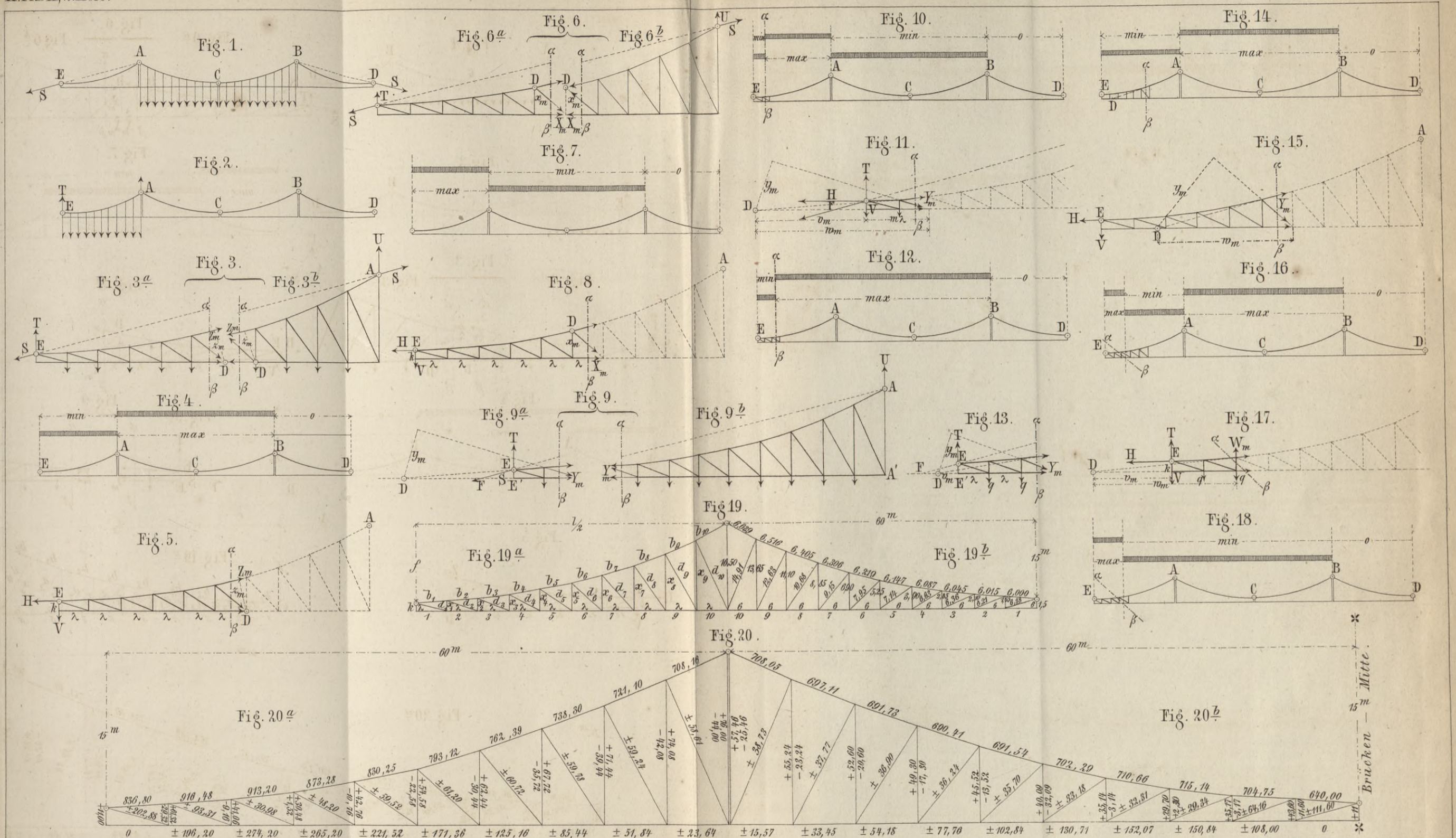






Zu Fig. 15, 16 u. 17. 10 5 0 10 mtr.





56

100.00

Biblioteka Politechniki Krakowskiej



III-306395

Biblioteka Politechniki Krakowskiej



1000030888